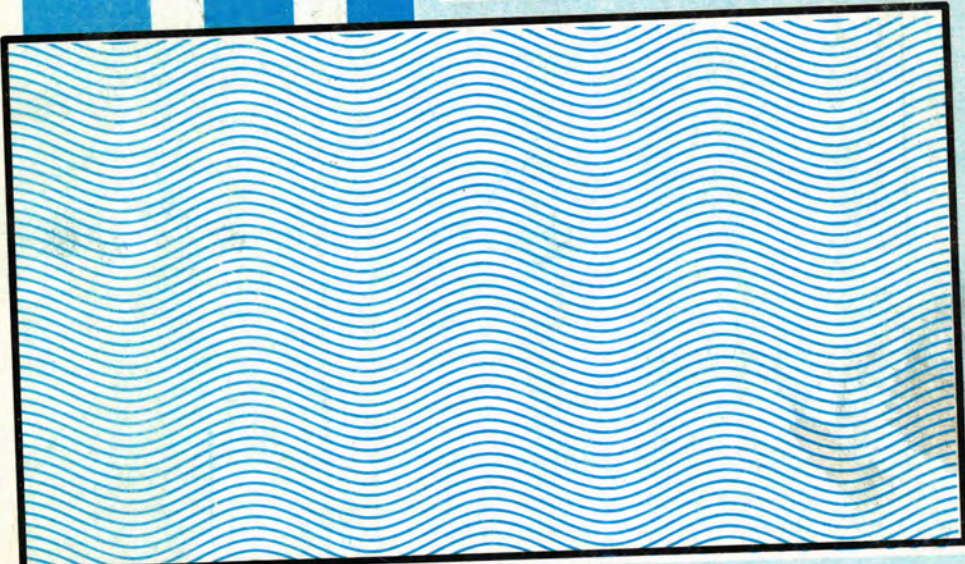


Al-Mustansiriya Journal of Science

Vol. 12 No. 5 Year 2001



**Issued by College of Science
Al-Mustansiriya University**

Special Edition

***Al-Mustansiriya
Journal of Science***



Vol. 12, No. (5), 2001

Special Edition
Of
The 5th Scientific Conference College Of Science
AL-Mustansiriyah University

AL-MUSTANSIRIYA

JOURNAL OF SCIENCE

Head Editor

Prof. Dr.

Saad M. Al-Mashhadani

Prof. Biology

General Editor

Dr.

Ridha I. Al-Bayaty

Prof. Chemistry

Editorial Board

Dr. Salah M. Aliwy	Member
Dr. Riadh A.H. Dalool	Member
Dr. Hashim H. Jawad	Member
Dr. Kais J. Latif	Member
Dr. Saady Abdul Razaq	Member
Dr. Juma'a A. Zirnan	Member

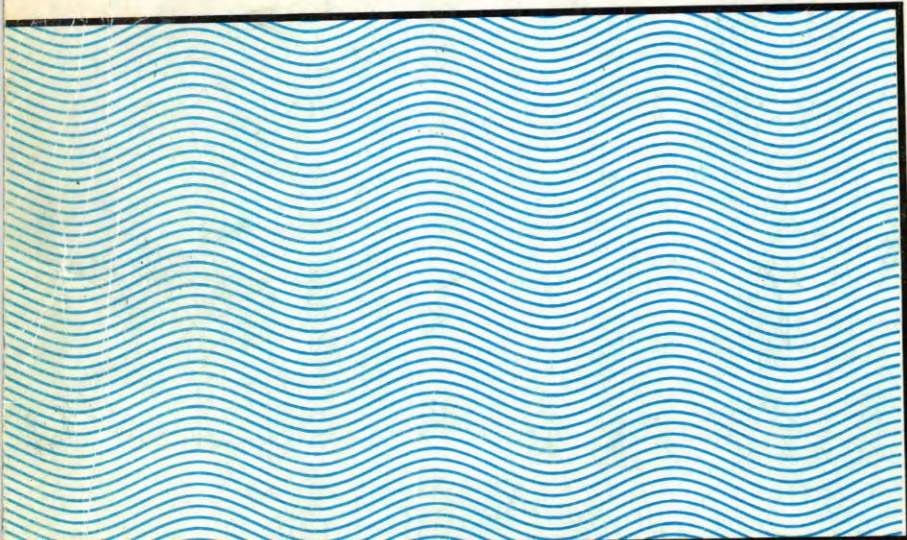


مجلة علوم المارستانية

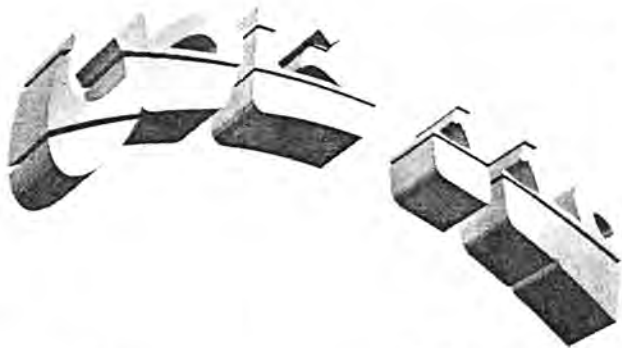
٢٠٠١ السنة

عدد ٥

مجلد ١٢



تصدرها كلية العلوم بجامعة المستنصرية - بغداد - العراق



مجلة علوم المستنصرية

المجلد ١٢ العدد ٥ لسنة ٢٠٠١

عدد خاص

بالمؤتمر العلمي الخامس لكلية العلوم-جامعة المستنصرية

للفترة ٢٣-٢٤ تشرين الأول لسنة ٢٠٠١

مجلة علوم المستنصرية

مدير التحرير

الدكتور رضا ابراهيم البياتي
استاذ - كيمياء

رئيس التحرير

الدكتور سعد محمود المشيداني
استاذ - علوم حياة

هيئة التحرير

عضو	د. صلاح محسن عليوي
عضو	د. رياض عبد الحسين دلول
عضو	د. هاشم حميد جواد
عضو	د. قيس جميل لطيف
عضو	د. سعدي عبد الرزاق
عضو	د. جمعة أسود زرنان

Contents

<u>Item</u>	<u>Page No.</u>
Concentration of Petroleum Hydrocarbon in Species of Plants Near Shat Al-Arab River NAIF M. AZIZ	1
Effects of Sintering Parameters on Porosity and Pore Size Distribution For Compacted Samples of Some Local Iraqi Porcelanites (Ninivite Material) FADHEL A. RASEN , LAYLA S. AL-ALI	7
Some Ecological Aspects of <i>Ergasilus rostralis</i> (Copepoda: Crustacea) from the Mullet, <i>Liza abu</i> from Shatt Al-Arab River NAJIM R. KHAMEES , FURHAN T. MHAISEN	21
The Study of The DTA of Some Local Industrial Raw Materials in Iraq FADHEL A. RASEN, L.S. AL-ALI , Z.T. AL-DAHAN	29
Pyrimidine Compounds As Inhibitors For Glutamate Oxaloacetate Transaminase (GOT) in Serum of Some Leukemia Patients REDHA I. AL-BAYATI	297

المحتويات

رقم الصفحة	الموضوع
٣٩	استخدام تقنيات المعالجة الرقمية لتعديل انحراف صور القراء الاصطناعي الايوانى GMS المرسلة عبر البرقيات الجوية HF-FAX
٥١	اعلى ولد يابا المحجوب، عوني أدوار عبد الأحد، لؤي أدور جورج التاثير السمي والتراكم الحيوى لمعدن الثقيل فى الكائن الهدبى حر <i>Tetrahydmena pyrifomis</i> (Ehrenberg, 1830)
٧١	منى حسين جانكير و فضى عبد القادر الجلبي التباین في تراكيز الہیدروکاربونات النفتية في أوراق نخيل التمر صنف الحلواي في بعض مناطق سط العرب - البصرة
٨٣	عبد الباسط عزدة ابراهيم و نايف محسن عزيز الكسوف والعوامل الايوانية علي كريم كاظم
٩٩	تأثير العناصر الجوية في التصحر محمد محسن كاظم و فارس نوري
١١٣	تأثير المعاملات الحرارية على خواص طبقات الطلاء لسيكة فولاذ - كروم اسماعيل خليل التكريتي ، علاء الدين عبد الله النعيمي ، مفيض عبد اللطيف الربيعي
١٢٣	تأثير المعاملة الحرارية على الخواص البصرية لاغشية خامس اوكسيد الفناديوم الواقية سعد عبد الباري توفيق، عبد المجيد عيادة ابراهيم
١٣٥	تأثير درجة الحرارة على خصائص ليزر الصبغة النبضي للصبغتين R6G و RB محمد عبد التكريم احمد و عدي عطا حمادي

رقم الصفحةالموضوع

١٤٣

تأثير عزم ثانى القطب المغناطيسى على التركيب النووي لنظير الباريوم
 $^{134}_{56}\text{Ba}_{78}$

ايمان طارق العلوى ، خالد سلمان ابراهيم ، اسراء عبد الله

١٦٣

تأثير التدين على الخواص البصرية لأغشية $\text{Zn}_x\text{Cd}_{1-x}\text{S}$ الرقيقة

ياسين نجم عبيد ، خالد سلمان ابراهيم ، جاسم محمد صالح

١٧٣

تحديد المنطقة الاكثر تعرضا لظاهرة الغبار في العراق لعام 2000

محمد حسن كاظم و واثق محسن الدليمي

١٨٣

ثبتت طريقة اذابة لتقدير كل من العناصر (Fe, Zn, Cd, Pb, Mg) في

حليب الأطفال المستورد من مناشئ مختلفة باستخدام طريقة الامتصاص

الذرى اهتمام / اسماعيل محسن على
جامعة كلية

حنان حسين محمد ، لمى جاسم حموي ، إخلاص حسن جواد

١٩١

تقويم فعالية المستحضر الحيوي التحدى وبعض المبيدات الكيميائية في مقاومة الفطر *Botrytis cinerea* المسبب لمرض العفن الرمادي في البازنجان

كامل سلمان جبر و احسان شفيق دميردادغ

١٩٩

تقييم المستحضرات الصيدلانية المعملة بالزنكشيوم 99 لتخفيط الكي

إقبال فضل علوان ، حسين علي محمد

٢٠٩

تقييم كفاءة المرشحات في محطة تصفية المياه الثقيلة في الرستمية

زيتب حسين علي ، كوثير عبد الرزاق سلمان ، خولة احمد عبد اللطيف ، شيماء

سعدي ، اطلال ناجي ، نجوان كنعان ، فوزية خليلة

٢١٣

توزيع الهايمات الحيوانية في القاطع الشمالي لنهر صدام

زيتب حسين علي ، انمار وهبي صبري ، امل ياسين على وعلى حسون حمادي

٢٢٧

خصائص انتقال الطاقة في منظومة ليزر TEA-CO₂ صغيرة الحجم

د. عدوية جمعة حيدر ، عدي عطا حمادي

رقم الصفحةالموضوع

- ٢٣٧ دراسة تأثير درجة الحرارة وشدة الأضاءة على تحركية وتركيز الحاملات في أغشية CdS الرقيقة
- ٢٤٧ رعد سعدون صبرى ، سعد عبد الباري توفيق دراسة خصائص انتشار الكروم في السليكون القابل
- ٢٥٥ عدي عطا حمادى ، إيفان طارق سالم دراسة ظروف تحضير سائل مقاطيسى للمغنت Fe_3O_4 الجزء الاول : تحضير المغنت
- ٢٦٥ هيثم ناجي احمد، احمد عبد الجبار شنشل ، محمود العسلى دراسة في الاستخلاص بالمذيب للاستيمون الثالثي باستخدام -2 مركيتبوبنزوثيراوزول
- ٢٧٣ سعيدة كاظم صبيحه، رافع قدوري الكبيسي ، عبد المحسن الحسني دور انتقال الايونات عبر الغشاء المبطن للجيوب في التهاب الجيوب الانفية ايناس عبد المنعم اتبهه، ياسمة احمد عبد الله
- ٢٨٣ عزل وتشخيص جرثومة *Streptococcus pyogenes* واختيار اكفا العزلافي انتاج ذيفان Streptlysin O سعاد عبد علي عطية، رشيد محبوب المصلح، سعود رشيد انعاني

Concentration of Petroleum Hydrocarbon in Species of Plants Near Shat Al-Arab River

Naif M. Aziz

Department of Biology, College of Science, University of Basrah
Basrah-Iraq

الخلاصة

حدد تركيز الهيدروكربونات النفطية في اوراق اربعه انواع نباتية من منطقة شط العرب. بلغت معدلات تركيز الهيدروكربونات النفطية في تخيل التمر صنف الساير و اشجار السدر صنف البمباوي و نباتي البمبر والدفلة (مقدمة بالمايكغم / غم وزنا جافا) 6.03 و 4.14 و 4.00 و 2.1 على التوالي. ظهرت اعلى القيم من الهيدروكربونات النفطية عند الاجزاء القريبة من شط العرب مقارنة بالأجزاء الابعد منه. أن من أهم مصادر التلوث في منطقة الدراسة كانت وجود مصفى المفتية فضلا عن الفعاليات البشرية و حركة القوارب.

ABSTRACT

The concentration of petroleum hydrocarbon were determined in leaves of four species of plants from Shatt AL- Arab River. The mean concentration of petroleum hydrocarbons in phoenix dactylifera ev. Sayer, Zizphus spina-christi ev. Bambawi, Cordia myxa and Nerium oleander were (in $\mu\text{g.g}^{-1}$ dry weight): 6.03 , 4.14 , 4 , 00 and 2.1 respectively. The highest values of petroleum hydrocarbons were near parts of Shatt Al-Arab River comparing with far parts. Refinery station at Muftia beside human and boat activities were the most important sources of pollution in this region .

INTRODUCTION

Petroleum hydrocarbons may be released into environment in a variety of situations including natural seeps, accidental spills, refinery emissions, pipeline leakage, Urban run - off and municipal waste water discharges. Spills of petroleum hydrocarbons are having attention in recent years. Aquatic spills, because of there rapid spreading characteristics resulting in contamination of widespread areas, have attracted great publicity. Shatt AL- Arab River is receiving continues low levels of

pollutants such as petroleum hydrocarbons (Al- Saad, 1995), the matter makes organisms in and around the River accumulate certain pollutants in its tissues. Terrestrial plants can accumulate certain pollutants from the environment (Thomas et al, 1984), thus many workers selects different species of plants from different localities in order to having information about organic micropollutants that presence in its environment. The study of Aziz et al, (2000) gave many data about the ability of date palm tree to accumulate hydrocarbons from the environment around Shatt AL- Arab River, while Aziz (2000) discussed the variation between two species of plants including *Corolla myxa* and *Solamum tuberosum* to concentrate petroleum hydrocarbons in its tissues from diverse sources in the study area.

The aim of this study is having information about the concentration of petroleum hydrocarbons in different species of plants, including *Phoenix dactylifera* L. cv. Sayer, *Zizphus spina-christi* cv. Bambawi, *Cordia myxa* and *Nerium oleander* through different distances from Shatt AL- Arab River in order to provide more data in monitoring programs in this region .

MATERIAL AND METHODS

Sample of leaves of four species A,B, C and D (*phoenix dactylifera* cv. Sayer, *Zizphus spina-christi* cv. Bambawi, *Cordia myxa* and *Nerium oleander*) were collected from different distances (300m ,900m and 1200m a way from Shatt AL- Arab River) from Shatt AL- Arab region (Fig. 1) . the samples were dried by oven at 50°C . The extraction procedure was based upon that of Goutx and Saliot (1980), which have previously been used by UNEP (1992).

The samples were placed in pre- extracted cellulose thimble and soxhiet extracted with 150 ml methanol: benzene (1:1) mixture for 24 hours. At the end of this period, the extract was transferred to a storage flask and the samples were further extracted with a fresh solvent. The combined extracts were reduce in volume to ca.10 ml and saponified for 2 hours with a solution of 4N KOH in 1:1 methanol : benzene . After extracting the unsaponified matter with hexan the extract was analyzed with UVP analysis . The basic quantitative measurements for total petroleum hydrocarbons were made by measuring emission in intensity at 360nm with extraction set at 310 nm and monochrometer slits of 10 nm . All blanks, standards and samples were run at identical instrumental condition. For this work a Shimadzu RF- 540 spectro- fluorometer equipped with a DR -3 data recorder was used . However, procedural blanks consisting of all reagents and glass"

were used during the analysis were periodically determined. Fat content was done upon that of AOAC (1984).

Table (1) Concentration of petroleum hydrocarbons in the leaves of different species of plant with different distances. ($\mu\text{g.g}^{-1}$)

Distance (m)	Conc.			
	Plant			
	A	B	C	D
300	6.21	4.24	4.15	2.33
900	6.09	4.12	4.01	2.13
1200	5.79	4.06	3.84	1.84
R.L.S.D. (0.05)	0.15	0.10	0.10	0.15

Table (2) Fat content in leaves of four species of plants

Plant	Fat%
A	0.82
B	0.62
C	0.50
D	0.31
RLSD (0.05)	0.10

RESULTS AND DISCUSSION

There were variations in the concentration of petroleum hydrocarbons in leaves of four species of plant (tab.1) that showed the ability of different plant to accumulate certain pollutant from the environment (Thomas et al., 1984 ; Ibrahim, 1998). Means of fat percentage were varied among plants sample with a direct relationship exist between hydrocarbons and fat content (tab.2) due to that aromatic hydrocarbons are one of the lipophilic pollutants . Variance in the fat content that acts a continues sink of hydrocarbons may answer the variation among the four species of total hydrocarbons (Aziz , 2001). so plant A was registered the highest values compared with the other three plants , beside effect of such factors such as physico chemical properties of the pollutant and on the meteorological From Fig. 2 we can notice that plant A recorded the highest values in the concentration of hydrocarbons that reached $6.03 \mu\text{g.g}^{-1}$ dry weight , while the lowest values were recorded in plant D that reached $2.10 \mu\text{g.g}^{-1}$ dry weight.

Different concentration of hydrocarbons in the plant tissues during study period may come from different sources. The study area is closed to the city site of Basrah that having highly human population density so Urban run-off may increase the concentrations of the hydrocarbons (Zhou et al. 1996; Aziz et al. 2000), beside the presence of oil terminal at Muftia in north of study area and discharge of engines exhaust (Al- Saad and Al-Timari, 1989). The study area received its water from Shatt Al- Arab River directly, this matter makes it exposure to hydrocarbons contamination. Floating hydrocarbons were spread into the study area from its sources resulting hydrocarbons movement by waves and wind, so we can observe from tab.l the variation between different distances in hydrocarbons concentration . The distance 300 m. recorded the highest values of hydrocarbons concentration , because it is the nearest one to hydrocarbons sources , while spreading and dilution of hydrocarbons in water makes distance 900m and 1200m faraway from large amount of hydrocarbons . This confirms results from a study by Young blood and Blumer(1975)and the study of Herrmann and Baumgartner ,(1987) which showed a world wide uniform correlation between Aromatic hydrocarbons and its sources in different sites . The study of Ibrahim and Aziz (2001) on the levels of hydrocarbons in date palm cv. Saver leaves showed that the variation between samples and studied station may due to several factors such as amount of contaminant and weathering factors that agree with our result in this study .

Based on these result ., it can be concluded that the different plants can reflect and accumulate different concentration of hydrocarbons depending upon the species of plant and its site correlated with amount of hydrocarbon from its diverse sources .

REFERENCES

1. Bauer, O.N. "Spread of parasites and diseases of aquatic organisms by acclimatization: A short review" J. Fish Biol., 39: 679-686, (1991).
2. Dogiel, V.A. "Ecology of the parasites of freshes" In Dogiel, V.A., Petrushevski, G.K. and Polyanski, Yu.I (Eds.). Parasitology of fishes. Oliver and Boyd Ltd., Edinburgh: 1-47, (1961).
3. Telds, S. and Fernando, C.H. "on the biology of *Ergasilus confusus* Bere, 1931 (Copepoda), infesting yellow perch, *perca fluviatilis* L., in the Bay of Quinte, Lake Ontario, Canada" Crustaceana. 19(1): 1-14 (1970).

4. Cloutman, D.G. and Becker, D.A. "Some ecological aspects of *Ergasilus centrachidarum* Wright (Crustacea: Copepoda) on largemouth and spotted bass in Lake Fort Smith, Arkansas" *J. Parasitol.*, 63(2): 372-376, (1977).
5. Pilcher, M.W., Whitfield, P.J. and Riley, J.D. "Seasonal and regional intestation characteristics of three ectoparasites of whiting, *Merlangus merlangus* L., in the North Sea" *J. Fish Biol.*, 35(2): 97-110, (1990).
6. Oldwage, W.H. "Occurrence and distribution of copepod fish parasites on the west coast of South Africa" *J. Zool. Afr.*, 107:413-418, (1990).
7. Ho, J.-S., Khamees, N.R. and Mhaisen, F.T. "Ergasilid copepods (Poecilostomatoida) parasitic on the mullet *Liza abu* in Iraq, with the description of a new species of *Paraergasilus* Markevich, 1937" *Syst. Parasitol.*, 33: 79-87, (1996).
8. Khamees, N.R. "Ecological and biological studies of some copepods (Family Ergasilidae) infesting gills of the mugilid fish, *Liza abu* from Basrah" Ph.D. thesis, Univ. Basrah: 92, (1996).
9. Margolis, L., Esch, G.W., Holmes, J.C., A.M. and Schad, G.A. "The use of ecological terms in parasitology (Report of an adhoc committee of the American Society of Parasitologists)" *J. Parasitol.* 68(1): 131-133, (1982).
10. Campbell, R.C. "Statistics for biologists" Cambridge Univ. Press: 242, (1967).
11. Kennedy, C.R. "Ecological animal parasitology" Blackwell Sci. Publ., Oxford: 163, (1975).
12. Wahab, N.K. "Ecology and biology of three species of mugilid fishes in Shatt Al-Basrah Canal" M. Sc. Thesis, Univ. basrah: 155 (In Arabic), (1986).
13. Macan, T.T. "Freshwater ecology" 2nd edn., Longman Group, London: 343, (1974).
14. Antoine, S.E. "Seasonal variation of the environmental characteristics and phytoplankton bloom of Tigris, Iraq" M.Sc. thesis, Univ. Basrah: 150, (1977).
15. Rahemo, Z.I.F. "Two new species of *Ergasilus* (Copepoda: Cyclopoda) from the gills of two Iraqi freshwater fishes" *Bull. Basrah Nat. Hst. Mus.*, 5: 39-59, (1982).
16. Mhaisen, F.T., Al-Salim, N.K. and Khamees, N.R. "Occurrence of parasites of the freshwater mugilid fish *Liza abu* (Heckel) from Basrah, southern Iraq" *J. Fish Biol.*, 32(4): 525-532, (1988).

Effects of Sintering Parameters on Porosity and Pore Size Distribution For Compacted Samples of Some Local Iraqi Porcelanites (Ninivite Material)

Fadhel A. Rasen* , Layla S. Al-Ali**

* The Al-Majad General Company, Military Production Authority,
Jaderyia, Baghdad, Iraq

** University of Baghdad, College of Science, Department of physics,
Jaderyia, Baghdad, Iraq

ABSTRACT

Different sintering conditions were applied on compacted samples of Ninivite raw material, and on mixtures prepared from Ninivite with Duekhla kaolin, of particle size less than 50 μm , and also for particle sizes in the range 50-75 μm with different pre-chemical and heat treatment conditions : The porosity and pore size distribution are evaluated as a function of sintering conditions. The result at sintering temperature in the range between 1000°C and 1300°C shows different behaviours for pore formation and pore size distribution, which are attributed to sample preparation conditions (mixing ratio, pre- chemical and heat treatment, and particle size range) and to variation in raw material properties under the effect of heat treatment.

INTRODUCTION

One of the controlled physical property through the sintering process is the sample porosity, which depends on sintering conditions (sintering temperature , rate of increasing temperature, and soaking time) and on the compaction process, as well as, on the material properties (particle size and particle size distribution, material bonding, and impurities)⁽¹⁾. The term "sintering" refers to the pore shape change , pore shrinkage , and grain growth which the particles in contact undergo during heating⁽²⁻⁴⁾ . A simple model for sintering studies is an assembly of even-sized spheres. When this assembly is heated there is a welding together at the contact points, where a neck is built up; this is called the

initial stage of sintering . As heating continues, the pores become closed and spherical, all these changes being accompanied by an overall volume shrinkage. Further treatment causes these pores to diminish in size and finally to disappear.

In a great majority of cases, two basic macroscopic aspects of sintering may be distinguished in the initial stage : an increase in the adhesion of initially loose grains and a decrease in the volume fraction of pores. This is due to the process of crystallite growth and re-arrangement of grains in the powder, the grains become more closely packed. At the next stage, pores are completely eliminated by the approach of grain centers and the increases in the area of contact between the grains⁽⁵⁾ . Although the crystallite growth and re-arrangement of grains usually take place earlier, or, at lower temperatures, than the approach of grain centers, both these phenomena overlap in time and may be altered depending upon the phase composition of the initial powder, the reactions and transformations during heating, the shape and size of grains, as well as upon the temperature and the composition of the sintering atmosphere.

In this study, we will investigate the effect of the sintering process on the properties of materials specified to be used in electrical industry . The most important property is the porosity parameter. It is regarded so, because of its effect on the dielectric, the thermal, and the mechanical properties of those materials.

Basic Theory

The porosity characteristics, in a mass of loose powder, include : (i) total pore volume, (ii) pore volume between powder particles, (iii) pore volume within powder particles, (iv) number of pores between powder particles, (v) average pore size , (vi) pore size distribution, and (vii) pore shape [6].

Pore size distribution measured by mercury intrusion technique gives good description of the physical structure of ceramics and it became recognized as such [7-18]. The Wasburn relation [8,12] allows the radius r_0 of a cylindrical pore in a porous solid to be determined by mercury porosimetry from the intrusion pressure (p), by the relation

$$r_0 = (-2 \gamma \cos \theta_0) / p \dots\dots\dots(1)$$

where (γ) is the surface tension of mercury and (θ_0) is the contact angle.

Since most porous media contain pores of irregular and widely varying shapes, pores that are intruded under a given pressure are considered as having an "equivalent" cylindrical volume with radius as calculated from equation (1) [18].

From the measured volume of mercury which intrude the accessible pores in the samples as a function of increasing pressure, the value of porosity can be calculated and normalized to sample weight[19] according to :

$$\text{Porosity \%} = \frac{\text{Total intruded volume(cm}^3 / \text{gm}) * \text{sample weight(gm)}}{\text{Bulk Sample Volume (cm}^3\text{)}} \times 100\%.....(2)$$

where the total intruded volume and Bulk sample volume values are to be measured by the mercury intrusion system facilities while the sample weight is to be measured by using a highly accurate balance with an accuracy value of at least ± 0.0001 gm.

The Raw Materials :

The Ninivite rocks raw material are a form of porcelanite which is produced by sulphure leaching of clay stone (). The chemical analysis of nielite and kaolin rocks are given in table (1) and (2) [22].

Table (1) : Chemical Compostion data for Ninivite and Kaolin rocks [22]

Oxides	% in Ninivite	% in Kaolin	Oxides	% in Ninivite	% in Kaolin
SiO ₂	94.6	52.35	K ₂ O	0.04	-
Al ₂ O ₃	0.7	34.02	P ₂ O ₅	0.01	-
Fe ₂ O ₃	0.3	1.31	SO ₃	0.3	-
CaO	0.6	1.20	Cl	0.03	-
MgO	0.07	1.11	TiO ₂		0.12
Na ₂ O	0.02	-	L.o.I.	2.1	12.54

4. Experimental Work and Results

Since the aim of this work is to investigate the formation and the behaviours of pores under the effects of several inherent or applied physical parameters (these parameters included the sintering process, the sample preparation conditions, and the characteristic properties of the materials) , then the studied materials in the present work were divided into fourteen groups according to : material type, mixing ratio, particale's size range, and pre - chemical and heat treatment.

The groups which will show good dielectric properties could be flagged as electrical insulators. Here , we would like to mention that the electrical properties for the mentioned materials were studied by us [24] , and in that

study we have mentioned that they require more investigations. The present work represents the next step towards our further investigations. The compositions and the preparation conditions of the groups are tabulated compactly in a single table; see table (4).

Because this is one of very few studies concerning the mentioned raw materials, or probably the first one , we will show all our results concerning the twenty four groups displayed as graphs of percentage values of possible pore sizes; see Figs. 1 - 9 , while the details of the measured, or the calculated, data for every group are tabulated in tables 1 - 9 shown at the sides of the corresponding figures. Hopefully we can recognize the best of these groups, which show good dielectric properties, in order to recommend them as electrical insulators suitable for use in both small and industrials manufacturing scales.

DISCUSSION AND RESULTS

In the study on ninivite as raw and treated materials , defined by their groups , the present investigation deduced the following results , from the experimental results presented by the figures , which are :

*Group M15

Fig.1 shows , for compacted sample of ninivite raw materials of particle size $<50 \mu m$, the porosity decreases as the sintering temperture , in the range of $1100 - 1400 ^\circ C$, increases while keeping the other conditions of soaking time and temperture rating fixed as shown in table (1) . The effect of this process were reflected by the major peak of pore size . That is shifted in the direction of large pore region with low percentage of number , the shifted peak of the pores started with $0.12 \mu m$ with 80% at

1100 ° C to 2 μ m with 30% at 1400 ° C . The conclusion behand this behavioer , is that the sintering effect on this raw material gives high shrinkage value (37.6 %) and the mechanism of pores through the sintering condition where accumulation conditions , i.e. the pores moves toward each others that gives bigger pores in the final structure.

***Group M16**

Using particle size in the range < 22 μ m and following the same condition of sintering as that followed for group m15 , gives very low porosity , (0.06 cm³/gm) at 1300 ° C . while the pore of high percentage moves in the same mechanism but in low range (i.e. 0.2 μ m, 60% at 1100 ° C to 2 μ m , 10% at 1300° C) . with volume shrinkage was 33.2% . This value was more less than that for raw material (M15) . The porosity values due to different chamical and heat treatment when applied to different percentage amount of mixing kaolin with ninivite are tabulated in table (2) ; see table (3) for the percentage weights of mixing . From this table , one can clearly states that : only groups M19 , M21 ,M22 gives , under the specified conditions ,the acceptable values of porosity for the materials from, which the samples are prepared, to be flagged for use in electrical insulations industries.

Table (2) : porosity data as a function of sintering temperature

Group No.	Sintering Condition			Total intruded volume (cm ³ /gm)
	soak. time.	sinte rate		
M1	1400	2	100	0.06
M2	1200	2	100	0.05
M3	1300	2	100	0.06
M4	1300	2	100	0.13
M5	1300	2	100	0.09
M6	1300	2	100	0.23
M7	1300	2	100	0.04
M8	1300	2	100	0.04
M9	1250	2	100	0.17

These values when compared with the results of other work[25] using different technique, the technique of water immersion measurement for porosity , could be considered as having zero porosity. The difference between the results from the two technique comes from the fact that the measurements of water immersion are based on the surface properties while the measurements from mercury intrusion porosimetry are based on the bulk and fracture properties; an elaboration on this point will appear soon in a paper to be submitted by us for publication^[26]. The recommended sintering temperature to satisfy the accepted conditions for porosity and other electrical parameters for the materials under study 1300°C for two hours with temperature increase rate of 100°C /hr under atmospheric condition.

An acceptable values for porosity depends on whether the pores were closed pores or not, as shown by microstructure analysis. and from measurements of "break down field" on the sample, in (kV/mm) (which means applying a voltage difference across the sample thickness), one can decide upon that : discussion of our studies in this respect are still not complete; but we hope to submit in the near future some outputs

CONCLUSIONS

- 1- For all groups , as sintering temperature increases the value of porosity decreases in a manner related to initial particle size of compacted sample , and compaction values.
- 2- The Shrinkage value increases in different percentage in a way related to the type of material that was compacted and to the treatment applied to that material.
- 3- Since the value of porosity does not only depend on the contribution of large pores in the pore distribution but on the no. of pores in that range, so one should normalize this value in units of cm³ / gm. The groups M5 , M7, and M8 gave acceptable results for normalized porosity values to be used as electrical insulators.

Table (4)

Group	Composition	Particle size range (μm) For group no.	Preparation Conditions of groups ^a			Chemical Treatment 10NHCL	Time hr.	Temp. °C	Calcination Condition
			No.	Wt %	Batch No.				
M1	100	M1	20.01	<50		20.01	—	—	—
M2	100	M2		<22		—	—	—	—
M3	70	M1		<50		—	—	—	—
	30	kaolin		<50		—	—	—	—
M4	50	M1		<50		—	—	—	—
	50	kaolin		<50		—	—	—	—
M5	70	M1	29.42	<50		—	4	—	—
	30	No. 2		<50		22.71	1	—	—
M6	50	M1	29.9	<50		—	4	—	—
	50	No. 2		<50		22.71	1	—	—
M7	60	kaolin	32.26	<50		—	—	—	—
	30	M1		<50		—	—	—	—
	10	Al ₂ O ₃		<50		—	—	—	—
M8	30	M1	35.78	<50		20.01	—	—	—
	70	kaolin		<50		—	—	—	—
M9	70	No.11	36.41	<50		—	16	—	—
	30	No.4		<50		25.02	1	400	7
M10	70	No.11	28.67	<50		22.71	16	—	—
	30	No.2		<50		—	1	—	—

Batch description with respect of defined treatment : M1, M2 , NO.11 : Ninnivite , NO.2 , NO.4 : kaolin dukhla .

Table (1) : Porosity data for group: M1

Item	Curve No.		
	1	2	3
Pore volume in pores greater than 4000 Å (cm ³ /gm)	0.0000	0.0000	0.0000
Pore volume between 100 and 4000 Å (cm ³ /gm)	0.2987	0.1823	0.1521
Pore volume in pores less than 100 Å (cm ³ /gm)	0.0071	0.0101	0.0103
Porosity surface area (cm ² /gm)	10.36	9.68	7.89
Total intruded volume (cm ³ /gm)	0.3061	0.1974	0.1623
Sintering Conditions			
Sintering temperature (°C)	1100	1200	1400
Sintering time (hr)	2	2	2
Sintering rate (°C/hr)	100	100	100

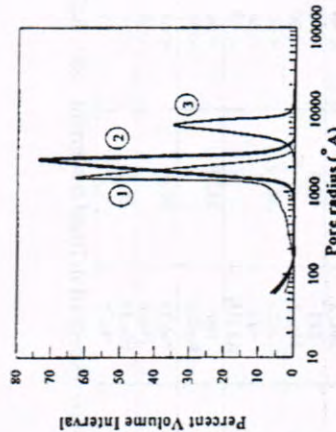


Fig.(1.) : Pore size distribution for group No. M1 .

Table (3) : Porosity data for group: M3

Item	Curve No.	
	1	2
Pore volume in pores greater than 4000 Å (cm ³ /gm)	0.0000	0.0000
Pore volume between 100 and 4000 Å (cm ³ /gm)	0.3581	0.0308
Pore volume in pores less than 100 Å (cm ³ /gm)	0.0203	0.0299
Porosity surface area (cm ² /gm)	17.46	17.41
Total intruded volume (cm ³ /gm)	0.3784	0.0607
Sintering Conditions		
Sintering temperature (°C)	1100	1300
Sintering time (hr)	2	2
Sintering rate (°C/hr)	100	100

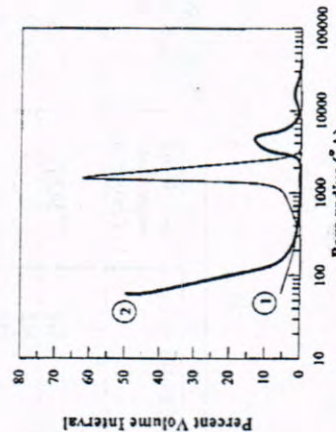
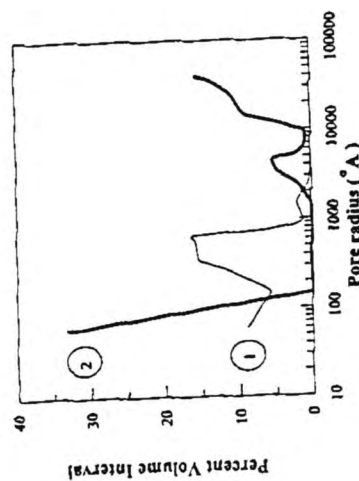


Fig.(3) : Pore size distribution for group No. M3 .

Table (2) : Porosity data for group: M 2

Item	Curve No.	
	1	2
Pore volume in pores greater than 40000 Å (cm ³ /gm)	0.0000	0.0085
Pore volume between 100 and 4000 Å (cm ³ /gm)	0.1444	0.0218
Pore volume in pores less than 100 Å (cm ³ /gm)	0.0136	0.1143
Pore surface area (m ² /gm)	31.42	0.0546
Total intruded volume (cm ³ /gm)	0.1780	

Sintering Conditions	
Sintering temperature (°C)	1000
Sintering time (hr)	2
Sintering rate (°C/hr)	100

**Fig.(2) : Pore size distribution for group No. M2**

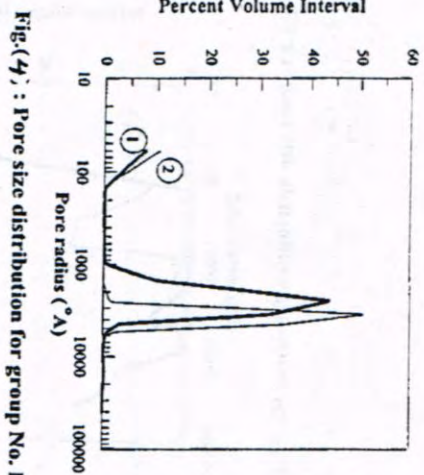
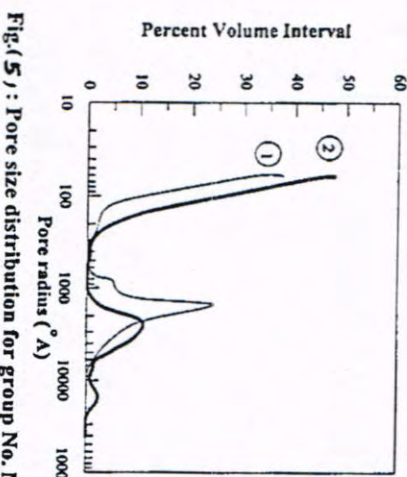


Fig.(4): Pore size distribution for group No. M4.

Fig.(5): Pore size distribution for group No. M5.

Table (5): Porosity data for group: M5

Item	Curve No.	
	1	2
Pore volume in pores greater than 40000 \AA (cm^3/gm)	0.000	0.000
Pore volume between 100 and 40000 \AA (cm^3/gm)	0.2193	0.1140
Pore volume in pores less than 100 \AA (cm^3/gm)	0.0187	0.0137
Porosity surface area (m^2/gm)	12.48	10.00
Total intruded volume (cm^3/gm)	0.2380	0.1277
Sintering Conditions		
Sintering temperature ($^\circ\text{C}$)	1200	1300
Sintering time (hr)	2	2
Sintering rate ($^\circ\text{C}/\text{hr}$)	100	100

Item	Curve No.	
	1	2
Pore volume in pores greater than 40000 \AA (cm^3/gm)	0.000	0.000
Pore volume between 100 and 40000 \AA (cm^3/gm)	0.0277	0.0338
Pore volume in pores less than 100 \AA (cm^3/gm)	0.0206	0.0325
Porosity surface area (m^2/gm)	8.83	19.64
Total intruded volume (cm^3/gm)	0.0433	0.0863
Sintering Conditions		
Sintering temperature ($^\circ\text{C}$)	1200	1300
Sintering time (hr)	2	2
Sintering rate ($^\circ\text{C}/\text{hr}$)	100	100

Table (6) : Porosity data for group: M 6

Item	Curve No.	
	1	2
Pore volume in pores greater than 4000 Å (cm ³ /gm)	0.0000	0.0000
Pore volume between 100 and 400 Å (cm ³ /gm)	0.0047	0.1976
Pore volume in pores less than 100 Å (cm ³ /gm)	0.0362	0.0277
Porosity surface area (m ² /gm)	20.50	21.65
Total intruded volume (cm ³ /gm)	0.0409	0.2253
Sintering Conditions		
Sintering temperature (°C)	1250	1300
Sintering time (hr)	2	2
Sintering rate (°C/hr)	100	100

Fig.(6) : Pore size distribution for group No. M 6.

Table (7) : Porosity data for group: M 7

Item	Curve No.		
	1	2	3
Pore volume in pores greater than 4000 Å (cm ³ /gm)	0.000	0.000	0.0000
Pore volume between 100 and 400 Å (cm ³ /gm)	0.1228	0.1170	0.0435
Pore volume in pores less than 100 Å (cm ³ /gm)	0.0285	0.0096	0.0241
Porosity surface area (m ² /gm)	16.86	7.76	14.49
Total intruded volume (cm ³ /gm)	0.1513	0.1266	0.0677
Sintering Conditions			
Sintering temperature (°C)	1200	1300	1400
Sintering time (hr)	2	2	2
Sintering rate (°C/hr)	100	100	100

Fig.(7) : Pore size distribution for group No. M 7.

Table (8) : Porosity data for group: M 8

Item	Curve No.	
	1	2
Pore volume in pores greater than 40000 Å (cm^3/gm)	0.0000	0.0000
Pore volume between 100 and 4000 Å (cm^3/gm)	0.285	0.0388
Pore volume in pores less than 100 Å (cm^3/gm)	0.0075	0.0223
Porosity surface area (m^2/gm)	5.51	13.18
Total intruded volume (cm^3/gm)	0.0358	0.0611
Sintering Conditions		
Sintering temperature (°C)	1300	1400
Sintering time (hr)	2	2
Sintering rate (°C/hr)	100	100

40

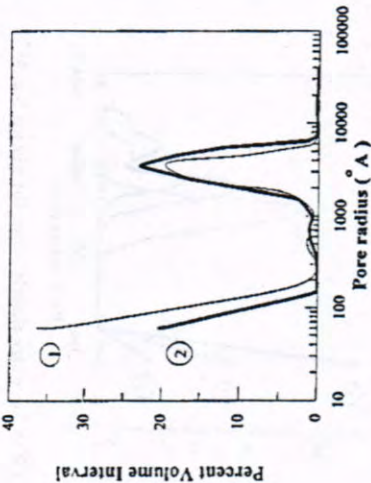


Fig.(8) : Pore size distribution for group No. M 8

Table (9) : Porosity data for group: M 9

Item	Curve No.	
	1	2
Pore volume in pores greater than 40000 Å (cm^3/gm)	0.0000	0.0000
Pore volume between 100 and 4000 Å (cm^3/gm)	0.3441	0.1471
Pore volume in pores less than 100 Å (cm^3/gm)	0.0200	0.0185
Porosity surface area (m^2/gm)	27.69	16.48
Total intruded volume (cm^3/gm)	0.3641	0.1657
Sintering Conditions		
Sintering temperature (°C)	1200	1250
Sintering time (hr)	2	2
Sintering rate (°C/hr)	100	100

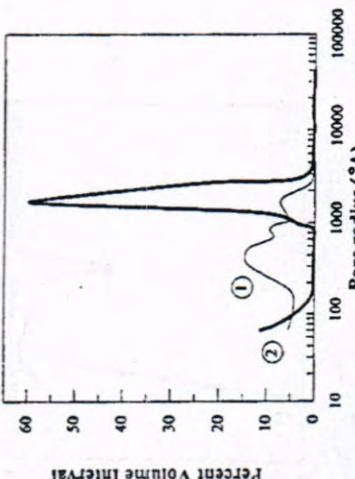


Fig.(9) : Pore size distribution for group No. M 9.

REFERENCES

1. J.H. chesters "Pefractories Production and Properties". The Iron and Steel Institute. London, p 4,5. (1973)
2. Coble, R.L., " Sintering crystalline solids , I - intermediate and final state diffusion models". Journal of Applied Physics, Vol. 32, no. 5 , pp. 787 - 792. (1961)
3. Coble, R.L., " Sintering crystalline solids , II - Experimental test of diffusion models in powder compacts", Journal of Applied Physics, Vol. 32, no. 5 , pp. 793 - 799. (1961)
4. Lang, F.F. and Kellett, B. " Influence of particle arrangement on sintering", Science of Ceramic , L.L.L. Hench and D.R. Vlrich (ed.) , A Wiley Interscience Publication , John Wiley and sons , NewYork. (1985)
5. Pampuch, R., " Ceramic materials ; an introduction to their properties", Elsevier Scientific Publishing Company, Amsterdam. (1976)
6. Lowel, S. and Shields, J.E., " Theory of mercury porosimetry hysteresis " Powder Technology, Vol. 38 , pp. 121 - 124. (1984)
7. Whittmore , O.J., " Mercury porosimetry of Ceramic", Powder Technology , Vol. 29 , pp 167 - 175. (1981)
8. Lowell , S., " Continuous scan mercury porosimetry and the pore potential as a factor in porosimetry hysteresis", Powder Technology, Vol. 25 , pp. 37 - 43. (1980)
9. Bell W.K., "Mercury penetration and reflection hysteresis in closely packed spheres", Powder Technology, Vol. 29 , pp 75 - 88. (1981)
10. Cifcioglu, M - Smith, D.M. and Ross , S.B., " Mercury porosimetry of order sphere compacts, investigation of intrusion and extrusion pore size distributions", Powder Technology, Vol. 55 , pp 193 - 205. (1988)
11. Brakel , J.V. Modry, S.and Svata,M., " Mercury porosimetry", Powder Technology, Vol. 29 , pp 1-12. (1981)
12. Rootore, H.M. and Graing , R.G., " Characterization of the compaction and sintering of hydroxyapatate powder by mercury porosimetry", Powder Technology, Vol. 9 , pp 199 - 211. (1974)
13. Smithwick, R.W. and Fuller , E.L., " A generalized analysis of hysteresis in mercury porosimetry hysteresis" ,Powder Technology , Vol. 38, pp165-173. (1984)

14. Kloubek, J., "Hysteresis in porosimetry", Powder Technology, Vol.29 , pp63 - 73. (1981)
15. Kloubek , J., "A new method for the investigation of poros structures using mercury porosimetry hysteresis", Powder Technology, Vol.29 , pp 89 - 97. (1981)
16. Smithwick, R.W., " Compression equations for mercury porosimetry hysteresis", Powder Technology , Vol.33, pp 55- 64. (1982)
17. Moscou, L. and Lub,s," Practical use of mercury porosimetry in the study of porous solids", Powder Technology , Vol. 29 , pp 45 - 52. (1981)
18. Diamond, S.," Pore size distributions in clays", Clays and Clay Minerals, Vol.18, pp 7-23. (1970)
19. Smithwick , R.V.," A generalized analysis for mercury porosimetry", Powder Technology, Vol. 33 , pp 201 - 209. (1982)
20. Rasen , F.A. , " The use of Iraqi siliceous rocks as electrical insulators in industry", Ph. D. thesis , Saddam University. (1998)
21. Rex W. Grimshaw ,The chemistry and physics of clays and allied Ceramic materials , ERNEST BENN LIMITED. Great Britain, p.924. (1971)
22. Rasen F.A. and Al - Ali Layla , S. , " Microstructure study of porcelanite and Ninivite rocks", To be submitted for publication . (2000)

Some Ecological Aspects of *Ergasilus rostralis* (Copepoda: Crustacea) from the Mullet, *Liza abu* from Shatt Al-Arab River

NAJIM R. KHAMEES* and FURHAN T. MHAISEN**

*Department of Fisheries and Marine Resources, College of Agriculture, University of Basrah

**Department of Biology, College of Education (Ibn Al-Haitham), University of Baghdad

الخلاصة

تم خلال المدة من شهر تموز 1993 ولغاية أيلول 1994 جمع 773 نموذجاً من سمكة الحشني *Liza abu* من نهر شط العرب قرب مدينة البصرة، جنوب العراق. كانت هذه الأسماك مصايد بالقشري مصايد *Ergasilus rostralis*. لم تظهر فروق معنوية في نسبة اصابة ذكور و إناث الأسماك بهذا الطفيلي. شهدت نسبة الاصابة و شدة الاصابة تذبذبات شهرية. عموماً كانت الاصابة عالية أثناء المدة من شهر ايار و حتى تشرين الاول و واطنة أثناء المدة من تشرين الثاني و حتى نيسان. لوحظ حصول زيادة حادة في نسبة الاصابة بزيادة طول الأسماك. ظهر هذا القشري باعداد كبيرة على الصفيحتين الغلصميتين الثانية والثالثة ولكن كان وفيراً على القوس الغلصمي الثالث. لقد توأجد *E. rostralis* على السطح الخارجي للصفائح الغلصمية متصلًا بالاجزاء الوسطى من الخيوط الغلصمية.

ABSTRACT

During the period from July 1993 to September 1994, a total of 773 fishes (*Liza abu*) were collected from Shatt Al-Arab river near Basrah city, south of Iraq. They were infected with the crustacean *Ergasilus rostralis*. No significant differences were noted in the percentage of infection of male and female fishes with this parasite. Percentage incidence and mean intensity of infection with *E. rostralis* showed monthly fluctuations. In general, the infection was high during the period from May till October and low from November till April. A sharp increase in the percentage of

infection with increasing fish length was noticed. This crustacean occurred in maximum numbers on the second and third gill lamellae, but it was more abundant on the third gill arch. *E. rostralis* was found on the outer surfaces of gill lamellae attached to the middle portions of the gill filaments.

INTRODUCTION

Information about the seasonal abundance of fish parasites, level of infection and other macro- and microenvironmental factors affecting them are badly needed to provide help in controlling outbreaks of such parasites⁽¹⁾. Such information may help in understanding some ecological aspects of the host⁽²⁾. Some biological and ecological information about parasitic copepods in general and ergasilids in particular were published^(3,4,5,6).

Information reported in such investigations included the seasonal changes in infestation, site of attachment, geographical distribution, and correlation of infestation with host age and sex...etc.

Investigation on ergasilids of Iraq are limited^(7,8). The present paper is designed to report detailed information on some ecological aspects of *E. rostralis* found on the gills of *L. abu*.

MATERIALS AND METHODS

Specimens of *L. abu* were collected from Shatt Al-Arab river at Qarmat Ali town on weekly intervals during the period from July 1993 to September 1994 with the aid of a 80 x 1.5 m gill net of 20 mm mesh size and a 2.5 m diameter cast net of 10 mm mesh size. Some fishes were kept in a cool box with river water and transferred to the laboratory where they were examined within 24 hours after their capture. Some specimens were deeply frozen and examined within one week.

Water temperature at the sampling area was recorded during the same day of collection. Water acidity, salinity and oxygen content were determined with the aid of a pocket pH and conductivity meter and a battery-operated oxygen meter.

In the laboratory, alive fish samples were sacrificed by pithing. Their total lengths, weight and sex were determined. Gills from both sides were separated, kept moist in Petri dish and examined under an Olympus dissecting microscope for counting ergasilids on each gill lamella.

The term "incidence" and "intensity" of infection were used to denote the percentage of infected hosts in a sample and the number of specific argasid recovered from any one host, respectively⁽⁹⁾.

Fish samples were grouped into three different length groups: - less than 50 mm, 50-100 mm and more than 100 mm in total length. For testing differences in both incidence and intensity of infection between fish sexes and length groups, two factorial designs and two mean t- test were conducted⁽¹⁰⁾. Correlation between incidence of infection and some water properties were demonstrated.

RESULTS AND DISCUSSION

A total of 773 fish specimens were examined. Gills of these fishes were infected with *E. rostralis*. As the infection of both sexes of *L. abu* showed no significant differences throughout the period of the present study ($t= 0.04$; $P<5\%$ with 14 d.f.) and as no differences in infection were recorded between host sexes within the three length groups ($F= 1.6$; $P< 5\%$ with 14 d.f.), data of both sexes were pooled together. The overall incidence was 47% and the mean intensity was 3.7.

The absence of significant differences between the infection of male and female *L. abu* with *E. rostralis* agrees with a statement given by Kennedy⁽¹¹⁾ that many researchers demonstrate the absence of any differences in the infestation of both sexes of the host. Other investigators reported similar results on the parasitic copepods^(3,4,8).

Monthly readings of water temperature, salinity, pH and oxygen content are shown in Table (1).

Maximum water temperature recorded (31 °C) was during both July 1993 and September 1994. A minimum value of water temperature (15 °C) was recorded during December 1993. Hydrogen ion concentration varied between 7.4 during September 1994 and 8.5 during January and March 1994. Values of pH were generally on the alkaline side. Salinity values fluctuated between a minimum value of 0.8 ppt during December 1993 and a maximum value of 1.8 ppt during August 1994. The minimum value of the dissolved oxygen (5.2 mg/l) was recorded during July 1993, while a maximum value of 8.1 mg/l was recorded during February 1993.

The monthly fluctuations in water properties of the sampling area of Shatt Al- Arab river were close to those reported by Wahab⁽¹²⁾ who studied the ecology and biology of three species of mugilid fishes (including *L. abu*) from Shatt Al-Basrah canal. His first station is about 3 km. far from the station of the present study. The drop in water temperature during the period from October 1993 till April 1994 was also accompanied with an increase in oxygen content and pH values. The reverse relation between water temperature and oxygen content is well established in literature⁽¹³⁾. The increase in pH values during this period may be attributed to the presence of big masses of aquatic plants, which consume dissolved CO₂ rapidly when no gas was produced and when no organic materials decay can occur in cold water⁽¹⁴⁾. The drop in salinity during winter could be attributed to the heavy rain and low water temperature⁽¹³⁾.

Monthly changes in the percentage incidence and mean intensity of infection of *L. abu* with *E. rostralis* showed no any significant differences between both sexes ($t=0.04$; $P < 5\%$ with 14 d.f.). For this reason, all data were pooled (Table 1). Two high peaks of incidence occurred during September 1993 (61.8%) and June 1994 (98%).

The first peak occurred as a result of attachment of new generations produced by overwintering females. The second peak occurred during late summer due to the attachment of several summer generations. Similar trends of occurrence during spring and summer were noted by Rahemo⁽¹⁵⁾ for *E. mosulensis* in Tigris River at Mosul. Mhaisen et al.⁽¹⁶⁾ found no *E. mosulensis* during winter months in Mehaijeran creek, south of Basrah city. Tedla & Fernando⁽³⁾ in their study on the biology of *E. confusus* from *Perca fluviatilis* of Lake Ontario of Canada detected high level of incidence during summer months and a sudden decrease in autumn and winter. Køie⁽¹⁷⁾ found the eel *Anguilla anguilla* infected with *E. gibbus* in Lake Esrum, Denmark, only during the period from May through November.

Low levels of incidence were observed during winter and spring months. Minimum value of incidence (16.7%) was during February 1994.

High level of mean intensity (9.5) occurred during June 1994. Minimum levels of intensity were recorded during winter and spring. Mean intensity was well correlated with percentage incidence of infection. Both of

them showed well correlation with water temperature, pH and dissolved oxygen content ($r= 0.64, -0.73$ and -0.63 , respectively). On the other hand, no correlation was noticed with salinity. Kozkova et al.⁽¹⁸⁾ stated that the seasonal abundance of copepods are not influenced by water temperature only but they are also related to the abundance of their food (the phytoplankton blooms). These blooms occurred mainly during warmer months with long time of daylight.

Host's behaviour and migration may influence the composition of parasitic fauna of fishes⁽²⁾. During spring, summer and autumn, *L. abu* is a shore dweller. It spawns and feeds in shallow still water with dense vegetation. Such environment is favourable for the ergasilids and their infective stages. During winter, *L. abu* becomes less active and tends to vanish in the deeper, darker and more flowing water in which ergasilids seem to be unable to survive⁽¹⁹⁾.

The incidence of infection of different length groups of *L. abu* with *E. rostralis* was low (24%) in fishes less than 50 mm, moderate (42%) in fishes between 50 and 100 mm, and high (57%) in fishes of more than 100 mm length. The intensity was also low in first length groups (1.8) and sharply increased in both the second and third fish length groups (3.1 and 4.5, respectively).

Duijn⁽²⁰⁾ stated that gill filaments of the small fishes are too small to be infected with *Ergasilus* spp. which prefer more considerable filament size. The increase in incidence of infection with some ergasilids with increasing fish length was reported by some investigators^(3,4,16). In general, smaller *L. abu* were less infected. Their restricted occurrence in few months and their smaller size which makes it difficult for them to be infected with ergasilids, are responsible for such low infections in comparison with bigger fishes.

E. rostralis was evenly distributed on both left and right gill arches. Its numbers increased sharply on both second and third gill arches with less numbers on the fourth gill arch. *E. rostralis* was found on the outer surface of the dorsal and mainly the middle parts of the gill lamellae attached to the middle portions of the filaments.

E. confusus was reported by Tedla & Fernando⁽³⁾ as having significantly greater distribution on both the second and the third gill arches of the perch (*Perca fluviatilis*). The differences in the distribution of different ergasilids on gills and sites of attachment may serve to avoid antagonism between such parasites⁽²⁾.

Table (1): Monthly fluctuations of some physico-chemical properties of waters of Shatt Al-Arab river and infection of *L. abu* with *E. rostralis*.

Month	Water temperature (°C)	pH	Salinity (ppt)	Oxygen content (mg/l)	Infection	
					Incidence	Intensity
July 1993	31	8.1	1.4	5.2	37.7	1.8
August	30	7.9	1.6	5.5	46.5	2.1
September	29	8.0	1.3	6.4	61.8	3.1
October	27	8.0	1.4	6.5	47.8	3.2
November	20	8.4	1.2	6.9	47.9	2.0
December	15	8.4	0.8	7.5	34.0	1.5
January 1994	16	8.5	0.9	7.8	28.0	1.4
February	20	8.4	1.0	8.1	16.7	2.1
March	21	8.5	1.1	8.0	20.4	1.5
April	25	8.3	1.3	7.6	22.5	1.3
May	29	8.4	1.1	6.7	56.9	3.7
June	29	8.1	1.2	6.3	98.0	9.5
July	29	7.8	1.2	6.3	85.0	3.4
August	29	7.7	1.8	6.1	91.7	6.0
September	31	7.4	1.4	5.8	84.2	4.3

REFERENCES

1. Bauer, O.N. "Spread of parasites and diseases of aquatic organisms by acclimatization: A short review" J. Fish Biol., 39:679-686, (1991).
2. Dogiel, V.A. "Ecology of the parasites of freshwater fishes" In Dogiel, V.A., Petrushevski, G.K. and Polyanski, Yu.I. (Eds.). Parasitology of fishes. Oliver and Boyd Ltd., Edinburgh: 1-47, (1961).
3. Tedla,S. and Fernando, C.H. "On the biology of *Ergasilus confusus* Bere, 1931 (Copepoda), infesting yellow perch, *Perca fluviatilis* L., in

- the Bay of Quinte, Lake Ontario, Canada" Crustaceana, 19(1): 1-14, (1970).
4. Cloutman, D.G. and Becker, D.A. "Some ecological aspects of *Ergasilus centrarchidarum* Wright (Crustacea: Copepoda) on largemouth and spotted bass in Lake Fort Smith, Arkansas" J. Parasitol., 63(2): 372-376, (1977).
 5. Pilcher, M.W., Whitfield, P.J. and Riley, J.D. "Seasonal and regional infestation characteristics of three ectoparasites of whiting, *Merlangus merlangus* L., in the North Sea" J. Fish Biol., 35(2): 97-110, (1990).
 6. Oldwage, W.H. "Occurrence and distribution of copepod fish parasites on the west coast of South Africa" J. Zool. Afr., 107: 413-418, (1993).
 7. Ho, J.-S., Khamees, N.R. and Mhaisen, F.T. "Ergasilid copepods (Poecilostomatoidea) parasitic on the mullet *Liza abu* in Iraq, with the description of a new species of *Paraergasilus* Markevich, 1937" Syst. Parasitol., 33: 79-87, (1996).
 8. Khamees, N.R. "Ecological and biological studies of some copepods (Family Ergasilidae) infesting gills of the mugilid fish, *Liza abu* from Basrah" Ph.D. thesis, Univ. Basrah: 92, (1996).
 9. Margolis, L., Esch, G.W., Holmes, J.C., Kuris, A.M. and Schad, G.A. "The use of ecological terms in parasitology (Report of an ad hoc committee of the American Society of Parasitologists)" J. Parasitol., 68(1): 131-133, (1982).
 10. Campbell, R.C. "Statistics for biologists" Cambridge Univ. Press: 242, (1967).
 11. Kennedy, C.R. "Ecological animal parasitology" Blackwell Sci. Publ., Oxford: 163, (1975).
 12. Wahab, N.K. "Ecology and biology of three species of mugilid fishes in Shatt Al-Basrah Canal" M. Sc. thesis, Univ. Basrah: 155 (In Arabic), (1986).
 13. Macan, T.T. "Freshwater ecology" 2nd edn., Longman Group, London: 343, (1974).
 14. Antoine, S.E. "Seasonal variation of the environmental characteristics and phytoplankton bloom of Tigris, Iraq" M.Sc. thesis, Univ. Basrah: 150, (1977).
 15. Rahemo, Z.I.F. "Two new species of *Ergasilus* (Copepoda: Cyclopoida) from the gills of two Iraqi freshwater fishes" Bull. Basrah Nat. Hist. Mus., 5: 39-59, (1982).

16. Mhaisen, F.T., Al-Salim, N.K. and Khamees, N.R. "Occurrence of parasites of the freshwater mugilid fish *Liza abu* (Heckel) from Basrah, southern Iraq" *J. Fish Biol.*, 32 (4): 525-532, (1988).
17. Køie, M. "Parasites in eels *Anguilla anguilla* (L.), from eutrophic Lake Esrum (Denmark)" *Acta Parasitol. Pol.*, 33(2): 89-100, (1988).
18. Kozhova, O.M., Aschepkova, L. Ya., Kuzevanova, E. N. and Mel'nik, N.G. "Long-term dynamics of abundance of planktonic copepoda in Lake Baikal" *Hydrobiol. J.*, 22 (6): 16-24, (1986).
19. Conneely, J.J. and Mc Carthy, T.K. "Ecological factors influencing the composition of the parasitic fauna of the European eel, *Anguilla anguilla* (L.), in Ireland" *J. Fish Biol.*, 28: 207-219, (1986).
20. Duijn, van C. Jnr. "Diseases of fishes" 3rd edn., Iliffe Books, London: 372, (1973).

The Study of The DTA of Some Local Industrial raw materials in Iraq

Fadhel A. Rasen*, L .S . Al – Ali**, and Z . T . AL – Dahan***

* The Al-Majad General Company, Military Production Authority, Iraq

** Saddam University, College of Science Department of Physics,
Baghdad

*** Iraqi Atomic Energy Commission

ABSTRACT

Measurements of differential thermal analysis "DTA" of Kaolin Duekhla, west desert porcelanite, and Ninivite materials were carried out. These materials are Iraqi rocks which exist in abundance in can form of as reserve. These studies were done by carefully selecting the materials to be representatince to bulk materials and according to the requirement of measurement. The conclusion drawn for Iraqi Kaolin is the existence of high impurities in this material, which affect the reactions under heat rise conditions. The calcination has an effect on the properties of DTA results on west-desert porcelanite. The DTA results of the Ninivite materials show conversion in the raw materials into cristobalite and Tridymite.

INTRODUCTION

Differential thermal analysis (DTA) is a technique of recording different in difference in temperature between a substance and a reference material against either time or temperature as the two specimens are subjected to identical temperature regimes in an environment heated or cooled at a controlled rate (1-2).

Differential thermal analysis (DTA) is concerned with the detection of physical or chemical changes which may occur when matters heated, specifically, DTA studies the change in the absorption or liberation of heat by a sample measured as a function of the temperature. This change is compared ith a reference substance that has been submitted to the same condition ⁽³⁻⁵⁾.

In the method generally used, the sample to be studied is placed in one hole of specimen holder, and an inert material that experiences

no thermal reaction when heated to the temperature of the experiment, usually calcinated aluminum oxide (α -Al₂O₃), is placed in another hole of the specimen holder . One junction of the difference thermocouple is placed in the center of the sample and the other junction in the center of the inert material. The holder and thermocouples were placed in a furnace so controlled as to produce a uniform rate of temperature increase. The temperature of the inert material increases regularly as the temperature of the furnace increases. When a thermal reaction takes place in the sample, the temperature of the sample is greater or less than that of the inert material.

Increasing the heating rate delays the attainment of the temperatures of the endothermic and exothermic peaks and increases the height of the peak and the temperature interval during which the reaction takes place⁽⁶⁾.

EXPERIMENTAL WORK

The measurements have been done by using DTA NETZSCH model 409 with rating 10°C/ min. and the measurements were carried out under atmospheric condition.

Differential thermal results are plotted in the form of a continuous curve, in which the thermal reactions are plotted against furnace temperatures, Endothermic reactions conventionally are shown as downward deflections with and exothermic reactions as upward deflections from a horizontal base line. The amount of divergence of the difference curve from the base line reflects the difference in temperature between the sample and the furnace at any given temperature and is,. Therefore, measure of the intensity of the thermal reaction.

The DTA curve for Kaolin duekhla as a raw material is shown in fig.1, the loss in weight (%) in fig. 1b for that material. Fig 2a shows DAT curve for porcelaanite raw material and fig.2b shows DAT curve for calcinated porcelanite at 200 °c for 2hr. Fig (3) shows DTA curve for Ninivit raw material.

RESULTS AND DISCUSSION

Heating such energy . on DTA curves reveal all energy changes occurring in a sample changes can arise from at least five causes: Phase transitions , decomposition , solid- state reactions in multi-component samples, reactions with an active gas such as oxygen (generally surface reactions) and second- order transitions (change in entropy with out a change in enthalpy). The curves are, therefore, a function of the crystal structure and chemical composition of the material (s) in the sample and thus reflect the mineralogical nature of the sample⁽⁵⁾.

Kaolin Duekhla

Fig (1) for Kaolin duekhla raw material shows all endothermic dehydroxylation in the region of 550°C , the exact temperature, rate, and abruptness of loss of hydroxyls depends on the nature of the clay minerals and their particle size. A reduction of particle size, particularly, if it is accompanied by poor crystallinity, tends to reduce the temperature required for the loss of hydroxyls and causes them to be lost more gradually over a longer temperature interval differential curves for some poorly crystalline Kaolinites show a small initial endothermic reaction, indicating that, When there is irregularity in the arrangement of the kaolinite units, a small amount of water may be present between the layers. This is in accord with the slightly greater c-axis spacing of poorly crystalline as compared with well-crystallized Kaolinites. the precise temperature for the loss of this OH lattice water varies from kaolinite to kaolinite, and this variation may be explained by variations in particle size, since the dehydration temperature is known to decrease with decreasing particle size. it may also be explained by variations in crystallinity, since the poorly crystalline material loses its hydroxyl water somewhat more readily than well-crystallized kaolinite.

Differential thermal carves of kaolinite show an intense, sharp endothermic reaction corresponding to the loss of OH water. The

reaction begins at about 400°C, and for well-crystallized kaolinite the peak is about 600°C.

The intensity of the reaction and hence the size of the peak, as well as the peak temperature, are reduced slightly as the particle size decreases and as the crystallinity decreases.

The sections of the differential curves for poorly crystallized kaolinite lying between the peak for loss of hydroxyl water and the intense exothermic reaction at about 950°C are relatively flat. Whereas those for well-crystallized kaolinite in this temperature range tend to have an upward slope, with a slight endothermic reaction just before the exothermic reaction.

The loss of OH water in poorly crystallized kaolinite is accompanied by a fairly complete loss of structure but that in well-crystallized kaolinites some structural remnants persist along with some water and that this remnant is lost at time of the higher-temperature endothermic reaction.

In the temperature interval following hydroxyl loss and below that of the crystallization of the first new high temperature phases (950- 1000°C) the silica and alumina form the kaolinite are quite reactive, and readily soluble in acid and readily reacts with alkalis and alkaline earth.

Carbonates lose carbon dioxide in the temperature interval from about 500-900°C with the exact temperature-varying with the nature of the carbonate and its composition. These reactions are abrupt and endothermic and would take place, there for, when the material reaches the proper temperature.

Taylor suggested an inhomogeneous dehydroxylation mechanism for kaolinite. According to this concept, "the essential feature of the crystalline order in metakaolin, such as it resides chiefly in the oxygen packing" No oxygen is lost from the acceptor regions, and the type of oxygen packing in these regions tends to remain the same as in the original kaolinite.

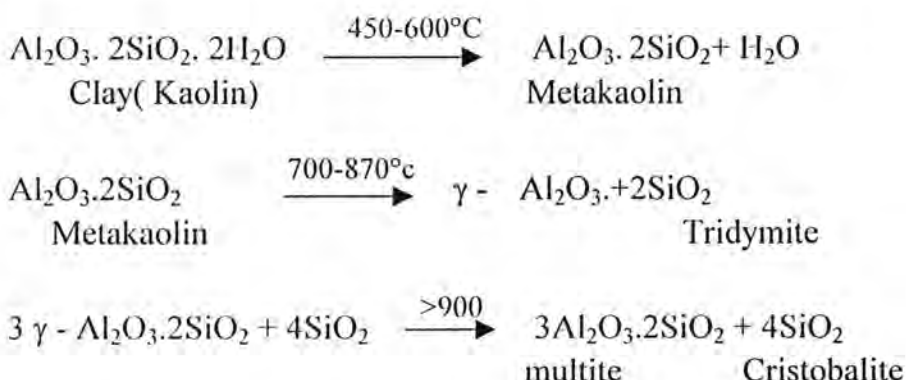
Additional cations are incorporated into the structure to make up for the protons that have been lost. All the cations, both Si^{4+} and Al^{3+} , could occupy tetrahedral sites, but these are distributed in a

largely random manner among the available tetrahedral interstices in the oxygen framework.

The endothermic reaction at 600°C is attributed to cation migration and loss of water from the donor regions, while the exothermic peak at 950°C is attributed to the change in the oxygen packing.

At 500 to 600°C when metakaolin is formed, there is sufficient energy for cation migration but not for any significant change in oxygen packing.

The phase transformation which exist through the heating can be defined by chemical relation as follow (7,8,9):



Meta-kaolin is the name given to the amorphous, metastable phase of kaolinite after dehydroxylation and it has several interesting characteristics. The specific surface increases dramatically, surface free energy for adsorption and catalytic activity increases, and it is highly reactive with other oxides in this form.

When metakaolin is formed, the kaolinite layers collapse in the C-direction from 7.14 to about 6.3 Å°, some of the Al⁺³ ions go into tetrahedral coordination with oxygen, and the tetrahedral silica sheet becomes quite distorted; however, the aluminum and silicon ions do not migrate very far from their original positions in the kaolinite structure. Kaolinite heated just above the temperature of complete dehydration retains some degree of order, such material has come to be called metakaolin.

On continued heating, the coordinated Al^{+3} and Si^{+4} ions gain increasing mobility, so that by 855°C a simple rotational movement produces the start of development of a cubic, spinel-like crystalline phase. At this low temperature, the crystallites are visible only by electron diffraction, but the cubic phase is well enough developed at 925°C or a little higher, to be detected by x-ray diffraction.

The aluminum - silica spinel, previously mistaken for gamma alumina, has an approximate composition of $2\text{Al}_2\text{O}_3 - 3\text{SiO}_2$ and the rest of the silica not included in this rearrangement remains amorphous. This is the structural state up to the sharp exothermic reaction at about 970°C . The exothermic peak is the nucleation of mullite from the spinel phase. Such a sudden release of energy must be due to a simple transition of a metastable state to a stable one.

The major oxides that are found by chemical analysis in kaolin duckhla are CuO , TiO_2 , Fe_2O_3 , MgO , SO_4 . Their chemical percents are (1.2, 0.12, 1.31, 1.11, and 0.45) respectively. The loss of ignition was found in the percentage of 12.54. As is mentioned in literature the calcite gives an endothermic peak in the region $(895-935)^\circ\text{C}$, magnesite gives an endothermic peak in the region $(625-695)^\circ\text{C}$ and halite gives an endothermic peak in the region 800°C ^(10,12).

Western - desert porcelainite

From literature (13,1, 4-6, 12) it is found that silica brick containing tridymite and cristobalite gives an endothermic peak in the regions 150°C for tridymite and 230°C for cristobalite. The silica brick containing mainly cristobalite gives an endothermic peak in the region 270°C . The quartz gives an endothermic peak at 573°C . Calcite gives an exothermic peak at 740°C . Carbonate gives an endothermic peak at 995°C . Dolomite gives an endothermic peak at 310°C , 520°C , 580°C , 801°C and 950°C . Sulfides gives an exothermic peak in the region of $600-720^\circ\text{C}$. Iron oxides gives an endothermic peak in the region $385-405^\circ\text{C}$.

Comparing these values with those shown in the D.T.A. spectrum (Fig2a) - regarding the minerals defined in table (1-10A) - it is clear

that the spectrum represents the combination effect of these maintained minerals.

Table 1-10A

mineral	minimum percentage	maximum percentage	Average
Opacl-cT	17	74	43.2
Quartz	1	12	5.4
Dolomite	1	49	19.8
calcite	1	12	4.6
Gypsum	0.0	5	0.8
Halite	0.0	3	1.0
Apatite	1	12	5
Clay	4	40	18.9

Fig (2-B) shows the endothermic peak for cristobalite, tridymite and dolomite, also it shows the exothermic peak for calcite, under the effect of calcination for raw material.

Ninivite raw material

Comparing the shape of endothermic peak for many types of silica (6) with that of ninivite raw material, one find its behavior seems to be like silica cement containing predominantly tridymite.

In separate conclusion the ninivite material gives an endothermic peak in three major regions, these are 150°C, 330°C, 440°C. The 150°C endothermic peak indicates the existence of silica, which behaves like tridymite and cristobalite, and for gypsum. The 330°C endothermic peak indicates the existence of gibbsite, γ - Al(OH)₃ transform to γ - Al₂O₃, and/or halides. The 440°C is another endothermic peak, which indicates the existence of Iron oxides and/or sulphides.

CONELUSIONS

- 1- The curvature shape is on the region 600-925°C, come from the combination of the endothermic characteristic of the impurities, which exist in the kaolin duekhla raw material.
- 2- Since the dehyroxylation losses maintained for kaolinate are close to the theoretical value of 14%which indicates that the presence of the impurities is less than 7% (11). In kaolin duekhla it was found that the impurities are of about 1673% , including the loss of ignition. This may be regarded as a cause for the loss in weight of about 10% , as shown in fig(2.3b).
- 3- calcination at 200°C for 2hr has an effective parameter on the DTA properties of western-desert porcelanite as shown in fig(2-4)b.
- 4- since the Ninivite materials undergoes several conversions and inversions processes during heating regarding the presence of high percentage of silica in their composition ($\geq 95\%$). Where these processes are the conversion processes consist of : quartz $> 1470^{\circ}\text{C}$ / for considerable time (gradually converted to cristobalite)

Cristobalite $(870-1470)^{\circ}\text{C}$ (gradually converted to tridymite) quartz at 1100°C Cristobalite . And the inversions processes, which occur rayidly and reversible, are :

α - quartz 575°c or above β - quartz

α - Cristobalite $220^{\circ}\text{c}-280^{\circ}\text{C}$ β - cristobalite

Tridymite I 117°C Tridymite II 163°C Tridymite III.

For these neasons, the D.T.A. of Ninivite materials shows the peaks of endothermic and exotherimic reactions.

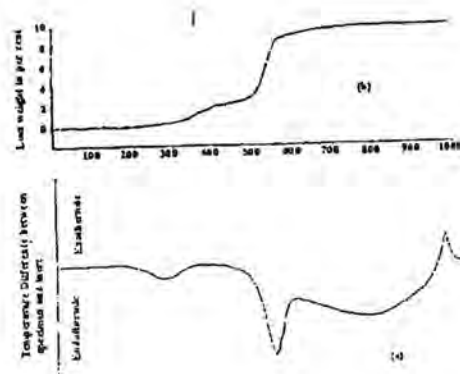


Fig. (1): (a) Differential thermal curve, (b) Loss in weight (%);
For kaolin duekhla raw material

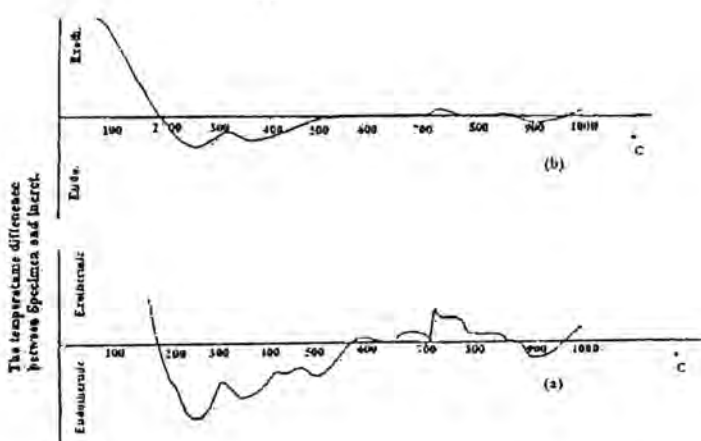


Fig. (2-): (a) Differential thermal curve for western – desert porcelainite and (b) for this material calcinated at 200°C for 2hr.

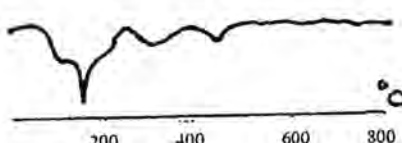


Fig. () : Differential thermal curve; (A) Ninivite raw material,

REFERENCES

- 1- Mackenzie, R.C. Thermal analysis. Phsico chemical methods of mineral Analysis, (A-W- Nicoled.) Plenum press, New York. (1969)
- 2- Berry,L-G- and Mason , B- mineralogy, concepts, descriptions and determinations. W.H. Freeman and company, san Franscisco. (1959)
- 3- Sewell, E.C the consequences for DTA of assuming a reaction to be first - order , clay minerals Bull. , Vol-2, No.13 pp 233- 241. (1955)
- 4- Rankin ,p. thermal methods . Characterization of ceramics, (L-L. Hench and R.W. Gould ed.) marcel Dekker, inc. New York. (1971)
- 5- Ware, R.K. Thermal analysis. Characterization of ceramics, (L-L. Hench and R.W. Gould ed.) marcel Meeker, inc. New York.
- 6- McLaughlin, R.J.W (1967) Thermal techniques physical methods in Determinate Mineralogy, (Z-Zussmaned .) A cademic press, London. (1971)
- 7- Grim, R. Applied clay Mineralogy, Mc Grow-Hill Book company,Inc.New York and London. (1962)
- 8- Worrall, W.E. clays and ceramic raw materials. Applied science publishers Ltd. London.ch 8,9. (1975)
- 10-West, R.R. ceramics, Kaolinite Research. Differential thermal Analysis, (R-C. Mackenzie ed.) Vol.2 Academic press, London. (1972)
- 11- Greene - Kelly, R. interpretation of DTA diagrams: The low temperature endo thermic peak. Clay Mineral Bull. Vol-2, No-10 pp 79-85. (1953)
- 12- Mackenzi, R-C. and Caillere Thermal analysis DTA, TG, DTG. Data Hand book for clay Materials and other non- metallic minerals, (H.V.Olphen and J.J. Fripated.), pergamom press, Oxford. (1979)
- 13- Grim,R.E. clay mineralogy, second edition mc Geaw Hill Book company, New York. (1968)

استخدام تقنيات المعالجة الرقمية لتعديل انحراف صور القمر الاصطناعي الأتواني HF-FAX المرسلة عبر البرقيات الجوية GMS

أعلى ولد بابا المحجوب ، عوني أدوار عبد الأحد ، لوزي أدور جورج
قسم الأنواء الجوية - كلية العلوم - الجامعة المستنصرية

ABSTRACT

In this study some digital Image processing methods were applied on some meteorological satellite images (GMS). The GMS images were sent via (HF-FAX) format and received by some Iraqi receiving stations. The images suffer a lot of distortions such as spatial drift, therefore the application of enhancement techniques and significantly improved its quality by using image processing techniques which carried out by computer facility employing the "Quick Basic" language. Obasic language can provide all the required facilities to match the needs of applying the digital image processing methods with reasonable treatment times. The sources of deformations implied by received weather images may due to the effect of weather conditions on the radio wave propagation, and to the malfunction of the receiving systems. In order correct the "Drift" which may appear in the images, two methods were suggested to handle this problem, these methods are the "Autocorrection" and "Slope" methods.

الخلاصة

خلال هذه الدراسة تم تطبيق تقنية المعالجة الرقمية للصور على صور ملتقطة من قبل القمر الاصطناعي الأتواني GMS المرسلة عبر برقيات HF-Fax إلى أحدى محطات القطر وتحديداً الصور تحت الحمراء IR من خلال أعداد حزمة برمجية متكاملة بلغة البيسك السريع تلبي كل متطلبات المعالجة الرقمية لهذه الصور وبسرعة معقولة. تم معالجة المشاكل والتشوهات التي تعاني منها نتيجةً لأنماط العوامل الجوية على الموجة الراديوية وكفاءة أجهزة الأسلام. اقترحت طريقتين لتعديل الانحراف في الصور Drift وهما طريقة التعديل التلقائي وطريقة الميل، اللتين من خلالهما تم تعديل الانحراف فضلاً عن استنتاج نمط ارسال صور القمر الاصطناعي GMS، لقد لوحظ أن عرض الصورة يساوي 480 عنصرًا لكل عمود.

المقدمة

ان الحصول على المعلومات الانوائية باستخدام الموجات الكهرومغناطيسية ذات الاطوال الموجية المختلفة وبدقة عالية جدا لم تكن متوفرة في السابق حيث كانت المعلومات حول الطقس تجمع من محطات الرصد التقليدية الموزعة على مساحة جغرافية محدودة وتسجل على خرائط الطقس بشكل يدوي ليتم بذلك اعطاء حالة الطقس المتوقعة ولفترات زمنية قصيرة، وهذا التبؤ وعلى الرغم من قصر فترته الزمنية، لم يكن بالدقة المطلوبة. الأمر الذي استدعي البحث الجاد والمتواصل للحصول على مصادر اخرى للمعلومات اكثر دقة وشمولية وهو الامر الذي تحقق مع اطلاق الاقمار الاصطناعية الانوائية. تزود الاقمار الصناعية العاملين في البحث والتباو بسلسلة متعاقبة من الصور والتي تغطي مساحات واسعة من سطح الارض وهي بدورها تحوي معلومات لنشوء وتطور حركة المنظومات الطقسيه. والتي يتم استلامها من قبل محطات ارضية لتجري عليها عمليات التقويم والتصحيح وترسل بعد ذلك الى الجهات المستفيدة منها الموزعة في كافة انحاء العالم عبر اجهزة الاسال الراديوي المتوفرة في المحطات^(١).

تقنية المعالجة الرقمية للصور

ينبع الاهتمام بطرق معالجة الصور الرقمية من مجالين تطبيقيين اولهما تحسين المعلومات من اجل تفسيرها من قبل الانسان، وثانيهما معالجة بيانات المنظر لإدراكه من قبل الآلة بشكل طوعي. وقد اقترن التطور الحاصل في تقنيات تحسين الصور الرقمية بتطور استخدام الحاسوب في معالجة الصور وكذلك تطور تطبيقات تكنولوجيا الفضاء وتسخير امكاناتها لأغراض التحسين النائي فقد ادى ظهور الحاسوبات المتقدمة وبرامج الفضاء في نفس الوقت تقريرياً لتطور مفاهيم استخدام تقنيات معالجة الصور الرقمية.

يستعمل مصطلح صورة احادية اللون (Monochrome image) او ببساطة صورة لنرمز الى دالة شدة اضاءة ثنائية الابعاد $f(x,y)$ حيث (x,y) تشيران الى الاحداثيات المكانية (Spatial coordinates) وقيمة f عند أي نقطة (x,y) تتاسب مع الاضاءة او (المستوى الرمادي) للصورة عند تلك النقطة. الصورة الرقمية هي دالة (y,x) قطعت في كل من الاحداثيات الحيزية والمعان، ومن جهة اخرى يمكن ان تعد الصورة الرقمية مصفوفة يحدد دليلاً صفها وعمودها مكان النقطة في الصورة، وقيمة عنصر المصفوفة الموافق يحدد قيمة المستوى الرمادي عند تلك النقطة. ان عناصر مصفوفة رقمية بهذه تسمى عناصر الصورة، Image

الاختصارات element او (Pixels) والاسمان الاخيران هما الاختصارات المستعملان بشكل شائع⁽²⁾.

وعلى الرغم من ان قياس الصورة الرقمية يتتوغ تبعاً للتطبيق، الا ان اختيار عدد مستويات رمادية متساوية لقيم مرفوعة لقوى صحيحة للعدد (2) هو الأكثر استخداماً. فعلى سبيل المثال، ان قياساً نموذجاً مماثلاً في النوعية لصورة تلفزيون ابيض واسود هو مصفوفة فيها 128 مستوى رمادي⁽³⁾.

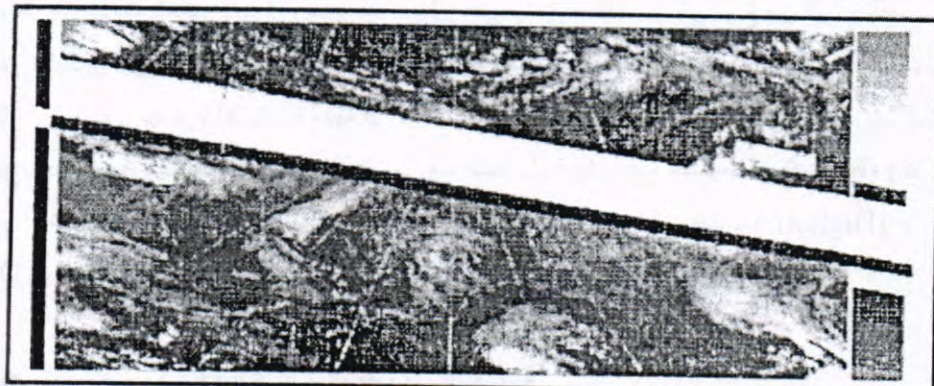
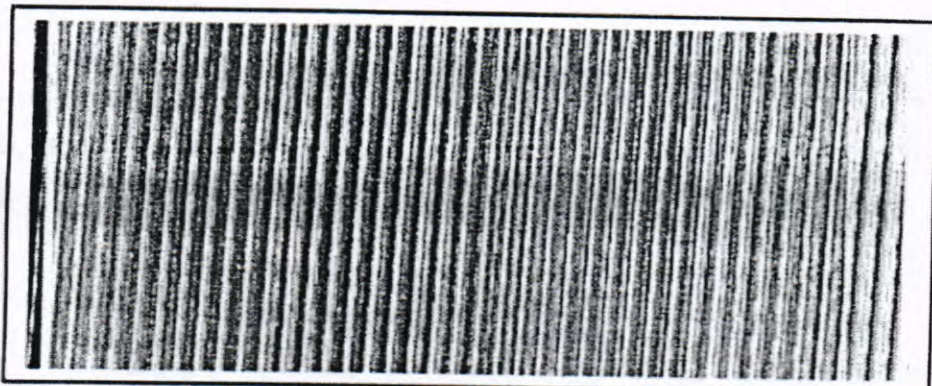
المعالجة وطريقة العمل

نظرأً للعيوب والتشوهات التي تحدث للصور اثناء ارسالها على شكل معلومات عبر حزمة الترددات العالية (HF) وسعياً للحصول على صور خالية من أي نوع من انواع التشوه قدر الامكان تبرز الحاجة الى اجراء معالجات لهذه الصور تتعلق بتعديل انحراف الصور الانوائية لتكون جاهزة للاستفادة منها في مجال التتبؤ الجوي والأغراض الانوائية الأخرى. تم فتح ملف المعلومات المستلمة وإزالة الانحراف الحاصل فيها بسبب الضوضاء (Noise) وكفاءة جهاز التحويل من موجات صوتية تماثيلية (Analog) الى معلومات رقمية (Digital) جهاز (A/D) وقد تمت هذه العملية بطريقتين هما (طريقة كشف الحواف وطريقة الميل).

فتح ملف الصورة والاطلاع على المعلومات المخزونة

يتم استلام المعلومات المتعلقة بصورة الانوائية على شكل معلومات خام (Row data) ويتم خزنها باستخدام وسانط الخزن المختلفة، وللإطلاع على هذه المعلومات كمرحلة اولية لا بد من انشاء برنامج يمكن بواسطته فتح الملف الحاوي للمعلومات وعرض محتوياتها، اذ بذلك نستطيع معرفة التشوهات التي تعرضت لها هذه الصور اثناء مرحلتي الارسال والاستلام وبعد ذلك نستطيع اختيار الطرق الملائمة لمعالجتها.

وبناء على ما سبق ذكره فقد تم بناء خوارزمية تستطيع رسم الصورة بإعطاء أبعاد افتراضية تجريبية (طول وعرض) حيث تقوم الخوارزمية برسم المعلومات الموجودة في الملف انطلاقاً من هذه الابعاد التجريبية على شكل صفوف (Lines) أو اعمدة متتالية، وتظهر الصورة على شاشة العرض كما في الشكل (1) (أ) ومن خلال تغيير هذا العرض وصولاً الى العرض الحقيقي للصورة (480 pixels) ظهرت الصورة كما في الشكل (1 ب).

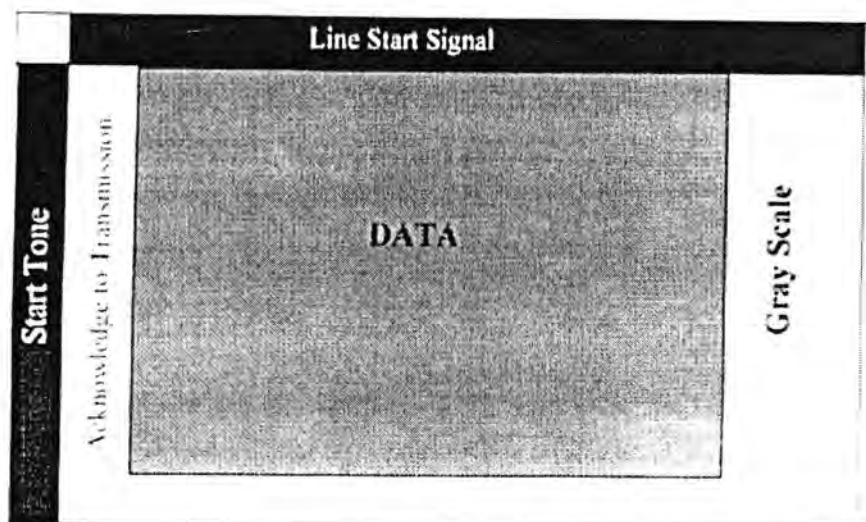


الشكل (1)أ) يبين صورة بعرض 479 عنصر صورة

1(ب) يبين صورة بعرض 480 عنصر صورة

ازالة انحراف الصورة

تقوم محطات توزيع صور الاقمار الصناعية الرئيسية بإرسال الصور بعد معالجتها وفق نمط معين إلى المحطات الثانوية (المحلية) وذلك من خلال قنوات الارسال الرادوية. تعتمد كل محطة ارسال للصور نمط قياسي (Standard Format) معين في بث أي نوع من الصور والشكل (2) يوضح النمط القياسي للصور الأتوانية العائنة للقمر الصناعي GMS الذي تسم استنتاجه من تحليل المعلومات.

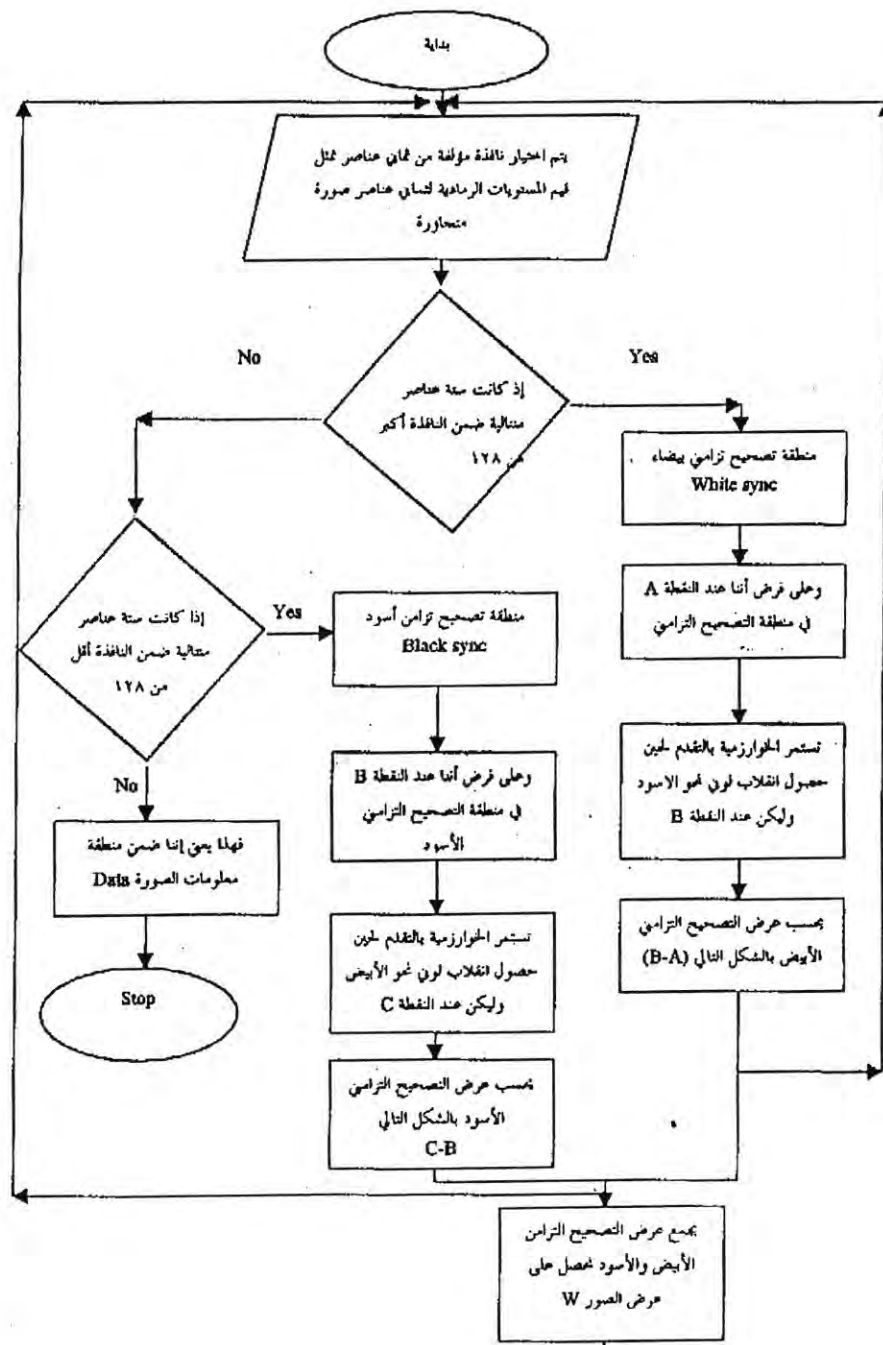


الشكل (2) يوضح النمط القياسي للصور الأنوانية العائدة للقمر الصناعي (GMS) الذي تم استنتاجه من تحليل المعلومات

ازالة الانحراف الحاصل في الصورة بخوارزمية التعديل التلقائي لازالة انحراف الصورة (Drift) كما في الشكل (1) تم بناء خوارزمية مبدأ عملها هو ايجاد الحافات (مناطق الانقلاب) في اللونين الاسود والابيض، اذ قمنا باختيار حد عتبة (threshold) بمقدار (128) الذي يمثل الوسط بين قيم الالوان (255-0) مما يجعله صالحًا كمعيار لمقارنة قيم المستويات الرمادية (Gray Levels) في الصورة، حيث تمثل القيم العليا (أي اللون الابيض في حين تمثل القيم الصغرى (أي 0) اللون الاسود. والشكل (3) يبيّن

المخطط الإسيابي لهذه التقنية. تحوي هذه الخوارزمية نافذة اختبار (Window) مؤلفة من ثمانية عناصر تمثل قيم المستوى الرمادي الثمانية عناصر صورة متجاورة، وفي البدء ويجري اختبار قيم اول ثمانية عناصر متتالية في الملف وذلك بمقارنتها مع حد العتبة المختار سلفا، فاذا كان هناك اكثر من ستة قيم متتالية ضمن النافذة اكبر من حد العتبة فتحن في منطقة التصحيح التزامين الابيض (White Sync)، أما اذا كان هناك اكثر من ستة قيم متتالية اصغر من حد العتبة فتحن في منطقة التصحيح التزامني الاسود (Black Sync) وفي حالة عدم حصول الحالتين فتحن في منطقة ارسال بيانات (Data)، وعلى فرض انتنا في منطقة اللون الابيض عند النقطة (A) كما في الشكل (2) تستمر هذه النافذة في التقدن عبر الملف لحين حصول انقلاب لوني نحو الاسود فيتم تحديد موقع نقطة الانقلاب ولتكن النقطة (B)، ويطرح (A) من (B) نحصل على عرض التصحيح التزامني الابيض (White Sync) بوحدات عنصر صورة (pixel)، وتواصل النافذة على نفس المنوال وصولاً الى الموقع (C) الذي يمثل نقطة انقلاب لوني نحو الابيض وبطراح (B) من (C) نجد عرض التصحيح التزامين الاسود (Black Sync). وبجمع عرض (Sync) الابيض مع عرض الاسود نحصل على عرض الصورة الذي وجد أنه يساوي (480 pixels) في صور القراء الصناعي (GMS).

الآن يتم اختبار اول عمود من الصورة بطول (480 pixel) فإذا كانت نسبة العناصر ذات اللون الابيض المتتالية اقل بـ 12 مرة من نسبة العناصر ذات اللون الاسود (pixels) الممتالية فهذا يعني انتنا ضمن فترة عدم وجود ارسال للمعوامت (No Data Transmission)، ونستمر باختبار الأعمدة التي تليه وصولاً الى الحالة التي تكون فيها العناصر ذات اللون الاسود الممتالية اقل بمقدار 25 مرة من البيضاء وهذا يعني انتنا ضمن فترة التهيه للإرسال (Acknowledge to transmission) والتي تعني انه يجب الاستعداد لاستقبال الإرسال.



ازالة الانحراف باستخدام طريقة الميل

في حالة زيادة الضوضاء في الصورة فان الخوارزمية المقترنة لكشف الحواف قد لا تتمكن من ازالة الانحراف (Drift) الحاصل في الصورة وذلك لصعوبة التفريق بين سلسلة العناصر المتتالية ذات اللون الابيض وسلسلة العناصر المتتالية ذات اللون الاسود ضمن الصورة وخاصة في منطقة البدء (Start Tone) والتهيئة (Acknowledge to transmit) الأمر الذي يستدعي استخدام طريقة اخرى يمكن من خلالها رسم الصورة وازالة الانحراف الحاصل فيها. وفي هذا البحث تم اقتراح طريقة اخرى لمعالجة الانحراف واعتمدت على افتراض ان نسبة الزحف تكون عادة ثابتة القيمة، وعليه فان ازالتها ممكنة بطرح نسبة معينة من موقع بداية كل عمود في الصورة. ان قيمة النسبة يمكن تحديدها من خلال رسم الصورة وهي تعانى من الزحف ثم يتم تحديد مقدار الزحف الاجمالي (S) لعدد (n) من اعمدة الصورة. فبعد احتساب هذه القيم يمكن تحديد نسبة الزحف (r) من خلال العلاقة التالية :

ان هذه الطريقة تتطلب وجود معرفة كاملة بعرض الصورة (Picture Width) وهذا الموضوع بالامكان معالجته اذا اخذنا بنظر الاعتبار ان الاقمار الصناعية الانوانية تقوم بارسال الصور بعرض ثابت على سبيل المثال القرف الصناعي (GMS) يرسل الصور بعرض (480 pixels).

ولازلة انحراف الصورة باستخدام طريقة الميل (Slope) فقد تم استخدام خوارزمية

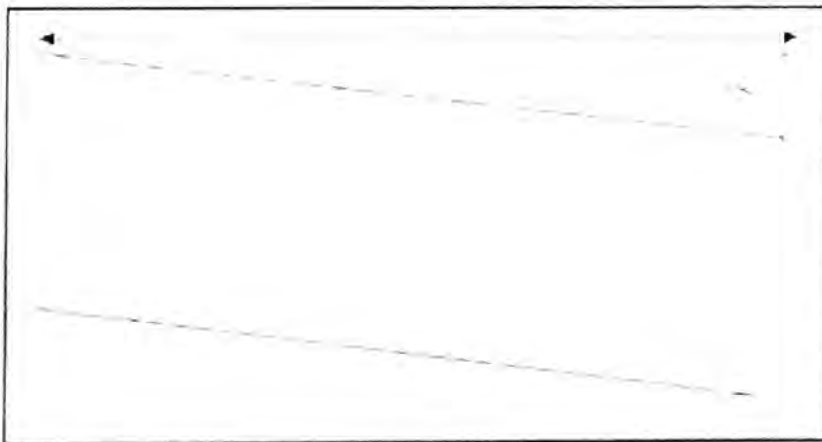
مبدأ عملها بالشكل التالي :

1. يتم تحديد بداية معلومات الصورة والتي يشار اليها بقيمة (Offset) أي بداية المعلومات في ملف الصورة (Data).

2. يتم تحديد قيمة عرض الصورة في حالة كون نوعها معروفاً. اما في حالة كون نوع الصورة غير معروف فيتم تجريب خيارات مختلفة لقيمة العرض الملائم لرسم الصورة وذلك بالاعتماد على منهج التجربة والخطأ (Trial And Error) وصولاً على عرض الصورة الفعلى.

3. يتم رسم الصورة باستخدام قيمة العرض الفعلى ويتم حساب قيمة الميل للانحراف الحاصل في الصورة وكما هو مبين في الشكل (5).

4. يتم تحريك كل عمود من بدايته بمقابل قيمه الميل (r) ليتم بذلك تحريك كل الاعمدة وبنفس قيمة الميل حتى تتم ازالة الانحراف. ويوضح الشكل (6) صورة القمر الصناعي (GMS) بعد ازالة الانحراف الحاصل فيها.



شكل (6) يوضح طريقة حذف المسافر



الاستنتاجات

1. تم اعداد حزمة برمجية متكاملة بلغة البيسك السريع (Quick Basic) تلبي كل متطلبات المعالجة الرقمية لصور القمر الصناعي الألواني (GMS) المرسلة عبر برقيات - (HF) والمستلمة من قبل احدى محطات الاستلام في القطر. وعلى الرغم من ان هذه الحزمة البرمجية قد كتبت بلغة تعمل تحت مظلة نظام التشغيل (DOS) الا انها تلبي كل الفعاليات بشكل سريع وسهل الاستخدام فقد تم ربط البرنامج بواجهة رئيسة يمكن من خلالها الوصول الى كل برنامج جزئي (Subroutine) بسهولة.
2. ان خوارزمية التعديل التلقائي التي تم تصميمها في هذا البحث لازالة انحراف (Drift) صور القمر الصناعي الألواني (GMS): الحصول على نتائج سريعة وفعالية في تعديل هذا الانحراف بشكل دقيق ودون الحاجة الى معرفة عرض السورة. الا ان هذه الخوارزمية قد تواجه بعض المشاكل في حالة زيادة نسبة الضوضاء في الصورة كصعوبة التفريق بين العناصر المتتالية ذات اللون الابيض والعناصر المتتالية ذات اللون الاسود في الصورة خاصة في منطقتى (Start Tone) و (Acknowledge to Transmission) في حين ان الخوارزمية الثانية التي تم تصميمها لتعديل الانحراف، أي خوارزمية الميل قد تعمل بشكل جيد حتى في حالة وجود ضوضاء كبيرة، ولكنها تعتمد بشكل اساسي على معرفة عرض الصورة، عكس الخوارزمية الاولى.

المصادر

1. Brown. R and Wickham P.G.,(1995), Images in Weather Forecasting, Cambridge university Press, (1995).
2. Scott Eumbough, : Computer Vission and Image Processing a parctical Approach using CVIP tools. (1998).
3. Rafael. G. Gonzalez and Paul Wintz, : Digital Image Processing, Addisson-Wesley (1977).

التأثير السمي والتراكم الحيوي لعدد من المعادن الثقيلة في الكائن الهدبي حر

Tetrahymena pyriformis (Ehrenberg, 1830) المعيشة

منى حسين جانكير و قصي عبد القادر الجلبي

قسم علوم الحياة، كلية العلوم، جامعة الموصل

ABSTRACT

The toxic effect of heavy metals, cadmium, copper and zinc had been tested for its effect on survival duration in the free living ciliata *Tetrahymena pyriformis* and the concentration which kills (50%) of the isolates at (72) and (96) hours were determined. The toxicity of the used metals were not similar, cadmium shows the highest, copper was in between, while zinc shows the lowest. The LC₅₀ concentration of cadmium, copper and zinc was (1.0, 0.5, 1.5)mg/l respectively after (72) and 96)hr. exposure. It appears that the zinc, copper and cadmium accumulates in the cells of *Tetrahymena pyriformis*. It has been found that the concentration of the accumulated zinc in the ciliates treated with concentration of (1.5)mg/l after (96)hr. was (39.346)ug/100 mg of dry weight compared with (1.641)ug/100mg of dry weight in control, and the concentration of the accumulated copper in the ciliates treated with concentration of (0.5)mg/l after (96)hr was (23.240)ug/100mg of dry weight compared with (1.324)ug/100mg of dry weight control, and the concentration of the accumulated cadmium in the ciliates treated with concentration of (1.0)mg/l after 96 hr was (19.904)ug/100mg of dry weight compared with (0.359)ug/100mg of dry weight in control.

الخلاصة

تم دراسة التأثير السمي لعدد من المعادن الثقيلة مثل الكادميوم والنحاس والخارصين في معدلبقاء الكائن الهدبي حر المعيشة *Tetrahymena Pyriformis*، وحددت التراكيز التي تسبب موت (50% أو LC₅₀) في الكائنات عند (72، 96) ساعة. اظهرت المعادن الثقيلة تبايناً في درجة سميتها للتراهيمينا بـ ايروفورمز، اذ كان ترتيب سمية العناصر كما ياتي:

الكادميوم <النحاس> الخارصين. وكانت قيمة (LC₅₀) للكائنات المعرضة للكادميوم والنحاس والخارصين متساوية لـ (1.0, 0.5, 1.5) ملغم/لتر على التوالي بعد (72, 96) ساعة. تبين ان عناصر الخارصين والنحاس والكادميوم تترافق في خلايا التتراهيمينا بايريفورمز، اذ وجد ان تركيز الخارصين المتراكם في الكائنات المعاملة بتركيز (5.5) ملغم/لتر بعد مرور (96) ساعة كان (39.346) ملغم/100 ملغم من الوزن الجاف مقارنة بتركيز (1.641) ملغم/100 ملغم من الوزن الجاف في الصابط، وكان تركيز النحاس المتراكם في الكائنات المعاملة بتركيز (0.5) ملغم/لتر بعد مرور (966) ساعة (23.240) ملغم/100 ملغم من الوزن الجاف مقارنة بتركيز (1.324) ملغم/100 ملغم من الوزن الجاف في الصابط. اما تركيز الكادميوم المتراكם في الكائنات المعاملة بتركيز (1.0) ملغم/لتر بعد مرور (9) ساعة فكان (19.904) ملغم/100 ملغم من الوزن الجاف مقارنة بتركيز (0.359) ملغم/100 ملغم من الوزن الجاف في الصابط.

المقدمة

ان وجود المعادن الثقيلة في بيئه المياه العذبة تسبب خللا في التوازن البيئي وينعكس ذلك بصورة مباشرة او غير مباشرة على الانسان (Kaviraj&Konar, 1982)، تحوي البيئة المائية غير الملوثة بشكل طبيعي على تراكيز منخفضة لا تتجاوز (50) مايكروغرام/لتر من العناصر الثقيلة عندما تكون المياه بعيدة مصادر التلوث ولا تصل فيها الفضلات الحاوية على المعادن الثقيلة، وتعد عدد منها ضرورية لادامة حياة الكائنات الحية (يسين، 1992). لاتبقى هذه التراكيز عند مستوياتها الطبيعية نتيجة لطرح كميات كبيرة من الفضلات الناتجة من الفعاليات الصناعية والزراعية والمدنية والصحية.

تختلف الكائنات الحية المائية في حساسيتها تجاه المعادن الثقيلة بحسب ما اوضحت Reish&Carr(1978) عند دراستهما تأثير ستة معادن ثقيلة هي الكادميوم، الكروم، النحاس، الرصاص، الزئبق والخارصين على نوعين من الديدان الحلقية المتعددة الاهلام هي Ophryotrocha diadema و Ctenodrilus serratus، اذ و جدا ان حساسية هذين النوعين للنحاس والزئبق والرصاص متساوية تقريبا، اما بقية المعادن فهناك اختلاف بين النوعين، كما لاحظا ان النوع الاول اكثر حساسية للكروم من النوع الثاني، في حين النوع الثاني اكثر حساسية للكادميوم والخارصين من النوع الاول. اظهرت الدراسة التي قام بها Wakatsuki وجماعته

(1986) على الكائن الابتدائي الهببي *T. pyriformis* ان معدل نمو هذه الكائنات يبطئ بزيادة تركيز النحاس، وان لهذه الكائنات حساسية عالية تجاه النحاس. كما لاحظ Spande وجماعته (1981) في دراسته حول سمية كبريتات النحاس على الطحلب *Spirulina platensis* والكائن الهببي *T. pyriformis* ان قيم LC_{50} (لطحلب *Spirulina* للفترات 80.4، 77.6، 60.8 ملغم/لتر على التوالي، اما بالنسبة للـ *Tetrahymena* ساعة هي 0.7، 0.9، 1.3) ملغم/لتر على التوالي، اما بالنسبة لـ *T. pyriformis* فتتلاصق فترة البقاء كلما زاد تركيز كبريتات النحاس مقارنة مع الكائنات غير المعرضة.

شار Berhin وجماعته (1984) الى انخفاض معدل نمو الكائن الابتدائي الهببي *T. pyriformis* عندما يكون تركيز الكادميوم اعلى من 5(ملغم/لتر في الوسط الزرعي. وجد Carter & Cameron (1973) في *T. pyriformis* ان الكادميوم بتراكيز 0.84، 1.67، 3.33، 6.67، 10.0 (ملغم/لتر) تسبب الموت (20%) من كائنات لاتراها هامنا خلال (30) دقيقة، كما اوضحا ان الكادميوم يمتاز بسمية اعلى مقارنة بسمية الرثيق، الكوبالت، الخارصين والرصاص. تميل المعادن الثقيلة الى التراكم في انسجة وخلايا الاحياء المائية بدرجات مختلفة، وقد تصل تراكيز هذه العناصر في الجسم الى مستويات مرتفعة (Rainbow, 1985). ان للمعادن الثقيلة تأثيرات سمية في الاحياء عند وجودها بتراكيز مرتفعة، ولكن تستطيع هذه الاحياء الاستمرار في الحياة تستخدم مختلف الطرائق الفسلجية والكيموجوية للتقليل من سميتها هذه (Simkiss, 1981) كما ان تراكمها في اعضاء وانسجة الاحياء، يكتبها بمرور الزمن نوعا من التكيف ضد تأثيرها (Klerks & Weis, 1987). يتم امتصاص وتراكم المعادن الثقيلة في الاحياء المائية وبضمنها الهببيات، والتي تشكل جزءا مهما في السلسلة الغذائية، حتى تصل مستوياتها العليا والتي تتمثل بالاسما وتنتقل في النهاية منها الى الانسان عند استخدامها كمصدر للغذاء ملحقة اضرارا في صحته قد تؤدي الى وفاته (Carter&Cameron, 1973; Berhin et al., 1984).

اهتم العديد من الباحثين بدراسة التراكم الحيوي للمعادن الثقيلة من قبل الاحياء المائية (Yasien, 1992 ; الفهادي، 1990; Zia & Lobel et al., 1982; Berhin et al., 1984; Alikhan, 1989) فعلى سبيل المثال وجد Wright (1978) ان تراكم الكادميوم في السرطان من نوع *Carcinus maenas* يحدث عند تراكيز مرتفعة، حيث تستطيع هذه الحيوانات تنظيمه عند تعرضها لتراكيز منخفضة منه او للخارصين، اما عند التراكيز المرتفعة فتحطم آلية التقطير

التأثير السمي والتراكم الحيوى لعدد من المعادن الثقيلة فى الكائن الهدبى حر المعيشة
Tetrahymena pyriformis [Ehrnberg, 1830]
منى حسين جاتكير وقصى عبد القادر الجبى

الايوني (Bryan, 1971). أما في الروبيان من نوع Crangon crangon، ففي حين ان معدل التراكم يتناسب طرديا مع تركيز المعدن، إذ وجد أن أقل معدل للتراكم في الحيوانات المعرضة لتركيز (5) مكغم/لتر كadmium، وكان أعلى معدل للتراكم في الحيوانات المعرضة لتركيز (20) مكغم/لتر، كما لاحظ ان أعلى معدل للتراكم كان في بداية فترة التعرض (2-8) ساعات الاولى (Bethlefsen, 1978)

ان لدراسة التراكم الحيوى للمعادن الثقيلة في مختلف اعضاء وانسجة الاسماك أهمية كبيرة لمعرفة مدى تعرضها خلال فترة حياتها للملوثات، وقد تستخدم مؤشرأ لمعرفة مدى تلوث البيئة المائية التي تعيش فيها، فضلاً عن تأثير المعادن الثقيلة على قيمتها الغذائية ونموها وتكاثرها (Mckim & Benoit, 1971).

تتوافر العديد من الدراسات حول التأثير السمي للمعادن الثقيلة في الاحياء المائية الا أن عددا محدودا منها اجري على اللافقريات المائية وبخاصة الابتدائيات (Lalande & Pinel, 1986)، لذا حاولنا دراسة الكائن الابتدائى Tetrahymena pyriformis وهو أحد اجناس الهدبيات (Ciliophora) إذ تعد التراهایمـا النموذج الامثل للابتدائيات المهدبة، حرة المعيشة، واسعة الانتشار (Hunter et al., 1972). وتمثل نموذجا للخلايا حقيقة النواة (Wagner, 1989). وحساسيتها تجاه العديد من المعادن الثقيلة مقارنة بالكائنات الدقيقة الأخرى والقشريات والاسماك، لذا استخدمت دليلا على تلوث البيئة المائية (Carter & Cameron, 1981, Mathur & Saxena, 1986, Foissner, 1990).

المواد وطرائق العمل

1. الكائنات المستخدمة في الدراسة

جمعت الابتدائيات وحيد الخلية حرمة المعيشة Tetrahymena pyriformis المستخدمة في هذه الدراسة من مياه العيون في منطقة النوران (30 كم شمال مدينة الموصل)، إذ تقرب درجة حرارتها من (23-24) م طيلة أيام السنة. يوجد هذا النوع من الابتدائيات (التراهایمـا) باعداد كبيرة وعلى مدار السنة، وقد عزلت وحفظت في وسط زراعي سائل مستخلص من نقيع التبن، بدرجة حرارة (± 27) م، تمت اعادة نقاوتها وتتجديدها على الوسط الاساسي كل (5-6) أيام.

2- تحضير الاوساط الزرعية

1.2 وسط نقيع التبن

تم تحضير وسط نقيع التبن حسب الطريقة المتبعة من قبل (جانكير، 1992) باضافة (10) غم من التبن الجاف النظيف إلى (1) لتر من الماء المقطر، تم نقعه وغليه وتبریده وترشیحه للحصول على الوسط الاساس للتبن (Stock Hay Infusion Basal Medium) حضر منه وسط مخفف بنسبة (20%) في الماء المقطر، عقم هذا الوسط في المعقام بدرجة حرارة (121)°م وتحت ضغط (1) جو ولمدة (15) دقيقة، ترك الوسط ليبرد، وحفظ في الثلاجة حرارة (4)°م لحين الاستعمال.

2. الوسط الاساس

تمت تربية الابتكارات *Tetrahymena pyriformis* في الوسط الاساس (Wakatsuki, et al., 1986) لغرض ادامة حيوتها، والحصول على نمو جيد ونقى. حضر لتر واحد من الوسط بوزن (10) غم من سكر الكلوكوز، وتم ضبط الدالة الحامضية (7.0-7.5)، ثم عقم الوسط في المعقام بدرجة حرارة (121)°م وتحت ضغط (1) جو ولمدة (15) دقيقة، وحفظ في الثلاجة لحين الاستعمال.

3 تربية وحساب عدد الكائنات

تم حفظ المزارع الاصلية (Stock Culture) للتراهيمينا في وسط نقيع التبن بتركيز 20% في الحاضنة Incubator (جانكير، 1992)، لقح الوسط باضافة (1) سم³ من لقاح التراهيمينا خلال الطور اللوغارنمي لنموها، وبعد ابتكاري يغرب (10x 2-1) حيوان/سم³ تحت ضروف معقمة، ثم حضنت بدرجة حرارة (1±27)°م لمدة (4-5) أيام (Saxena et al., 1981; Kumar & Lal, 1989) ، ثم وزع الوسط الاساس بواقع (225) سم³ في دوارق حجمية سعة (500) سم³ ثم أضيف اليها (25) سم³ من وسط نقيع التبن الملحق مسبقاً، ثم أضيفت اليها المضادات الحيوية (سلفات الستربتومايسين Streptomycin Sulfate وبنسلين بلوري Crystalline Pencilline Grass, 1972)، تم التأكد من نقاوة اللقاح قبل التقديح وحضنت بدرجة حرارة (27 ± 1)°م لمدة (4-3) أيام تم تحديد عدد الكائنات في كل لقاح وفي كل مزرعة بحساب عدد التراهيمينا باستخدام شريحة الهيموسايتوميتر (Hemocytometer)، ثم فحصت تحت المجهر الضوئي.

4 تحضير المحاليل للمعادن الثقيلة

حضرت المحاليل الأساسية (Stock Solution) وبتركيز (1000) ملغم/لتر ماء ثبائى التقطير من املاح كبريتات الخارصين المائية ($ZnSO_4 \cdot 7H_2O$) وكبريتات النحاس المائية ($CuSO_4 \cdot 5H_2O$) وكبريتات الكادميوم المائية ($CdSO_4 \cdot 8H_2O$) الثقية، وحضرت التراكيز المخففة الآتية من محلول الاساسك: (5.0, 2.0, 1.5, 1.0, 0.5, 0.1) ملغم/لتر، ثم عقمت فى المعقام بدرجة حرارة (121) °م وتحت ضغط (1) هو ولمرة (15) دقيقة، وحفظت فى الثلاجة لجين الاستعمال.

5 التأثير السمى لعدد من المعادن الثقيلة

حددت النسبة المئوية لبقاء التراهايمينا بايريفورمز باستخدام مجموعة مكونة من المحاليل الاختبارية الحاوية على التركيز الآتية: الخارصين والنحاس والكادميوم (0.1 ، 0.5 ، 1.0 ، 1.5 ، 2.0 ، 5.0) ملغم/لتر كل على انفراد فضلاً عن الوسط الاساس الضابط إذ استخدم لكل تركيز قنينة ماكانترى الزجاجية المعقمة (McCantry Vials) (سعة 30) سم³ وبواقع (9) سم³ من المحاليل الاختبارية والضابطة، لحقت المحاليل باضافة (1) سم³ من اللقاح خلال الطور اللوغارتمي بعدد (2.0 x 10⁴) حيوان/سم³ وحضرت تحت الضروف المثالية، تم حساب عدد الخلايا خلال مراحل زمنية مختلفة اثناء التجارب (24, 48, 72, 69) ساعة، وتم تقدير معدل النسبة المئوية للبقاء وايجاد التركيز الذى سبب موت (LC₅₀) من الكائنات خلال (96, 72) ساعة.

التراكم الحيوى لعدد من المعادن

تمت دراسة التراكم الحيوى لبعض المعادن الثقيلة في خلايا التراهايمينا بايريفورمز، وذلك بتعرض الكائن لفترات مختلفة للتراكيز الآتية: (1.0، 0.5، 1.5) ملغم/لتر من الخارصين والنحاس والكادميوم على التوالي.

تحضير العينة

جمعت التراهايمينا من الوسط الزرعي بعد مرور (24، 48، 72، 96) ساعة وذلك بتنسيب الخلايا باستعمال جهاز الطرد المركزي الفوقي المبرد من نوع (MSE-High speed Eichler, 1989) بسرعة (3000xg) لمدة (15) دقيقة وبدرجة حرارة (4) °م. غسلت

الخلايا باستعمال محلول المنظم (Tris-HCl) بتركيز (10) ملي مolar ودالة حامضية (7.4)، وبكتافة خلوية حوالي (10⁹) حيوان/سم³، ثم علقت الخلايا المترسبة في محلول المنظم، وجففت باستخدام جهاز التجفيف بالبرود (Lyophilizer) المجهز من شركة Edwards الانكليزية، تحت ضغط مخلخل وبدرجة حرارة منخفضة جدا تصل الى (-60)°م، ثم وزن (0.1)غم من الخلايا الجافة المعاملة وغير المعاملة ووضعت هذه الاوزان في قناني زجاجية نظيفة وجافة (McCantry vials) سعة (10)سم³، واضيف اليها محلول الهضم (1)سم³ المتكون من حامض الكبريتيك المركز (H₂SO₄) وحامض التريك المركز (HNO₃) بنسبة (1:1). تم غلق القناني باحكام وترك لمندة (72-48) ساعة بدرجة حرارة الغرفة وذلك لاكتمال عملية الهضم، ثم خفف المزيج بماء ثانوي التقطر الى حجم (10)سم³ ورشحت باستخدام المرشح الغشائي (Membrane Filter 0.20μm).

قياس تركيز المعادن الثقيلة

استخدم جهاز مطياف الامتصاص الذري (Atomic Absorption Spectrophotometer) من نوع (Pye Unicam Model SP 191) لقياس تركيز المعادن الثقيلة المتراكمة في الخلايا. تم في البداية اختيار المصباح الخاص بالعنصر المراد قياسه وثبت في محل المخصص لذلك على الجهاز وزود الجهاز بتيار الكهربائي وغاز الاستيلين والهواء، بعد مضي (15) دقيقة على تشغيل الجهاز اختير التيار ما يقرب من (80% من التيار الكلي للمصباح) وطول الموجة المناسبين وكما مبين في ادناه

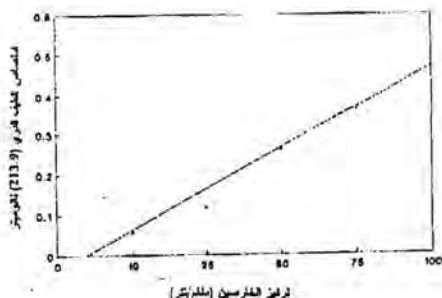
العنصر	الطول الموجي (نانوميتر)	التيار المستخدم (ملي امير)
الخارصين	213.9	10
النحاس	324.8	5
الكادميوم	228.8	6

تم تحويل قياس الامتصاص الذري الى وحدات تركيز وذلك باستخدام معادلات الانحدار المسجلة من تحليل الانحدار الخطى لتركيز مختلفة من المعادن الثقيلة القياسية المستخدمة

التأثير السمي والتراكم الحيوي لعدد من المعادن الثقيلة في الكائن البديهي حر المعيشة *Tetrahymena pyriformis* [Ethrnberg, 1830]
منى حسين جاتكير وقصي عبد القادر الجبي
والمبينة في الاشكال (1، 2، 3) وتم التعبير عن النتائج بمايكروغرام من المعدن المستراكم لكل (100) ملغم من وزن الخلية الجافة.

التحليل الاحصائي

نفذت تجربة علمية باستخدام التصميم العشوائي الكامل (Complete Random Design CRD) وحللت النتائج احصائيا واختبرت باستخدام طريقة دنكن (Duncan Method) لمعرفة فيما اذا كان هناك فرق معنوي بين التراكيز المعاملة (Steel & Torrie, 1980) وغير المعاملة بتركيز مختلف من الكادميوم والنحاس والخارصين.

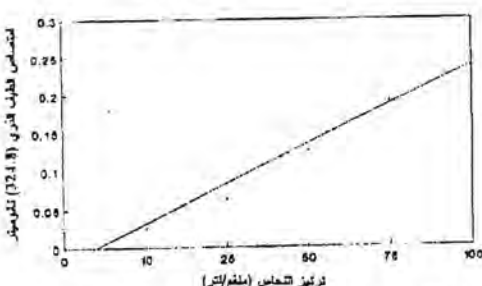


الشكل (1) : المنهجي البياني الذي يوضح العلاقة بين تركيز البارجين المختلفة وطيف الامتصاص النوري عند طول موجي (213.9) نانومتر باستخدام تحويل معادلة الانحدار .

$$\text{معادلة الانحدار هي} \\ Y = 0.001902 + 0.0004933X \\ r = 0.997$$

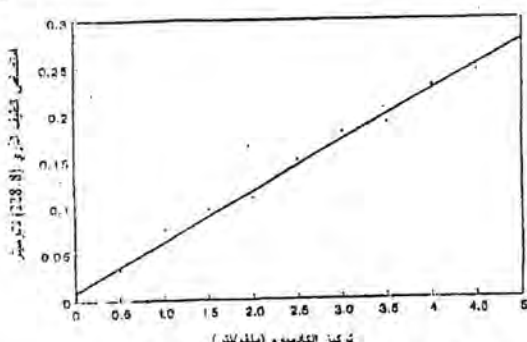
حيث :

Y = طيف الامتصاص النوري X = التركيز (ملم / لتر) r = معامل الارتباط



الشكل (2) : المنهجي البياني الذي يوضح العلاقة بين تركيز التحسس المختلفة وطيف الامتصاص النوري عند طول موجي (324.8) نانومتر باستخدام تحويل معادلة الانحدار .

$$\text{معادلة الانحدار هي} \\ Y = 0.000171 + 0.002508X \\ r = 0.999$$



الشكل (3) : المنهجي البياني الذي يوضح العلاقة بين تركيز الكلسيوم المختلفة وطيف الامتصاص النوري عند طول موجي (228.8) نانومتر باستخدام تحويل معادلة الانحدار .

$$\text{معادلة الانحدار هي} \\ Y = 0.01302 + 0.0528X \\ r = 0.999$$

النتائج والمناقشة

التأثير السمي لعدد من المعادن الثقيلة

أ- الكادميوم

يبين الجدول (1) تأثير تراكيز الكادميوم المختلفة (0.1-5.0) ملغم/لتر على عدد خلايا الكائن الهدبى *Tetrahymena pyriformis* مقارنة بالتراباهيمينا غير المعاملة (الضابط)، اذ اعطى تأثيرا سميما واضحا في التراكيز المرتفعة منه، وادى الى موت الكائنات خلال فترة زمنية قصيرة. ان زيادة تركيز الكادميوم من (1.5) الى (5.0) ملغم/لتر ادى الى اختزال اعداد الكائنات وبشكل حاد خلال (48، 72) ساعة من التعرض، وتبين وجود علاقة عكسية بين معدل النمو وتركيز الكادميوم وفترة التعرض. كما يوضح الجدول (1) ان قيمة (LC₅₀) كانت (1.0) ملغم/لتر بعد تعریضها لمدة (72، 96) ساعة ولتركيزات مختلفة من الكادميوم. اظهر التحليل الاحصائي للنتائج وجود فروقات معنوية عند مستوى احتمال (0.05) بين معدلات اعداد كائنات التراباهيمينا المعاملة بتراكيز الكادميوم المختلفة ومعدلات اعداد الكائنات غير المعاملة (الضابط) بعد مرور (48، 72، 96) ساعة من التعرض.

ب- النحاس

يوضح الجدول (2) تأثير تراكيز النحاس المختلفة (0.1-5.0) ملغم/لتر على عدد خلايا الكائن قيد الدراسة مقارنة بالتراباهيمينا غير المعاملة (الضابط)، اذ امتاز النحاس بسمية اقل من الكادميوم، كما يوضح الجدول (2) ايضا ان سميته ازدادت بزيادة تركيزه وفترة التعرض له. اما التركيز الذي سبب موت (LC₅₀ او 50%) من كائنات التراباهيمانا بايريفورمز المعاملة فهو (0.5) ملغم / لتر بعد مرور (72، 96) ساعة. اظهر التحليل الاحصائي للنتائج وجود فروقات معنوية عند مستوى احتمال (0.05) بين معدلات اعداد الكائنات المعاملة بتراكيز النحاس المختلفة ومعدلات اعداد الكائنات غير المعاملة (الضابط) لفترات (48، 72، 96) ساعة.

ج- الخارجيين

يبين الجدول (3) تأثير تراكيز الخارجيين المختلفة (0.1-5.0) ملغم/لتر على عدد كائنات التراباهيمانا بايريفورمز مقارنة بالتراباهيمينا غير المعاملة (الضابط)، اذ احتل الخارجيين بسميته المرتبة الثالثة بعد الكادميوم والنحاس. كما يتضح من الجدول (3) ان كائنات لاتر راباهيمينا

اظهرت مقاومة تجاه التراكيز المرتفعة من الخارصين. اذ اظهرت زيادة تركيز الخارصين من (0.1) الى (5.0) ملغم/لتر انخفاضا تدريجيا في اعداد الكائنات لفترات الزمنية المختلفة، ان قيمة (LC₅₀) كانت (1.5) ملغم/لتر خارصين بعد مرور (96، 72) ساعة. اظهر التحليل الاحصائي للنتائج وجود فروقات معنوية عند مستوى احتمال (0.05) بين معدلات اعداد الكائنات المعاملة بالتراكيز ما بين (0.1-5.0) ملغم/لتر خارصين خلال (48، 72، 96) ساعة ومعدلات اعداد الكائنات غير المعاملة (الضابط).

انصح من هذه الدراسة ان العناصر الثقيلة (الكادميوم والنحاس والخارصين) ذات تأثير سمي على التراهايمينا بايريفورمز، وان سمية هذه العناصر تختلف فيما بينها، فقد وجد ان الكادميوم كان اكثرها سمية. على حين كان الخارصين اقلها سمية، وكانت سمية النحاس متوسطة بين الاثنين، أي ان ترتيب تلك العناصر من حيث درجة سميتها كما ياتي: الكادميوم > النحاس > الخارصين. وتنقق هذه النتائج مع ما توصل اليه Chung (1980) في الروبيان العشبي من نوع *Palaemon notthropi* المعرض لعدد من المعادن الثقيلة، اذ اشار الى ان الكادميوم يمتاز بسمية اعلى مقارنة بسمية النحاس والكرום والخارصين تجاه هذه الحيوانات.

كما توضح النتائج في الجدول (1) ان للكادميوم تأثيرا سمييا مرتفعا نسبيا وينقق ذلك مع ما وجده Cameron و Carter (1973) ان الكادميوم يمتاز بسمية اعلى مقارنة بسمية الخارصين، الرصاص، الزئبق والكوبالت، اذ كانت تراكيز الكادميوم التي تسبب موت (%) 200 من كائنات *T. pyriformis* (0.84، 1.67، 3.33، 6.67، 1.0) ملغم، لتر بعد مرور (30) دقيقة. كما شارا Jones (1975) الى ان التأثير السمي للكادميوم ناتج عن تأثيره في التوازن الايوني والازموزي. وأشار العمر (2000) الى ان عنصر الكادميوم يرتبط مع مكونات الغشاء الخلوي فتغير نفاذيته، ويؤثر ذلك على المكونات الخلوية او التوازن الايوني والازموزي.

الجدول (1) : تأثير تراكيز الكادميوم المختلفة على عدد الكائنات ($10^4 \times$) للتراميفيتا بباربوروم (عدد الكائنات البالغة بها يساوى $10^4 \times 2.1 \times 10^{-4}$ جريلن/سم 3).

المعدل				المعدل				المعدل				المعدل				المعدل				المعدل			
العمر /ساعة		العمر /ساعة		العمر /ساعة		العمر /ساعة		العمر /ساعة		العمر /ساعة		العمر /ساعة		العمر /ساعة		العمر /ساعة		العمر /ساعة		العمر /ساعة		العمر /ساعة	
العمر	النوع	العمر	النوع	العمر	النوع	العمر	النوع	العمر	النوع	العمر	النوع	العمر	النوع	العمر	النوع	العمر	النوع	العمر	النوع	العمر	النوع	العمر	النوع
(0)		(0.5)		(1)		(1.5)		(2)		(2.0)		(2.5)		(3.0)		(3.5)		(4.0)		(4.5)		(5.0)	
51	19	0.5 ± 1.3 ^a	67	33	0.5 ± 2.3 ^a	34	66	1.1 ± 4.6 ^b	20	80	2.0 ± 5.6 ^b	14	86	1.0 ± 6.0 ^b	10	90	1.5 ± 6.3 ^b	-	100	1.0 ± 7.0 ^b	24		
100	-	0.0 ^b	100	-	0.0 ^b	93	7	0.0 ± 1.0 ^b	41	59	1.0 ± 9.0 ^b	37	63	2.0 ± 9.6 ^b	28	72	1.7 ± 11.0 ^b	-	100	0.5 ± 13.3 ^b	48		
100	-	0.0 ^b	100	-	0.0 ^b	100	-	0.0 ^b	49	51	0.5 ± 10.3 ^b	40	60	1.0 ± 12.0 ^b	33	67	1.5 ± 13.3 ^b	-	100	2.0 ± 20.0 ^b	72		
100	-	0.0 ^b	100	-	0.0 ^b	100	-	0.0 ^b	49	51	1.1 ± 12.6 ^b	41	59	3.0 ± 14.6 ^b	39	61	1.0 ± 15.0 ^b	-	100	0.5 ± 24.6 ^b	96		

الجدول (2) : تأثير تراكيز النحاس المختلفة على عدد الكائنات العاملية بماء بولاري (عدد الكائنات البالغة بها يساوى $10^4 \times 2.4 \times 10^4$ جريلن/سم 3).

المعدل				المعدل				المعدل				المعدل				المعدل				المعدل			
العمر /ساعة		العمر /ساعة		العمر /ساعة		العمر /ساعة		العمر /ساعة		العمر /ساعة		العمر /ساعة		العمر /ساعة		العمر /ساعة		العمر /ساعة		العمر /ساعة		العمر /ساعة	
العمر	النوع	العمر	النوع	العمر	النوع	العمر	النوع	العمر	النوع	العمر	النوع	العمر	النوع	العمر	النوع	العمر	النوع	العمر	النوع	العمر	النوع	العمر	النوع
(0)		(0.5)		(1)		(1.5)		(2)		(2.5)		(3)		(3.5)		(4)		(4.5)		(5)		(6)	
59	41	0.0 ± 3.0 ^a	51	49	1.1 ± 3.6 ^b	23	77	0.5 ± 5.6 ^b	18	82	0.0 ± 6.0 ^b	14	86	2.0 ± 6.3 ^b	4.0	96	1.0 ± 7.0 ^b	-	100	0.5 ± 7.3 ^b	24		
69	31	0.5 ± 4.6 ^b	67	33	0.0 ± 5.0 ^b	53	47	1.0 ± 7.0 ^b	51	49	1.5 ± 7.3 ^b	36	64	1.5 ± 9.6 ^b	18	82	1.5 ± 12.3 ^b	-	100	2.0 ± 15.5 ^b	48		
76	24	1.0 ± 5.0 ^b	69	31	1.5 ± 6.2 ^b	58	42	2.0 ± 8.6 ^b	53	47	0.5 ± 9.6 ^b	50	50	0.5 ± 10.3 ^b	34	66	0.5 ± 13.6 ^b	-	100	1.5 ± 20.6 ^b	72		
77	23	1.5 ± 6.3 ^b	74	26	1.0 ± 7.0 ^b	62	38	0.5 ± 10.3 ^b	58	42	0.5 ± 11.3 ^b	51	49	2.0 ± 16.0 ^b	-	100	1.0 ± 22 ^b	96					

* النحاس والقصدير مكونات للكائن الباهبى حر المعيشة + 100 فروقات مترادفات على نفس المقاييس عند تركيزات مختلفة تصل إلى 0.05% (Dowman et al., 2000).

الجدول (3) : تأثير توسيع المدارس الصينية المختلفة على عدد الكائنات المبتدء وبها يصلوي $10^4 \times 2.4 \times 104$ حيوان [سم].

الرتبة	النوع										النوع
	النوع										
٠٠	فراخ										
٢٤	-	-	-	-	-	-	-	-	-	-	-
١٠٠	٥٣ ± ٧.٣	٥٣ ± ٧.٣	٥٣ ± ٧.٣	٥٣ ± ٧.٣	٥٣ ± ٧.٣	٥٣ ± ٧.٣	٥٣ ± ٧.٣	٥٣ ± ٧.٣	٥٣ ± ٧.٣	٥٣ ± ٧.٣	٥٣ ± ٧.٣
٤٩	٤١	٣٩	٣٨	٣٧	٣٦	٣٥	٣٤	٣٣	٣٢	٣١	٣٠
٥١	٤٩	٤١	٣٩	٣٨	٣٧	٣٦	٣٥	٣٤	٣٣	٣٢	٣١
٦٤	٤٠	٤٥	٤٥	٤٥	٤٥	٤٥	٤٥	٤٥	٤٥	٤٥	٤٥
٦٥	٦٣	٣٧	٣٩	٣٩	٣٩	٣٩	٣٩	٣٩	٣٩	٣٩	٣٩
٦٨	٣٤	٥٥	٥٥	٥٥	٥٥	٥٥	٥٥	٥٥	٥٥	٥٥	٥٥

* العسل و العسلاء القواصي مولوكات مكررات + وجود فرق يكفل مختبرات النسبة الفنزيلية للسو على سلسلة الفرز العادي أو العادي مع العسل الأبيض وبهذا عد مستوى لخدم (0.05) دانكن (Duncan test).

اظهرت انواع مختلفة من اللافقريات حساسية تجاه تراكيز منخفضة من النحاس، كانت نسبياً أعلى من القيمة المسجلة في الدراسة الحالية. إذ اظهرت النتائج لهذه الدراسة أن آية زيادة في تركيز النحاس تؤدي إلى انخفاض فترة البقاء مقارنة بالكائنات غير المعاملة (الضابط)، وهذا يتفق مع ما توصل إليه Spande وجماعته (1981)، إذ وجد أن التراكيز المميتة للتراهايمينا (0.9) و (0.7) جزء بال مليون بعد مرور عشر دقائق و ساعتين على التوالي من إضافة كبريتات النحاس. كما أشار Hill (1975) إلى أن النحاس يعد من العناصر الضرورية لنمو التراهايمينا بايريفورمز لكن زيادة التركيز يثبط نموها. وهذا يعزى إلى حساسيتها العالية للنحاس (McDonald و Lauren 1985). إذ أشار Wakatsuki et al. 1986 إلى أن أيونات النحاس تؤثر في نفاذية الأغشية الخلوية مسبباً بذلك انخفاض محتوى البوتاسيوم داخل الخلية وانخفاض التدرج التركيزى على جانبي الغشاء، أو نتيجة لللافقة الشديدة بين النحاس ومجموعة (Stagg&Shuttleworth, 1982) لإنزيمات النقل $\text{Na}^+ \text{-K}^+$ -ATPase (Sulphydryl-SH) تستنتج مما نقدم أن الآلية المسئولة عن سمية النحاس معقدة وتشمل التأثيرات الوظيفية المختلفة (Lauren & McDonald, 1985).

اتضح من هذه الدراسة أن التأثير السمي للخارصين في الكائن قيد الدراسة أقل مقارنة بالكادميوم والنحاس، إذ احتل المرتبة الثالثة بعد الكادميوم والنحاس. وتعكس مقاومة التراهايمينا لتراكيز مرتفعة من الخارصين قدرة هذه الكائنات على تنظيم محتوى الخارصين في الجسم وهذا ما يتفق مع ما وجده (White & Rainbow, 1987) في القشريات. وما سبق يتضح أن النسبة المئوية للبقاء نقل بازدياد التركيز، كما أنها تقل بازدياد فترة التعرض عند التركيز نفسه.

التراكم الحيوي لعدد من المعادن الثقيلة
يبين الجدول (4) أن خلايا الكائن الحي قيد الدراسة تراكمًا حيوياً للخارصين والنحاس والكادميوم عند معالته بتراكيز (LC_{50}) وفلفرات زمنية مختلفة، إذ وجد أن تراكم الخارصين المترافق في الخلايا المعاملة بتركيز (1.5) ملغم/لتر بعد مرور (96) ساعة كان (39.346) مكغم/100 ملغم من الوزن الجاف مقارنة بتركيز (1.641) مكغم/100 ملغم من الوزن الجاف في الضابط، وكان تراكم الكادميوم المترافق في الخلايا المعاملة بتركيز (1.0) ملغم/لتر بعد مرور (96) ساعة فكان (19.904) مكغم/100 ملغم من الوزن الجاف مقارنة بتركيز (0.359) مكغم/10 ملغم من الوزن الجاف في الضابط.

الجدول 4: التراكم الحيوي للخارصين والنحاس والكادميوم في خلايا الكائن الهدبي
المعاملة بتراكيز LC_{50} (Tetrahymena pyriformis) ولفترات زمنية مختلفة

العاملة فتررة التعريض (ساعة)	الخارصين (1.5) ملغم/لتر	النحاس (0.5) ملغم/لتر	الكادميوم (1.0) ملغم/لتر
تركيز الخارصين (ملغم/100 ملغم من الوزن) الجاف	تركيز النحاس (ملغم/100 ملغم من الوزن) الجاف	تركيز النحاس (ملغم/100 ملغم من الوزن) الجاف	تركيز الكادميوم (ملغم/100 ملغم من الوزن) الجاف
0	1.641	1.324	0.359
24	8.128	15.260	11.628
48	27.183	19.250	14.620
72	33.873	21.500	18.314
96	39.346	23.240	19.904

اهتم العديد من الباحثين بدراسة التراكم الحيوي للكادميوم في البذيبات بشكل خاص فضلا عن النحاس والخارصين والرصاص Nilsson, 1979; Dunlop & Chapman, 1981; Berhin et al., 1984; Wakatsuki et al., 1986; Irato & Albergoni, 1988) ان نتائج هذه الدراسة تتفق جزئيا مع ما تم تسجيله في Tetrahymena pyriformis المعرض لتركيز (100) ملغم/لتر كادميوم، اذ اظهرت نمطا خطيا لتراكم الكادميوم خلال (24) ساعة. اما عند تعريض الكائن لتركيز (500) ملغم/لتر كادميوم، فتم الحصول على اعلى معدل لتراكم بعد (6) ساعات بما يعادل ($4.467 \pm$) ملغم كادميوم/كغم من الوزن الجاف، ثم حدد معدل الكادميوم المتراكم (52) ملغم كادميوم/كغم من الوزن الجاف عند تعريض الكائن لتركيز (100) ملغم/لتر كادميوم، اذ عد هذا التكثيف السام للخلايا (Berhin et al., 1984). كما اشار Houba و Remacle (1982) الى ان تراكم الكادميوم في التراهابينا بايريفورمز يزداد بزيادة سمية المعدن في الوسط الزرعي. اشار Gipps وجماعته (1980) الى ان ترسب الكادميوم خارج الخلايا بشكل فوسفات الكادميوم ($CdPO_4$) يثبط تراكمه، واوضح Wakatsuki وجماعته (1986) ان لتراكم النحاس في مايتوكوندريا خلايا التراهابينا تأثيرا على نموها. ووجد Irato و Albergoni (1988) ان تعريض التراهابينا لتركيز (18) ملغم/سم³ كادميوم لمدة (3-4) ايام، ادى الى تشبع في النمو وظهور عدد من التغيرات في المظاهر الخارجي والعضيات الخلوية،

ويبين ارتباط هذه التغيرات بالتراكم العالى للكادميوم في تلك الخلايا. وقد اشار Ireland (1979) ان ميكانيكية التراكم الحيوى تختلف من نوع لآخر ، فالحيوانات التي تمتاز بمقاومة مرتفعة تجاه الكادميوم، لا تستطيع امتصاصه او تقوم بتراكمة بحالة غير سامة او طرحه بكفاءة مرتفعة الى الخارج.

REFERENCES

1. العمر، مثنى عبد الرزاق. التلوث البيئي. الطبعة الاولى. مطبعة دار وائل للطباعة والنشر. عمان /الأردن. (2000)
2. الفهادي، نبيل حمد اشہ عزیز. التاثير السمي لبعض المعادن الثقيلة في الحيوان الفشري Rivubogammarus syriacus (Chevreus) رسالة ماجستير. كلية العلوم/ جامعة الموصل. (1990)
3. جانكير، منى حسين علي. ايض نيكليوتيد الثايمين في الهدبيات حرة المعيشة الترارهايمينا ايريفورمز (Tetrahymena pyriformis). رسالة ماجستير. كلية العلوم/ جامعة الموصل (1992)
4. ياسين، مهدي صالح. تاثير بعض الفلزات الثقيلة في بعض النواحي الحياتية لسمكة البنى الكبيرة الفم (Cyprinion macrostomus (Heckel) اطروحة دكتوراه. كلية العلوم/ جامعة الموصل (1992)
5. Berhin, F., Houba, C. and Remacle, J. Cadmium toxicity and accumulation by *Tetrahymena pyriformis* in contaminated river waters. Environ. Poll. Ser. A, 35: 315-329 (1984)
6. Bethlesen, V. Uptake, retention and loss of cadmium by brown shrimp (Crangon crangon). Meeresforschung, 29: 137-152 (1978)
7. Bryan, G.W. The effects of heavy metals (other than mercury) on marine and estuarine organisms. J. Mal. Proc. R. Soc. (Ser. B), 177: 389-410 (1971).
8. Carter, J.W. and Cameron I.L. Toxiscity bioassay of heavy metals in water using *Tetrahymena pyriformis*. Wat. Res., 7: 951-961 (1973).
9. Chung, K.S. Effects of selected heavy metals on survival of tropical grass shrimp (Palaemon notropi). Biol. Inst. Oceanog. Oriente., 19: 53-57 (1980).

- 10.Dive, D. Perspectives d'utilisation des protozoaires en ecotoxicologie aquatique. In Les tests de toxicité aigüe en milieu aquatique. Ed. by H. Leclerc and D. Dive Proc. Conf. INSERM. 17-19 November 1981, Lille, France. 106: 273-294 (1981).
- 11.Dunlop, S. and Chapman, G. Detoxication of zinc and cadmium by the freshwater protozoan *Tetrahymena pyriformis*. II. Growth experiments and Ultrastructural studies in sequestration of heavy metals. Environ. Res., 24: 264-274 (1981).
- 12.Eichler, W. Properties of purified L-Ornithine decarboxylase (EC 4.1.1.7) from *Tetrahymena thermophila* J. Protozool., 36: 577-582 (1989).
- 13.Foissner, W. Dynamics of ecology of free-living protozoa. Zool. Sci., 7: 155-165 (1990).
- 14.Gipps, J.P., Bruce, A.W. and Coller, A.W. Effect of physical and culture condition on uptake of cadmium by *Chlorella pyrenoides*. Aus. J. Mar. Freshwat. Res., 31: 747-755 (1980).
- 15.Grass, F.S. An immobilization antigen in *Tetrahymena pyriformis* expressed under conditions of high salt stress. J. Protozool., 19: 505-511 (1972).
- 16.Hill, D.L. (1975) Cited by Wakatsuki, T., Tazaki, Y. nad Imahara, H. (1986)
- 17.Houba, C. and Remacle, J. Factors influencing toxicity of cadmium to *Tetrahymena pyriformis*: particulate or soluble form and degree of complexation. Environ. Poll. Ser. A., 28: 35-43 (1975).
- 18.Hunter, S.H., Baker, H., Frank, O. and Cox, D. Nutrition and metabolism in protozoa. In Biology of nutrition, Ed., By Fiennes, R.N., Pergamon Press, New York. (1972).
- 19.Irato, P. and Albergoni, V. Response of *Tetrahymena pyriformis* to high doses of Cd. J. Protozool (Abstract). Cited by J. Protozool, 36 (2): 7A
- 20.Ireland, M.P. Metal accumulation by the earth worms *Lumbricus rubellus*, *Dendrobaena veneta* and *Eiseniella tetraedra* living in heavy metal polluted sites. Environ. Poll., 7: 201-206 (1979).
- 21.Jones. M.B. Synergistic effects of salinity, temperature and heavy metals on mortality and osmoregulation in marine and esturine isopoda (Crustacea). Mar. Biol., 30: 13-20 (1975)
- 22.Kaviraj, A. and Konar. S.K. Acute toxicity of mercury, chromium and cadmium to fish, plankton and worm. Giobios, 9: 97-100 (1982)

- 23.Klerks, P.L. and Weis, J.S. Genetic adaptation to heavy metals in aquatic organisms: A review Environ. Poll., 45: 173-205 (1987).
- 24.Kumar, S. and Lal, R. The effects of dieldrin, dimethoate and permethrin on *Tetrahymena pyriformis*. Environ. Poll. 57: 275-280 (1989).
- 25.Lalande, M. and Pinel-Alloul, B. Acute toxicity of cadmium, copper, mercury and zinc to tropocyclops *Prasinus mexicanus* (Cyclopoida, Copepoda) from three Quebec lakes Environ. Toxicol. Chem., 5: 95-102 (1986)
- 26.Lauren, D.J. and McDonald, D.G. Acclimation to copper by rainbow trout *S. Gairdneri* Physiology. Can. J. Fish. Aquat. Sci., 44: 99-104 (1985)
- 27.Lobel, P. Pat Mogie, B., Wright, D.A> and WU, B.L. Metal accumulation in four Mollusces. Mar. Poll. Bull., 13: 170-174 (1982)
- 28.Mathur, R. and Saxena, D.M. Inhibition of macromolecule synthesis in a ciliate protozoan, *Tetrahymena pyriformis*, by BHC isomers. Acta. Protozool., 25: 397-410 (1986).
- 29.Mackim, J.M. and Beniot, D.A. Effects of longterm exposure to copper on survival, growth and reproduciton of brook trout, *Salvalinus fontinalis*. J. Fish. Res. Bd. Can., 28: 655-662 (1971).
- 30.Nilsson, J.R. Intracellular distribution of lead in *Tetrahymena* during continuous exposure to the metal. J. Cell. Sci., 39: 383-396 (1979).
- 31.Rainbow, P.S. Accumulation of Zn, Cu and Cd by crabs and barnacles. Esturaine Coas. & Shelf Sci., 21: 669-686 (1985)
- 32.Reish, D.J. and Carr, R.S. The effect of heavy metals on the survival, reproduciton, development, and life cycles for two species of polychaetous annelids. Mar. Poll. Bull., 9:24-27 (1978).
- 33.Saxena, D.M. Shivaji S. and Lal R. Effect of DDT on DNA, RNA and protein synthesis in *Tetrahymena pyriformis*. Ind. J. Exp. Biol., 19: 568-570 (1981)
- 34.Simkiss, K. Cellular discrimination processes in metal accumulating cells. Ind. J. Exp. Biol., 94: 317-327 (1981).
- 35.Spande, A., Sarkar, R. and Krishnamoorthi, K.P. Toxicity of copper sulphate to the alga *Spirulina platensis* and the ciliate *Tetrahymena pyriformis*. Ind. J. Exp. Biol. 19: 500-502 (1981)
- 36.Stagg, R.M. and Shuttleworth,T.J. The accumulation copper in *Platichthys flesus* L. and its effects on plasma electrolyte concentrations. J. Fish. Biol. 20: 491-500 (1982)

37. Steel, R.G.D. and Torrie, J.H. Principles and Procedures of statistics 2nd ed. McGraw-Hill company, Inc. London (1980).
38. Wagner, B. Glutathione in Tetrahymena thermophila. J. Protozool 36: 92-95 (1989).
39. Wakatsuki, T., Tazaki, Y. and Imahara, H. Respiratory inhibition by copper in Tetrahymena pyriformis GL. J. Ferment. Techol., 64(2): 119-127 (1986).
40. White, S.L. and Rainbow, P.S. Heavy metals concentration in decapod crustacean Systellaspis debilis. Mar. Ecol. Prog. Ser., 37: 147-151 (1987).
41. Wright, D.A. Heavy metals in animals from the North East Coast. Mar. Poll. Bull., 7: 36-38.
42. Zia, S. and Alikhan, M.A. Copper uptake and regulation in a copper-tolerant decapod Cambarus bartoni (Fabricius) (Decapoda, Crustacea). Bull. Environ. Contam. Toxicol., 42: 103-110.

التباین فی تراکیز الہیدروکاربونات النفتیة فی اوراق نخل التمر صنف الحلاوي فی بعض مناطق شط العرب - البصرة

عبد الباسط عودة ابراهيم ، *نايف محسن عزيز

قسم البستنة والنخيل - كلية الزراعة

* قسم علوم الحياة - كلية العلوم

ABSTRACT

This study was carried out during Oct. 1999 to end of Mar. 2000 to having information about monthly and regional concentration of petroleum hydrocarbon in the leaves of *phoenic dactylifera* L. cv. Hillawi along Shatt Al-Arab River. The concentration reached $4.01 \mu\text{g.g}^{-1}$ dry wt in Oct 1999 in Abo Al-Khasib station to $5.88 \mu\text{g.g}^{-1}$ dry wt in Mar 2000 in Tanuma station because of diverse sources of pollution in the region. Chlorophyll (a) and fat content were determined in the study samples. Reverse relationship between Chlorophyll (a) and petroleum hydrocarbon and direct relationship between fat content and petroleum hydrocarbon.

الخلاصة

أجريت الدراسة خلال المدة من شهر تشرين الاول 1999 الى نهاية شهر اذار 2000 بهدف التعرف على التباين الشهري والموقعي لتركيز الہیدروکاربونات النفتیة فی اوراق نخيل التمر صنف الحلاوي على امتداد شط العرب. تراوحت التراکیز فی الاوراق من $4.01 \text{ ملیکغم / غم وزنی}$ جافاً في شهر تشرين الاول 1999 في محطة ابی الخصيب الى $5.88 \text{ ملیکغم / غم وزنی}$ جافاً في شهر اذار 2000 في محطة التويمة التي اعطت اعلى التراکیز نتيجة قربها النسبی من بعض مصادر التلوث في المنطقة. تم تقدير كلوروفيل أر المحتوى الدهني في عينات الدراسة الحالية ووجد أن كلوروفيل أ يتاسب عكسياً مع الزيادة في تراکیز الہیدروکاربونات النفتیة بينما كانت العلاقة طردية بين تركيز الہیدروکاربونات النفتیة والمحتوى الدهني.

المقدمة

بعد العراق من البلدان التي ينتشر فيها النخيل بكثافة اذ يبلغ عدد الاشجار في العراق 16.253.700 نخلة (الجهاز المركزي للإحصاء، 1993) وخاصة في منطقة البصرة اذ يلاحظ

كثافة اشجار النخيل على امتداد ضفتي شط العرب، ويعد صنف الحلاوی من أصناف التمور التجارية الشائعة في المنطقة. أن المنطقة الممتدة على ضفاف شط العرب ينتشر فيها العديد من المنشآت الصناعية والمصافي النفطية وموانئ الشحن والتغليف ومحطات توليد الطاقة الكهربائية، والمشاريع الزراعية الأمر الذي أدى إلى تواجد كميات مختلفة من الفضلات الصناعية في هذه المنطقة مسببة بعض التأثيرات الملوثة للبيئة التي قد تلحق ضرراً بالنباتات القريبة من المنشأة المسيبة للتلوث ومنها نخيل التمر في تلك المنطقة. تعد الھیدروکاربونات النفتیة من الملوثات العامة في المنطقة إذ تتبع من المصادر المختلفة مثل النفط الخام ومشتقاته المستعملة في عمليات الاحتراق للمحركات في المعامل أو السيارات مثلاً (Al-Saad, 1995). أن تأثير التلوث بالھیدروکاربونات النفتیة يكون على نوعين أما أن يكون حاداً (ينتاج من حادثة تسرب نفتیة) مسبباً أضراراً مباشرة على النبات تختلف حدتها اعتماداً على كمية الھیدروکاربونات ونوع النبات المعرض له وعلى فترة التعرض، أو يكون تأثيراً مزمناً (ينتج من مصدر ينبعث من هیدروکاربونات بتراکیز قلیلة بصورة مستمرة) مسبباً أضراراً على النبات تظهر آثارها بعد مدة زمنية طويلة ولغرض دراسة إمكانية تلوث بعض النباتات بهذا الملوث قام العديد من الباحثين بدراسة تراکیز الھیدروکاربونات النفتیة (راجع) (Baker, 1970 Baker, 1971 Blankenship and Larson, 1978 Al-Saad, 1994; Ibrahim, 1999; Aziz et al., 2000; Inrahim and Aziz, 2001).

أن هدف من الدراسة الحالية هو التعرف على التباين في تراکیز الھیدروکاربونات النفتیة في أوراق نخيل التمر صنف الحلاوی في مناطق زراعية مختلفة قرب شط العرب مؤشر في برامج مراقبة التلوث بالھیدروکاربونات النفتیة في المنطقة.

المواد وطرائق العمل

جمع العينات واستخلاص الھیدروکاربونات

انتُخبَتْ تسع نخلات من صنف الحلاوی متجانسة الطول وحجم النمو الخضري العمر قدر الامكان في كل منطقة من مناطق الدراسة (شكل 1) التي شملت (1) الهاشة و (2) التنومة و (3) أبي الخصيب لأبعاد أية تأثيرات ناتجة عن الاختلافات في الطول او النمو او العمر. تم جمع العينات من أوراق النخيل (السعف المتوسط) لمدة ستة أشهر ابتداء من شهر تشرين الاول عام 1999 الى نهاية شهر اذار 2000. نقلت العينات الى المختبر وقطعت وجفت ب بواسطة الفرن

بدرجة حرارة 50 م لددة 24 ساعة، ثم طخت بباون خوفي ونخلت بمنخل حجم فتحاته 63 مايكرومتر وأصبحت جاهزة لاجراء استخلاص البيبروكربونات النفطية منها. اعتمدت الطريقة المستعملة من قبل Goutx and Saliot (1980) لتحديد البيبروكربونات النفطية في العينات المدرسوة والتي اتبعت الخطوات بأخذ وزن معين من العينة الجافة من الأوراق وإجراء عملية الاستخلاص في جهاز الاستخلاص المستمر باستعمال مذيب مكون من خلط الميثانول : البنزين (1:1) لكل دوارق حجمي سعة 250 مل مدة 24 ساعة. رکز المستخلاص بوساطة المبخر الدوار وأضيف له 25 مل من مذيب البنزين ومررت عنى عمود فصل حاو على هلام السليكا SiO_2 تلعوه طبقة من اوكسيد الالمنيوم المتعادل Al_2O_3 للحصول على الاجزاء الاروماتية، ثم بخر هذا الجزء الى حد الجفاف وأضيف له 5 مل من الهكسان لغرض قياس التركيز انكلائي للمركبات الهايدركاربونية الاروماتية باستعمال جهاز مطيافية التلور Spectrofluorometr. استعمل في الدراسة الحالية جهاز مطيافية التلور نوع شيمادوز RF-540 مزود بمسجل نوع DR-3 وأخذت القياسات لشدة الانبعاث على طول موجي 360 نانومتر وعند تبیج 310 نانومتر الموجود في جامعة البصرة / مركز علوم البحار.

استخلاص الدهن من عينات الدراسة

استعملت الطريقة الموصوفة من قبل AOAC (1984) في استخلاص الدهن من الانسجة التي تتبع الخطوات باستعمال خليط معين من العينة واجراء عملية الاستخلاص في جهاز الاستخلاص باستعمال خليط من البنزوليلوم ايثر : اسيتون بنسبة 2:1 في دوارق موزونة مدة 24 ساعة، ثم تجفيف المستخلاص بوساطة المبخر الدوار واخذ وزن الدوارق بعد التجفيف ويكون المحتوى الدهني هو الفرق في وزن الدوارق.

تقدير كلورو菲ل أ في الوراق النباتي

تم اعتماد الطريقة الموصوفة من قبل AOAC (1984) في استخلاص الكلورو菲ل من الوراق النباتي وتقدير كلورو菲ل أ بجهاز السبكتروفوتوميتر Spectrophotometer.

جدول (1) تركيز الهيدروكاربونات النفطية في أوراق نخيل التمر صنف الحلاوي لمحطات
الدراسة المختلفة والنسبة المئوية للدهن

% الدهن	معدل التركيز \pm SD	المحطة	7
0.66	0.03 \pm 4.60	1	تشرين الاول 1999
0.68	0.03 \pm 5.56	2	
0.62	0.04 \pm 4.01	3	
0.69	0.03 \pm 4.67	1	تشرين الثاني 1999
0.69	0.05 \pm 5.58	2	
0.62	0.03 \pm 4.14	3	
0.72	0.02 \pm 4.90	1	كانون الاول 1999
0.75	0.03 \pm 5.71	2	
0.65	0.04 \pm 4.30	3	
0.73	0.04 \pm 4.93	1	كانون الثاني 2000
0.75	0.04 \pm 5.77	2	
0.67	0.03 \pm 4.36	3	
0.76	0.03 \pm 4.90	1	شباط 2000
0.77	0.05 \pm 5.80	2	
0.68	0.05 \pm 4.37	3	
0.79	0.05 \pm 5.03	1	اذار 2000
0.79	0.05 \pm 5.88	2	
0.69	0.04 \pm 4.41	3	

S.D. Standard deviation الانحراف القياسي

جدول (2) محتوى كلوروفيل أ في اوراق نخيل التمر صنف الحلوي لأشهر الدراسة في المحطات المختلفة

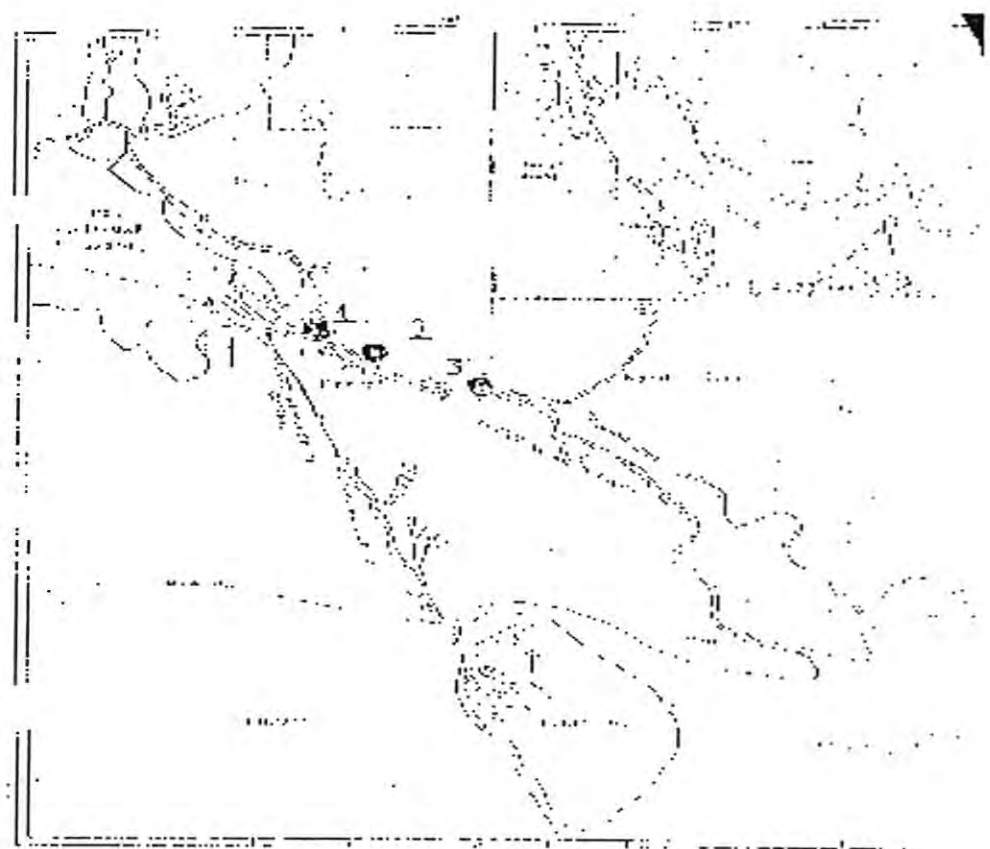
S.D. \pm محتوى كلوروفيل أ	المحطة	الشهر
0.02 \pm 10.10	1	شرين الاول 1999
0.03 \pm 10.13	2	
0.02 \pm 9.86	3	
0.04 \pm 10.09	1	شرين الثاني 1999
0.04 \pm 10.13	2	
0.04 \pm 9.82	3	
0.04 \pm 10.03	1	كانون الاول 1999
0.04 \pm 10.09	2	
0.03 \pm 9.80	3	
0.03 \pm 10.02	1	كانون الثاني 2000
0.03 \pm 10.06	2	
0.03 \pm 9.80	3	
0.03 \pm 10.02	1	شباط 2000
0.03 \pm 10.02	2	
0.03 \pm 9.77	3	
0.04 \pm 10.00	1	اذار 2000
0.03 \pm 10.01	2	
0.03 \pm 9.75	3	

S.D. Standard deviation الانحراف القياسي

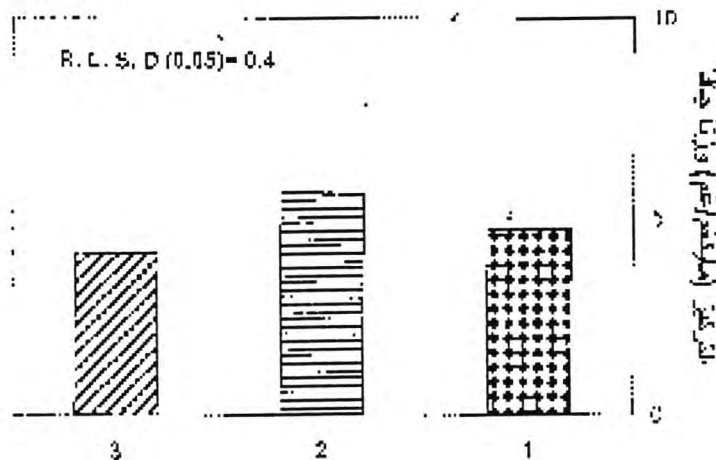
التبان في تراكيز الهيدروكاربونات النفطية في أوراق نخيل التمر صنف الحلوي في بعض مناطق شسط العرب-

عبد الباسط عودة ابراهيم و نايف محسن عزيز

البصرة



شكل (1) خارطة توضح محطات الدراسة



محطات الدراسة

شكل (2) التباين الموقعي في تراكيز الهيدروكاربونات النفطية في محطات الدراسة المختلفة

النتائج والمناقشة

يبين الجدول رقم 1 تراكيز الهيدروكاربونات النفطية في اوراق نخيل التمر صنف الحلاوي خلال ستة اشهر ولمحطات دراسة مختلفة، وترواحت التراكيز بين 4.01 مايكغم / وزناً جافاً في شهر تشرين الاول عام 1999 في المحطة رقم 3 الى 5.88 مايكغم / غم وزناً جافاً في شهر اذار عام 2000 في المحطة رقم 2، وترواح المحتوى الدهني في الاوراق بين 0.62% الى 0.79%. ويلاحظ ان الهيدروكاربونات النفطية ترتبط بعلاقة طردية مع تراكيز الهيدروكاربونات النفطية وبلغت قيمة معامل الارتباط $r = 0.98$ وهي قيمة معنوية احصائياً.

يتضح من الشكل رقم 2 التباين الموقعي بين محطات الدراسة من معدلات تراكيز الهيدروكاربونات النفطية في الاوراق، اذ اظهرت نتائج التحليل الاحصائي ان المحطة رقم 2 هي

التبالين في تركيز الهيدروكاربونات النفطية في أوراق نخيل التمر صنف الحلاوي في بعض مناطق شط العرب-

عبد الباسط عودة ابراهيم و نايف محسن عزيز

البصرة

الاعلى في معدلات تركيز الهيدروكاربونات النفطية اذ بلغ 5.6 مايكغم / غم، وزناً جافاً بينما بلغ 4.7 مايكغم / غم وزناً جافاً و 4.1 مايكغم ، غم وزناً جافاً في المحطة 1 و 3 على التوالي.
تظهر العلاقة بين تركيز الهيدروكاربونات النفطية ومحتوى اوراق اشجار النخيل صنف الحلاوي من الكلوروفيل أ في الجدول رقم 2 اذ بلغ اقل محتوى من كلوروفيل أ من الاروراق مع وجود اعلى تركيز للهيدروكاربونات النفطية، كما يظهر في المحطة 2 من شهر اذار 2000 وكما عليه الحال في المحطات الاخرى مدللاً على العلاقة العكسيّة بين محتوى الاوراق من كلوروفيل أ وتركيز الهيدروكاربونات النفطية بما يجعلها مؤشراً مهمّاً على تواجد تركيز من الهيدروكاربونات النفطية في المنطقة وقد يرجع السبب في تلك العلاقة الى الفعل الفيزيائي للهيدروكاربونات النفطية اذ تعمل على تكوين عازل بين ضوء الشمس والورقة النباتية معتمداً ذلك على تركيز الملوث على الاوراق في محطات الدراسة المختلفة.

ان الهيدروكاربونات النفطية الموجودة في بيئه شط العرب من مصادرها المختلفة تصل الى النبات اما عن طريق مياه الري اذ ان من المعلوم ان اشجار النخيل في مناطق الدراسة تروي مباشرة من مياه شط العرب اما عن طريق مضخات الماء او عن طريق ظاهرة المد والجزر، اذ يصل الماء الى الافرع التي تزرع اشجار النخيل بينها، كما قد تصل الهيدروكاربونات ذات ذرات كarbon من C_{15} الى C_{15} من اكثـر المركبات تطايرـاً في البيئة اذ تعمل درجات الحرارة العالية نسبياً خلال فترة الدراسة الى تبخـر مثل تلك الهيدروكاربونات مؤديـاً الى انتقالـها الى اشجار النـخيل القـرـيبة من مـياه شـطـ العـرب وـتركـمـها فـيـ الاـورـاقـ (ـعـزيـزـ،ـ 1998ـ).ـ انـ الخـاصـيـةـ التـيـ تـملـكـهاـ الهـيدـرـوـكـارـبـونـاتـ النـفـطـيـةـ كـوـنـهـاـ مـنـ الـمـلـوـثـاتـ الـمـحـبـةـ لـلـدـهـوـنـ،ـ وـالـتـيـ بـدورـهاـ كـلـمـاـ زـادـ الـمـحـتـوىـ لـلـأـورـاقـ كـلـمـاـ اـرـدـادـتـ قـابـلـيـةـ تـرـاكـيزـ هـيـدـرـوـكـارـبـونـاتـ فـيـهـاـ وـهـذـاـ قـدـ يـفـسـرـ اـرـدـيـادـ هـيـدـرـوـكـارـبـونـاتـ النـفـطـيـةـ خـلـالـ فـتـرـةـ الـدـرـاسـةـ فـيـ اـورـاقـ نـخـيلـ التـمـرـ صـنـفـ

الحلويـ.

ان درجات الحرارة العالية خلال فترة الدراسة قد تؤدي ايضاً الى التقليل من تركيز الهيدروكاربونات النفطية في البيئة، اذ ان اردياد درجة الحرارة يزيد من فاعلية الاحياء المجهرية المحللة للهيدروكاربونات (Shariadah, 1998)، كما تحصل عملية الاكسدة الضوئية التي تحول الهيدروكاربونات النفطية الى العديد من المركبات المؤكسدة (Ehrhardt and Petrick, 1993، كما ان المتبقى من الهيدروكاربونات النفطية يتشتت في البيئة او تحصل له عمليات الترسيب

والامتصاص على الرواسب والتي تقلل دورها من تراكيز الهيدروكاربونات في البيئة، وهذا قد يفسر عدم وصول الهيدروكاربونات الى تراكيز عالية نسبياً تؤثر على تلك الاشجار اذ لم يلاحظ على الاشجار حالة موت بسبب الهيدروكاربونات النفطية او اصفارار للاوراق.

لعرض توضيح الامر في ازيداد تراكيز الهيدروكاربونات النفطية في الاوراق خلال فترة الدراسة نذكر بان اشهر كانون الاول وكانون الثاني وشباط واذار هي اشهر تختفي بها درجة الحرارة مقارنة مع الاشهر التي تسبقها، ومن خلال ذلك تستنتج ان انخفاض درجة الحرارة يقلل من فرصه حصول عمليات الاكسدة او نشاط الاحياء المجهرية المحللة للهيدروكاربونات كما ان الاضافات المختلفة للهيدروكاربونات من مصادر بشرية كالاستعمال الوقود بكثرة لاغراض التدفئة، وكذلك استعماله في وسائل النقل المختلفة يزيد من وجود الهيدروكاربونات المكون الرئيس للوقود في البيئة وهذا يتفق مع ما ذكره Wild and Jones (1995). كما ان تساقط الامطار خلال اشهر الدراسة يسبب انزال الهيدروكاربونات المتاخرة وسقوطها على اوراق النخيل مسبباً زيادة كميتها في تلك الاوراق (Aziz et al, 2000).

تزايد الفعاليات البشرية في استخدام الوقود في المناطق المزدحمة كالمدن ذات الكثافة السكانية العالية وذات الاعداد الكبيرة نسبياً من وسائل النقل وهذا الامر قد يفسر التباين الموقعي في تراكيز الهيدروكاربونات النفطية بين محطات الدراسة الحالية اذ يلاحظ ان المحطة رقم 2 هي قريبة من مركز محافظة البصرة ذات الكثافة السكانية العالية نسبياً، وقريبة كذلك من احد المصافي النفطية المهمة وهو مصفى المفتية الذي يقع شمال محطة الدراسة، وهذا المصفى ينبع منه هيدروكاربونات نفطية تنتقل عبر مياه شط العرب مما يعطي احتمالية كبيرة من وصوله الى النباتات القريبة من شط العرب. اما باقية محطات الدراسة فانها تعكس وجود مصادر لابتعاث الهيدروكاربونات النفطية فيها، فالمحطة رقم 3 هي منطقة بعيدة نسبياً عن مركز المحافظة وهي منطقة زراعية قد تستلم كميات من الهيدروكاربونات من المحطة رقم 2 عبر انتقالها بفعل حركة الامواج والرياح الموجودة في المنطقة، ولكن نتيجة للتخفيف الذي يحصل لها بفعل بعد المسافة فان التراكيز التي قد تصل تكون قليلة نسبياً مقارنة مع ما موجود في المحطة رقم 2، كما تساهم فعاليات صيادي الاسماك في المنطقة في طرح كميات من الوقود والدهون المحترقة الى مياه شط العرب نتيجة التزود بالوقود او تبديل الدهون مؤدياً بذلك الى زيادة تراكيز الهيدروكاربونات في تلك المحطة ووصولها الى النباتات الموجودة في المنطقة.

اما المحطة الاخرى وهي المحطة رقم 1 فتقع اي الشمال من مركز المحافظة، وان مصادر التلوث فيها قد يتسبب عنها وجود محطتين للطاقة الكهربائية احدهما محطة الهاڑة والاخري محطة النجيبة التي ينبع منها بعض التراكيز من الهيدروكاربونات النفطية وان كانت ضئيلة نسبياً، كما ان وجود الحقول النفطية في منطقة نهر عمر شمال هذه المحطة قد يتسبب عنها تسرب كميات من الهيدروكاربونات الى هذه المحطة فضلاً عن نشاطات وحركة القوارب المختلفة المستعملة في عمليات الصيد والتنقل التي قد يتسبب عنها اضافة للهيدروكاربونات النفطية نتيجة استعمالها الوقود النفطي.

يسنترج من الدراسة الحالية امكانية استعمال اوراق اشجار نخيل التمر صنف الحلوي مؤشراً على التلوث بالهيدروكاربونات النفطية الموجودة في منطقة الدراسة لاعطاء بيانات توضح حالة المنطقة المدروسة في حالة وجود ملوث معين في تركيز وفتره محددة. وان المحطة 2 (النوممة) اظهرت اعلى التراكيز من الملوث نتيجة ما يطرح اليها من مصادره المتعددة.

المصادر

1. AL- Saad, H. T. Distribution of petroleum hydrocarbons in aquatic plants of Hor AL- Hammar marsh, Iraq. Mar. Meso. 9 (2): 313- 321. (1994).
2. AL- Saad, H. T. Distribution and source of hydrocarbons in Shatt AL- Arab estuary and N. W Arabian Gulf. ph . D. thesis, Basrah uinv., 186.p. (1994).
3. AOAC. Official method of nalysis. 14th ed. Association of Official Analytical. Chemists, Inc. S. William, El U.S.A. 1141 p. (1984).
4. Aziz, N. M., Ibrahim, A.O. and AL- Saad, H. T. Seasonal and regional variation of petroleum hydrocarbons in date palm {phoeuix dactylifera L.) cv. Sayer along Satt AL- Arab River, Southern Iraq, Basrah. J. Sci. B, 18(1): 123- 132. (2000).
5. Baker, J. M. The effects of oil on plants. Environ Pollut. 1: 27- 44. (1970).
6. Baker, J. M. Seasonal effect of oil pollution on salt marsh vegetation. OIKOS.22: 106-110. (1971).

7. Blankenship, D. W. and Larson, R. A. Plant growth inhibition by the water extract of a crude oil. Water. Air. Soil pollut. 10: 471- 476. (1978).
8. Goutx, M. and Saliot, A. Relation ship between dissolved and particulate fatty acids and hydrocarbons, Chlorophll (A) and Zooplankton biomass in Villefranche bay, Mediterranean Sea. Mar. Chem. 8: 299- 318. (1980).
9. Ibrahim, A. O. Hydrocarbons concentrations in leaves of some cultirars of date palm {*phoenix dactylifera* L.) a long Satt AL- Arab River. Basrah. J.Sci.B,7(I):73-78. (1999).
10. Ibrahim, A.O. and Aziz, N. M. Variation in aromatic hydrocarbons as indicated by their content in leaves of *phoenix dactylifera* ev. Sayer, soil and water from Abu Alkhasib region, sothern Basrah. Mar. Meso (Accepted for publication). (2001).
11. الجاهز المركزي للاحصاء - المجموعة السنوية الاحصائية، مطبعة الجهاز المركزي للاحصاء - بغداد، 423 صفحة، (1993).
12. عزيز، نايف محسن، دراسة تراكيز الهيدروكربونات والعناصر النزرة في أوراق نخيل التمر *phoenic dactylifera* صنف الساير وثماره في البصرة، اطروحة ماجستير - جامعة البصرة، 68 صفحة، (1998).

علي كريم كاظم

الكسوف و العوامل الانوائية

علي كريم كاظم

الهيئة العامة للاترقاء الجوية و الرصد النازل الى بغداد / صوب المنصور / 6078

المقدمة

تحدث ظاهرة الكسوف (Solar Eclipse) عندما يكون القمر بين الشمس والارض شرط ان يكون في المحاق و قريبا من احدى العقدتين. عند هذه الظاهرة يمتد خلف القمر ظل قائم مخروطي الشكل مولدا بقعة مظلمة على سطح الارض . ويقطع مخروط الظل سطح الارض في احرزمه ضيقه لا يزيد قطرها الاقصى عن 270 كم . اما منطقة شبه الظل ف تكون اوسع بكثير . ولا يتجاوز اقصى مدة للكسوف الكلي 7,5 دقيقة في أي نقطة على سطح الارض⁽¹⁾ .

لقد شكلت ظاهرة الكسوف ليوم 11/8/1999 مناسبة فريدة لدراسة تاثير عوامل الطقس المختلفة من شدة اشعاع و درجة الحرارة و ضغط و رياح بهذه الظاهرة ، وقد شملت الدراسة السجلات المناخية لمحطات في شمال ووسط و جنوب القطر^(3.2) .

شدة الاشعاع الشمسي

لا شك ان العامل الرئيسي الحاسم في ظاهرة الكسوف هو تغير شدة الاشعاع الشمسي حيث تشير تسجيلات شدة الاشعاع الشمسي في محطة انواء بغداد الى هبوط في شدته تقرب من 90% اثناء الكسوف الجزئي في حين وصل الهبوط الى 100% خلال الكسوف الكلي في محطة انواء الموصل و الذي بلغت مدة 30 ثانية في حين امتد الكسوف الجزئي من الساعة 1422 الى الساعة 1601 عصرا بالتوقيت المحلي . اما في محطة البصرة فقد امتد الكسوف من الساعة 1445 الى الساعة 1515 بالتوقيت المحلي _الشكل 1-

درجات الحرارة :

سجلت درجات الحرارة العظمى المسجلة في يوم الكسوف هبوطا طفيفا في جميع المحطات المشمولة بالدراسة ، الا ان حدوث الكسوف بعد الساعة 1400 بعد الظهر بالتوقيت المحلي حيث تكون درجات الحرارة قد اقتربت من قيمتها العظمى جعل هذا الهبوط محسوبا بمساعدة اجهزة الرصد ، و يلاحظ ان درجات الحرارة قد عادت الى الارتفاع بعد انتهاء فترة

الكسوف . ان بطيء الانخفاض و الارتفاع يمكن تفسيره بكون الغلاف الجوي يمكن اعتباره كاماكنة حرارية قليلة الكفاءة و بطبيعة الاستجابة (الشكل -2).

يظهر (الجدول -1) درجات الحرارة المسجلة لايام الكسوف و اليومين السابق و التالي له و الفروق المحتملة في درجات الحرارة ، كما يتضح بشكل جلي الانخفاض في درجات الحرارة الصغرى صباح اليوم التالي للكسوف و لجميع المحطات .

الرياح السطحية

تمشيا مع التوقعات فقد زادت سرعة الرياح في محطات بغداد و الموصل و البصرة كما يتضح من (الشكل -3) و (الجدول -1) . ان زيادة سرعة الرياح يمكن تفسيرها بتشوه امواج جزئية ترافق مسار خط الكسوف على الارض و هذه الامواج الميكانيكية يمكن ان تنتقل بسرعة تصل الى سرعة الصوت ⁽⁴⁾ .

الضغط الجوي

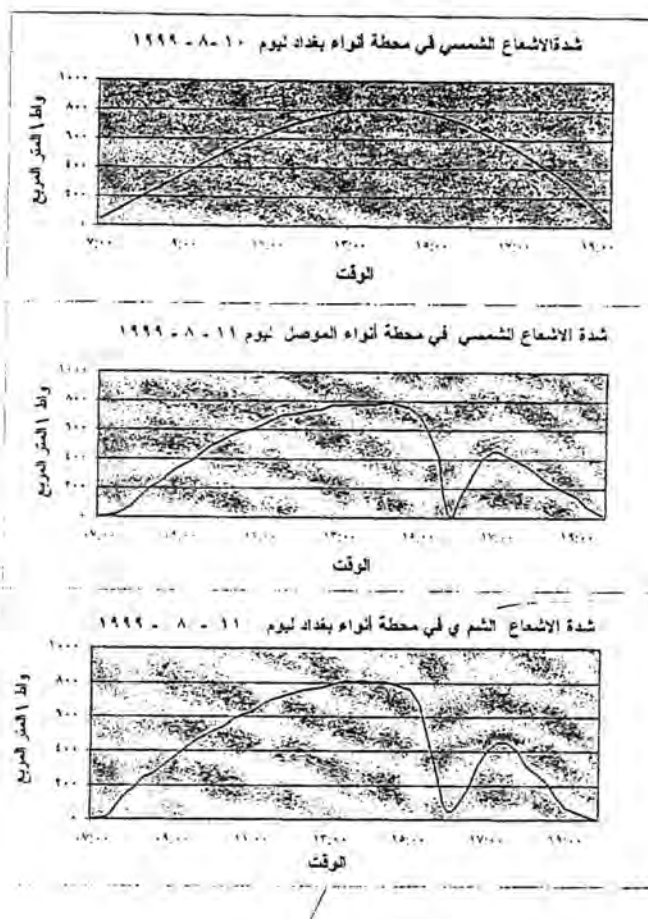
لقد ادى الكسوف الى اضطراب في الدورة اليومية لقيم الضغط الجوي ، حيث تقتضي هذه الدورة و جود قيمتين للضغط الجوي الاعظم عند الساعتين العاشرة صباحا و العاشرة مساء و قيمتين للضغط الادنى عند الساعتين الرابعة صباحا و الرابعة مساء بالتوقيت المحلي ، يشير (الشكل -4) الى تشوه واضح لهذه الدورة في يوم الكسوف في المحطات التي توفر تسجيلاتها يتجلى في استواء القيمة الدنيا للضغط الجوي المفترض تسجيلها عند الساعة الرابعة عصرا . ان هذا التشوه يمكن ان يعزى الى التغيرات في درجات الحرارة اضافة الى اسباب ميكانيكية تتعلق بال WAVES الضغطية المتولدة . و بالنظر لعدم توفر تسجيلات الضغط الجوي لمحطات بغداد و الموصل عند اجراء الدراسة فقد استخدمت تسجيلات محطات قريبة .

الخلاصة و الاستنتاجات

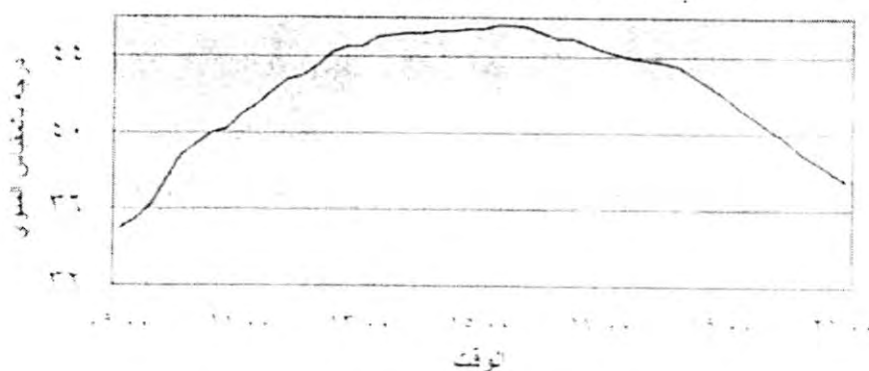
1- انخفضت كميات الاشعاع الشمسي الكلي و كما كان متوقعا بنسبة كبيرة بلغت 100% خلال الكسوف الكلي و بنسبة تقارب من 90% خلال الكسوف الجزئي .

على كريم كاظم

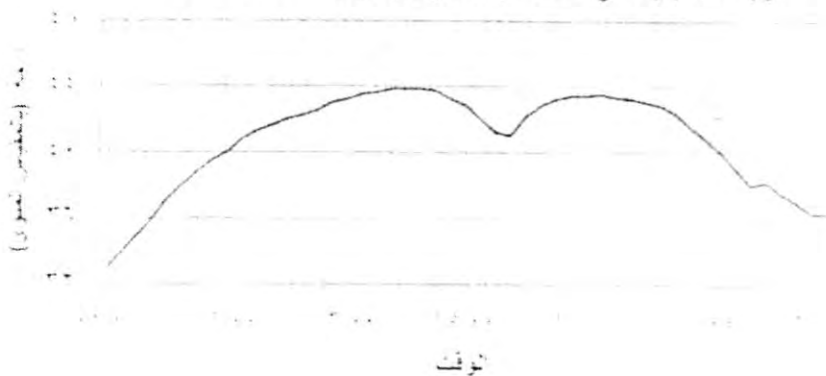
- 2- حدث انخفاض طفيف و لكنه محسوس في درجات الحرارة المسجلة بلغ اقصاه في محطة الموصل (حوالي 4 درجات مئوية) و حوالي (2 درجة مئوية) في بغداد . ان ضالة هذا الانخفاض يعود اساسا الى حصول الكسوف في وقت متاخر من الظهيرة عندما كانت درجات الحرارة قد اوشكنا ان تصل الى قيمتها العظمى ، و الى حقيقة كون الغلاف الجوي بطيء الاستجابة و قليل الكفاءة في تعامله مع الطاقة الحرارية المستلمة .
- 3- ازدادت سرعة الريح و فقا للتوقعات مما يمكن تفسيره كنتيجة لتشوه امواج ميكانيكية في الغلاف الجوي .
- 4- حصل تشوه للدورة اليومية للضغط الجوي في وقت مقارب لوقت حصول ظاهرة الكسوف .



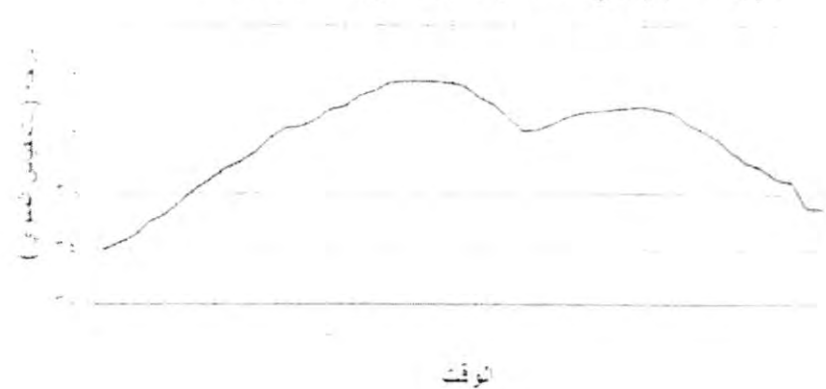
درجات الحرارة في محطة ألواء بغداد ل يوم ١٠ - ٨ - ١٩٩٩



درجات الحرارة في محطة ألواء الموصل ل يوم ١١ - ٨ - ١٩٩٩



درجات الحرارة في محطة ألواء بغداد ل يوم ١١ - ٨ - ١٩٩٩

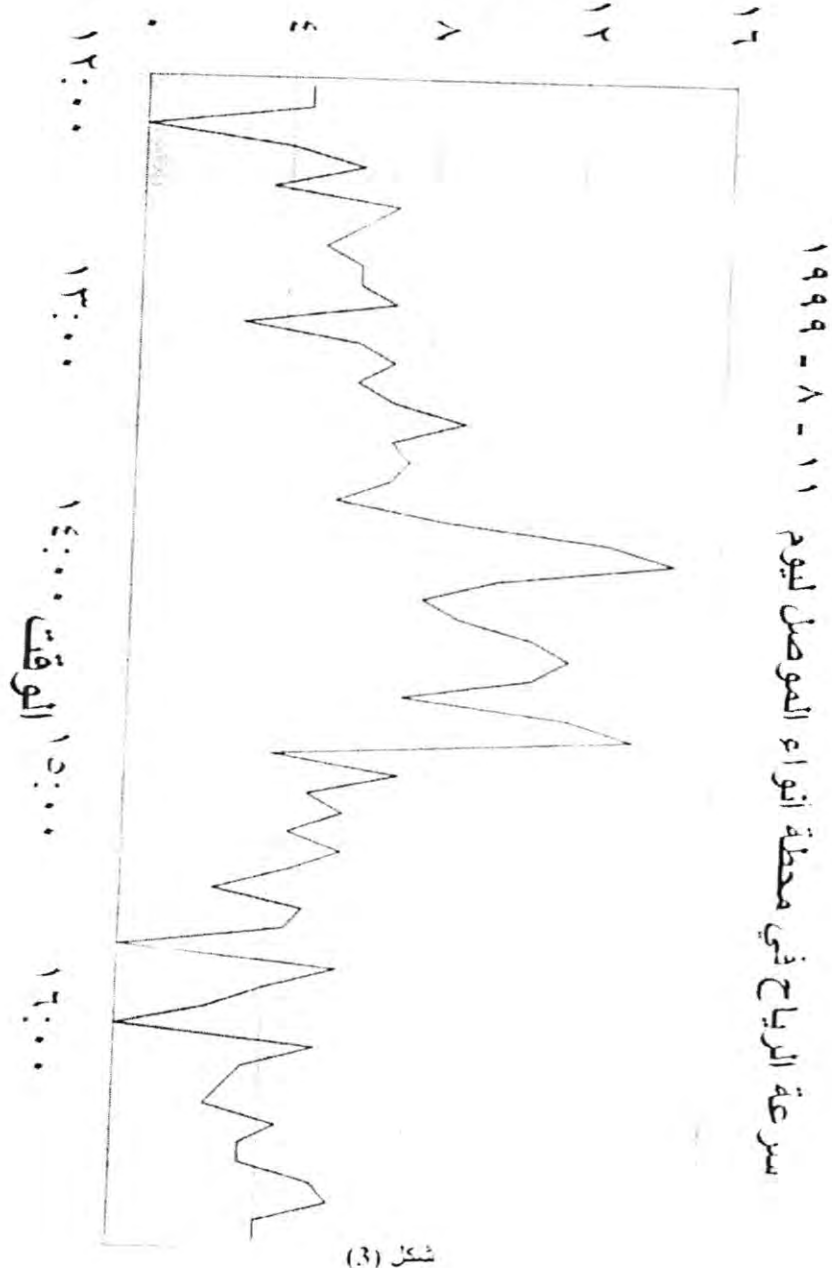


علي كريم كاظم

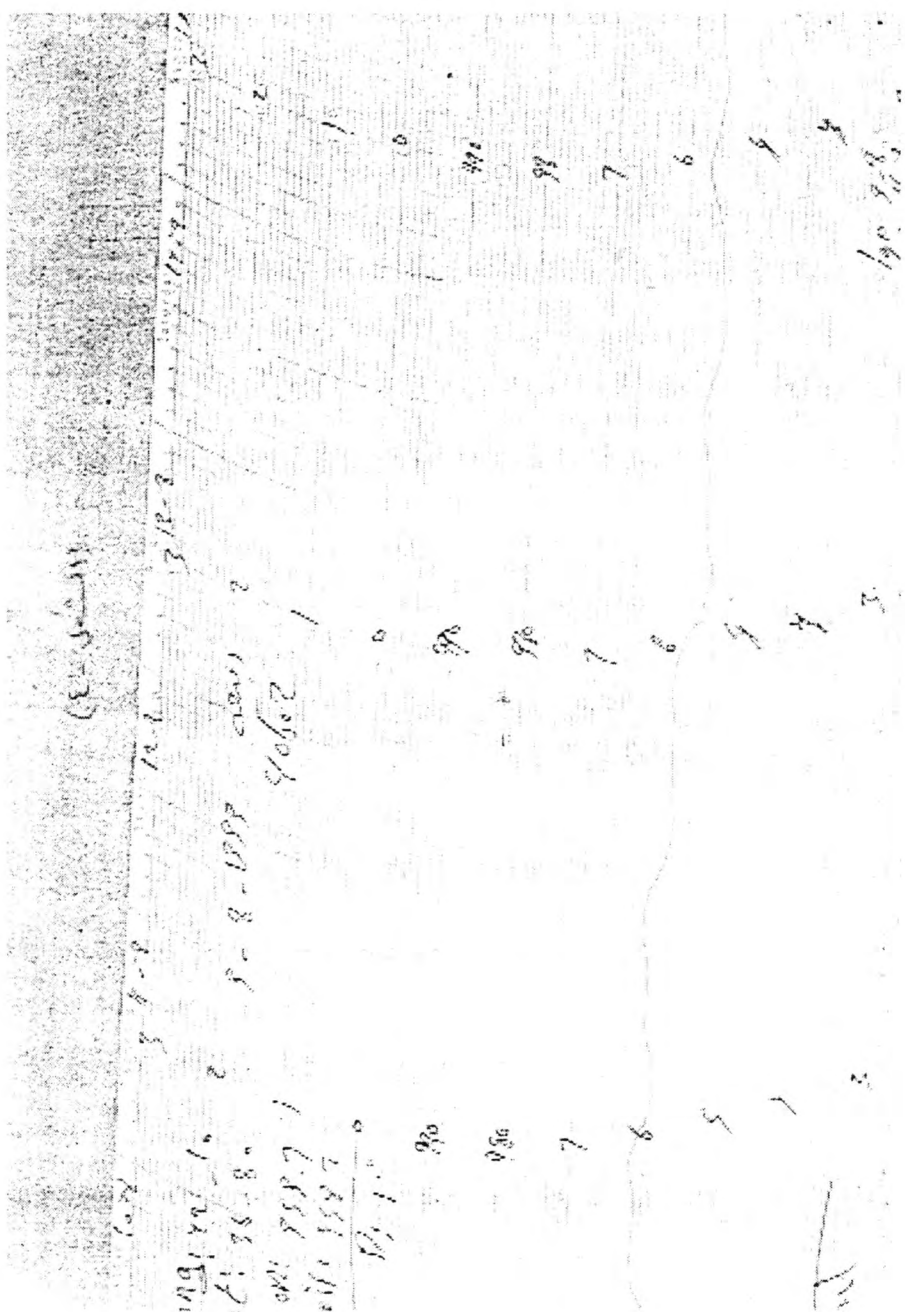
		1200 Z العدد المجرد						1200 Z الساعة								
		المسطة			النقط			الدرارة			النقط			الدرارة		
ال تاريخ	المرحلة	انجاه	سرعة	مدى	الراوية	الراوية	مدى	الراوية	سرعة	انجاه	الراوية	مدى	الراوية	سرعة	انجاه	
10/8	بغداد	46.5	1000.7	340	18	6	6	الجو	47.4	28.5	/	/	تغير درجات الحرارة المطردة الحرارة المطردة 24 ساعة	تغير درجات الحرارة المطردة 24 ساعة		
11/8	-	45.0	1001.7	330	20	10	10	الجو	46.8	26.2	-0.6	-2.3				
12/8	-	47.0	1001.1	320	18	10	10	غيار مساعد	/	/	/	/				
10/8	الموصل	43.0	1000.4	030	08	10	10	/	43.4	25.1	/	/				
11/8	-	40.4	1001.6	360	10	10	10	/	43.1	25.0	-0.3	-0.1				
12/8	-	44.4	999.6	030	10	10	10	/	44.6	24.0	1.5	-1.0				
10/8	البصرة	46.8	996.3	330	08	10	10	/	48.0	32.0	/	/				
11/8	-	45.5	998.3	330	16	10	10	/	46.0	30.6	-2.0	-1.4				
12/8	-	48.2	995.4	385	10	10	10	/	49.4	28.0	3.4	-2.6				

(بدول - ٨)

متر بالثانية



علي كريم كاظم



المصادر

- 1- د. فياض النجم و د. حميد مجول / فيزياء الجو و الفضاء -الجزء الثاني .
- 2- د. شاكر عبد العزيز عبد الله / مقابلة شخصية .
- 3- الهيئة العامة للانواء الجوية و الرصد الزلالي .
- 4- موجز محاضرات في الانواء الديناميكية / المرصد الملكي البريطاني . د

إنتاج مادة الفرفارال من البكاس

ساهرة حسان كريم ، هيثم ناجي احمد ، سامية خليل محمود
منظمة الطاقة الذرية / بغداد التوينة ، صربز 765

الخلاصة

قمنا في هذا البحث بتحضير مادة الفرفارال مختبرياً باستخدام منظومة زجاجية مغلقة وتم استخدام مخلفات معمل السكر من بقايا عصير سكر القصب (مادة البكاس BAGASSE) كمادة أولية لتحضير الفرفارال منها وذلك بمعاملتها بحامض الكبريتيك وملح الطعام وكان ناتج الفرفارال خلال ستة ساعات تحت هذه الظروف بحدود 6%. لقد وجدنا ان تركيز الحامض يلعب دوراً هاماً في حالة استعمال البكاس وان افضل تركيز له بحدود 14% بحيث يمكن التوصل الى افضل انتاج للفرفارال بنسبة وزنية (البكاس : ملح : حامض) = 0.5:2:1.

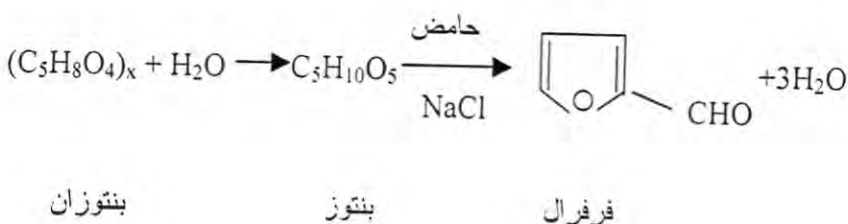
المقدمة

تستعمل مادة الفرفارال في القطر بشكل رئيسي لتصفية الزيوت المنتجة من النفط حيث تقدر حاجة القطر من هذه المادة سنوياً بـ 2500 طن. ولها استخدامات بايولوجية وصناعية اخرى مثل تحضير مواد قاتلة للحشرات ومبيدات فطرية ومعقمات⁽¹⁾. حيث ان هناك توجيهات من قبل الاختصاصين في الصناعة بانتاج هذه المادة كونها مادة مهمة لاستخلاص الزيون النفطية داخل مصافي النفط.

ان الفرفارال مادة كيميائية سائلة من الممكن الحصول عليها من المخلفات الزراعية المختلفة (قصب الانهار والسواغي، بردي السواغي، كوالح النزة وسعف النخيل، الكرب... الخ) ويشمل تركيبها الكيميائية على حلقة فيوران مرتبطة بالدھيم ورمزاها هو $C_5H_4O_2$. ومن صفاتها انها مادة عديمة اللون تقريباً مائلة الى الاصفار عندما تكون حديثة التحضير ويصبح لونها داكناً عند خزنها معرضة للهواء لتأكسدها. درجة الغليان $161^{\circ}C$ رائحة الفرفارال تشبه بعض الشيء رائحة الاستيالديبيايد وقابلة لامتصاص مع معظم المذيبات العضوية⁽²⁾.

سامرة حسان كريم وجماعتها

ان الاساس العلمي في انتاج مادة الفرفارال هو وجود البنتوزانات_x ($C_5H_8O_4_x$) في الطبيعة على شكل بولي سكريد (سكر مضاعف) وهي مواد تدخل في تركيب المواد البكتينية والاصماغ. البنتوزانات هي سكريات خماسية معقدة تعطي عند تحليلها المائي سكريات خماسية بسيطة (بنتوز) وهذه بدورها تتتحول الى الديهيد حلقي يدعى (الفرفارال) عند تسخينها مع الاحماض المخففة (كبريتيك، هيدروكلوريك) حيث تتفصل من كل جزئية بنتوز ثلاثة جزيئات ماء ويكون ملح الطعام (NaCl) كعامل مساعد للعملية الاخيرة⁽³⁾.



تعتبر كواح الذرة التي تحتوي على تركيز عالي للبنتوزانات كمصدر رئيسي في انتاج المادة⁽⁴⁾. حيث تزرع الذرة في القطر بكميات كبيرة، ولكن حاجة القطر لتوفير اعلاف للحيوانات جعلت مادة كواح الذرة من المواد المطلوبة لانتاج الاعلاف لذلك تهدف دراستنا هذه الى ايجاد بديل لهذه المادة من مخلفات قصب السكر (مادة البكاس) لكونها مادة متوفرة كناتج ثانوي لانتاج مادة السكر في ميسان.

المواد وطرق العمل

جميع المواد المستخدمة في تفيس المادة كانت بقاوة عالية اما المواد التي تم استخدامها لتحضير مادة الفرفارال فقد كانت محلية وتشمل على حامض الكبريتيك المحلي وملح الطعام، وقد تم استخدام مادة البكاس اليابسة من معمل السكر ميسان.

منظومة التفاعل المختبرية [4]

ت تكون منظومة التفاعل الخاصة بتحضير مادة الفرفارال ودراسته من دوق زجاجي بحجم 5 لتر موضع داخل مسخن حراري نسيجي ومرتبط بعمود زجاجي معزول حرارياً على شكل

حرف L في نهايته مكثف حراري وقمع فصل ذو فتحتان، عليا جانبية ، تتصل بابنوب مطاطي يذهب الى دورق مملوء بالماء (حيث يعمل هذا كضمام امان عند زيادة ضغط المنظومة) والفتحة السفلی الجانبية والتي تكون مخصصة لاعادة الماء الزائد الى دورق البيضم عن طريق ابنوب بلاستيكي يبدأ العمل في هذه المنظومة بعد شحنها بكمية من البكالس وحامض الكبريتيك وللح الطعام باحجام وكميات محددة. بعدها يتم رفع درجة الحرارة الى 104°C حيث تدفع ابخرة الماء المحملة بمادة الفرفار الناتج بعملية ايزوتربوبيبة، ويتم تكتيفها ونزولها في قمع الفصل الذي يعزل طبقة زيتية سفلی من مادة الفرفار كطبقة سفلی والماء كطبقة عليا، (كون كثافة الفرفار اعلى من كثافة الماء). ان استمرار عمل المنظومة سيؤدي الى فصل كميات متزايدة من الفرفار وتجميعها اسفل قمع الفصل، بعدها يتم سحبها وحساب كميته، اما الماء الزائد من الطبقة العليا فيعود من فتحة جانبية الى دورق البيضم.

النتائج

قمنا في بحثنا هذا بتبسيط افضل الظروف لانتاج مادة الفرفار من مادة البكالس معتمدين على تحديد تركيز حامض الكبريتيك المثالي كمرحلة اولى ومن ثم تحديد افضل تركيز للملح كمرحلة ثانية.

التركيز المثالي للحامض

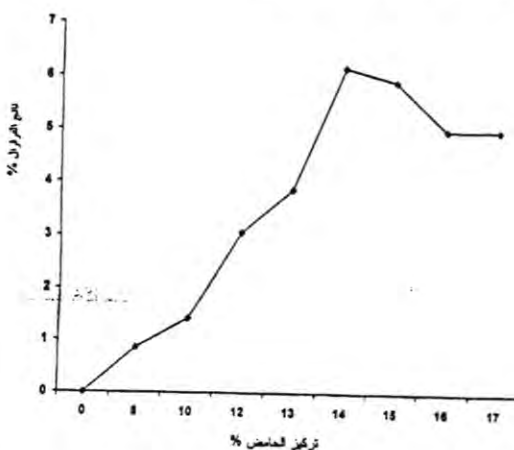
لقد تم دراسة التغير في تركيز الحامض مع استعمال تركيز ثابت من ملح الطعام، وعملياً فقد قمنا بتبسيط كمية الملح المستعملة في تجاربنا على اساس 500 غم. اما الحامض فقد تمت دراسته وبصورة مفصلة بعد تغيير تركيزه من 8% وزناً الى 18% وزناً. وبين الجدول (1) علاقة تركيز الحامض مع بداية تكوين الفرفار والزمن لانتهاء التفاعل بالإضافة الى ناتج التفاعل من الفرفار حيث بين الجدول تفاعلاً لـ 400 غم من البكالس مع 500 غم من الملح بتغيير تركيز الحامض.

سامرة حسان كريم وجماعتها

جدول رقم (1) دراسة علاقة تركيز الحامض مع ناتج الفرفارال عند استعمال البكاس كمادة اولية في التفاعل من دراسة هذا الجدول يتوضح لنا ان افضل تركيز للحامض لانتج الفرفارال بحدود 14% حيث كان الناتج 6.17%

ناتج (%)	زمن التفاعل (ساعة)	بداية تكوين الفرفارال (ساعة)	تركيز الحامض (%)
0.86	8	2	8
1.42	4	2	10
3.05	7	1	12
3.87	5	1	13
6.17	6	1	14
5.92	6	1	15
5.00	5	1	16
5.00	4	1	17
5.00	4	1	18

ويمكن توضيح التغيرات بصورة افضل في الشكل البياني رقم (2) والذي يمثل العلاقة بين تركيز حامض الكبريتيك بالناتج، وهذا تتوضح بصورة جلية وجود قيمة عليا لانتج مادة الفرفارال عندما يكون الحامض بحدود 14% وبعدها تبدأ قيمة كمية الفرفارال بالهبوط التدريجي بسبب تكوين مركبات ثانوية غير مرغوب بها ضمن عملنا الحالي.



شكل رقم (2) تأثير حامض الكبريتيك على ناتج مادة الفرفارال

وكلية لهذه التجارب يتوجب علينا العمل لمعرفة تركيز الملح المثالي بقصد زيادة الناتج من مادة الفرفراł ضمن المنظومة المقترنة.

التركيز المثالي للملح

بعد ان تم دراسة تأثير الحامض على انتاج مادة الفرفراł بدأنا العمل على دراسة تأثير التركيز المثالي للملح في التركيز (14% حامض الكبريتيك) وقد تمت الدراسة بتغير كمية الملح من 300-1000 غم والجدول (3) يبين العلاقة بين تركيز ملح الطعام مع بداية تكوين الفرفراł والزمن اللازم لانهاء التفاعل بالإضافة الى نسبة الناتج النهائي للفرفراł.

ان انتاج مادة الفرفراł في هذه المنطقة (جدول 3) يكون في أعلى مستوى عند استعمال 800 غم من الملح وخلال 6 ساعات من التفاعل أي حينما تكون النسبة الوزنية للمواد الأولية الداخلة (بكاس : ملح : حامض) = (0.5:2:1).

جدول رقم (3) يبين علاقة تغير ملح الطعام مع انتاج مادة الفرفراł في التركيز (14% حامض الكبريتيك و 400 غم من مادة البكاس)

نسبة الناتج المئوية %	زمن التفاعل (ساعة)	بداية تكوين الفرفراł (ساعة)	كمية الملح
1.47	7	1.45	300
1.93	4	1.15	400
3.60	7	1.30	500
3.945	6	1.15	600
5.545	6	1.30	700
6.35	6	0.45	800
5.86	4	0.45	900
5.94	4	0.45	1000

ان النتائج التي يبيّنها الجدول رقم (3) توضح ما يلي :

1. ان افضل ناتج لمادة الفرفراł الناتجة من البكاس هي بحدود 6.35% وتم باستعمال 800 غم من ملح الطعام.
2. ان دراسة العلاقة بين تركيز الملح وانتاج الفرفراł في المنحنى البياني (شكل 4) توضح بصورة جلية التأثير التعجيلى لملح الطعام في هذا التفاعل والذي يبيّن في الى ان حالة

ساهره حسان كريم وجماعتها

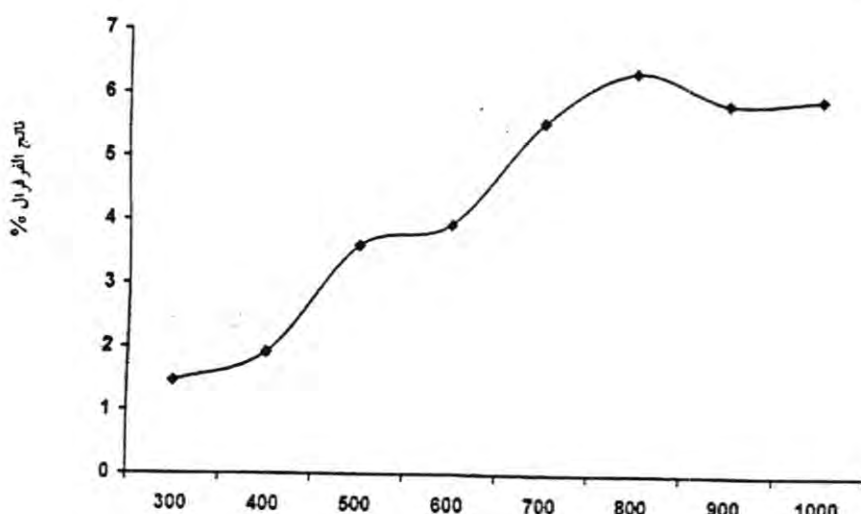
استقرار التفاعل (Steady State) يكون بحدود (800-600) غم في التركيز 14% حامض كما ان وجود تركيز اولي عالي من الملح ضروري لحدوث التفاعل (اكثر من 200 غم). وتعزى هذه الظاهرة المعروفة جيداً في الدراسات التعجيلية الى ثرموديناميكية التفاعل بين البنزوزانات وحامض الكبريتيك بوجود عامل مساعد للملح⁽⁵⁾.

3. عليه فاننا نفضل بان يكون العمل في منظومة انتاج الفرفارل عند استعمال البكاس باستعمال

التركيز الآتية :

- 400 غم من البكاس.
- 14% من حامض الكبريتيك.
- 900-800 غم من ملح الطعام.

ويستمر العمل في هذا التفاعل لفترة 6 ساعات. ان هذه النسبة المقترنة تقتصر في المواد الاولية كما لا تشجع على اتمام التفاعل الثانوي اللاعضوي الغير مرغوب به. (تفاعل الملح مع حامض الكبريتيك).



شكل رقم (4) تأثير كمية الملح على ناتج الفرفارل بثبوت نسبة الحامض (غم)

4. في الختام لابد من الاشارة الى وجوب تقطير الفرفار الناتج للحصول على نقاوة عالية (درجة الغليان 161°C) وتم فحص الناتج بجهاز طيف الاشعة تحت الحمراء ومطابقته مع مادة قياسية.

المناقشة

من الواضح ان مخلفات معمل السكر من مادة البكاس لا تسرك نفس السلوك الوارد في كوالح الذرة والتي تتطلب بتركيز حامض 10% بينما كان افضل تركيز للحامض عند تحويل البكاس هو 14% كما ان كوالح الذرة يمكن ان تعطي ناتج يصل حتى 9% بينما نقل الكمية الى حدود ادنى (6%) عند استعمال البكاس⁽⁴⁾.

ان هذه النتيجة مهمة كون نواتج الذرة مادة علفية بينما مادة البكاس ليس كذلك مما يشجع على استغلال هذه المادة كمادة بديلة عن كوالح الذرة في حالة عدم توفرها⁽⁶⁾.

ان ميكانيكية هضم البكتيرياات مهما كان مصدرها هي ميكانيكية واحدة حيث وجدنا في عمل سابق على ان ملح الطعام مادة معجلة لكوالح الذرة ايضا ولكن بتركيز حامضية اقل⁽⁴⁾. كذلك فان تركيز 200 غ من الملح للبدء بتفاعل انتاج الفرفار هو حالة عامة في جميع هذه التفاعلات الا اننا لا نستطيع وضع خليط من البكاس والكوالح بقصد انتاج الفرفار وذلك لكون الكوالح تعطي افضل انتاج لها من المادة عند استخدام 10% من حامض الكبريتيك بينما يعطي البكاس هذه نتيجة عند تركيز اعلى للحامض 14%⁽⁵⁾ وخلال فترات زمنية.

الاستنتاج

نستطيع من خلال هذه الدراسة اثبات امكانية انتاج مادة الفرفار المهمة في الصناعة النفطية وعزلها مباشرة ضمن منظومة مختبرية مغلقة يمكن تطويرها الى حد الامكانيات الصناعية حيث يدخل الملح كعامل مساعد بدلاً عن استخدام ظروف تصنيعية مشددة (حرارة وضغط بخاري عالي) لتحضير هذه المادة.

ان افضل ظروف ومن خلال الدراسة الحرارية لهذا التفاعل هي استخدام 800 غ من ملح الطعام لكل 400 غ من البكاس وبوجود 14% من حامض الكبريتيك.

ساهره حسان كريم وجماعتها

ان هذه الدراسة تقود الى وضع مفاهيم رياضية لدراسة تحضير الفرففال وصولاً الى
فهم اوضح لميكانيكية هذا التفاعل والى وضع خط عام لتفاعل تحويل البنزوزانات الى مادة
الفرفال.

المصادر

1. الحمداني، محمد والنعيمي، هيثم "مجلة البحوث الزراعية" 164,4 (1999).
2. D>H. Charles and L.L.Isenhour, J. "Am. Chem. Soc." 54, 317, (1932).
3. M.S.Feather, D.W.Harrid and S.B. Nissouri, J."org. chem" 37, 1906, (1972).
4. H.N. Ahmed "Production of furfural" I.A.E. C report, chem. Dep. (1993).
5. B.Stevens in "Chemical Kinetic" 2nd ed. MC. Grow-Hill, Inc., N.Y. (1965).
6. نرجس هادي منصور "دراسة حرکية لانتاج مادة الفرففال من كوالح الذرة وتأثيرها على
اصناف مختارة من البكتيريا" اطروحة ماجستير - جامعة بغداد" (2000).

تأثير العناصر الجوية في التصحر

محمد حسن كاظم ، فارس نوري
الهيئة العامة للأنواء الجوية ، 2001

الخلاصة

كثيرا هي البحوث والدراسات التطبيقية التي اجريت عالمياً او محلياً لمعرفة الاسباب الحقيقة لزيادة ظاهرة التصحر لكون هذه الظاهرة عالمية قبل ان تكون محلية وان هذه الظاهرة تستحق الدراسة والبحث العلمي لايجاد الحلول المناسبة للحد من تزايدتها كونها تهدد مستقبل الانسان الغذائي والتنموي، والبحوث التي اجريت تهتم بالظروف الطبيعية والمتاخية وفعاليات الانسان في استخدام الغير مبرمج للتربية والموارد الطبيعية. في هذا البحث ادخلنا العناصر الجوية وتأثيراتها على هذه الظاهرة، ان دوائر الانواء الجوية تعنى بأصل جميع الظواهر الجوية والمناخية والسطحية للعراق ونتائجها وتأثيرها خلل الرصد السطحي للمحطات الانوائية العراقية والتبؤ والتحليل للحالات الجوية. لقد تم الاستفادة في دراستنا المتواضعة هذه من المعلومات والبيانات المتوفرة في اقسام الهيئة العامة للأنواء الجوية العراقية وفترات زمنية طويلة تجلوزت الخمسة عشر عاما للعناصر الجوية التي تؤثر وبشكل مباشر وغير مباشر على تكوين ظاهرة التصحر في العراق ومنها الضغط الجوي، الأمطار، العواصف الترابية، درجات الحرارة، الرطوبة، سرعة الرياح واتجاهها... الخ. وان هذه القيم والمعلومات الانوائية اخذت من دوائر انوائية منتخبة للرصد السطحي تتلاءم مع طبيعة الدراسة وان ظروفها البيئية المتعددة والمتقلبة تجعلنا نعتبرها مثالية في دراسة ظاهرة التصحر، وان تحديد المسببات الخفية لظاهرة التصحر ومرقبتها ورصد مسبباتها الانوائية له دور هام وبارز في تقويض ظاهرة التصحر او الحد من زحفها المتواصل وعلى الاقل في مناطق تواجدها.

المقدمة

اصطلاح التصحر ظهر حديثاً نسبياً وبالتحديد في اواخر اربعينيات القرن وشاع استعماله بشكل مكثف في اواخر السبعينيات والتصحر ظاهرة جغرافية عامة ولاشتمل منطقة

محمد حسن كاظم و فارس نوري

محددة او معينة من العالم بل تتوارد في احياء مختلفة وعديدة وهي ذات اهمية كبيرة تستحق الدراسة من قبل الباحثين لايجاد الحلول الملائمة وال مباشرة في حلولها وعلى المدى البعيد وذلك كونها تهدد مستقبل الانسان الغذائي اولاً وتعمل على افشل او تأخير الكثير من المشاريع التنموية الكبيرة وفي العديد من بلدان العالم وخاصة النامية فيها كونها تدخل ضمن سلسلة المشاكل التي تعاني منها هذه البلدان والتي تستخدم تكنولوجيا متواضعة انجاز مشاريعها الزراعية.

قبل البدء باعطاء تعريف كامل لهذه الظاهرة لابد من الاشارة ان بعض العلاقات

المداخلة التي تعين على فهم الظاهرة.

كنا نعرف انه هنالك توازن طبيعي في شكل وكثافة الغطاء النباتي وطبيعة المناخ السائد في كل منطقة وكذلك تواجد الحيوانات البرية المعتمدة للنباتات، وحيوانات اخرى التي تعتمد في غذائها على النبات الطبيعي، وان أي إخلال في هذا التوازن سوف يظهر جديد يؤدي الى حدوث اللاتوازن اصلاً وربما يدخل الانسان كعامل اخر في هذا التأثير على هذا التوازن واستخدامه العشوائي لموارد البيئة الطبيعية، كازالة الغابات او فتح طريق جديد او تغير مجرى نهر، ان كل هذه العوامل السابقة الذكر تتضم الى عوامل اخرى ذات اهمية بالغة الا وهي تأثير العناصر الجوية :- الحرارة، كمية الامطار الساقطة، مقدار التبخر، التملح، اتجاه الرياح السائدة وشدتها والضغط الجوي .. الخ تعتبر من العوامل المؤثرة في التصحر.

اذن فالتصحر ظاهرة شاملة تغطي مساحة واسعة من العالم واصبحت مشكلة محلية واقليمية واعطائها اهمية خاصة في توزيع وتعين اماكن تواجدها ومتابعاتها وايجاد الحلول الكفيلة لمعالجتها، واد ما لاحظنا الارقام الكبيرة الخاصة بالتصحر نقدر حجم خطورة هذه الظاهرة، فنهاك (5) ملايين هكتار من الاراضي الزراعية تفقد سنوياً بسبب التصحر (3) ملايين هكتار من المراعي الطبيعية، ويقدر الفقدان 1.073.000 مليون هكتار من الاراضي الزراعية والرعوية 27.000.000 مليون هكتار من الاراضي الزراعية المروية.

تعريف ظاهرى التصحر (الزحف الصحراوى)

يقصد بالتصحر تدنى او تدهور انتاجية المناطق الجافة ولاسيما التي تعتمد على الري بسبب ارتفاع نسبة الملوحة في المناطق الجافة وشبه الجافة وشبه الرطبة لقلة الامطار او بسبب استغلال الانسان الغير عقلاني لموارد البيئة الطبيعية وعليه يمكن دراسة هذه الظاهرة في العراق

على ضوء اعتبارات عديدة يدخل التعريف اعلاه احدى اسبابا.... وعلى اضافة سبب اخر ذو اهمية بالغة في الظاهرة وهو تأثير العناصر الجوية في التصحر.

مفهوم التصحر

يمكن اجمال مفهوم ظاهرة التصحر في النقاط التالية

1. ظاهرة التناقص في انتاجية النباتات في المناطق الجافة وشبه الجافة من العالم.
2. عملية دفع وزحمة لاستخدامات الارض الزراعية والرعوية والغابية خلف حدودها الآمنة (Safe Boundaries).
3. تدهور او نقص في انتاج الارض الذي يعود ظروف تثبيت الصحراء وقلة النبات الطبيعي في المراعي ، وظهور الاملاح في الاراضي المروية وتدهور في نسيج التربة.
4. ظاهرة التصحر هي تحول الارض الزراعية والمراعي الطبيعية في المناطق شبه الجافة الى صحراء غير منتجة بسبب تأثير العناصر الجوية كعوامل مؤثرة في ظاهرة التصحر.

ان التعريفات السابقة تلتقي عند نقطة واحدة هي ان التصحر عملية تدهور البيئة ولا سيما في نسيج التربة وكذلك في الموارد المائية والنبات الطبيعي مما يؤدي الى قلة الانتاجية.

تأثير العناصر الجوية في التصحر

تعتبر العناصر الجوية من اهم العناصر المؤثرة في التصحر واحدى الاسباب التي تؤدي الى توسيعها وتشمل هذه العناصر :- الحرارة، الامطار، الرياح، التبخّر، الضغط الجوي.

اولاً درجة الحرارة (Temperature)

يتميّز جو ومناخ العراق على العموم بارتفاع واضح في معدلات درجات الحرارة في شهر الصيف والسبب يعود الى :-

1. خلو السماء من الغيوم وصفائها من السحب في هذه الاشهر مما يساعد الاشعاع الشمسي الوصول الى سطح الارض دون خسائر في شدته بالإضافة الى ذلك سقوط اشعة الشمس خلال هذه الاشهر في معظم الاراضي العراقية بصورة عمودية تقريباً، ويكون توزيع الاشعاع الشمسي متتساوياً.

محمد حسن كاظم و فارس نوري

2. طول فترة ساعات النهار في هذه الاشهر حيث يصل طول ساعات النهار في الجنوب الى 14 ساعة و 4 دقائق، وتذوم هذه الفترة اكثراً في الشمال بنحو 24 دقيقة وهذا يجعل المناطق الشمالية تكتسب الحرارة اطول من الجنوب.
3. سيادة الكتل الهوائية المدارية على القطر في هذا الفصل التي تعمل على رفع درجات الحرارة ومنها مدار السرطان والجدي.
4. يتأثر القطر بالانخفاض الجوى الهندى الموسمى وانخفاض اخر مصدره الجزيرة العربية والخليج العربى في اشهر الصيف ويسود خلال هذين المنخفضين الجويين رياح شمالية غربية جافة تؤدى الى رفع درجات الحرارة في جميع انحاء القطر.

عند ملاحظة المنحنيات في منطقة بييجي والناصرية موضوع الدراسة والبحث، حيث تتميز اشهر حزيران وتموز وأب ليس فقط بدرجات الحرارة فحسب وإنما تزداد فيها الظواهر الجوية والمناخية التالية :-

1. توقف سقوط الامطار في هذه الاشهر.
2. ازدياد ظاهرة الجفاف مما يجعل التربة في قمة جفافها وتعرضها للتعرية والانجراف والاثارة.
3. ازدياد معدلات الغبار باشكاله الثلاثة (غبار عالق، هاب، عواصف ترابية او رملية).
4. ازدياد معدلات التبخر في هذه الاشهر والمنحنى المرفق يوضح ذلك.
5. نقصان في معدلات الرطوبة والمنحنى المرفق يوضح ذلك.
6. هنالك ارتفاع واضح في درجات الحرارة في بعض ايام هذه الاشهر تجاوز البعض منها 50 درجة مئوية.
7. ان ارتفاع درجات الحرارة في هذه الاشهر يؤدى الى ارتفاع درجة حرارة اعمق التربة ارتفاعاً ملحوظاً كما مبين في الشكل ادناه، والسبب يعود الى ملامسة سطح التربة ذات الهواء الساخن، وان اختلاف نسبة التربة له علاقة في اختلاف درجات الحرارة في اعمق التربة، وكلما كانت التربة خشنة تسمح بتوغل الهواء بين جزيئاتها بينما التربة الرملية او الناعمة لا ينفذ الهواء بين جزيئاتها وبالتالي يؤدى الى انتشارها واثارتها من قبل الرياح بسهولة والتي تتقلبا من منطقة الى اخرى.

ادناه جدول معدلات درجات الحرارة لأشهر الصيف لبعض مناطق العراق :

المنطقة	معدل حزيران	معدل تموز	معدل اب	السنة
الموصل	30.7	34	33.2	1980-1940
بيجي	31.8	35.2	33.4	1980-1940
بغداد	32.7	34.7	34.1	1980-1940
بصرة	32.9	34.3	33.9	1980-1940
الناصرية	33.4	35.1	35	1980-1940

ملاحظة : من الجدول اعلاه لا يوجد تباين كبير بين معدلات درجات الحرارة بالمناطق الشمالية والجنوبية والوسطى في العراق .

الامطار وتبذيبها (Rainfall Variability)

تشكل الامطار في كمياتها الساقطة وتاثيراتها عاملاً مهماً جداً على التصحر من خلال تأثيراتها في مناخ العراق بصورة عامة والمنطقة التي تكثر فيها ظاهرة التصحر بصورة خاصة وبالشكل الآتي :-

1. يشكل المطر والحرارة عنصران اساسيان من العناصر الجوية اللذان يؤثران على الاتساع الزراعي في منطقة معينة، وقد اعتمد في هذا المجال حدود او كميات هطول الامطار اساساً لمعرفة المناطق الجافة والمتصرحة.
2. التفاوت الكبير في سقوط الامطار بين مناطق العراق ابتداءً من المنطقة الشمالية من جهة والمنطقة الوسطى والجنوبية من جهة اخرى وكالاتي :-
 - أ. معدل ما يسقط في شهر ك 2 في منطقة زاخو 146.5 ملم من المجموع السنوي للامطار.
 - ب. معدل ما يسقط في شهر ك 2 في منطقة البصرة 140.4 ملم من المجموع السنوي للأمطار.
 - ج. معدل ما يسقط في شهر ك 2 في منطقة الرطبة 114 ملم من المجموع السنوي للامطار.
 - د. مجموع الامطار الساقطة لمنطقة خانقين السنوية 314.2 ملم.

محمد حسن كاظم و فارس نوري

3. هنالك تفاوت في هطول الامطار بين منطقتي بيجي والناصرية والسبب يعود الى عدم الاستقرارية في كميات الهطول في معدل ثابت من سنة الى اخرى وكذلك هنالك تفاوت في الرطوبة النسبية ولكنه بسيط وفقاً لاختلافات البسيطة في معدلات درجات الحرارة.

4. لو دققنا في المنحني الخاص بامطار بيجي (1965-1985) على سبيل التحليل نلاحظ الآتي :-

أ. موسم الامطار محصور بين شهر كانون الاول الى اواسط مايس ومن شرين الاول الى شهر كانون الاول.

ب. وضوح اشهر الصيف الثلاثة التي يسود فيها الجفاف.

ج. ان النسبة المئوية لكميات الامطار الساقطة لشهر السنة هي كانون الثاني 42%， شباط 3%， اذار 26%， نisan 19%， مايس 3% (حزيران + تموز + اب + ايلول) صفر، تشرين الاول 5%， تشرين الثاني 4% كانون الاول 6%.

5. ان علاقة الامطار الساقطة مع عدد تكرارات العوائق الترابية علاقة عكسية فهي تقلل من ظاهرة الغبار في العراق بصورة عامة وفي منطقة الدراسة بصورة خاصة بل تؤثر كميات الامطار الساقطة ايضاً على ظاهرة الجفاف والتتصحر لانها تزيد من قوة تماسك جزيئات التربة المختلفة التركيب والنسيج بين سطح التربة واعماقها وبالتالي يقلل من اثارتها امام سرع الرياح الهابه، وكذلك تعمل على زيادة الغطاء النباتي في المنطقة الزراعية مما يقلل من ظاهرة التتصحر او الحد من زحفها اما، في المسطحات المائية ذات المنسوب المائي القليل خاصة فان الامطار الساقطة على هذه المسطحات تؤدي الى :-

- زيادة الثروة الحيوانية والاحيائية.

- تقلل من خطر الجفاف والتباخر فيها.

- تقلل من خطر الملوحة والتعرية.

- تقلل من خطر التلوث البيئي بصورة عامة وخصوصاً البيئية المائية.

اما التذبذب في كمية الامطار فيمكن حساب وتحديد معامل التذبذب من المعادلة التالية :-

$$\text{معامل التذبذب} = \frac{\text{الانحراف المعياري (ع)}}{\text{معدل كمية المطر السنوي (س)}} \times 100 \quad (1).....$$

$$\text{ع} = \frac{\text{مج} (\text{س} - \text{س}^*)^2}{\text{n}}$$

(2)

س^* = معدل كمية الامطار (المعدل الحسابي) ، مج = المجموع ، n = عدد السنوات. وان المقدار الكمي لمعامل التذبذب هو المعيار او المقاييس لتحديد الجفاف والتتصحر في المناطق الجافة وشبه الجافة. وقد تم تعين مقدار معامل التذبذب في الامطار في منطقة بييجي وفقاً للبيانات والاحصاءات في المنحني المرفق، وكانت قيمته 22.6%.

Wind الرياح

تهب رياح على العراق سائنة على طول سائنة وملازمة لجوه ومناخه هي الرياح الشمالية الغربية واخرى رياح جنوبية شرقية، وتكون هذه الرياح السائنة ذات معدلات سرع واطنة يبلغ معدل سرعتها 3-2 م/ث، لكن هنالك تهب رياح على العراق ذات سرع قوية وشديدة في فصل الربيع نتيجة لتاثير جو ومناخ العراق لمنظومة ضغطية واطنة هو المنخفض الجوي السوداني وتصاحب هذا المنخفض رياح تسمى رياح الخمسين، وتنشا عنها رياح شمالية غربية تتأثر كل من بييجي والناصرية بهذه المنظومة. ان للرياح تأثيراً واضحاً على ظاهرة التتصحر وبالشكل الآتي :-

1. تأثير الرياح لا يكون مستقراً او ثابتاً بل يختلف هذا التأثير باختلاف السطوح وعملية الاحتكاك مع سطح الارض وكذلك بين الليل والنهار، فقد تصل سرعة الرياح السطحية الى نهايتها العظمى في فترة الظهيرة نتيجة لانتقال المقدار الاعظم لحركة الهواء الموجودة في المستويات العليا الى المستويات السطحية عن طريق تيارات الحمل، وعندما تنخفض درجة الحرارة باتجاه فترة الليل فان تيارات الحمل تبدأ بالتناقص ومن ثم تتناقص سرعة الرياح باستمرار حتى تصل نهايتها الصغرى قبل الفجر او تصل الى حالة السكون.
2. ان سرعة الرياح تختلف باختلاف السطح الذي تمر عليه، اذ تزداد سرعتها في المناطق المفتوحة (المكشوفة) ونقل في المناطق الاخرى، وان بييجي والناصرية لا يوجد حولها أي عائق طبيعي او مانع يقلل من سرعة الرياح في تلك المناطق.

3. ان معدل السرعة لمنطقتي بيحيى والناصرية كما موضحة ادناه حيث يتوضح المعدلات الشهرية والسنوية لسرعة الرياح م/ثا (1985-2000).

محطة	م 2	شباط	اذار	نيسان	يار	حزيران	تموز	آب	ابنؤز	ست	كان	المعدل السنوي
ناصرية	3.4	4.1	4.6	4.7	5.1	6.2	7.8	5.5	4.4	3.6	3.1	3.1
بيحيى	1.3	1.9	2.2	2.4	2.6	3.2	3.6	3.0	2.0	1.5	1.3	1.4

فإن المعدل السنوي لسرعة الرياح في بيحيى = 2.2 م/ثا، وفي الناصرية فالمعدل السنوي = 4.6 م/ثا، غير أن هذه المعدلات في سرعة الرياح كما في الجدول أعلاه تزداد في الفصل الحراري (حزيران، تموز، آب) وهذا لا يعني عدم حصول سرع رياح عالية في بعض الأحيان وفقاً لظروف مناخية وجوية مناسبة.

4. تسهم الرياح بصورة فاعلة في زيادة ظاهرة التصحر وبلغ هذا التأثير أشدّه في فصل الصيف حيث تكون الرياح سريعة حرارة وجافة أبداً وتؤدي إلى :-

- زيادة معدل التبخر.
- جفاف التربة.
- جفاف التربة.
- ازدياد ظاهرة الغبار بأشكاله الثلاثة (غبار هاب، غبار عالق، عواصف ترابية ورمادية).
- ازاحة طبقة الهواء السطحية الرطبة المفيدة للتربة وتحل محلها طبقة هواء أكثر جفافاً.
- تراكم الأملاح على السطح لقلة الرطوبة.
- زيادة التعرية وزيادة حركة الكثبان الرملية.
- ذبول المحاصيل الزراعية.

Evaporation التبخر

تعتبر البحار والمحيطات المصدر الرئيسي لتزويد اليابسة بالمياه بالإضافة إلى مصدر آخر هو مقدار ما يتبخر من التربة وكذلك من الجداول والأنهار، وتكون عملية التبخر في المناطق الجافة والحرارة في حالتها القصوى بينما تكون أقل بكثير في المناطق الرطبة والباردة. ويعتمد مقدار أو كمية التبخر على طبيعة المناخ السائد، كمية الإشعاع الشمسي، درجة الحرارة، الرطوبة، الرياح ... الخ، بالإضافة إلى عوامل أخرى منها طبيعة المياه ونوعها وحجم وشكل المسطحات المائية وحجمها كذلك طبيعة التربة وتركيبها الفيزياوي والكيمياوية وكمية ما تحتويه من الرطوبة بالإضافة إلى ذلك فإن نسيج التربة له تأثير مهم في التبخر. إن العوامل او المؤثرات السابقة مهمة في عملية التبخر ولكن لا يمكن تجاهل الأمطار وكمياتها حيث يمكن اعتبار كمية الأمطار الساقطة في مواسم سقوط ثابتة ومسقرة عاملًا مهمًا في التبخر، إن كمية التبخر تتناسب طردياً مع سرعة الرياح ودرجة الحرارة وعكسياً مع الرطوبة النسبية والمنحنى المرفق يوضح ذلك. إن ارتفاع كمية التبخر في منطقة بعد أحد المؤشرات التي يستدل منها معرفة مدى العجز المائي الذي تعاني منه المنطقة وكلما زاد العجز المائي اشتد جفافها وانعدمت الزراعة والرعى وقل فيها الغطاء النباتي والعشب الطبيعي ونشطت عوامل التعرية الهوانية، وكل هذه النتائج تؤدي إلى تدهور البيئة وتؤدي إلى ظهور عملية التصحر.

pressure الضغط الجوي

يتاثر جو ومناخ العراق في فصل الشتاء بمرتفع جوي يتمركز في المناطق الشمالية والشمالية الشرقية من القطر ويمتد تأثيره في بعض الأحيان إلى المناطق الوسطى والجنوبية منه، وان مصدر هذا المرتفع الضغطي هو اواسط سيبيريا وينتقل تأثيره إلى منطقة الشرق الأوسط. لو لا لاحظنا قيم الضغوط في الجدول أدناه لمنطقتي بييجي والناصرية (معدل شهري)، نلاحظ مدى الارتفاعات في أقىام الضغوط الجوية (مليبار) مدى الارتفاع في أشهر الشتاء عنها في أشهر الصيف.

የመጀመሪያ ተስተካክለ የደንብ ንብረት የተከተል ስራ እና ገዢ አንቀጽ ነው ነው እና ይህንን የሚያሳይ የሚከተሉ ቀን ተስተካክለ የሚከተሉ መሆኑን እና ተስተካክለ የሚከተሉ መሆኑን አንቀጽ ነው ነው እና ይህንን የሚያሳይ የሚከተሉ ቀን ተስተካክለ የሚከተሉ መሆኑን እና ተስተካክለ የሚከተሉ መሆኑን አንቀጽ ነው ነው

የመጀመሪያ ተስተካክለ የሚከተሉ መሆኑን እና ተስተካክለ የሚከተሉ መሆኑን አንቀጽ

የመጀመሪያ ተስተካክለ የሚከተሉ መሆኑን እና ተስተካክለ የሚከተሉ መሆኑን አንቀጽ
የመጀመሪያ ተስተካክለ የሚከተሉ መሆኑን እና ተስተካክለ የሚከተሉ መሆኑን አንቀጽ

የመጀመሪያ ተስተካክለ የሚከተሉ መሆኑን እና ተስተካክለ የሚከተሉ መሆኑን አንቀጽ
የመጀመሪያ ተስተካክለ የሚከተሉ መሆኑን እና ተስተካክለ የሚከተሉ መሆኑን አንቀጽ
የመጀመሪያ ተስተካክለ የሚከተሉ መሆኑን እና ተስተካክለ የሚከተሉ መሆኑን አንቀጽ
የመጀመሪያ ተስተካክለ የሚከተሉ መሆኑን እና ተስተካክለ የሚከተሉ መሆኑን አንቀጽ

የመጀመሪያ ተስተካክለ የሚከተሉ መሆኑን እና ተስተካክለ የሚከተሉ መሆኑን አንቀጽ

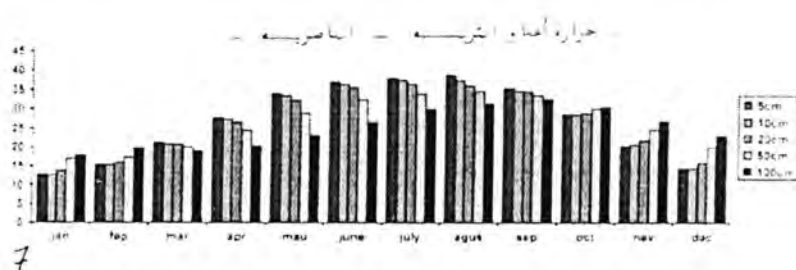
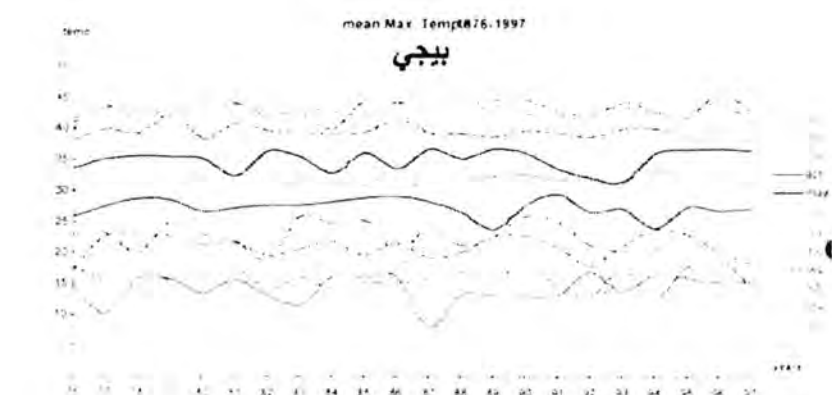
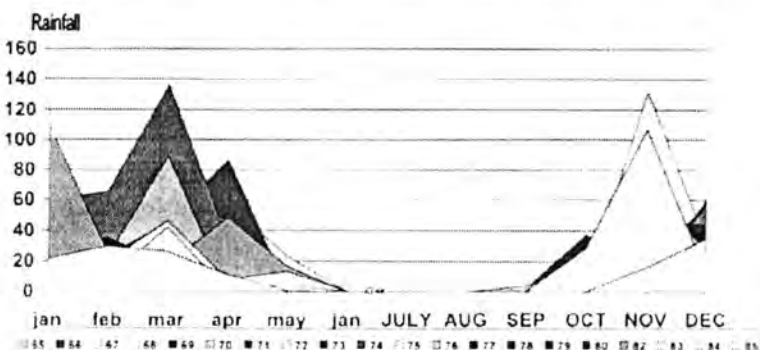
የመጀመሪያ ተስተካክለ የሚከተሉ መሆኑን እና ተስተካክለ የሚከተሉ መሆኑን አንቀጽ
የመጀመሪያ ተስተካክለ የሚከተሉ መሆኑን እና ተስተካክለ የሚከተሉ መሆኑን አንቀጽ

የመጀመሪያ ተስተካክለ የሚከተሉ መሆኑን እና ተስተካክለ የሚከተሉ መሆኑን አንቀጽ

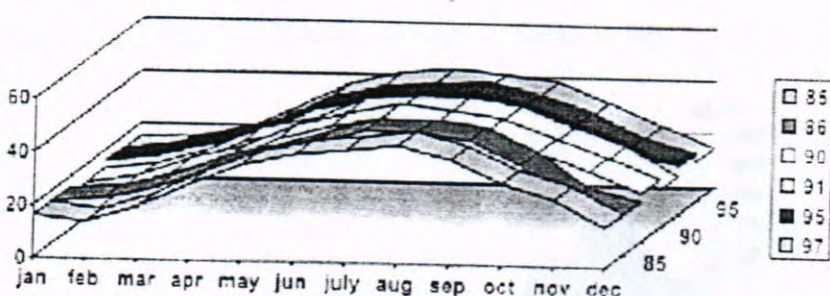
የመጀመሪያ ተስተካክለ የሚከተሉ መሆኑን እና ተስተካክለ የሚከተሉ መሆኑን አንቀጽ
የመጀመሪያ ተስተካክለ የሚከተሉ መሆኑን እና ተስተካክለ የሚከተሉ መሆኑን አንቀጽ

፩፻፲፪	፩፻፲፯	፩፻፲፮	፩፻፲፯	፩፻፲፯	፩፻፲፮	፩፻፲፯	፩፻፲፯
1990	1001.0	998.1	1016.2	1021.4	1016.2	1021.4	1019.0
1991	1001.0	998.4	1018.4	1018.6	999.9	1001.1	1000.2
1992	1001.0	998.7	1018.7	1019.2	1018.6	1001.1	1001.3
1993	1001.0	999.7	1018.5	1021.0	1018.5	1001.3	1001.3
1994	1001.0	1019.7	1021.5	1021.5	1019.7	1001.2	1001.2
መጀመሪያ							
1990	1002.0	999.9	1016.4	1022.0	1019.7	1001.9	1001.9
1991	1000.6	999.1	1019.7	1020.2	1019.7	1002.1	1002.1
1992	1002.1	1001.1	1018.0	1020.2	1018.0	1001.1	1001.1
1993	1002.1	1001.9	1019.8	1021.7	1019.8	1001.9	1001.9
1994	1002.1	1001.2	1018.4	1019.7	1018.4	1001.2	1001.2

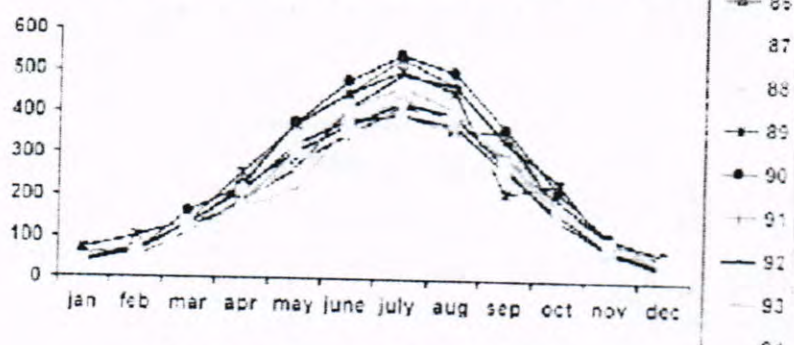
الى اثارتها او هبوبها ونزوحها على هيئة عواصف ترابية او رملية او تجمعها على هيئة كثبان رملية كذلك تؤدي الى تعريتها او جرفها من خلال التأثيرات المتولدة والمرافقة لهذه المنظومات الضغطية مثل ارتفاع درجات الحرارة او زيادة سرعة الرياح او الجفاف... الخ.



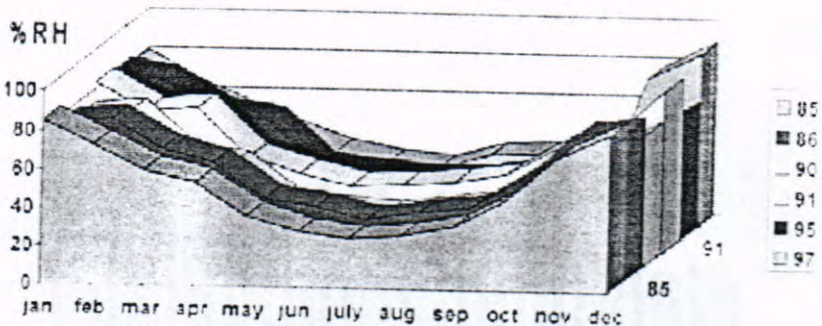
mean Max. Temp. C For Baiji



Evaporation for Baiji in (m m) for (1985 - 2000)



% Relative Humidi. For Baiji



المصادر

1. المناخ المحلي الدكتور احمد سعيد، الدكتور فاضل باقر الحسيني، الدكتور حازم توفيق، جامعة بغداد، (1982).
2. الاراضي الجافة الدكتور والتون ترجمة الدكتور علي عبد الوهاب شاهين جامعة الاسكندرية، مصر.
3. ظاهرة التصحر واثرها على الاراضي الزراعية في محافظة صلاح الدين، أطروحة محمود صالح الجبورى، كلية الآداب، (2000).
4. ظاهرة التصحر في العراق واثرها في استثمار جامعة بغداد الموارد الطبيعية، رسالة دكتوراه عبد مخور الريhani، كلية الآداب، جامعة بغداد، (1986).
5. علي الشلش، جغرافية التربة، جامعة البصرة، (1981).
6. التبيؤ بسنوات الجفاف في العراق، كلية الآداب، جامعة بغداد - ع 18، مايس صالح فليح الهيتي، (1980).
7. الانسان والتصحر - حقائق عن الصحراء والتصحر، محمد علي عبد اللطيف، الموسوعة الصغيرة، (1986).
8. The climate of Iraq
The co-operative printing press workers society, Amman, Ali Shalash, (1966).

Rtfgvb54

تأثير المعاملات الحرارية على خواص طبقات الطلاء لسيكة فولاذ - كروم

اسماعيل خليل التكريتي ، علاء الدين عبد الله التعبي ، مفید عبد اللطيف الريبي
الجامعة التكنولوجية / قسم العلوم التطبيقية

الخلاصة

تم دراسة تأثير المعاملات الحرارية عند درجات حرارية مختلفة وبأجواء مفرغة ومحترلة على خواص طبقات الطلاء نوع (13%Cr-Steel) والمحضرة بطريقة الرش بالقوس الكهربائي. أظهرت النتائج التجريبية بأن المعاملة الحرارية بأجواء مفرغة تؤدي إلى زيادة قوة التلاصق وتماسك طبقات الطلاء علامة على انخفاض نسبة المسامية ومقدار البلى (Wear). كما أوضحت نتائج المعاملة الحرارية بأجواء مختلفة صفات مقاربة إلى المعاملة في أجواء مفرغة في مجال تحسين التصاقية الطلاء مع خواص ميكانيكية عالية.

المقدمة

تتضمن تقنيات الإكساء بالرش الحراري (Thermal Spray Coating) سخين مادة الإكساء إلى درجة حرارة الانصهار ثم القذف بسرعة عالية نحو الهدف المراد إكسائه. يوجد هناك أربعة تقنيات رئيسية لتقنية الرش الحراري وهي (الرش باللهب، الرش بالقوس الكهربائي، الرش بالبلازما ثم الرش الانفجاري). أن الفارق الرئيسي بين هذه التقنيات هو المصدر الحراري اللازم لصهر مادة الإكساء وطبيعة المادة المرسيبة⁽¹⁾.

لقد نالت تقنيات الرش الحراري اهتمام الكثير من الباحثين في مجال الإكساء لدراسة خواص طبقات الطلاء الفيزيائية والميكانيكية وذلك لأنساع مجال تطبيقها ولمعرفة اثر معلمات الرش على تلك الخصائص.

ففي مجال تهيئه القاعدة (Substrate) بطريقة العصف الحبيبي (Cirit Blast) فقد أكد الباحث (J. Wigner) بأن معلمات العصف من مسافة وضغط وزاوية عصف لها تأثير فعال على خشونة السطح⁽²⁾. حيث أظهرت النتائج بأن قيمة الخشونة تزداد بزيادة المسافة وضغط

اسعيل خليل التكريتي وجماعته

الهواء، أما افضل زاوية فكانت (90°). كما اوضحت النتائج بأن زيادة معدل الخشونة تؤدي الى زيادة قوة الالتصاق.

اما في مجال تأثير المعاملات الحرارية على طبقة الطلاء ودراسة التغيرات فيها فقد اوضح الباحثان (S.J. Harris) و (M.P. Overs)⁽³⁾ اثر المعاملات الحرارية على طبقة طلاء الصلب الكرومي المحضرة بتقنية الرش الحراري. فقد بینا أن المعاملة بالأجواء الاعتيادية تؤدي الى زيادة نسبة طور الأوكسيد في الطلاء.

اما الباحث (W.B. Kim) وجماعته⁽⁴⁾ فقد قام بأجزاء المعاملة على نفس طبقة الطلاء ولكن باستخدام تقنية شعاع الليزر (CW CO₂) وبقدرة (w 600). لقد أوضحت النتائج بأن قيم المسامية قد أختزلت بالكامل في منطقة المعاملة مع حدوث ترابط كيميائي بين طبقات الطلاء والقاعدة.

اما الباحث (K.amachi) وجماعته⁽⁵⁾ فقد بینوا من خلال دراسة طلاء طبقة من الألمنيوم المحضرة بتقنية الرش بالقوس الكهربائي على قاعدة من الصلب الكاربوني بأن قيم المسامات نقل بعد المعاملة الحرارية عند درجة حرارة (950°C).

اما الباحثان (S.J. Harris) و (L. Cifuentes)⁽⁶⁾ فقد بینا أن معلمات الرش بتقنية القوس الكهربائي من معدل تغذية السلك وفتحة هواء التزير والمسافة بين مسدس الرش والقاعدة لها تأثيراً مباشراً في حجم القطرات المتشكلة لكنهما أغللاً تأثير ذلك على نسبة المسامية وتركيب الطلاء.

كما قام الباحثان (H. Herman) و (S. Safai)⁽⁷⁾ بدراسة تأثير المسافة بين مسدس الرش والقاعدة وسمك طبقة الطلاء على نسبة المسامات المفتوحة في طلاءات الألمنيوم المحضرة بتقنية الرش بالبلازما. وقد تبعهم الباحث (Y. Arata) وجماعته⁽⁸⁾ بدراسة تأثير نفس المؤشرات السابقة في نسبة المسامات ولكن على مواد (Al₂O₃, TiO₂) المحضرة بتقنية الرش بالبلازما من أجل حماية السطوح من الأجواء الرطبة. وقد بینت النتائج أن نسبة المسامات تزداد بزيادة المسافة وتختفي مع زيادة السمك.

الدراسة الحالية تهدف الى دراسة اثر المعاملات الحرارية عند درجات حرارة مختلفة وبأجواء مفرغة على الخواص التركيبية والخواص الميكانيكية لطبقات الطلاء نوع (Steel) 13% Cr والحضرة بطريقة الرش بالقوس الكهربائي.

الجانب العملي

يتضمن الجانب العملي الفقرات التالية

تحضير نماذج الطلاء

تعتبر عملية تهيئة قواعد نماذج الطلاء من الأمور المهمة في عملية التصاق الطلاء بالقاعدة. حيث تم استخدام الصلب المتوسط الكاربون (Medium Carbon Steel) نوع (AISI 5160) كقاعدة (Substrate) أما مادة الطلاء فهي سبيكة (13% Cr Steel) على شكل سلك بقطر (1.6 ± 0.02 mm). الجدول (1) يوضح نتائج التحليل الكيميائي لكل من القاعدة ومادة الطلاء باستخدام جهاز طيف الامتصاص الكتلي (Atomic mass absorption).

تم تقطيع عينات القواعد المستخدمة في الطلاء حسب متطلبات كل فحص وباستخدام جهاز قطع كهربائي مع التبريد المستمر للمحافظة على درجة القاعدة واطنة اثناء القطع. كذلك تم تنظيف عينات الطلاء كيميائياً لازالة الدهون والملوثات الأخرى اضافة الى العصف الحبيبي (Grit blasting) بحببيات كاربيد السليكون لعرض زيادة خشونة عينات الطلاء. جدول (2) يوضح أهم معلومات عملية العصف الحبيبي المستخدمة.

ولعرض دراسة خاصية المسامية تم تخسين العينات الى درجة واطنة نسبياً لعرض فصل طبقة الطلاء بسهولة عن القاعدة. تم الاعتماد على طريقة الغمر (Immersion method) في حساب نسبة المسامية ووفق المعايير الفياسية (ASTM C830) ⁽⁹⁾.

قياس البلي والصلادة الميكانيكية

تم استخدام جهاز أمسлер (Amsler) لقياس معدل البلي لعينات الطلاء والذي يعتمد على مبدأ الطريقة الوزنية لحساب مقدار فقد في مادة الطلاء نتيجة البلا الانزلاقي. أما قياس الصلادة لطبقات الطلاء فقد تم استخدام صلادة روکويل (Rockwells) نوع Hardness-Wilson-500 وذلك باستخدام اداة غرز من الماس ذات شكل مخروطي وتسلیط حمل ابتدائي (3Kg) وحمل نهائي (15 Kg) خلال زمن (10 s).

المعاملات الحرارية

لعرض دراسة مدى تأثير أجواء المعاملات الحرارية على خصائص طبقة الطلاء، تم استخدام فرن مفرغ (Vacuum Furnace) مزود بالتهوية ومسطر حرارة تحت ضغط

منخفض يصل (10^{-3} torr). كما تم اجراء المعاملة الحرارية بأجواء مختلطة من خلال وضع العينات في حاوية معدنية مقاومة للحرارة وغمرها بمادة الكرافيت ووضعها في فرن اعتيادي تحت ظروف اعتيادية وبمديات حرارية مختلفة خلال فترات زمنية مختلفة.

النتائج والمناقشة

الجدول (3) يبين تأثير المعاملات الحرارية في جو مفرغ على مقدار قوة الالتصاق للطلاء بالقاعدة. يلاحظ منه أن قوة الالتصاق تزداد مع زيادة درجة حرارة المعاملة علاوة على تغير نوع الفشل من تماسك عند درجة حرارة (850°C) إلى فشل التصاق عند درجة حرارة (950°C). فعند درجات الحرارة المنخفضة يحدث زيادة في نسبة المسامات أي ضعف الترابط بين طبقات الطلاء مما يؤدي إلى حصول فشل تماسك ومع زيادة درجة الحرارة تنخفض نسبة المسامية فيزيداد الترابط بين طبقات الطلاء فترتفع قوة الالتصاق.

أما الجدول (4) فيبيّن تأثير زمن المعاملة بأجواء مختلطة على قوة الالتصاق. ويلاحظ منه بأن قوة الالتصاق تزداد مع زيادة زمن المعاملة. حيث أن الفترة الطويلة للمعاملة تؤمن وقت كافي لإحداث انتشار بين طبقات الطلاء والقاعدة فيعزز الرابط بينهما.

الشكل (1) يمثل علاقة الصلادة لطبقة الطلاءات مع درجات حرارة المعاملة الحرارية في أجواء تفريغ. يلاحظ حصول انخفاض تدريجي لقيم صلادة الطلاء حتى درجة حرارة (850°C) وبعدها يصبح الانخفاض بشدة. أن سبب الانخفاض في قيم الصلادة عند ارتفاع درجات الحرارة هو حصول عملية إزالة الاجهادات المختلفة مع حصول عملية انماء بسورى يصل معدل نموه إلى أعلى قيمة عند درجة حرارة (950°C).

أما الشكل (2) فيمثل العلاقة ما بين الصلادة وأزمان المعاملات الحرارية بأجواء مختلطة. لقد لوحظ انخفاض في قيم الصلادة مع زيادة زمن المعاملة. فرغم أن درجة حرارة المعاملة تعد عالية مقارنة مع المعاملة في أجواء مفرغة، إلا إن هذا التأثير يظهر وكأنه أقل أهمية. حيث لوحظ انخفاض قيم الصلادة مع زيادة زمن المعاملة الحرارية.

أما تأثير درجة حرارة المعاملات الحرارية على مقدار البلى بجو مفرغ فإن الشكل (3) يوضح هذه العلاقة. حيث لوحظ بأن مقدار البلى قد ارتفع وبشكل حد مع زيادة درجة الحرارة حتى يصل إلى درجة حرارة (850°C) وبعدها ينخفض مقدار البلى عند المعاملة بدرجة حرارة (950°C). أن السبب في ذلك يعود إلى الزيادة الحاصلة في نسبة المسامية عند الدرجات

الحرارية ($650-850^{\circ}\text{C}$) عمل عليه قفل المعالمة وبشكل كبير مما يؤدي إلى انخفاض قوة التماسك بين طبقات الطلاء.

أما عند ارتفاع درجة الحرارة إلى (950°C) فإن نسبة المسامات تتحفظ مما يزيد من مقدار قوة الترابط بين طبقات الطلاء. وهذا ما يتواافق مع الشكل (4) الذي يوضح تغير النسبة المئوية في نسبة المسامات الكلية مع درجة حرارة المعاملات الحرارية بأجواء مفرغة.

أما تأثير زمن المعاملة الحرارية بجو مختلف عند درجة حرارة (1050°C) على مقدار البلي يمكن ملاحظته من الشكل (5). فقد لوحظ انخفاض مقدار البلي بزيادة زمن المعاملة وأن سلوك المنحني هو مشابه لسلوك المنحني في الشكل (2).

جدول (1) نتائج التحليل الكيميائي لكل من سبيكة السلك و القاعدة

Element	Substrate Wt%	Coating wire Wt%
C	0.59	0.36
Si	0.28	0.26
Mn	0.84	0.50
Cr	0.79	12.15
Ni	0.01	---
Cu	0.17	---
Fe	Rem	Rem

جدول (2) معلومات عملية العصف الجببي

Blasting pressure	6 bar	ضعف العصف
Blast angle	90°	زاوية العصف
Blast distance	6 cm	مسافة العصف
Blast time	60 s	زمن العصف
Blast particle size	2-0.5 mm	حجوم حبيبات العصف

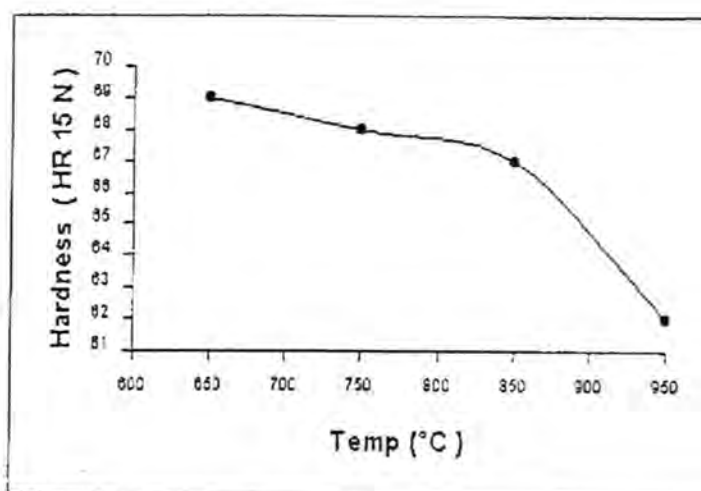
**تأثير المعاملات الحرارية على خواص طبقات الطلاء لسيكة فولاذ - كروم
اسماعيل خليل التكريتي وجماعته**

جدول (3) العلاقة بين درجة حرارة في جو مفرغ وقوه الانتصاق ولمدة ساعة واحدة

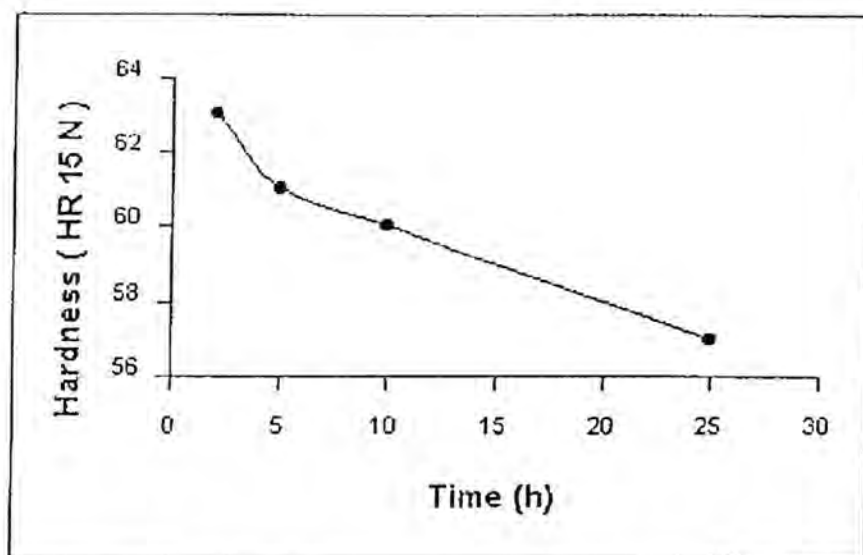
Temp ^{°C}	Ashesion strength	Failure Type
Before	24.4	Adhesion
750	13.78	Cohesion
850	18.35	Cohesion
950	27.29	Adhesion

جدول (4) العلاقة بين زمن المعاملة بجو مختزل وقوه الانتصاق عند درجة حرارة (1050°C)

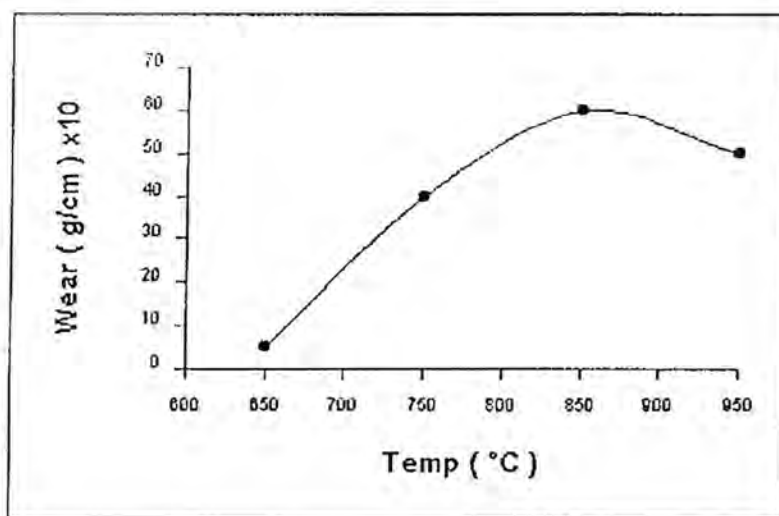
Time (h)	Adhesion strength (Mpa)	Failure Type
Before	24.4	Adhesion
1	25.3	Adhesion
5	28.85	Adhesion
10	32.93	Adhesion
24	39	Adhesion



شكل (1) تأثير درجة حرارة المعاملة بجو مفرغ لمدة ساعة واحدة على قيمة الصلادة

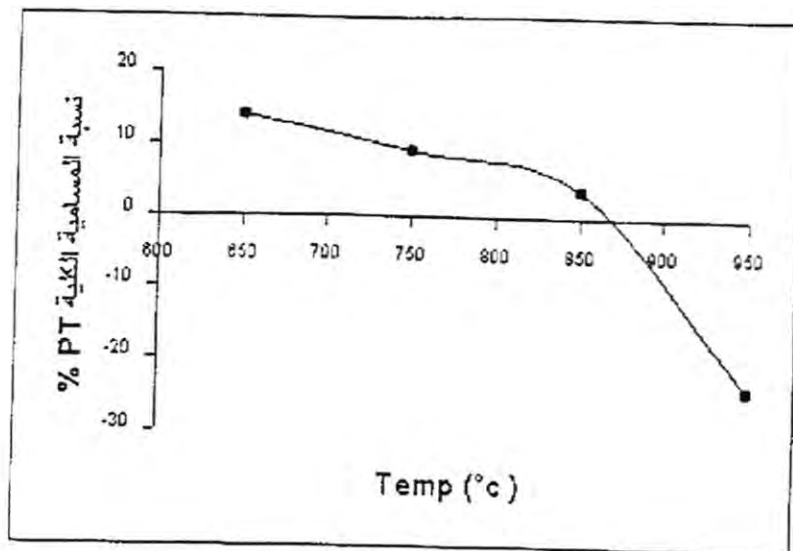


شكل (2) تأثير زمن المعاملة بجو مختلف عند درجة حرارة (1050 C) على قيمة الصلادة

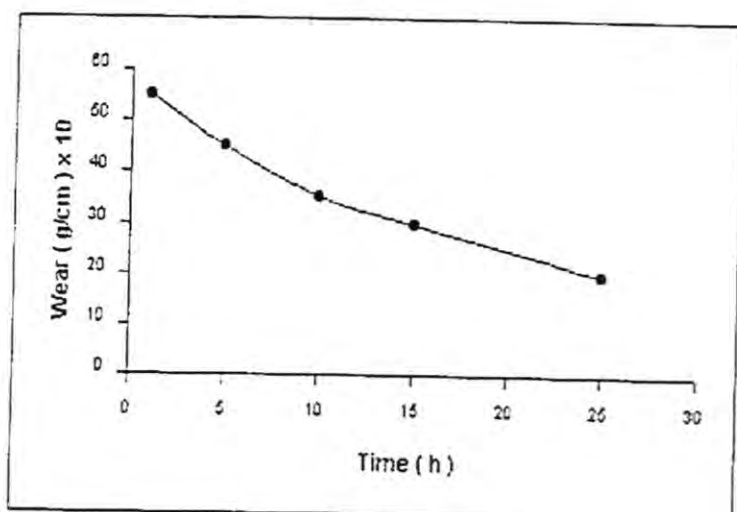


شكل (3) تأثير درجة حرارة المعاملة بجو مفرغ لمدة ساعة واحدة في مقدار البلي

تأثير المعاملات الحرارية على خواص طبقات الطلاء لسيكة فولاذ - كروم
اسماعيل خليل التكريتي وجماعته



شكل (4) تغير النسبة المئوية في نسبة المسامية الكلية مع درجة الحرارة في جو مفرغ لمدة ساعة واحدة



شكل (5) تأثير زمن المعاملة الحرارية بجو مغتزل عند درجة حرارة (1050C) في مقدار البلي

REFERENCES

- 1- D. Marantz, R. Berns, Thermal Spray: Advances in coating technology, USA, P223, (1988).
- 2- J. Winger, Surface and coating technology, V34, P101 (1988).
- 3- S.J. Harris and M.P. Overs, Thin Solid Films, V118, P459 (1984).
- 4- W.B. Kim, Y.S. Yang and S.J. Na, Surface and coating technology, V 37, P40 (1989).
- 5- K. Kamachi, N. Tani, S. Oki and G. Ueno, Corrosion Engineering, V 39, P117 (1990).
- 6- L. Cifuenters and S.J. Harris, Thin Solid Films, V118, P515 (1984).
- 7- S. Safai and H. Herman, Thin Solid Films, V45, P295 (1977).
- 8- Y. Arata, A. Ohmori and C.J.Li, Thin solid films, V156, P315 (1988).
- 9- C830, Annual Book of ASTM Standards American Society for Testing and Material, USA (1988).

تأثير المعاملة الحرارية على الخواص البصرية لاغشية خامس اوكسيد الفناديوم الرقيقة

سعد عبد الباري توفيق^{*} ، عبد المجيد عيادة ابراهيم^{**}

رعد سعدون صبري^{*} ، ليلى عlek والي

ABSTRACT

Thin films of (V_2O_5) were prepared by using thermal evaporation technique, at preparing conditions of pressure (2×10^{-5} mbar), substrate temperature ($301K^o$) and deposition rate ($13\text{A}^0/\text{sec}$), and the optical properties were studied for them as deposited and after annealing at different temperatures ($273, 473, 523K^o$). The optical energy gap of (V_2O_5) thin film at the above mentioned transitions looked to be direct and indirect and of both allowed and not allowed transitions.

الخلاصة

حضرت الاغشية الرقيقة لمادة خامس اوكسيد الفناديوم (V_2O_5) باستخدام تقنية التبخير الحراري في الفراغ تحت ظروف تحضير تتمثل بضغط (2×10^{-5} mbar) درجة حرارة القاعدة ($301K^o$) وبمعدل ترسيب ($13\text{A}^0/\text{sec}$)، وتمت دراسة الخواص البصرية لها كما تم ترسيبها وكذلك بمعاملتها حراريا بدرجات حرارية مختلفة ($273, 473, 373K^o$) وحسبت قيمة فجوة الطاقة لعشاء (V_2O_5) للحالات اعلاه وانضم ان الانتقالات الالكترونية في العشاء المحضر هي النوع المباشر وغير المباشر بنواعيها المسموح والممنوع

المقدمة

تعد دراسة الخواص البصرية لأشباه الموصلات العشوائية مصدرًا مهمًا يوفر لنا معلومات قيمة عن التركيب الإلكتروني Electronic structure لها^(1,2) وتتجدر الاشارة الى وجود بعض التقارب في طبيعة الامتصاص بين الحالتين البلورية والعنقوية للمواد ولكن الاختلاف الرئيسي بينهما يظهر بالقرب من حالة الامتصاص الأساسية، فمن المعروف ان تردد القطع Cut off frequency في المواد العشوائية يكون غير حاد واقل منه في الحالة البلورية

ويعود السبب في ذلك إلى وجود ترتيب المدى القصير Short range order الذي يتميز به اشباه الموصلات العشوائية، اضافة إلى ان وجود المستويات الموضعية وذيلها داخل فجوة الطاقة يقلل من قيمة حافة الامتصاص^(3,1).

اقترح الباحثون Mott, Davis Tauc^(او2د4) العلاقة الرياضية الآتية لحساب معامل الامتصاص البصري كدالة لطاقة الفوتون الممتص:

$$\alpha h\omega = B(h\omega - E_g)^r \dots (1)$$

حيث ان

B: ثابت يعتمد على طبيعة المادة

$h\omega$: طاقة الفوتون الممتص

E_g : قيمة فجوة الطاقة الممنوعة

r : معامل اسي يعتمد على طبيعة الانتقالات من حيث كونها انتقالات مباشرة ام غير مباشرة (مسموحة او ممنوعة) ويأخذ المعامل (r) عادة القيم ضمن المدى (1-3)^(6,5)

الجزء العملي

حضرت أغشية V_2O_5 الرقيقة بطريقة التبخير الحراري في الفراغ باستخدام منظومة طلاء من نوع (Blazers BAE370)، وذلك بوضع وزن محدد من مسحوق V_2O_5 عالي النقاوة (99.99%) في حويض (Boat) مصنوع من مادة الالومينا محاط بحويض من مادة المولبدنيوم، بعد الحصول على الفراغ المناسب (حوالى 2×10^{-5} bar) داخل حجرة التفريغ، وتبدأ عملية التبخير بامرار تيار كهربائي بشكل تدريجي عبر حويض المولبدنيوم. تم الحصول على أغشية V_2O_5 بسمك $3200 \mu m$ على قواعد اساس زجاجية مصنوعة من (الـPyrex) وبدرجة حرارة اساس (301 K) وبمعدل ترسيب (13A/sec). اجريت معاملة حرارية للاغشية المحضرة عند ثلاثة درجات حرارية هي K(373,473,523) في الفراغ باستخدام فرن من نوع (Precision).

تم اجراء الفحوصات البصرية التي اشتغلت على قياس الامتصاصية (Absorbance) والنفاذية (Transmittance) للاغشية المحضرة لحالتي قبل وبعد اجراء المعاملة الحرارية ولمدى الاطوال الموجية nm(330-900) باستخدام جهاز spectrophotometer pu-8800 UV/Vis ذي الحزمتين من نوع (Philips).

النتائج والمناقشة

تميّزت الاغشية المحضرّة بكونها شفافة ومتّجاشة وذات لون أصفر ، يتغيّر إلى اللون الرمادي بفعل المعاملة الحراريّة عند درجات حرارة K(473.523). وهذه ظاهرة معروفة وتسمى ظاهرة التلون الحراري ، وإن هذه النتيجة تتفق مع ما توصل إليه الباحث Serionv⁽⁷⁾.

معامل الامتصاص

استخدمت العلاقة الآتية^(9,8) لحساب معامل الامتصاص اعتماداً على طيف الامتصاصية

$$\alpha(\omega) = 2.303 \Lambda(\omega)/d \quad (2)$$

حيث تمثل

$\alpha(\omega)$: معامل الامتصاصية

$\Lambda(\omega)$: الامتصاصية

d : سماكة الغشاء

يبين الشكل رقم (1) تغيير قيمة معامل الامتصاصية مع طاقة الفوتون، للاغشية المحضرّة قبل وبعد المعاملة الحراريّة، حيث نلاحظ وجود منطقتين رئيسيتين هما: اولاً: منطقة الطاقات الفوتونيّة الواطنة $25\text{eV} < \omega$ وفيها يكون معامل امتصاص الاغشية المحضرّة قبل المعاملة الحراريّة ثابت تقريباً أما بعد معاملتها حراريّاً فنلاحظ ان معامل الامتصاص يزداد زيادة طفيفة مع زيادة درجة حرارة التلدين ثانياً: منطقة الطاقات الفوتونيّة العالية $\omega > 2.5\text{eV}$ والتي تزداد فيها قيمة معامل امتصاص الاغشية المحضرّة (قبل المعاملة الحراريّة) زيادة سريعة مع زيادة طاقة الفوتون. ان هذه الزيادة تساعد في تعين حالة الامتصاص الاساسية⁽¹⁰⁾ والتي تحدث نتيجة انتقال الالكترونات من حزمة التكافؤ إلى حزمة التوصيل، وكذلك لوحظ ان سلوك معامل الامتصاص للاغشية المحضرّة قبل معاملتها حراريّاً مشابه لسلوكه بعد المعاملة الحراريّة يرافقه حدوث نقصان في قيمة معامل الامتصاص مع زيادة درجة حرارة التلدين، ويعود السبب في ذلك إلى ان المعاملة الحراريّة ادت إلى تقليل العيوب التركيبية والتي بدورها قللت المستويات الموضعية مما ادى إلى زيادة قيمة فجوة الطاقة الممنوعة وبالتالي نقصان في قيمة معامل الامتصاص.

لقد اظهرت النتائج التي تم الحصول عليها، ان قيمة معامل انتصاص اغشية V_2O_5 اكبر من 10^5 cm^{-1} وهذا يؤدي الى زيادة احتمالية حدوث انتقالات الكترونية مباشرة اضافة الى الانتقالات غير المباشرة.

حساب قيمة فجوة الطاقة الممنوعة

تم حساب قيمة فجوة الطاقة الممنوعة للانتقال المباشر المسموح والممنوع وكذلك للانتقال غير المباشر المسموح والممنوع وفق العلاقة رقم (1)، حيث تم رسم مخططات بين $(\alpha h\omega)^{1/2}$ وبين طاقة لافوتون ($h\omega$) حيث يأخذ ω القيم $(1/2, 2, 3, 3/2)$ اعتمادا على نوع الانتحال، وبمد الجزء المستقيم من المنحنى ليقطع محور طاقة الفوتون عند النقطة $= 0$ نحصل على قيمة فجوة الطاقة الممنوعة كذلك تم حساب قيمة الثابت B من العلاقة ذاتها:

حيث ان

$$B = (\text{Slope})^2$$

توضح الاشكال (2,3,4) قيم فجوة الطاقة الممنوعة لاغشية V_2O_5 قبل وبعد المعاملة الحرارية وان هذه القيم مع قيم الثابت B التي تم حسابها للسمازج قيد الدراسة، تم تثبيتها ضمن الجداول (1,2,3).

تشير البحوث والدراسات السابقة (1,2,4,10,11,12,13) الى ان الانتقالات البصرية التي تحدث في اغشية V_2O_5 هي من نوع الانتقال غير المباشر المسموح وكذلك الانتقال المباشر الممنوع ولم نعثر على بحوث تشير الى حدوث انتقال مباشر مسموح او غير مباشر ممنوع وهذا خلاف ما توصلنا له.

ان المعاملة الحرارية عند درجة 373K ادت الى زيادة قيم فجوة الطاقة الممنوعة للانتقالات الالكترونية الاربعة، وهذا يرجع الى ان المعاملة الحرارية ادت الى تقليل المستويات الموضعية بين حزمتي التكافؤ والتوصيل،اما المعاملة الحرارية عند درجة 523K فقد سببت نقصان قيمة فجوة الطاقة الممنوعة لغشاء V_2O_5 ويعزى هذا الى ان المعاملة الحرارية عند 523K ادت الى تكوين مستويات موضعية جديدة وزيادة حالة العشوائية وبالتالي صغر فجوة الطاقة الممنوعة.

حساب عرض الذبول للمستويات الموضعية

من المعلوم انه في اشباه الموصلات العشوائية يزداد معامل الامتصاص زيادة اسيه مع زيادة طاقة الفوتون، وبالاعتماد على معادلة اورباخ⁽¹¹⁾ يمكن حساب قيمة عرض الذبول للمستويات الموضعية وكما يلي:

$$\alpha = \alpha_0 \exp(-h\nu/E_c) \dots (3)$$

حيث ان α_0 : ثابت التناسب

E_c : عرض ذيل الحافات الموضعية ضمن فجوة الطاقة

تم تعين عرض الذيل للمستويات E_c لاغشية V_2O_5 من خلال رسم العلاقة بين $\ln(\alpha)$ وطاقة الفوتون، وعند حساب ميل الجزء المستقيم من المنحنى، تم تعين قيمة E_c والتي تمثل مقلوب الميل. يوضح الشكل (6) عرض الذبول للمستويات الموضعية للاغشية المحضره قبل وبعد اجراء المعاملة الحرارية وفيه نلاحظ حصول نقصان في قيمة E_c بعد اجراء المعاملة الحرارية عند K(373,473) وهذا يعزى الى ان طاقة التدرين تكون كافية لاعادة تنظيم الذرات في الغشاء مما يحسن من الحالة البلورية له وبالتالي الى تقليل المستويات الموضعية ونقصان في عرض الذبول، ونلاحظ من الشكل ذاته حصول زيادة الحالة العشوائية نتيجة لزيادة طاقة لذرات والتي تعمل على اهتزازها حول موقع استقرارها وقد يكون السبب حدوث خلل في التركيب الداخلي للمادة قيد البحث.

الاستنتاجات

امتازت اغشية V_2O_5 المحضره بطريقه التبخير الحراري بالفراغ، بكونها شفافة ومت詹سة وتمتلك لون اصفر يتتحول الى اللون الرمادي بفعل المعاملة الحرارية عند درجة حرارة (473)K يمتلك خامس اوكسيد الفناديوم (V_2O_5) فجوة طاقة ممنوعة للانقال المباشر المسماوح ساوي (3.1325eV) وللانقال المباشر الممنوع تساوي (2.2789eV) وللانقال غير المباشر الممنوع المسماوح (1.963eV) وللانقال غير المباشر الممنوع (1.398eV).

ادت المعاملة الحرارية الى حدوث نقصان في قيمة معامل الامتصاص مع زيادة درجة حرارة التدرين عرض الذبول عند درجتي حرارة K(373,473) بينما ادت المعاملة الحرارية عند

تأثير المعاملة الحرارية على الخواص البصرية لاغشية خامس اوكسيد الفناديوم الرقيقه

سعد عبد الباري توفيق وجماعته

درجة (527K) الى نقصان في قيمة فجوة الطاقة الممنوعة لاغشية ولكلة الانتقادات وزيادة

عرض الذيل للمستويات الموضعية

جدول رقم (1) قيم فجوة الطاقة الممنوعة وللانتقال المباشر المسموح لغشاء V_2O_5 قبل وبعد

المعاملة الحرارية

Annealing Temp.(K)	Eg (eV)	Bx10 ³ (cm ⁻⁴ eV ^{1/2})
0	3.1352	2.89
373	3.2366	1.99
473	3.3268	2.23
523	3.2366	1.35

جدول رقم (2) قيم فجوة الطاقة الممنوعة والثابت B للانتقال المباشر الممنوع لغشاء V_2O_5 قبل

و بعد المعاملة الحرارية

Annealing Temp. (K)	Fg (eV)	Bx10 ⁴ (cm ⁻¹ eV ^{-1/2})
0	2.2789	9.48
373	2.5718	6.83
473	2.8085	5.16
523	2.5042	4.05

جدول (3) قيم فجوة الطاقة الممنوعة والثابت B للانتقال غير المباشر المسموح لغشاء V_2O_5

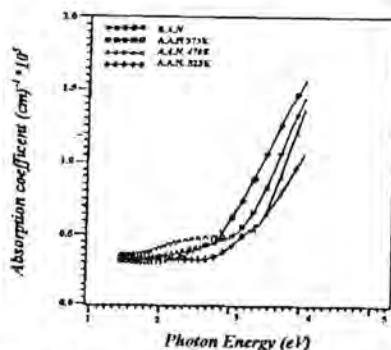
قبل وبعد المعاملة الحرارية

Annealing Temp. (K)	Eg (eV)	Bx10 ⁴ (cm ⁻¹ eV ⁻¹)
0	1.963	5.22
373	2.312	3.44
473	2.605	2.38
523	2.233	1.83

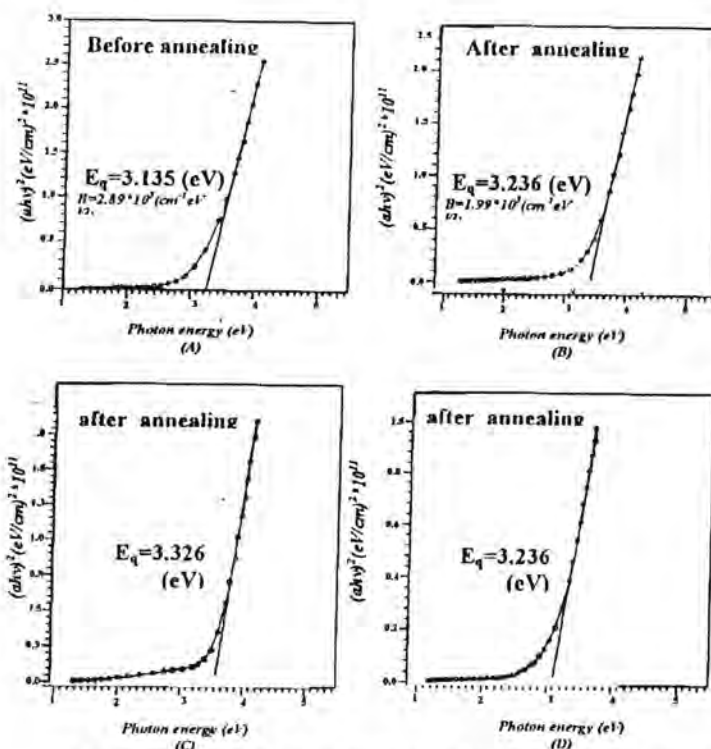
جدول رقم (4) قيم فجوة الطاقة الممنوعة والثابت B للانتقال غير المباشر الممنوع لغشاء V_2O_5

قبل وبعد المعاملة الحرارية

Annealing Temp. (K)	Eg(eV)	Bx10 ³ (cm ⁻¹ eV ⁻²)
0	1.398	11.88
373	1.839	6.48
473	2.357	3.72
523	1.98	2.75



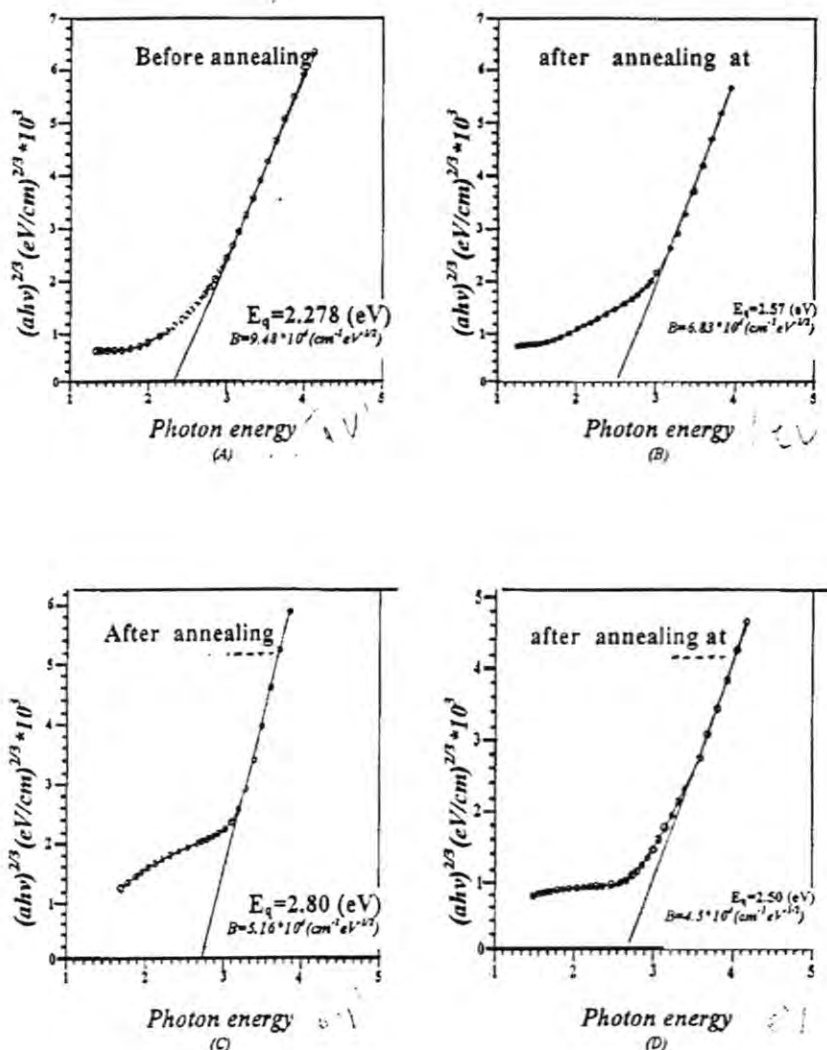
شكل (1) :- تغير معامل الامتصاص مع طاقة الفوتون لفشاء (V_2O_5) ذات السمك (3200Å)



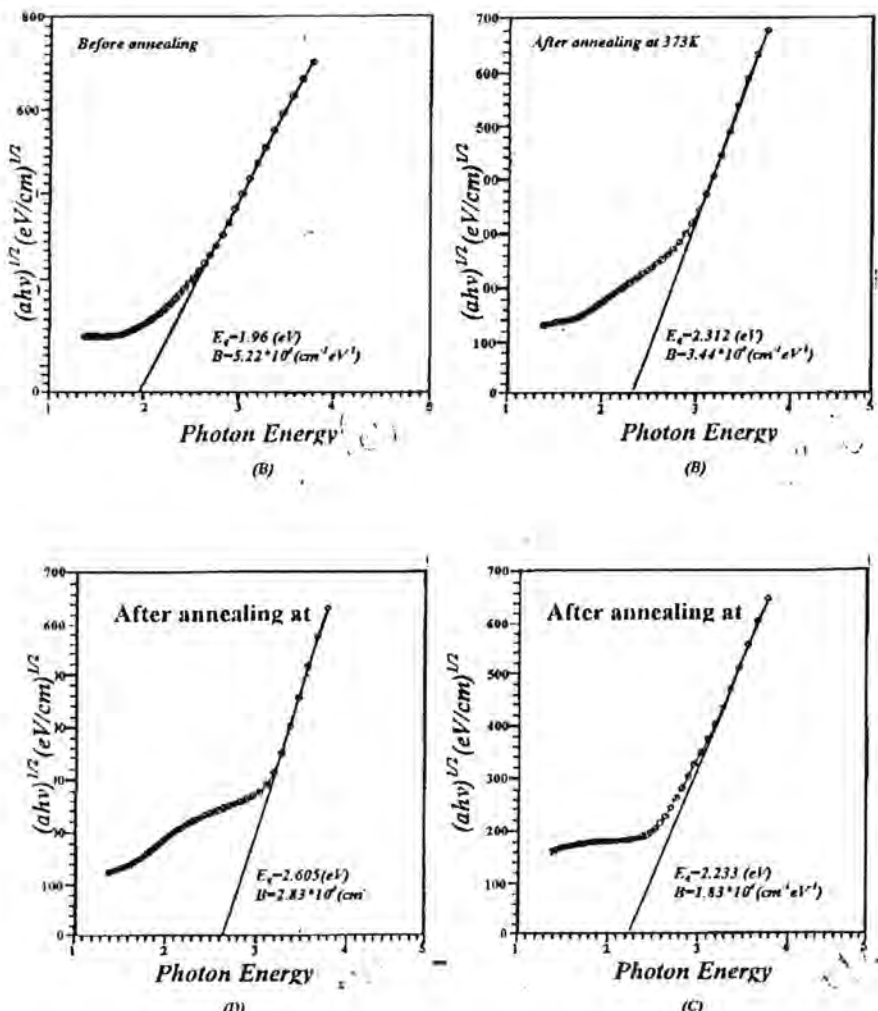
شكل (2) :- الانقلال الالكترونى المباشر المسحوب لفشاء (V_2O_5) ذات السمك 3200Å
(A) قبل المعاملة الحرارية (B) بعد المعاملة الحرارية عند (373K)
(C) بعد المعاملة الحرارية عند (473K) (D) بعد المعاملة الحرارية عند (523K)

تأثير المعاملة الحرارية على الخواص البصرية لأغشية خامس أوكسيد الفناديوم الرقيقة

سعد عبد الباري توفيق وجماعته



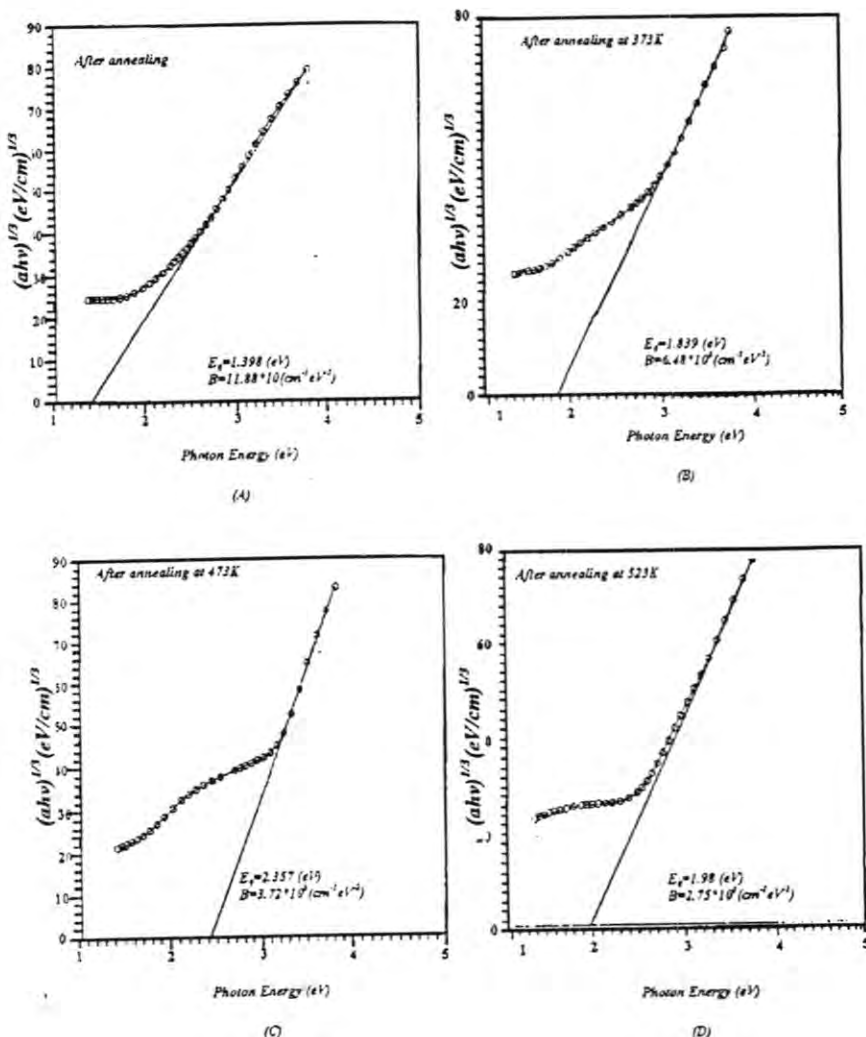
شكل (3):- الأنتقال الإلكتروني المباشر الممنوع لفثاء (V_2O_5) ذات السمك 3200A°
 (A) قبل المعاملة الحرارية
 (B) بعد المعاملة الحرارية عند (373K)
 (C) بعد المعاملة الحرارية عند (473K) (D) بعد المعاملة الحرارية عند (523K)



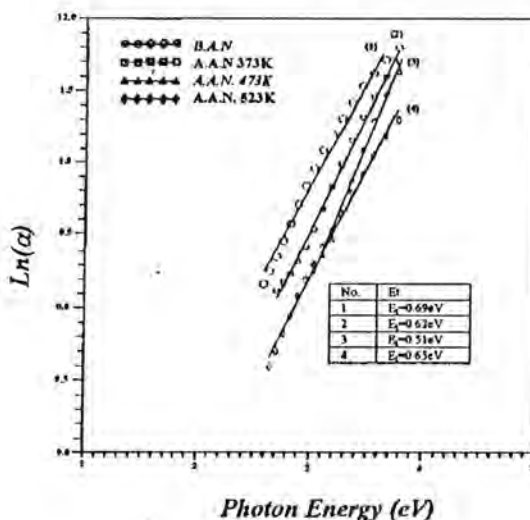
شكل (4):- الانقلال الإلكتروني غير المباشر المسموح لشთاء (V_2O_5) ذات الممك 3200A° (A) قبل المعاملة الحرارية (B) بعد المعاملة الحرارية عند (373K) (C) بعد المعاملة الحرارية عند (473K) (D) بعد المعاملة الحرارية عند (523K)

تأثير المعاملة الحرارية على الخواص البصرية لأنغشية خامس أوكسيد التنجديوم الرقيقة

سعد عبد الباري توفيق وجماعته



شكل (٥):- الأنتقال الإلكتروني غير المباشر المنوع لفشار (V₂O₅) ذات السماكة 3200 Å° (A) قبل المعاملة الحرارية (B) بعد المعاملة الحرارية عند (373K) (C) بعد المعاملة الحرارية عند (473K) (D) بعد المعاملة الحرارية عند (523K)



شكل (6) :- تغير ($\ln\alpha$) مع طاقة الفوتون لغشاء (V_2O_5) ذات السمك (3200A°) قبل وبعد المعاملة الحرارية

REFERENCES

1. Al-Ani, S.K.J. and Hogarth, C.A. The optical properties of amorphous V_2O_5 and SiO thin films and of the mixed dielectric system SiO/V_2O_5 . Journal of materials science Vol. 20, 118-1192 (1985)
2. Hosseinin, A.A. et al. Optical absorptio nin $CeO-V_2O_5$ evaporated thin film. J. Sci. I.R. Iran. Vol. 5, No. 3: 135-138 (1994)
3. Dmar M.A. Elementary of solid state physics, Addison Wesley publsishing Col. London (1975).
4. Al-Ani, S.K.J. Hogarth, C.A. The effect of temperatur on the optical absopriton edge of thin amorphous oxide films. Journal of Materials Sciences Vol. 20: 2526-2532 (1985)
5. Al-Ani, S.K.J. Determination of the optical gap of amorphous materials. Int. J. Electronics, Vol 75, No. 6: 1153+1163 (1993).

سعد عبد البارى توفيق وجماعته

6. Tauc. J. States in the gap. *J. of Non-crystalline solids* 8-10 (569-585) (1972).
7. Lndghurst R.S., *Geometrical and physical optics*, Longman Group Ltd. Londond 2nd Ed. (1987).
8. Freifelder, D. *Principles of physical chemistry*, sones and Bartltt pblisher, Inc. Boston 2nd Ed. (1985)
9. A. Serbionv et al. Threshold behaviour for the electrical conductivity of V_2O_5 films reduced by heating. *J. of materials scinece* Vol. 23: 2067-2078 (1988).
10. Carolyh et al. Low temperature oxidation of non stoicometric sputter deposited vanadium pentoxide. *J. of vacuum science and technology A, second series*, Vol. 2, No. 4 Part IV(2714-2718) (1987).
11. Bulot, G. et al, (1984). (Thin layers deposited from V_2O_5 gels), *J. of Non-crystalline Solids*, Vol. 68, (135-140).
12. Al-Hardon, N.H.M., (1988). Optical and Electrical properties of V_2O_5 thin films prepared by thermal evaporation). theses, university of Baghdad.
- Aita et aL. (1986). (optical behavior of sputter -deposited vanadium pentoxide), *J. Appl. phys.* Vol. 60, No. 2 (149-153).

تأثير درجة الحرارة على خصائص ليزر الصبغة النبضي للبصغتين R6G و RB

محمد عبد الكريم احمد * ، عدي عطا حمادي

* ص.ب. 55159 - بغداد 12001 - العراقي

الخلاصة

في هذا البحث، جرى دراسة تأثير درجة حرارة الوسط الليزري الفعال على خصائص الخرج المنظومة ليزر الصبغة (Dye Laser) النبضي. جرى استخدام منظومة ليزر صبغة R6G و RB تعمل بطاقة خرج فصوى (35mJ) وامد نبضة خارجة (100μs) بالتشغيل الحر وبوجود الاوكسجين كعامل كبح (Quenching). أوضحت النتائج المقدمة في هذا البحث ان خصائص الخرج مثل طاقة النبضة الخارجة وعرض الخط الطيفي للابتعاث وانفراجية الحزمة والكفاءة الكلية للمنظومة تتأثر بشكل ملحوظ بدرجة الحرارة، وأن الحصول على افضل قيم لهذه المعاملات يتطلب العمل عند درجة حرارة بحدود (10°C). يمكن الاقادة من النتائج المقدمة في هذا البحث لغرض تحديد القيمة المثلثى لدرجة حرارة تشغيل منظومة ليزر الصبغة النبضي وفق معاملات تصميم المنظومة.

المقدمة

من المعروف أن الصبغات الليزرية المستخدمة في منظومات ليزر الصبغة تضم العديد من مستويات الطاقة الالكترونية والاهتزازية (⁽¹⁻³⁾ Electronic and Vibrational States ، اذ يتكون كل مستوى الكتروني من مجموعة من المستويات الاهتزازية المتفصلة في حالة الاتزان الحراري، لأن زمن الاسترخاء لهذه المستويات اقصر بكثير من زمن الفلورة للمستويات الالكترونية ⁽⁴⁾).

$$G(f_1) = \sigma_e(f_1) N(ex) - \sigma_g(f_1) N(gr) = 1. \quad \dots \dots (1)$$

اذ تمثل $\sigma_e(f_1)$ مساحة المقطع العرضي للابتعاث المحتث.

و $\sigma_g(f_1)$ مساحة المقطع العرضي للامتصاص.

$N(gr), N(ex)$ كثافة الجزيئات للحالة المتميزة والارضية على التوالي.

محمد عبد الكريم احمد و عدي عطا حمادي

وبما أن الربح للصبغة العضوية يتغير مع تغير عاملين مهمين وهما التردد والزمن خلال زمن نبضة الضخ، ولتوضيح ذلك بين الباحث McCumber⁽²⁾ بأنه لنظام مكون من مجموعتين من مستويات الطاقة فإن معادلة الربح المعتمدة على التردد f_1 يمكن التعبير عنها كما يلي⁽¹⁻³⁾:

$$G(f_1) = [N_{\text{ex}} - N_{\text{gr}} \cdot \text{Exp} \{he (\sigma_e - \sigma_a)/KT\}] K(f) / n^2 \sigma_e^2 \quad \dots \dots (2)$$

حيث تمثل $K(f)$ شدة الفلورة لمحلول الصبغة بوحدات الفوتون لكل فتره تردد لكل زاوية صلدة وكل جزيئه تساهم في الانبعاث، وتمثل n معامل انكسار محلول الصبغة، $hccs_e$ هو صافي الطاقة اللازمة لإثارة جزيئه صبغة واحدة.

وبتحليل المعادلة (2)، وفي حالة الوصول الى حد العتبة فمن المتوقع ان الزيادة الملاحظة في A_f مع مجموع خسائر الفجوة الليزريه (L) وتناقص f_1 مع تركيز محلول الصبغة اي ($N_{\text{tot}} = N_{\text{ex}} + N_{\text{gr}}$)، فمن المتوقع ان يتغير التردد ايضاً بهذه الفعل الليزري مع درجة الحرارة⁽⁵⁾. وعليه، فإن طيف الفلورة يضيق مع تناقص الحرارة ولكن بدون وجود إزاحة ملحوظة في موقع قمتها.

وبما أن الفعل الليزري يحدث عند الأطوال الموجية الطويلة وبعيداً عن قمة الطيف، ولذلك فإن هذا الفعل يحدث بطول موجي أقصر. عند تضيق الطيف بفعل الانخفاض في درجة الحرارة. وهذا التأثير واضح في حالة التراكيز العالية إذ يعمل الامتصاص العالى للوسط الفعال على إزاحة الطول الموجي لشعاع الليزر المنبعث بعيداً عن القمة، إذ يوضح الطول الموجي لشعاع الليزر المنبعث في حالة تراكيز مختلفة. كما يمكن ملاحظة أن تضيق طيف الفلوره لوحده غير كافى لتوضيح الأزاحة الكلية مع تغير درجة الحرارة وخصوصاً عند التراكيز العالية⁽⁵⁻⁶⁾.

إن خسارة التي تنتج عن الانتقال غير الاشعاعي بين مستويات الطاقة الأحادية (Singlet Energy States)، والذي يدعى التحول الداخلي (Internal Conversion)، قد تتغير ايضاً مع درجة الحرارة للوسط الليزري، وتبعاً لذلك فإن الكفاءة الكمية للتلفور K_f تتغير تبعاً لذلك.

يتتمثل التأثير الثاني لدرجة الحرارة بالحد الأول للمعادلة (2) وبما أن $N_{\text{gr}} > N_{\text{ex}}$ في الظروف الأعتيادية (درجة حرارة الغرفة)، فإن $\sigma_e < \sigma_a$ لكي تكون قيمة الربح موجبة. ومع

تناقص درجة الحرارة فإن الحد الثاني في المعادلة (2) والذي يمثل الامتصاص يتناقص أيضاً وهذا يتيح لشرط بدء الفعل الليزري أن يتحقق عند أو قرب منطقة قمة الطيف⁽⁶⁻⁷⁾.

الجزء العملي

جرى بناء منظومة ليزر الصبغة النبضي وتألفت من الجزء البصري والجزء الكهربائي والجزء الميكانيكي. تضمن الجذعات البصري والميكانيكي من الوسط الفعال، المصباح الوميضي، العاكس الضوئي والمرنان البصري. الوسط الفعال هو عبارة عن محلول الصبغة العضوية (R6G, RB) وخلية الصبغة بقطر 6mm وطول 17.5cm. استخدم المصباح الوميضي الحلزوني (Helical) المملوء بغاز الزيونون بضغط 450Torr ويتم تثبيته بحيث يحيط بالخلية الحاوية على الصبغة باستخدام حوامل من البيرسبكس تثبت داخل العاكس الاسطوانى والمصنوع من البراس المطلية بالذهب بطول 12cm وقطر 8cm. أما المرنان البصري فانه من النوع نصف الكروي (Hemispherical) إذ كانت المرأة الخلفية مقررة بنصف قطر تكorum 20cm وذات انعكاسية تامة للأطوال الموجية 430-680nm ومطلية بمادة نترات الفضة، فيما كانت المرأة الإمامية مستوية (Plane) ومصنوعة من زجاج الكوارتز وقد بلغت أعظم انعكاسية لها حوالي 87% للطول الموجي 590nm. كانت المسافة الفاصلة بين المرأةين 30cm.

تضمن الجزء الكهربائي دائرة مجهز القدرة ودائرة الشحن وحزن الطاقة ودائرة القدح ودائرة التخميد. مجهز القدرة المستخدم يجهز فولتية عظمى 6kV بتيار اقصى 100mA. تألف دائرة الشحن من محولة رافعة للجهد (220V to 1600V) ومتعددة الشحن (70μF, 20kV) ومتعددة تقويم التيار (2μF, 10kV) والثنائيات المقومة ذات الفولتية العالية والمقاومات. أما دائرة القدح فتتكون من محولة خخفضة للفولتية وثاييرستور ومحولة قدح. اشتغلت دائرة التخميد على مقاومة عالية القدرة ومفتاح (Switch).

النتائج والمناقشة

بعد استكمال التحضيرات اللازمة لتشغيل المنظومة مثل تحضير عينات لسبغي R6G وBTRاكيز معينة، جرى تشغيل المنظومة بنمط التشغيل الحر (Free Running Operation). وبتجاوز طاقة الضخ للمصباح الوميضي لحد العتبة للأنبعاث المحفز لوسط

الصبغة تم الحصول على طاقة خرج ليزري بمدى يتراوح J-20,5 وكمما مبين في الشكل (1). اذ يلاحظ ان العلاقة ما بين طاقة الخرج الليزري والطاقة الداخلة تكون خطية تقريباً ولمدى معين، وهذا سلوك طبيعي لأي وسط محول للطاقة إذ ان زيادة طاقة الضخ المجهزة للوسط الفعال تعمل على زيادة عدد الجزيئات المتباعدة الى المستويات الاحادية (S_0, S_1, S_2, \dots) والتي تكو مسؤولة عن الابتعاث المحفز. ولطاقات ضخ اعلى تصل طاقة الخرج الليزري الى حالة التشبع اذ لايمكن اثارة عدد اكبر من جزيئات الوسط. بعد ذلك تنخفض طاقة الخرج وذلك لأن الزيادة في طاقة الضخ تتحول الى طاقة حرارية تتعدد داخل الوسط الفعال (الصبغة) وتساهم في تقليل عدد الجزيئات المساهمة في الفعل الليزري عن طريق انتقالها الى مستويات الطاقة الثلاثية عبر عملية العبور البييني (Intersystem Crossing) والتي تعمل على اخماد الفعل الليزري.

ولدراسة تأثير درجة حرارة الوسط الفعال على كفاءة الخرج الليزري جرى تغيير درجة محلول الصبغة وقياس طاقة نبضة الليزر، وتم ذلك بزيادة درجة حرارة مبرد الصبغة بشكل منتظم وكما في الشكل (2). ان زيادة درجة الحرارة يؤدي الى امتلاء مستويات الطاقة بالحالة المتباعدة S_1 الاهتزازية والدورانية العليا، وهذا يؤدي الى تقليل عدد الجزيئات المساهمة في عملية الفلورة. ويحدث العكس عند انخفاض درجة الحرارة اذ يقل معدل التصادمات الماصلة للفلورة وهذا يؤدي الى تضييق عرض خط الابتعاث الليزري. لقد لوحظ ان درجة الحرارة المثلث لتشغيل المنظومة بأحسن كفاءة كانت بحدود 10°C ومن ثم تبدأ الطاقة الخارجية بالتناقص عند زيادة درجة الحرارة.

ولغرض الاقتراب اكثرب من درجة الحرارة المثلث لتشغيل، جرى قياس طاقة الخرج الليزري كدالة لدرجة الحرارة لمدى اضيق من المدى السابق في الشكل (2) وكما مبين في الشكل (3). يؤكّد الشكل ان القيمة المثلث تكون 10°C اذ تم الحصول عند هذه القيمة لدرجة الحرارة على اقصى طاقة خرج ليزري. من تحديد القيمة المثلث لدرجة الحرارة يمكن حساب عرض الخط الطيفي لشعاع الليزر الخارج باستخدام العلاقة الآتية :

$$\Delta\lambda = \Delta\nu \cdot \lambda^2/c \quad \dots\dots(3)$$

حيث $\Delta\lambda$ تمثل عرض خط الابتعاث الترددية الذي تم حسابه عمليا، λ الطول الموجي لشعاع الليزر المنبعث c سرعة الضوء في الفراغ ، فيكون :

$$\Delta\lambda = 0.3 \mu\text{m}$$

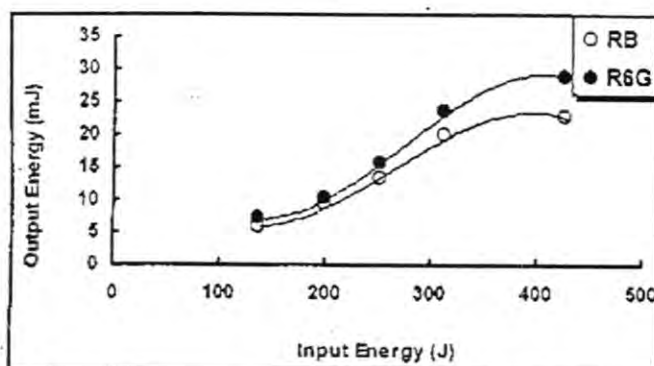
هذه القيمة يمكن مقارنتها بالقيمة النظرية التي تم حسابها من العلاقة الآتية :

$$\Delta\lambda = c/\Delta\nu = 0.6 \mu\text{m} \quad \dots\dots(4)$$

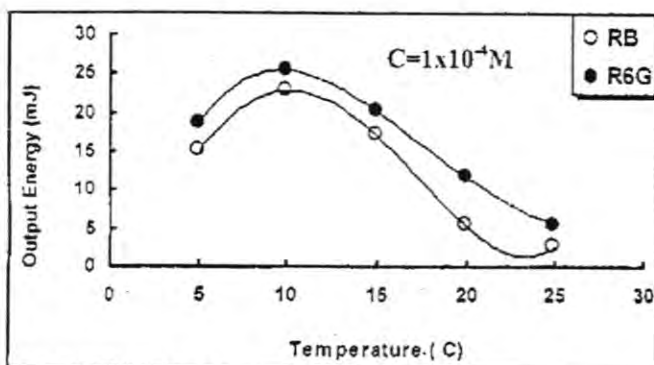
هناك فرق بين القيمة النظرية والعملية وهذا الانحراف عائد الى ظروف تشغيل المنظومة اذ ان ازدياد درجة حرارة الوسط الفعال والخسائر الناجمة عن الامتصاص والخسائر الناجمة عن تكون المستويات الثلاثية كلها اسباب لتعريض خط الفلورة (Fluorescence bandwidth).

الاستنتاجات

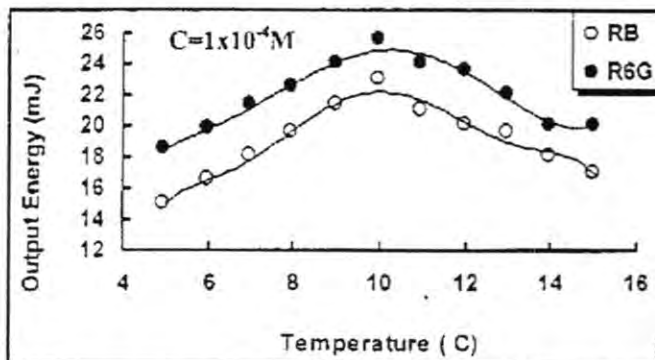
من خلال النتائج المستحصلة في هذا البحث، يمكن استنتاج ان عرض الخط الطيفي للليزر الصبغة يتأثر بشكل كبير بتغير درجة حرارة الوسط الفعال اذ يتم تضييق عرض الخط من خلال زيادة معدل تبريد الوسط الفعال. كذلك اوضحت النتائج المقدمة ان هنالك درجة حرارة مثلى يعمل عندها الليزر الصبغة بالطاقة العظمى والتي بلغت حوالي 25mJ في حالة استخدام صبغة R6G و 23mJ في حالة استخدام صبغة RB. ان امكانية التحكم الدقيق بدرجة حرارة الوسط الفعال تعطى فرصا افضل لبلوغ ظروف التشغيل المثلى.



شكل (1) علاقـة طـاقة الليـزـر الـخارـجـة بـالـطاـقة الدـاخـلـة



شكل (2) علاقـة طـاقة الليـزـر الـخارـجـة بـدـرـجـة حرـارـة الوـسـط الفـعـل للمـدى $(5-25)^{\circ}C$



شكل (3) علاقـة طـاقة الليـزـر الـخارـجـة بـدـرـجـة حرـارـة الوـسـط الفـعـل للمـدى $(5-15)^{\circ}C$

المصادر

1. F. Shafer in "Dye lasers", Edited by F. Shafer, Springer-Verlag, p.1, (1977).
2. G. Schappert, K. Billman and D. Burnham, "Temperature Tuning of an Organic Dye Laser", *Appl. Phy. Lett.* 13(4), p. 124-126, (1968).
3. D. McCumber, *Phys. Rev.*, 134(A299), (1964).
4. F. Schafer, W. Schmidt, and J. Volze, "Organic Dye Solution Laser", *Appl. Phys. Lett.* 9, 8, p. 306, (1966).
5. L. Godfrey, W. Egbert and R. Meltjer, "Grazing Incidence Grating Techniques for Flashlamp-Pumped Tunable Dye Lasers", *Optics comm.* 34, 1, p. 108, (1980).
6. M. Rahn, T. King, A. Gorman and I. "Photostability enhancement of Pyrromethene 567 and Perylene Orange in Oxygen-free Liquid and Solid dye Lasers", *Appl. Optics*, 36(24), p. 5863, (1997).
7. M. Mark D. Rahn and T. King, "Singlet Oxygen and dye-triple-state quenching in solid-state dye Lasers Consisting of Pyrromethene 567-doped Poly (methyl. Methacrylate)", *Appli. Optics*, 38(30), p. 6337, (1999).

(9) (c) (ii) (iii) (iv) (v) (vi) (vii) (viii) (ix) (x) (xi) (xii) (xiii) (xv) (xvi).

፲፻፭፻

The values of magnetic dipole transitions operator (T_{MII}), and the probability of $\text{IB}(\text{MII})$, in HgBa_2O_3 (SL(5)-O(6)), and the probabilities of one body and one and two bodies energies (IBM-1) was used in the present work, and another way to find out the values of T_{MII} , $\text{IB}(\text{MII})$, in a very good agreement.

ABSTRACT

କାନ୍ତି ପାରିବି ଶରୀରଟି , କାନ୍ତି ମହିଳା , କାନ୍ତି ମହିଳା

134

ପାତ୍ର କିମ୍ବା କିମ୍ବା କିମ୍ବା କିମ୍ବା କିମ୍ବା କିମ୍ବା କିମ୍ବା

المقدمة

إن العزم المغناطيسى ينتج من جراء توزيع الشحنات والتىارات الكهربائية ويحدد بواسطة العدد الكمى المدارى (L) فعندما يكون ($L=0$, Monopole) أي ان الحركة المدارية تساوى صفرًا فبـا يعني وجود مجال كهربائى أحادى القطبية. وعندما يكون ($L=1$, Dipole) أي أن هناك حركة مدارية للشحنات الكهربائية فى مدارات مغلقة ينتج عنها مجال مغناطيسى ثانى القطبية⁽¹⁾. أما بالنسبة الى (g) المرتبطة بالحركة المدارية فانها = 1 للبروتونات^(3,2) بسبب تطابق الشحنة والكتلة، أما بالنسبة للنيونرونات فانها = 0 وذلك لكون النيونرونات عديمة الشحنة. اما الحركة البرمية الذانية (g) فانها = 5.586 للبروتونات = 3.826 - للنيونرونات وهذه الفرق تدل على ان النيوكليونات ذات تركيب معقد تتضمن توزيعاً ليس بالقليل للشحنات الكهربائية⁽⁴⁾.

في عام (1974) اقترح (A. Arima and F. Iachello)⁽⁵⁾ نموذجاً جديداً اسس على مفاهيم نموذج القرشة وهو نموذج البوزونات المتفاعل الاول (Interacting Boson Model) (IBM-1) وهذا النموذج يجمع بين صفات النموذج الجماعي (Collective Model) ونموذج الجسيمة المنفردة (Single-Particle Shell Model) وهو يصف خصائص الحركة الجماعية للنوى الزوجية - زوجية (Even-Even) بصيغة البوزونات وهي عبارة عن زوج من النيوكليونات اذا انه يفترض ان البوزونات التي لها زخما زاويا ($L=0$) يرمز لها (S_0)_s ويطلق عليها بوزونات s (s-bosons) أما اذا امتلكت زخما زاويا $= 2$ فتسمى ببوزونات d- (d-bosons) وهذا النموذج لا يميز بين بوزونات البروتونات وبوزونات النيونرونات لذلك فإنه يعتمد على العدد الكلى للبوزونات (N)^(7,6).

يعتمد هذا النموذج على المؤثر الهمiltonى (Hamiltonian Operator) الذى يتضمن الجسيم الواحد (One - Body) والجسيمين (Two-Body) ويبين هذا النموذج بصورة جيدة التغيرات الكبيرة لظاهرة الاهتزازية - الدورانية الجماعية وكذلك الانتقالية وقد نجح ايضاً في دراسة مستويات الطاقة والانتقالات الكهرومغناطيسية والعزوم الكهربائية والمغناطيسية^(9,8).

وابرز صفات هذا النموذج هو اقتراحه ثلاثة انواع من التأثيرات الديناميكية وهى⁽⁶⁾:

- التأثير الديناميكى الاهتزازي (Vibrational Dynamical Symmetry)
- بالمحموعة الفرعية (5) والتأثير الديناميكى الدورانى (Rotational Dynamical Symmetry)
- Symmetry المتنبئ بالمحموعة الفرعية (3) والتأثير الديناميكى لكاما - غير المستقرة Unstable Dynamical Symmetry (6).

ان الهدف من بحثنا هذا هو دراسة تأثير العزم المغناطيسي ثانوي القطب في التركيب النووي لنظير الباريوم¹³⁴ وابعاد التمازير الديناميكي لهذا النظير. وكذلك دراسة مستويات الطاقة له حيث تم حساب احتمالية الانتقالات المغناطيسية (B(M1)) والعامل μ وعزم ثانوي (IBM) للقطب المغناطيسي لحدود الجسيم الواحد ولحدود الجسيم الواحد والجسيمين وفق نموذج IBM-(1)، وقد تم ايضاً حساب قيم مؤثر ثانوي القطب المغناطيسي $T^{(M1)}$ واحتمالية الانتقال المغناطيسي ثانية القطب (B(M2)) وكذلك العامل μ وبدالة مركبة النظير العددي (Isoscalar Component) ومركبة النظير الاتجاهي (Isovector Component) وذلك بفضل البوزنات (بوزنات البروتونات وبوزنات النيترونات كل على حدة) بكونها طريقة ثانية. وقد تمت مقارنة النتائج التي تم الحصول عليها بالطريقتين اعلاه فكانت متوافقة مع بعضها بصورة جيدة.

نموذج البوزنات المتفاعل الاول

ان نموذج البوزنات المتفاعل الاول (IBM-1) يصف المستويات التجميعية الواطئة (Low Lying Collective States) في النوى الزوجية - زوجية والتي يمكن ان توصف بدالة بوزنات ذات $J^{\pi} = 0^-$ وبوزنات ذات $J^{\pi} = 2^-$ وكالاتي⁽⁶⁾ :

$$\hat{s}^+ \cdot \hat{d}_\mu' \quad \mu = 0, \pm 1, \pm 2 \quad \dots\dots (1)$$

$$\hat{s}^- \cdot \hat{d}_\mu \quad \mu = 0, \pm 1, \pm 2$$

المعادلة (1) تصف علاقات بوز التبادلية (Bose Commutation Relation)

$$\begin{aligned} [\hat{s}, \hat{s}^+] &= 1; [\hat{s}, \hat{s}^-] = [\hat{s}^+, \hat{s}^+] = 0 \\ [\hat{d}_\mu, \hat{d}_\mu^+] &= \delta_{\mu\mu}; [\hat{d}_\mu, \hat{d}_\nu^-] = [\hat{d}_\mu^+, \hat{d}_\nu^+] = 0 \\ [\hat{s}, \hat{d}_\mu^+] &= [\hat{s}, \hat{s}_\mu]; [\hat{s}^+, \hat{d}_\mu^-] = [\hat{s}^+, \hat{d}_\mu^+] = 0 \end{aligned} \quad \dots\dots (2)$$

وتعطى \hat{s}, \hat{d}_μ^+ بالعلاقات الآتية⁽⁶⁾ :

$$\hat{s} = \hat{s}^-, \quad \hat{d}_\mu = (-1)^\mu \hat{d}_\mu^- \quad \dots\dots (3)$$

أن مؤثر دالة هاملتون بالنسبة للتناظر الديناميكي لنظير تعطى بالعلاقة التالية.

$$\hat{H} = a_0 (\hat{P}^+ \cdot \hat{P}) + a_2 (\hat{Q} \cdot \hat{Q})$$

$$U(6) \supset SU(3) \supset O(3) \supset O(2)$$

$$\downarrow \quad \downarrow \quad \downarrow \quad \downarrow$$

$$[N] \quad (\lambda, \mu) \tilde{X} \quad L \quad M_L$$

إذ أن N تمثل العدد الكلي للبوزوونات وتعرف بالشكل الآتي :

$$N = N_\pi + N_\nu \quad \dots \dots (4)$$

إذ أن N_π هي عدد بوزونات البروتونات . N_ν عدد بوزونات النيترونات .

اما σ فهو عدد كمي ويكتب كالآتي

اما العدد الكمي τ

الانتقالات الكهرومغناطيسية

ان الصيغة العامة لمعادلة مؤثرات الانتقالات الكهرومغناطيسية تكتب كالآتي ⁽⁷⁾:

$$\hat{T}_\mu^{(L)} = \alpha_2 \left[\hat{d}^+ \times \hat{s} + \hat{s}^{-\times \hat{d}} \right]_\mu^2 + \beta_L \left[\hat{d}^+ \times \hat{d} \right]_\mu^{(L)} + \gamma_0 \left[\hat{s}^+ \times \hat{s} \right]_\mu^{(L)} \quad \dots \dots (5)$$

إذ ان $\alpha_2, \beta_L, \gamma_0$ اعلومات Parameters تشتهر لتحقيق الانتقالات الكهرومغناطيسية بين الحالة الابتدائية والحالة النهاية وان $(4) \quad L = 0, 1, 2, 3, 4$ ويمثل الحد الاول من المعادلة α_2 الانتقال الكهرومغناطيسي عندما $L=0$ ويمثل الحد الاخير γ_0 من المعادلة الانتقال الكهرومغناطيسي عندما $L=4$. وتعطى عناصر المصفوفة المختزلة للانتقالات المغناطيسية ثنائية القطب بالصيغة الآتية ^(6,5):

$$\langle L_f \parallel \hat{T}^{(M)} \parallel L_i \rangle \quad \dots \dots (6)$$

مؤثر عزم ثانى القطب المغناطيسى

يكتب مؤثر ثانى القطب المغناطيسى بالصيغة الآتية⁽¹⁾ :

$$\hat{T}_{\mu}^{(MII)} = \beta_1 \left[\hat{d}^+ \times \hat{\vec{d}} \right]_{\mu}^{(I)} \quad \dots\dots (7)$$

مؤثر عزم ثانى القطب المغناطيسى بدلالة مركبة النظير الاتجاهى والنظير العددى

يعطى مؤثر ثانى القطب المغناطيسى حسب المعادلة التالية^(11,10) :

$$\hat{T}_{\mu}^{(MI)} = g_{\pi I} \left(d_{\pi}^+ \bar{d}_{\pi} \right)^{(I)} + g_{v I} \left(d_v^+ \bar{d}_v \right)^{(I)} \quad \dots\dots (8)$$

إذ g_{π} العامل يعطى لبوزون البروتون و g_v العامل لبوزون النيترون.

ويمكن فصل المعادلة السابقة إلى جزئين إذ يمثل الجزء الأول مؤثر ثانى القطب بدلالة مركبة النظير العددى⁽¹¹⁾.

$$\hat{T}_{\mu}^{(MI)} = g_{\pi} \left[\left(d_{\pi}^+ \bar{d}_{\pi} \right)^{(I)} + \left(d_v^+ \bar{d}_v \right)^{(I)} \right] \quad \dots\dots (9)$$

$$\frac{1}{N} (N_{\pi} g_{\pi I} + N_v g_{v I}) \quad \dots\dots (10)$$

المعادلة (8) تبين ان مؤثر عزم ثانى القطب يتتناسب مع الزخم الزواوى الكلى . ١.

اما الجزء الثانى فهو مؤثر ثانى القطب بدلالة مركبة النظير الاتجاهى وتعطى بالصيغة الآتية :

$$\hat{T}_{\mu}^{(MI)} = g_{\pi} \frac{1}{N} \left[N_{\pi} \left(d_{\pi}^+ \bar{d}_{\pi} \right)^{(I)} - N_v \left(d_v^+ \bar{d}_v \right)^{(I)} \right] \quad \dots\dots (11)$$

ويعرف g_{π} بالصيغة الآتية :

$$g_{\pi} = g_{\pi I} - g_{v I} \quad \dots\dots (12)$$

ولاتوجد انتقالات نقية من نوع Isoscalar أو Isovector لأنها مكونة من مجموع المؤثرين، ويمكن حساب g_{π} وذلك باتباع شكل التصرف لبوزون - فيرميون

ابيان طارق العلوى وجماعتها

(Boson – Fermion Mapping). ويمكن تحويل حالة البوزون (Ψ_B) الى حالة الفيرميون وذلك باستبدال مؤثر S و d مع العلاقة التبادلية لازواج الفيرميونات.

العزوم المغناطيسية بدلالة النظير الاتجاهي ومركبة النظير العددي

أن مؤثرات العزم المغناطيسى بدلالة مركبتي النظير العددي والاتجاهي كالآتى^(12.9) :

$$\mu_0 = \mu_n - \mu_p \quad \dots \dots (13)$$

أى Δ هدد كمى يمثل البرم النظيري (Isospin)⁽¹³⁾ ، وتمثل معادلة العزوم المغناطيسية بدلالة النظير العددي بالصيغة الآتية :

$$\mu_0 = \frac{1}{2}(\mu_n + \mu_p) = 0.4398 \quad \dots \dots (14)$$

وأى معادلة العزوم المغناطيسية بدلالة النظير الاتجاهي فتمثل بالصيغة الآتية^(14.9) :

$$\mu_0 = \frac{1}{2}(\mu_n - \mu_p) = 2.3529 \quad \dots \dots (15)$$

وتحدد انتقالات M1 بقواعد الاشتقاء الآتية⁽²⁾ :

$\Delta J = \pm 1, 0$ $0 \rightarrow 0$ forbidden no change in parity.

$\Delta T = \pm 1, 0$ $0 \rightarrow 0$ forbidden.

النتائج والمناقشة

مستويات الطاقة

الجدول (1) يبين قيم اعلمات مؤثر دالة هاملتون للتناظر الديناميكى الذى تم ايجادها بدلالة النظير ولاحسن تطابق مع القيم العملية المتوفرة إذ استخدمت فى حساب مستويات الطاقة تناظر موضع البحث كما اتبنا اعتمدت لحساب المتجهات الذاتية (Eigen vectors) حضورتها فى حساب احتمالية انتقالات المغناطيسية ثنائية القطب (M1) والعزوم المغناطيسية

الماء و الج

جدول (1) اعلومات مؤثر دالة هاملتون للقاطر الديناميكية لنظير الباريوم ($Ba-134$, $Z=56$)

Isotopes					$^{134}_{56} Ba_{78}$				
Dynamical					O(6) – U(5)				
$N\pi$	N_v	N	EPS (MeV)	$\hat{P}^+.\hat{P}$ (MeV)	$\hat{L}.\hat{L}$ (MeV)	$\hat{Q}.\hat{Q}$ (MeV)	$\hat{T}_3.\hat{T}_3$ (MeV)	$\hat{T}_4.\hat{T}_4$ (MeV)	CHI
3	2	5	1.1200	0.2200	0.0001	0.0000	0.0580	-0.1690	0.0000

الجدول (2) يبين قيم مستويات الطاقة ذات التمايل الموجب وانتقالاتها لنظير $Ba-134$ باستخدام نموذج البروزونات المتقاعلة الاول (IBM-1) وحسب ترتيب حزم الطاقات فيها، حزمة الحالة الارضية (Ground-state band) وحزمة كاما (Gamma-Band) وحزمة بيتا (Beta-band) على التوالي. ومقارنة النتائج التي حصلنا عليها مع القيم العملية المتوفرة. واظهرت هذه المقارنة تطابقاً جيداً في معظمها ولاسيما في المستويات الواطئة (Low Lying Collective States)

أما بالنسبة للمستويات العالية فكانت بعض القيم النظرية أعلى من القيم العملية وهذا غالباً ما يعود إلى ضعف شدة الطاقات التي تحتاج إلى فترة زمنية طويلة لقياسها عملياً واختلاف ظروف التجربة بالإضافة إلى نسبة الخطأ التي تظهر في الحسابات النظرية والعملية.

تأثير عزم ثالث المقطب المقتاطبي على التركيب النووي لنظير الباريوم

إيمان طارق العلوى وجماعتها

جدول (2) : مستويات الطاقة للانتقالات الكامنة لنظير الباريوم 134

Bands	I^π	Energy levels (MeV)	Spin sequences	Energy transitions (MeV)	Bands	I^π	Energy levels (MeV)	Spin sequences	Energy transitions (MeV)
g	2_1^+	0.5797 0.6047	2_1^- - 0_1^-	0.5797 0.6047	β_1	6_1^+	2.8831	6_2^- - 5_1^-	0.07308
	4_1^-	1.3097 1.4005	4_1^- - 2_1^- 4_1^- - 2_1^-	0.0892 0.2332				6_2^- - 6_1^-	0.7308
				0.7300 0.79511				6_2^- - 4_2^-	0.8710
	6_1^-	2.1523 2.240	6_1^- - 4_2^-	0.1402 0.2417				6_2^- - 4_1^+	1.5734
			6_1^- - 4_1^-	0.9013 0.8015		0_2^+	1.4406 1.7605	0_2^+ - 2_1^+	0.2201 0.5925
			6_1^- - 2_1^-	1.5726 1.6063				0_2^+ - 2_1^+	0.8609 1.1558
								0_2^+ - 0_1^-	1.4406 1.7605
	8_1^-	3.0748 2.8306	8_1^- - 6_1^- 8_1^- - 6_1^-	0.1917 0.9225 0.6190				2_1^- - 3_1^- 2_1^- - 2_2^-	0.1400 0.3859 0.8807
	2_1^+	1.2205 1.1673	2_1^+ - 2_1^- 2_1^+ - 0_1^-	0.6408 0.5632 1.2205 1.1673		2_1^-	2.1012 2.0292	2_1^+ - 4_1^+ 2_1^+ - 2_1^+	0.7915 0.6287 1.5215 1.4245
	3_1^-	1.9612 1.6433	3_1^- - 2_1^- 3_1^- - 2_1^-	0.7407 0.4753 1.3815 1.0387				2_1^+ - 0_1^- 4_1^+ - 4_1^+	2.1012 2.0292 0.7309 ..
0 ⁺	0^+	2.0121 1.9693	4_2^- - 3_1^-	0.0509 0.3260	β_2	4_1^+	2.7430	4_3^- - 3_1^- 4_1^+ - 2_2^+ 4_1^+ - 4_1^+ 4_1^+ - 2_1^+	0.7818 .. 1.5225 ..
			4_2^- - 2_1^-	0.7916 0.8018					
			4_1^+ - 4_1^+	0.7021 0.5692					
			4_1^+ - 2_1^-	1.4324 1.3651					
			5_1^- - 4_1^+	0.0637 ..		0_1^+	1.8817 2.1596	0_1^+ - 2_1^+	1.3020 1.5799
5 ⁻	5_1^-	2.8067 ..	5_1^- - 6_1^-	0.6544 ..	2_1^+	2.6538	2_1^+ - 2_1^+	2_1^+ - 2_1^+	1.4333 0.9203
			5_1^- - 4_1^+	0.7946 ..				2_1^+ - 4_1^+	1.3441 0.8878
			5_1^- - 3_1^+	0.9455 ..	4_1^+	2.8206	4_1^+ - 4_1^+	4_1^+ - 4_1^+	0.07763 ..
			5_1^- - 4_1^-	1.4969 ..				4_1^+ - 4_2^-	0.7085 ..

الشكل (1) يوضح ترتيب حزم الطاقة النظرية والعملية والذي يحدد التناظر الديناميكي الذي ينتمي اليه نظير الباريوم قيد البحث. وتشير الادبيات الى أن ترتيب حزم الطاقة يكون كالتالي :

1. حزمة الحالة الأرضية.
2. حزمة بيتا.
3. حزمة كاما.

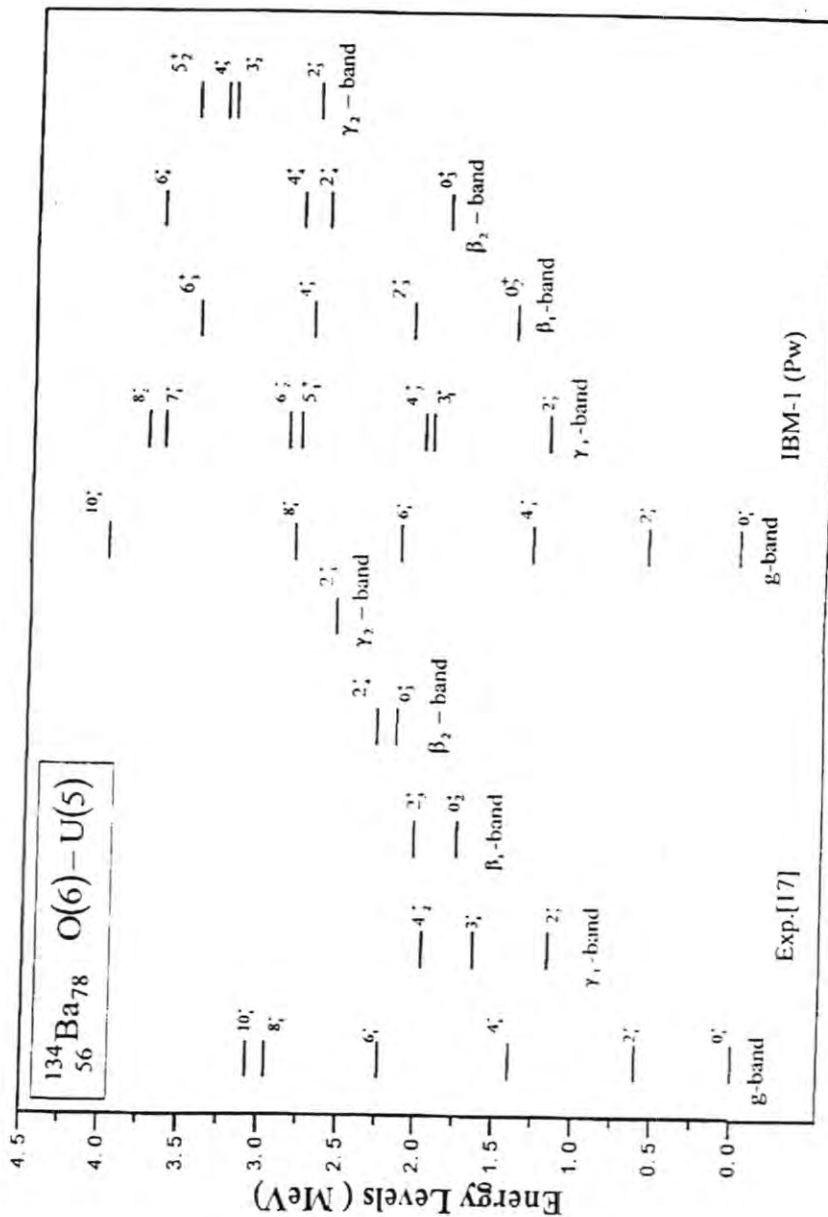
وفي حالة وجود اختلاف في ترتيبها فهذا يدل على وجود كسر للتناظر الديناميكي الذي ينتمي اليه هذا النظير وذلك بتغير احد عوامل دالة هاملتون الذي هو $(\hat{P}^+ \cdot \hat{P})$ الذي يجعل التناظر الديناميكي (O) هو الغالب على تصرف النواة. أي عند استقرار النواة مما يؤدي الى ظهور تصرفات ديناميكية اخرى تشارك التصرف العام (O).

أن تحليل نتائج مستويات الطاقة حسب الحزم التي ينتمي اليها النظير قيد البحث يبين أن حزمة كاما تسبق حزمة بيتا وهذا يؤدي الى ما يأتي :

1. أن التناظر الديناميكي لهذا النظير يقع ضمن حدود (O)-(5)-U.
2. وجود هذا الاختلاف في ترتيب الحزم يشير الى وجود تناظر ديناميكي اخر لهذا النظير وهو التناظر الديناميكي (O) وسنرى ذلك بوضوح عند فصل نسب الحزم.

أن حزم كل من $\beta_1, \beta_2, \gamma_1, \gamma_2$ ظهرت في حساباتنا الحالية لهذا النظير بينما لم تظهر حزمة γ_2 في القياسات العملية للنظير (Ba-134).

إن حساب نسب الطاقات يعد إحدى الطرائق التي يمكن بواسطتها تحديد تصرف النواة والتناظر الديناميكي الذي ينتمي اليه.



شكل (1) مستويات الطاقة العملية والنظرية لنظير الباريوم 134Ba

نسب الطاقات

الجدول (3) يبين القيم التالية لنسب الطاقات حسب كل تناظر ديناميكي إلى جانب قيم نسب الطاقات التي حسبناها للنظائر موضوع البحث مقارنة مع القيم العملية المتوفرة وفيما يأتي مناقشة هذه النسب لكل نظير.

تظهر حساباتنا لنسب $\frac{E(4_1^+)}{E(2_1^+)}$ أن هذا النظير يقع ضمن التناظر الديناميكي (5) U بينما

تشير القيمة العملية إلى أن تصرفه (6) O وهذا ما أكدته نتائج تحليل مستويات الطاقة أما قيمة

نسب الطاقات $\frac{E(6_1^+)}{E(2_1^+)}$ الحالية تتفق مع القيمة العملية التي تشير إلى أن تصرف هذا النظير هو

(5) U وان قيمة نسب الطاقات $\frac{E(8_1^+)}{E(2_1^+)}$ التي حصلنا عليها تبين ان تصرفه يقترب من التناظر

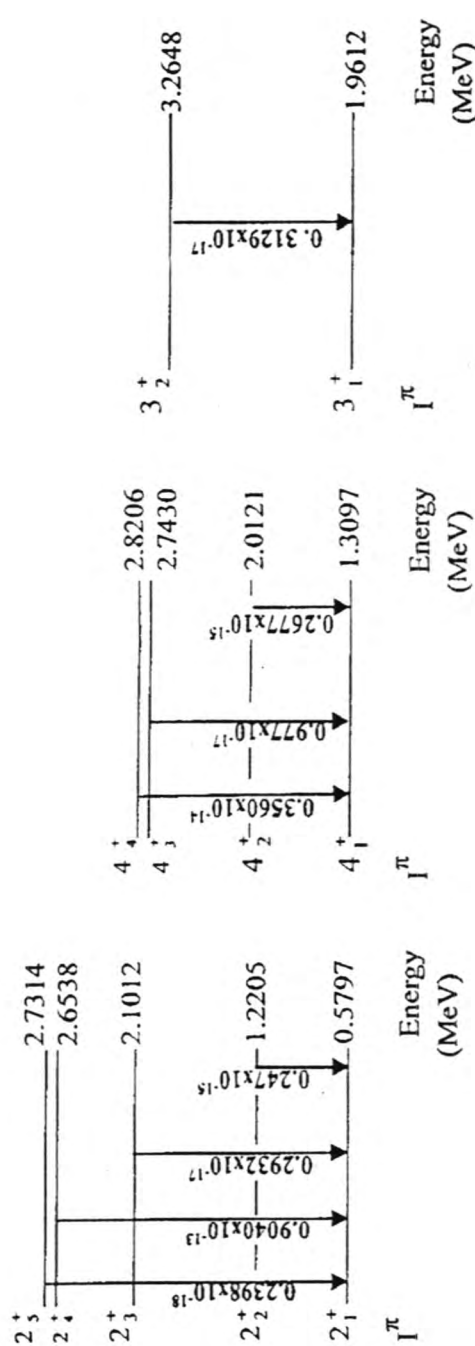
الديناميكي (5) U مما سبق نستنتج ان التصرف السادس لهذا النظير يقع ضمن التناظر الديناميكي (5) U ويشارك معه (6) O أي أن تصرفه يقع ضمن المنطقة الانتقالية (6)-O(6)-(5).

الجدول (3) يبين نسب الطاقات النظرية المحسوبة حالياً مقارنة بالقيم المثلية والعملية

Energy Ratios	Dynamical Symmetry and Ideal Ratios [23] Energy			$^{134}_{56} Ba_{78}$
	U(5)	O(6)	SU(3)	
$E(4_1^+)$ $E(2_1^+)$	2	2.5	3.3	3.29 2.225 ⁽¹⁶⁾
$E(6_1^+)$ $E(2_1^+)$	3	4.5	7	6.8 4.457 ⁽¹⁶⁾
$E(8_1^+)$ $E(2_1^+)$	4	7	12	11.64 6.705 ⁽¹⁶⁾

ومما سبق مناقشة لنسب الطاقات نستنتج ما يأتي :

1. ظهور كما غير المستقرة في تصرف النظير $Ba-134$.
2. يكون التناظر الديناميكي (5) U هو التصرف السادس للنظير $Ba-134$ ويشاركه (6) O الذي يوضحه الجدول (3).



الشكل (2) احتمالية الانتقالات المغناطيسية ثنائية القطبية للجسيم الواحد لنظير الباريوم Ba-134

الاعلومات الخاصة بمعادلة الانتقالات المغناطيسية ثنائية القطب

الجدول (4) يبين الاعلومات التي حصلنا عليها لكل من حد الجسيم الواحد وحدود الجسيم الواحد والجسمين للعدد الكلي للبوزونات لافضل تطابق مع القيم العملية المتوفرة لكل من $B(M1, \mu_i, g_i)$ للنظير قيد البحث إذ أن β'_i تمثل الاعلومة الخاصة بتفاعل بوزونات i (حد الجسيم الواحد) $\alpha'_i, \delta'_i, \gamma'_i$ تمثل الاعلومات الخاصة بتفاعل بوزونات s مع بوزونات i (حد الجسيمان).

جدول (4) : الاعلومات الخاصة بمعادلة مؤثر الانتقالات المغناطيسية لحدود الجسيم الواحد و الجسيمين للعدد الكلي للبوزونات

Isotopes		$^{134}_{56} Ba_{78}$			
Parameters(μ)					
β'_1	β'_1	α'_1	γ'_1	δ'_1	n'_1
0.6650	0.6500	0.0010	0.02289	0.0350	0.004946
1-Body					(1%) Body

احتمالية الانتقالات المغناطيسية ثنائية القطب

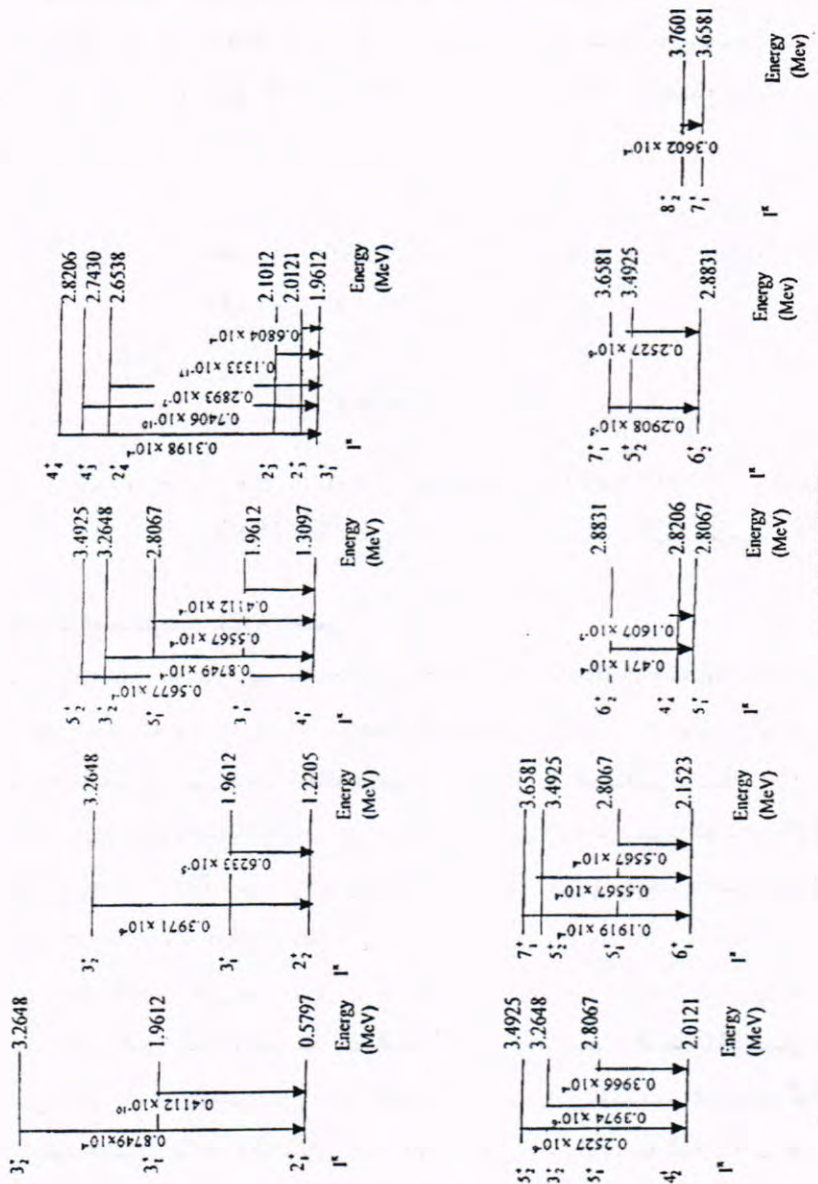
الجدول (5) يبين عناصر المصفوفة المختزلة واحتمالية الانتقالات المغناطيسية ثنائية القطب للنظير قيد البحث لحدود الجسيم الواحد فقط. الشكل (2) يبين احتمالية الانتقالات المغناطيسية ثنائية القطب بين مستويات الطاقة لحدود الجسيم الواحد فقط والشكل (3) يبين احتمالية الانتقالات المغناطيسية ثنائية القطب بين مستويات الطاقة لحدود الجسيم الواحد والجسيمين فقط ونلاحظ الانتقالات من $7/1 \rightarrow 7/1$ و $7/1 \rightarrow 7/1 - \beta$ انها تنخفض عند $Ba-134$ وهذا يعود الى تفاعل بوزونات d فيما بينها.

الجدول (6) يحتوي على قيم m_1 و m_2 لحد الجسيم الواحد وحدود الجسيم الواحد والجسيمين للعدد الكلي للبوزونات ومقارنتها مع القيم العملية والقليل جداً. الشكل (4) يبيّن قيم كلمن عزم ثانوي القطب المغناطيسي m_1 و m_2 كدالة للزخم الزاوي لحدود الجسيم الواحد ومقارنتها مع حدود الجسيم الواحد والجسمين للعدد الكلي للبوزونات للمستويات $5^+, 4^+, 3^+$ على التوالي مقارنة مع نتائج القياسات العملية المتوفرة للمستوى 2^+ فقط والتي كانت متطابقة معها، ونلاحظ أنه في حالة الجسيم الواحد تتطابق المستويات بسبب تفاعل بوزونات d .

تأثير عزم ثالث القطب المغناطيسي على التركيب النووي لنظير الباريوم

ابيان طارق العلوى وجماعتها

اما في حالة الجسيم الواحد والجسيمين نلاحظ أنها تتفصل عند المستويات الثانوية بسبب تأثير تفاعل بوزونات S و D مع بعضها ونلاحظ ان قيم Lg تتناسب مع مؤثر الزخم الزاوي \hat{L} .



شكل (3) احتمالية الانتقالات المغناطيسية القطب (M1) B(M1) للجسيم الواحد والجسيمين لنظير الباريوم Ba-134

جدول رقم (5) عناصر المصفوفة المختزلة واحتمالية الانتقالات المغناطيسية ثنائية القطب للجسيم الواحد كدالة للعدد الكلي للبيوزونات لنظائر الباريوم $Ba(1 + 134)$

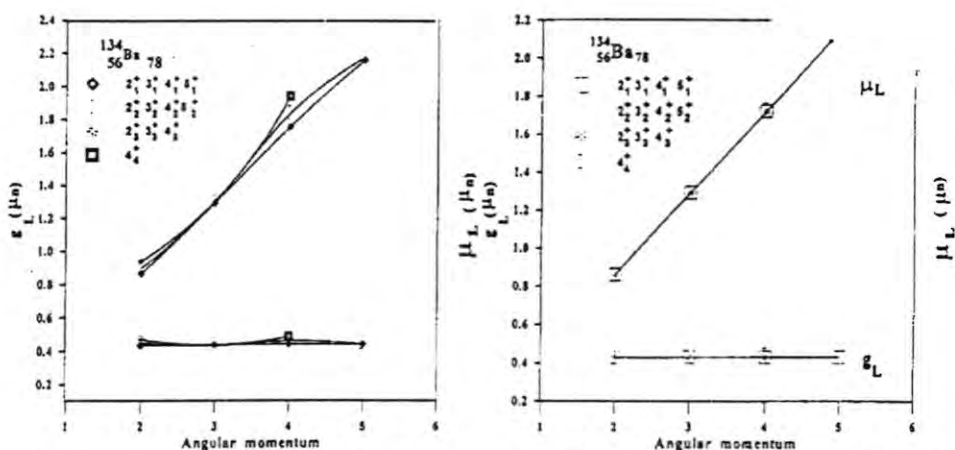
Spin Sequences	$^{134}_{56} Ba_{78}$				
	$\langle L_f \parallel \hat{T}^{(M1)} \parallel L_i \rangle$ (μn)		Spin Sequences	$\langle L_f \parallel \hat{T}^{(M1)} \parallel L_i \rangle$ (μn)	$B(M1)$
$2_2^+ \rightarrow 2_1^+$	0.3476×10^{-7}	0.2470×10^{-15}	$4_3^+ \rightarrow 4_1^+$	-0.9380×10^{-8}	0.9770×10^{-17}
$4_2^+ \rightarrow 4_1^+$	0.4904×10^{-7}	0.2677×10^{-15}	$2_3^+ \rightarrow 2_2^+$	0.2954×10^{-8}	0.1745×10^{-17}
$2_1^+ \rightarrow 2_2^+$	0.1275×10^{-7}	0.3254×10^{-14}	$2_3^+ \rightarrow 2_1^+$	-0.1095×10^{-8}	0.2398×10^{-18}
$2_3^+ \rightarrow 2_1^+$	-0.3829×10^{-8}	0.2932×10^{-17}	$4_4^+ \rightarrow 4_3^+$	0.7596×10^{-7}	0.6411×10^{-15}
$2_4^+ \rightarrow 2_2^+$	-0.6723×10^{-6}	0.9040×10^{-13}	$4_4^+ \rightarrow 4_2^+$	-0.1771×10^{-5}	0.3496×10^{-12}
$2_4^+ \rightarrow 2_1^+$	-0.7065×10^{-7}	0.9984×10^{-15}	$4_4^+ \rightarrow 4_1^+$	-0.1790×10^{-6}	0.3560×10^{-14}
$4_3^+ \rightarrow 4_2^+$	0.3124×10^{-7}	0.1084×10^{-15}	$3_2^+ \rightarrow 3_1^+$	-0.4680×10^{-8}	0.3129×10^{-17}

جدول رقم (6) : قيم g_L و μ_L النظرية والعملية لحد الجسيم الواحد وحدود الجسيم الواحد والجسيمين للعدد الكلي للبيوزونات لنظائر الباريوم ($Ba(A = 134)$)

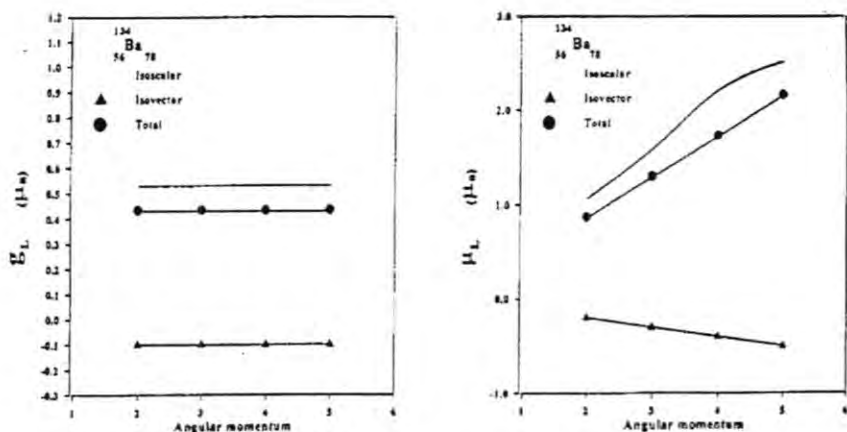
State	$^{134}_{56} Ba_{78}$			
	$g_L (\mu n)$		$\mu_L (\mu n)$	
	1-Body	(1 & 2) Body	1-Body	(1 & 2) Body
2_1^+	0.4303	0.4320 0.43 ± 0.05 ^a	0.8607	0.8648 0.8600 ^b
2_2^+	0.4303	0.4484	0.8607	0.8968
2_3^+	0.4303	0.4692	0.8607	0.9384
3_1^+	0.4303	0.4361	1.2910	1.2940
3_2^+	0.4303	0.4332	1.2910	1.2990
3_3^+	0.4303	0.4357	1.2910	1.3070
4_1^+	0.4303	0.4381	1.7210	1.7520
4_2^+	0.4303	0.4585	1.7210	1.8340
4_3^+	0.4303	0.4843	1.7210	1.9370
4_4^+	0.4303	0.4846	1.7210	1.9380
5_1^+	0.4303	0.4390	2.1510	2.1550
5_2^+	0.4303	0.4399	2.1510	2.1720

^a Reference[17].

^b Reference[15].



الشكل (4 و 5) العزم المغناطيسى ثانى القطب والعامل g_L كدالة للزخم الزاوي للجسيم الواحد والجسيمين للعدد الكلى للبوزونات لنظير الباريوم 134



الشكل (6 و 7) العزم المغناطيسى ثانى القطب g_L والعامل g_L كدالة للزخم الزاوي للجسيم الواحد للعدد الكلى للبوزونات لنظير الباريوم 134

الجدول (7) يبين عناصر المصفوفة المختللة واحتمالية الانتقالات المغناطيسية ثنائية القطب لحدود الجسيم الواحد والجسيمين للعدد الكلي للبيوزونات لنظير الباريوم 134. الشكل (5) يبين احتمالية الانتقالات المغناطيسية لحدود الجسيم الواحد والجسيمين وتلاحظ أن أقوى الانتقالات هي $g \rightarrow g$ وهي تخضع لقواعد الانتقالات $M1$ أما الانتقالات من $g \rightarrow g$ و الممتدة $g \rightarrow 2^+$ وهي تخضع لقواعد الانتقالات $M1$ فكانت احتمالية الانتقال المغناطيسي ثانوي القطب لها صعوبة جداً، و جميع هذه الانتقالات تتحفظ بزيادة الاعداد الكتالية بسبب اقترابها من القشر المغلقة (Closed shell).

جدول (7) عناصر المصفوفة المختللة واحتمالية الانتقالات المغناطيسية ثنائية القطب لحدود الجسيم الواحد والجسيمين للعدد الكلي للبيوزونات لنظير الباريوم 134

Spin Sequences	$^{134}_{56} Ba_{78}$				
	$\langle L_f \parallel \hat{T}^{(M1)} \parallel L_i \rangle$ (μn)	$B(M1)$ (μn) ²	Spin Sequences	$\langle L_f \parallel \hat{T}^{(M1)} \parallel L_i \rangle$ (μn)	$B(M1)$ (μn) ²
$4_1^+ \rightarrow 2_1^+$	0.6605×10^{-1}	0.4847×10^{-5}	$2_4^+ \rightarrow 4_1^+$	-0.3803×10^{-3}	0.2893×10^{-7}
$2_2^+ \rightarrow 2_1^+$	-0.6765×10^{-2}	0.9155×10^{-3}	$2_4^+ \rightarrow 2_1^+$	-0.2113×10^{-3}	0.8932×10^{-8}
$3_1^+ \rightarrow 2_2^+$	0.6605×10^{-2}	0.6233×10^{-5}	$4_3^+ \rightarrow 4_2^+$	0.7702×10^{-7}	0.6591×10^{-15}
$3_1^+ \rightarrow 4_1^+$	0.1696×10^{-1}	0.4112×10^{-4}	$4_3^+ \rightarrow 3_1^+$	0.2581×10^{-8}	0.7406×10^{-18}
$3_1^+ \rightarrow 2_1^+$	0.1691×10^{-1}	0.4112×10^{-4}	$4_3^+ \rightarrow 2_2^+$	0.4416×10^{-8}	0.2166×10^{-12}
$4_2^+ + 3_1^+$	-0.2474×10^{-1}	0.6804×10^{-4}	$4_3^+ \rightarrow 4_1^+$	0.6793×10^{-8}	0.5128×10^{-17}
$4_2^+ \rightarrow 2_2^+$	-0.1667×10^{-2}	0.3088×10^{-6}	$4_3^+ \rightarrow 2_1^+$	0.2581×10^{-8}	0.7466×10^{-18}
$4_2^+ \rightarrow 4_1^+$	-0.1657	0.3053×10^{-2}	$5_1^+ \rightarrow 6_1^+$	-0.2474×10^{-1}	0.5567×10^{-4}
$4_2^+ \rightarrow 2_1^+$	-0.2474×10^{-1}	0.6804×10^{-1}	$5_1^+ \rightarrow 4_2^+$	0.6605×10^{-2}	0.3966×10^{-5}
$2_3^+ \rightarrow 4_2^+$	0.4416×10^{-8}	0.3900×10^{-17}	$5_1^+ \rightarrow 4_1^+$	-0.2474×10^{-1}	0.5567×10^{-4}
$2_3^+ \rightarrow 3_1^+$	0.2581×10^{-8}	0.1333×10^{-17}	$2_5^+ \rightarrow 2_2^+$	0.1356×10^{-7}	0.3682×10^{-16}
$2_3^+ \rightarrow 2_2^+$	0.2968×10^{-7}	0.1762×10^{-15}	$2_5^+ \rightarrow 2_1^+$	-0.2133×10^{-8}	0.9093×10^{-18}
$2_3^+ \rightarrow 4_1^+$	0.2581×10^{-6}	0.1333×10^{-17}	$4_4^+ \rightarrow 5_1^+$	-0.3803×10^{-3}	0.1607×10^{-7}
$2_1^+ \rightarrow 2_1^+$	0.2910×10^{-8}	0.1694×10^{-17}	$4_4^+ \rightarrow 4_3^+$	0.5861×10^{-7}	0.3817×10^{-15}
$6_1^+ \rightarrow 4_2^+$	0.6605×10^{-2}	0.3356×10^{-5}	$4_4^+ \rightarrow 4_2^+$	0.1639	0.2988×10^{-2}
$6_1^+ \rightarrow 4_1^+$	0.1696×10^{-1}	0.2214×10^{-4}	$4_4^+ \rightarrow 3_1^+$	0.1696×10^{-1}	0.3198×10^{-4}
$2_4^+ \rightarrow 4_2^+$	0.2455×10^{-1}	0.1205×10^{-3}	$4_4^+ \rightarrow 4_1^+$	0.1752×10^{-3}	0.3412×10^{-8}
$2_4^+ \rightarrow 2_3^+$	0.2070×10^{-2}	0.8577×10^{-16}	$3_2^+ \rightarrow 4_2^+$	-0.1667×10^{-2}	0.3971×10^{-6}
$2_4^+ \rightarrow 3_1^+$	-0.3803×10^{-3}	0.2893×10^{-7}	$3_2^+ \rightarrow 3_1^+$	-0.1097	0.1719×10^{-2}
$2_4^+ \rightarrow 2_2^+$	0.6698×10^{-1}	0.8973×10^{-3}	$3_2^+ \rightarrow 2_2^+$	-0.1667×10^{-2}	0.3971×10^{-6}

الاعلومات الخاصة بمعادلة مؤثر الانتقالات المغناطيسية ثنائية القطب لبوزونات البروتونات وبوزونات النيوترونات

الجدول (8) بين الاعلومات التي حصلنا عليها لكل من حد الجسيم الواحد وحدود الجسيم الواحد والجسيمين لبوزونات البروتونات وبوزونات النيوترونات للحصول على قيم g_L ، g_T ، β_π' ، β_v' ، α_π' ، α_v' ، γ_π' ، γ_v' ، δ_π' ، δ_v' ، η_π' ، η_v' وذلك عناصر المصفوفة المختزلة وقيم (M1) B لغرض المقارنة وذلك لعدم توفر قيم عملية أو نظرية لهذا الغرض. إذ تمثل الاعلومة β' الاعلومة الخاصة بالمؤثر $\hat{L}_\pi = \hat{d}_\pi^+ \hat{d}_\pi^-$ و β_v' الاعلومة الخاصة بالمؤثر $\hat{L}_v = \hat{d}_v^+ \hat{d}_v^-$ لحدود الجسيم الواحد لمؤثر النظير العددي والاتجاهي.

جدول (8) : الاعلومات الخاصة بمعادلة مؤثر الانتقالات المغناطيسية لحدود الجسيم الواحد والجسيمين لعدد بوزونات البروتونات وعدد بوزونات النيوترونات

Isotopes		$^{134}_{56} Ba_{78}$			
Parameters (μn)					
β_π'	β_v'	α_π'	γ_π'	δ_π'	η_π'
0.0520	0.2676	0.0008	0.00003	0.0010	0.0044
β_π'	β_v'	α_π'	γ_π'	δ_π'	η_π'
0.4485	0.0195	0.0130	0.00001	0.0018	0.0052
1-Body			(1&2) Body		

احتمالية الانتقالات المغناطيسية ثنائية القطب بدلاة مرتبة النظير العددي والنظير الاتجاهي Isovector , Isoscalar

في موضوع هذا البحث تم تطوير البرنامج الذي كان يحسب عزم ثالثي القطب المغناطيسي واحتمالية الانتقالات المغناطيسية ثنائية القطب وعناصر المصفوفة المختزلة وكذلك العامل g_L باستخدام المتجهات الذاتية (Eigen Vectors) لكي يمكن من حساب القيم اعلاه باستخدام المتجهات العددية والاتجاهية وذلك بعد فصل (Eigen Vectors) الى جزئين الاول المتجهات الذاتية لبوزونات البروتونات والثاني المتجهات الذاتية لبوزونات النيوترونات ولنظير

الباريوم Ba-134. اما الجدول (9) يبين قيم μ_{L} بدلالة مركبة النظير العددي ومركبة النظير الاتجاهي والقيم الكلية لكل منها لغرض القمارنة وكانت النتائج متوافقة. الشكل (6) يوضح قيم (μ_{L}) بدلالة مركبة النظير العددي ومركبة النظير الاتجاهي و (μ_{L}) الكلية للمستويات $5_1^+, 4_1^+, 3_1^+, 2_1^-$ للجسيم الواحد كدالة للزخم الزاوي ونلاحظ من خلال الشكل ان قيم (μ_{L}) للنظير العددي تزداد بزيادة الزخم الزاوي للمستويات في اعلاه. اما قيم (μ_{L}) للنظير الاتجاهي فهي تتضمن بزيادة الاعداد الكلية بزيادة الزخم الزاوي، اما الشكل (7) يوضح قيم g_L للمستويات $5_1^+, 4_1^+, 3_1^+, 2_1^-$ للنظير العددي والنظير الاتجاهي و (μ_{L}) الكلية ونلاحظ ايضاً تطابق هذه المستويات بسبب تفاعل نوع واحد من البوزوونات مما يؤدي الى تساوي العامل B_L للبوزوون مع العامل μ_{L} للمستوى كما اظهرت النتائج تطابق جيد مع قيم μ_{L} للجسيم الواحد قبل الفصل مما يؤكد صحة تأثير مركبة النظير العددي والاتجاهي في عملية فصل العدد الكلي للبوزوونات.

جدول (9): قيم عزم ثانى القطب المغناطيسي لنسب μ_{L} والعامل μ_{L} النظرية لحد الجسيم الواحد
بدلالة النظير العددي والنظير الاتجاهي لنظير الباريوم 134

Isotope S	State I^π	$\mu_{\text{L}}(\mu_n)$			$G_{\text{L}}(\mu_n)$		
		Isoscalar	Isovector	Total	Isoscalar	Isovector	Total
$^{134}_{56} \text{Ba}_{78}$	2_1^+	1.0640	-0.1996	0.8608	0.5302	-0.0998	0.4304
	2_2^-	4.4530	-0.0838	0.3614	0.2226	-0.0419	0.1807
	3_1^+	1.5900	-0.2994	1.2910	0.5302	-0.0998	0.4304
	3_2^+	0.6679	-0.1257	0.5422	0.2226	-0.0419	0.1807
	4_1^+	2.2100	-0.3993	1.7220	0.5302	-0.0998	0.4304
	4_2^-	0.8906	-0.1676	0.7229	0.2226	-0.0419	0.1807
	5_1^+	2.6510	-0.4991	2.1520	0.5302	-0.0998	0.4304

REFERENCES

- 1- K.S. Krane. Introduction Nuclear Physics. Ed. Hall Day. D, Pub. John Wiley and Sons, pp 333-334 (1987).
- 2- A. Bohr and B. Mottelson. Nuclear Structure. Ed. Benjamin with Pub. Inc. New York, Vol. I Single particle motion, pp 336-337, pp343-344 (1969)
- 3- H. Seimat and J. Al Bright. Introduction to Atomic and Nuclear Physics. Holt Rintert and Winston, Inc. pp. 559-560 (1970)

4- عادل منيب. الفيزياء النووية. كلية العلوم، جامعة الموصل، ص 309-77، 311 (1996)

- 5- A. Deshalit and H. Feshback. Theoretical Nuclear Physics. Ed. Feshback, Herman Joint Author, Pub. John Wiley and Sons, p744 (1974).
- 6- A. Arima and F. Iachello. The interacting Boson Model. Ed. F. Iachello, Pub. Syndicate of University of Cambridge, England (1987).
- 7- D. Bonatsos. Interacting Boson Model of Nuclear Structure. Ed. P.P.E. Hodgson, Pub. United States Oxford University Press. New York (1988).
- 8- A. Arima, A. Otsuk and F. Iachello. Nuclear Shell Model and Interacting Bosons. Nucl. Phys. A, Vol. 309, pp. 1-33 (1978).
- 9- O. Sholten. Microscopic Calculation for Interacting Boson Model. Phys. Rev. C, Vol. 28, pp. 1783-1790 (1983).
- 10- L. Zamick. Remark on Magnetic Moments. Phys. Rev. C, Vol. 15, pp.824-826 (1977).
- 11- J.M. Brennan, et.al. Magnetic Moment of 2_1^+ States of even-even Pd., Cd, Ba isotopes. Phys. Rev. C, Vol. 21, pp. 574-578 (1980).
- 12- J. Sau, K. Heyde, E.A. Henry and R.A. Meyer. Influence of the M1 Tensor Term for Transitions Between Levels of the Tow Proton Nucleus ^{134}Te Populated in the Beta Decay of 10-s ^{134}Sb . Phys. Rev. C, Vol 25, pp3193-3195 (1982).
- 13- E. Lipparini and S. Stringari. Isovector M1 Potational states in Defomed Nuclei. Phys. Lett. B, Vol. 130, pp.139-143 (1983).
- 14- D.R. Bes and R.A. Broglia. Rotational Isovector $K^\pi=1^+$ Mode in Deformed Nuclei. Phys. Lett. B, Vol. 137, pp 141-144 (1984).
- 15- M. Sambaturo et.al., On Magnetic Dipole Properties in the Nutron-Proton IBA Model. Nucl. Phys. A, Vol 423, pp 333-349 (1984).
- 16- A.E.L. Dieperink. The Nutron-Proton Degree of freedom in the Model. Nucl. Phys. A, Vol 421, pp 189C-204C (1984).
- 17- G.M. Ledere, E. Brown and Snihab, Table of Isotopes 7th editions (1978).

تأثير التلدين على الخواص البصرية لأغشية

 $Zn_xCd_{1-x}S$ الرقيقة

ياسين نجم عبيد ، خالد سلمان ابراهيم ، جاسم محمد صالح
قسم الفيزياء - كلية العلوم - الجامعة المستنصرية

ABSTRACT

In the present work, we have studied the optical properties of thin $Zn_xCd_{1-x}S$ before and after annealing. Which are prepared by thermal films & chemical pyrolysis's method at substrate temperature (653)K, thickness is about 2500Å. The annealing processes were carried on these films at different temperatures (373, 423, 473, 523)K for one hour. The energy gap was calculated through absorption and transmission spectrum for two direct transitions allowed and forbidden. The optical constant (absorption coefficient, extinction coefficient, reflective, refractive index) in the range (200-900) nm was calculated. The results show forbidden energy gap decreases in proportion to the increase of cadmium. The energy gap decreases and increase by annealing. The optical constant shift to the low photon energy with the increase of the proportion of cadmium in pure, annealed compound.

الخلاصة

تمت دراسة الخواص البصرية لأغشية $Zn_xCd_{1-x}S$ قبل وبعد التلدين والمحضر بطريقة الرش الكيميائي الحراري وبدرجة حرارة الأساس K(653) ويسنن 2500Å. وتم تلدين هذه الأغشية لدرجات حرارة تلدين مختلفة K(373, 429, 473, 523) ولمدة ساعة واحدة. ومن خلال طيف الامتصاصية والتلفازية تم حساب فجوة الطاقة الممنوعة للانتقالين المباشر المسموحة والممنوع وحساب الثوابت البصرية (معامل الامتصاص ومعامل الخمود والانعكاسية ومعامل الانكسار) ضمن مدى طول موجي (200-900 nm) وقد تبين ان فجوة الطاقة الممنوعة تقل

يسين نجد عبيد وجماعته

بزيادة نسبة الكلسيوم، وتقل وتزداد بالتلدين، وأن الثوابت البصرية ترتفع نحو الطاقات الواطنة مع زيادة الكلسيوم في المركب النقي والمدن.

المقدمة

تصنف المواد في الطبيعة من حيث التوصيلية الكهربائية Electrical Conductivity

إلى كل من⁽¹⁾

1. مواد موصلة.

2. مواد عازلة.

3. مواد شبه موصلة

إن الأغشية $Zn_{1-x}Cd_xS$ المستخدمة في البحث هو شبه موصل يوكون قابلية على التوصيل الكهربائي في درجة حرارة الغرفة، بحدود $(10^8 \Omega^{-1} \cdot cm^3)$ وتكون عازلة عن درجة الحرارة الوطنية (K0) وتتأثر توصيليتها بعوامل كثيرة منها حرارة الضوء، المجال المغناطيسي، وأن حساسية شبه الموصل تجاه هذه العوامل تجعله مادة بالغة الأهمية في التطبيقات الإلكترونية⁽²⁾.

أن الأغشية المحضرة بطريقة الرش الكيميائي الحراري هي أغشية ذات نوعية جيدة وتصلاح في العديد من التطبيقات العلمية والصناعية وبكلفة رخيصة مقارنة مع اطرق الأخرى⁽³⁾. فإن هذه الأغشية المحضرة بهذه الطريقة تصلاح في استخدامات عديدة كالتطبيقات الفولاذية⁽³⁾ وساهمت تقنية الأغشية الرقيقة مساهمة كبيرة في دراسة شبكات الموصلات واعطت فكرة واضحة عن العديد من خواصها الفيزيائية والكيميائية⁽⁴⁾.

إن أغشية $Zn_{1-x}Cd_xS$ قد حضرت بنسب مختلفة لـ (X). وقد حسب معامل الامتصاص من طيف الامتصاصية⁽⁵⁾ قبل وبعد التلدين من خلال المعادلة الآتية :

$$\alpha = 2.303 A/t \quad \dots\dots(1)$$

حيث فجوة انتقال البصرية لانتقال المسموح والمنعون قبل وبعد التلدين من خلال

المعادلة الآتية⁽⁶⁾:

$$Ahf = A(hf - E_g^{opt})^r \quad \dots\dots(2)$$

حيث ان α : معامل الامتصاص، E_g^{opt} فجوة الطاقة البصرية
 hf : طاقة الفوتون الممتص ، A : ثابت يعتمد على خواص كل من حزمتي التكافؤ
 والتوصيل. R : معامل اسي ويساوي $1/2$ في حالة الانتقال المباشر، $2/3$ في حالة الانتقال
 المباشر الممنوع.

وقد حسبت الثوابت البصرية ومنها معامل الخmod الذي يعطي بالعلاقة الآتية⁽⁶⁾ قبل
 وبعد التلدين.

$$K_0 \propto \lambda / 4\pi \quad \dots\dots(3)$$

وحسب الانعكاسية قبل وبعد التلدين من طيف الامتصاصية والنفاذية بالاستعانة بالعلاقة
 التالية :

$$R = I - A - T \quad \dots\dots(4)$$

وتم حساب معامل الانكسار قبل وبعد التلدين من المعادلة التالية⁽⁷⁾

$$n_0 = 1 + R^{1/2} / 1 - R^{1/2} \quad \dots\dots(5)$$

الجانب العملي

حضرت الاغشية على قواعد من الزجاج العادي وتم تنظيفها تنظيفاً جيداً أو لا بالماء
 الجاري وبعدها بالكحول وجهاز الموجات فوق الصوتية. ومن ثم حضر محلول كبريتيد الزنك
 ZnS ⁽⁸⁾ من مادتي $ZnCl_2$ وبعياربة $0.05M$ مع الثايريا بعياربة $M(0.05)$ وكذلك حضر
 محلول كبريتيد الكادميوم CdS ⁽⁸⁾ من مادتي $CdCl_2$ وبعياربة $0.05M$ مع الثايريا بعياربة
 $0.05M$ ومن ثم مزج محلول بالنسبة الوزنية المطلوبة. وقد رسّبت المادة على القواعد

ياسين نجد عبد وجماعته

الزجاجية المسخنة الى درجة حرارة K(653) بواسطة جهاز الرش المصمم لهذا الغرض (أن تفاصيل عملية الرش نشرت في بحوث سابقة⁽⁹⁾).

وقد تم تبريد القواعد بعد الرش بمعدل ترسيب مناسب بحيث لا يؤدي الى تأكسد الأغشية عند التبريد الطويل⁽¹⁰⁾.

النتائج والمنافسة

من خلال المعادلة رقم (1) تم حساب معامل الامتصاص قبل وبعد التلدين ويوضح الشكل (1) ان معامل الامتصاص يزداد او يقل بعد التلدين. فإذا ازداد حسب درجات التلدين فإنه ناتج عن وجود العيوب البلورية وكذلك المستويات الموضعية الموجودة داخل فجوة الطاقة، أما إذا قل معامل الامتصاص بعد التلدين وحسب درجات التلدين بالنسبة لقيم (X) فإن عملية التلدين أدت إلى تقليل العيوب البلورية وكذلك تقليل من المستويات الموضعية داخل فجوة الطاقة البصرية التي قد تنتج عن وجود مراكز الفنص (Trop Centers) أو عيوب في التركيب البلوري.

الانتقال المباشر المسموح

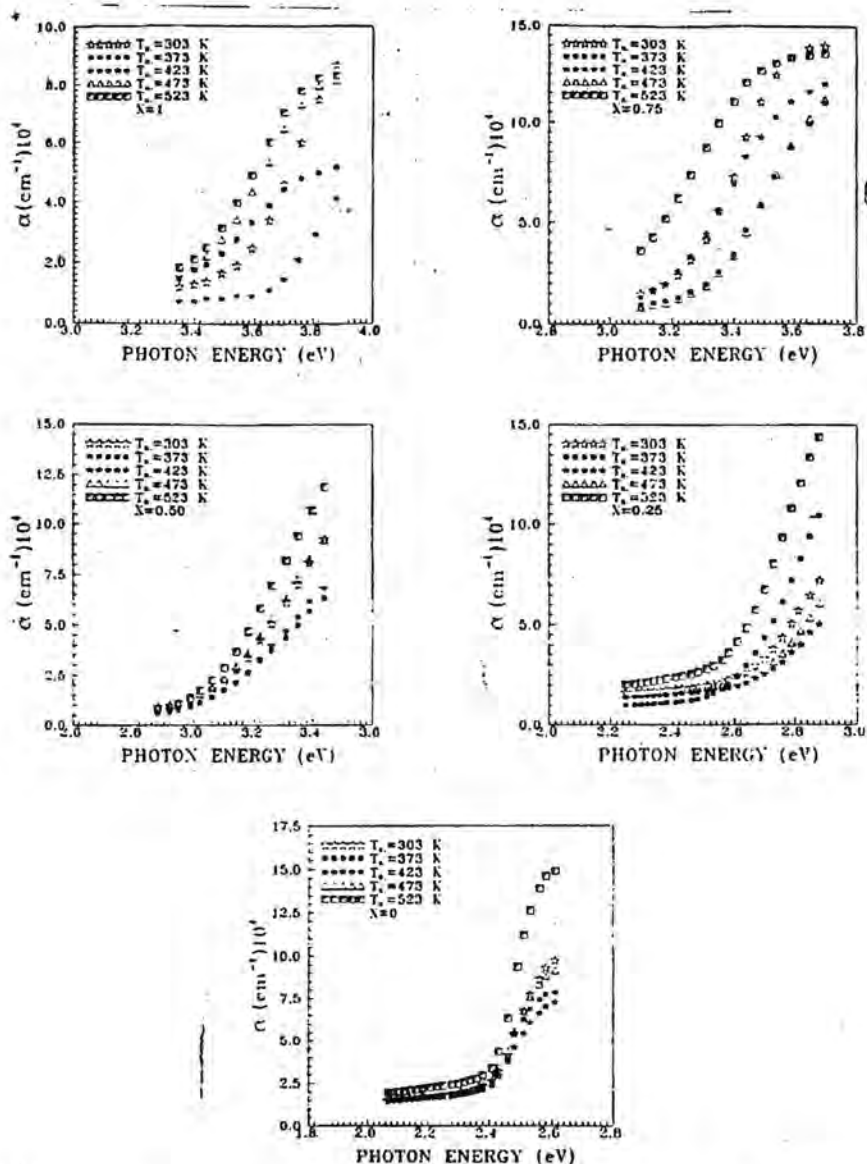
يمكن الحصول على قيمة فجوة الطاقة البصرية للانتقال المباشر المسموح قبل وبعد التلدين لمدة ساعة واحدة من خلال المعادلة (2)⁽¹¹⁾ حيث تكون قيمة α لهذا الانتقال $(1/2)$ وتصبح المعادلة (1) بالشكل الآتي :

$$\alpha hf = A(hf - E_g^{opt})^{1/2}$$

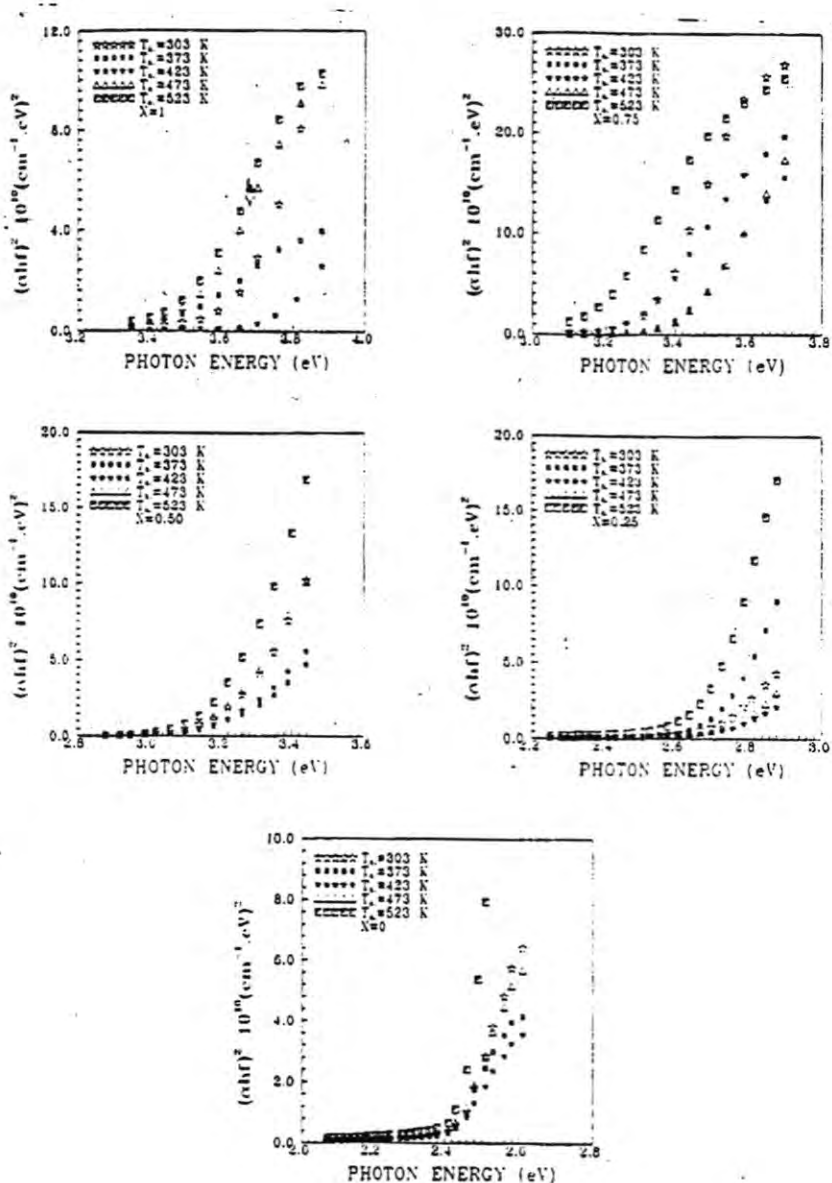
وبرسم العلاقة الخطية بين $\alpha hf^{1/2}$ وبين طاقة الفوتون الساقطة نحصل على قيمة فجوة الطاقة البصرية الممنوعة لهذا الانتقال.

يبين الشكل (2) قيم فجوة الطاقة البصرية لأغشية $Zn_xCd_{1-x}S$ قبل وبعد التلدين ومن خلال الجدول (1) نلاحظ أن قيم فجوة الطاقة البصرية لأغشية $Zn_xCd_{1-x}S$ تقل كلما ازدادت قيمة الكادميوم في الغشاء وذلك لصغر قيمة فجوة الطاقة لـ CdS مقارنة مع الـ ZnS.

وتلاحظ ايضاً من الجدول رقم (1) ان قيمة فجوة الطاقة تزداد بعد التلدين عند قيم $X=0.50, 0.25$ ويقرن ذلك ان التلدين يؤدي الى تقليل العيوب السطحية.



شكل (1) تغير معامل الامتصاص مع طاقة الفوتون للغشاء (Zn, Cd, S) قبل وبعد التلدين.



شكل (2) نجارة الطاقة البصرية المتنوعة للانقال المباشر المسموح لغشاء $(Zn_xCd_{1-x}S)$ قبل وبعد التلدين.

جدول رقم (1) قيم فجوة الطاقة الممنوعة للانتقال المباشر المسموح لأغشية $Zn_xCd_{1-x}S$ قبل وبعد التلدين

X نسبة	Annealing	R.TK	373K	423K	473K	523K
X=1	$E_g^{opt}(eV)$	3.66	3.47	3.74	3.52	3.51
X=0.75	$E_g^{opt}(eV)$	3.34	3.42	3.30	3.42	3.20
X=0.50	$E_g^{opt}(eV)$	3.23	3.24	3.24	3.24	3.24
X=0.25	$E_g^{opt}(eV)$	2.69	2.71	2.72	2.71	2.70
X=0	$E_g^{opt}(eV)$	2.44	2.43	2.42	2.42	2.42

للأغشية والمتمثلة بالأوصىر المتبدلة والفراغات فقل بذلك كثافة المستويات الموضعية داخل الفجوة الطاقة البصرية⁽¹¹⁾.

وكذلك نلاحظ قيم فجوة الطاقة نقل بعد عملية التلدين عند قيمة (0, X=1, 0.75, 0.50, 0.25) والسبب في ذلك هو زيادة كثافة المستويات الموضعية⁽¹²⁾.

الانتقال المباشر الممنوع

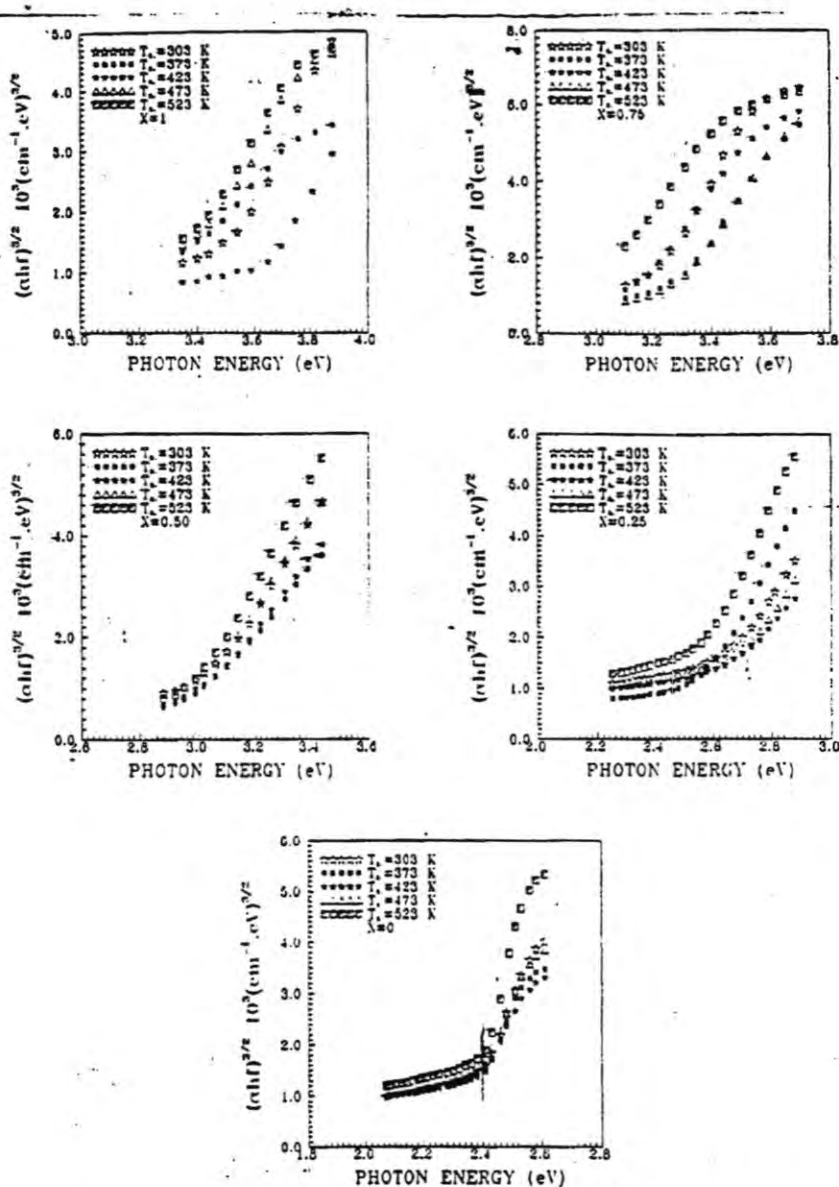
يمكن حساب فجوة الطاقة البصرية للانتقال المباشر الممنوع قبل وبعد التلدين من خلال المعادلة (2)⁽¹¹⁾ حيث تكون قيمة ($\alpha = 3/2$) وبذلك برسم علاقة بين $(\alpha h\nu)^{3/2}$ وبين طاقة الفوتون الساقطة ($h\nu$) وبمد الجزء المستقيم من المنحنى ليقطع المحور طاقة الفوتون عند النقطة $= 0$ $(\alpha h\nu)^{3/2}$ نحصل على قيمة فجوة الطاقة البصرية الممنوعة لهذا الانتقال.

الشكل (3) للأغشية $Zn_xCd_{1-x}S$ الرقيقة يوضح قيمة فجوة الطاقة البصرية قبل وبعد التلدين.

كما ان النتائج المستحصلة من خلال الاشكال تم تدوينها في الجدول رقم (2) ليوضح لنا قيم فجوة الطاقة البصرية للانتقال المباشر الممنوع وان قيم فجوة الطاقة ترداد أو نقل بزيادة درجة حرارة التلدين يكون تفسيرها نفس ما جاء في تفسير الانتقال المباشر المسموح. وان فجوة الطاقة نقل بزيادة نسبة الكادميوم.

تأثير التلدين على الخواص البصرية لأغشية $Zn_xCd_{1-x}S$ الرقيقة

ياسين نجد عبد وجماعته



شكل (3) فجوة الطاقة البصرية المترعة للإنتقال المباشر المنبع لأغشية $(Zn_xCd_{1-x}S)$ قبل وبعد التلدين.

جدول رقم (2) قيم فجوة الطاقة البصرية للانتقال المباشر الممنوع قبل وبعد التلدين لأشباه



نسبة X	Annealing	R.TK	373K	423K	473K	523K
X=1	$E_g^{\text{opt}}(\text{eV})$	3.42	3.27	3.53	3.29	3.22
X=0.75	$E_g^{\text{opt}}(\text{eV})$	3.14	3.22	3.06	3.20	3.01
X=0.50	$E_g^{\text{opt}}(\text{eV})$	2.93	2.94	2.94	2.94	2.94
X=0.25	$E_g^{\text{opt}}(\text{eV})$	2.55	2.51	2.49	2.57	2.48
X=0	$E_g^{\text{opt}}(\text{eV})$	2.308	2.32	2.34	2.31	2.35

معامل الخمود (Ko) (Extinction Coefficient)

تم حساب معامل الخمود من خلال المعادلة (3)⁽⁶⁾

ويبين الشكل (4) تغير معامل الخمود مع طاقة الفوتون لأشباه $\text{Zn}_x\text{Cd}_{1-x}\text{S}$ قبل وبعد التلدين. ومن خلال هذا الاشكال نستطيع ملاحظة التشابه في طبيعة منحني معامل الخمود مع منحني الامتصاص وتغييرها مع طاقة الفوتون. اذ ان هذا التشابه ناتج من اعتماد حساب قيمة معامل الخمود على قيمة معامل الامتصاص وكما هو موضح من خلال المعادلة (3). وان زيادة او نقصان في معامل الخمود يعتمد على زيادة او نقصان معامل الامتصاص بعد التلدين وهو ما فسر عند حساب معامل الامتصاص.

تحديد المنطقة الأكثر تعرضاً لظاهرة الغبار في العراق لعام 2000

محمد حسن كاظم * ، واثق محسن الدليمي
الهيئة العامة للأنواء الجوية والرصد الزلزالي 2001

الخلاصة

مما لا شك فيه أن الغبار يشكل مصدراً مأولاً طبيعياً للبيئة في العراق وان الاختصاصيين في الانواع الجوية والمناخ يعرفون جيداً المسبيبات الحقيقة والمصدرية لظاهرة الغبار في العراق ويعرفون ايضاً اوقاتها وتواجدها في بيئه ومناخ العراق. وقد أصبحت ظاهرة الغبار في السنتين الاخيرتين ظاهرة مستمرة وملوثة للبيئة، لقد قادتنا البيانات والمعلومات الانوائية الموجودة في الهيئة العامة للأنواء الجوية في عمل دراسة لغرض تحديد المنطقة (Region) الأكثر تعرضاً لظاهرة الغبار بأشكاله المعروفة الثلاث: 1- غبار عالى. 2- غبار هاب. 3- عواصف ترابية او رملية. لعام 2000 او لا، ثم تحديد الاسباب الانوائية الموضوعية التي كانت السبب المباشر في تميز هذه المنطقة عن الآخر في ترداد ظاهرة الغبار من مناطق العراق. اعتمدنا في هذه الدراسة على القياسات والمعلومات الانوائية لاكثر من 28 محطة انوائية جوية (سطحية) تابعة للهيئة العامة للأنواء الجوية العراقية المتخصصة في رصد وتشخيص الظواهر الجوية والمناخية ان الغبار بأشكاله الثلاث هو احدى المهام التي برصدته هذه المحطات الانوائية في اوقاته المحددة وعلى طول فترة السنة. أن الغاية الأساسية في هذا العمل هو تحديد المنطقة الأكثر في العراق التي تعرضت لظاهرة الغبار بأشكاله الثلاث، مستفيدين من التداخل بين الدراسة الاحصائية للبيانات والمعلومات الانوائية والتحليل الانوائي في هذا التحديد.

ظاهرة الغبار في العراق

تعرض معظم مناطق العراق الى ظاهرة الغبار، وخاصة الواقعة غرب البصرة وجنوب الناصرية، البصرة السلمان، منطقة الجزيرة، وتبلغ ذروة هذه الظاهرة في اواخر فصل الربيع واوائل فصل الصيف. يعتبر العراق من المناطق التي تتعرض لظاهرة الغبار والعواصف

محمد حسن كاظم و واثق محسن الدليمي

التربوية بصورة متميزة ونکاد هذه الظواهر ان تكون مرافقه لجوه ومناخه في معظم اوقات السنة كما هو واضح في عام 1999 و 2000.

الاسباب الجغرافية (الموقعة)

يحد العراق من جنوبه وغربه صحراء واسعة هي امتداد لصحراء الجزيرة العربية، وهذا امتداد ايضاً للصحراء الافريقية الكبرى التي تميز بمناخ قاري صحراوي وتنصف هذه الصحاري بارتفاع معدلات درجات الحرارة لمعظم اوقات السنة وقلة الامطار، مما تساعد العناصر الانوائية والمناخية متداخلة مع بعضها في اثاره الأنترية في اقل سرعة رياح هابه على تلك المنطقة، وهناك عوامل جغرافية مؤثرة على مناخ وجو القطر لها تأثيرات مهمة في اثاره الغبار.

- ا- موقع العراق بالنسبة الى دوائر العرض.
- ب- موقع العراق بالنسبة للمسطحات المائية.
- ج- الارتفاع والانخفاض عن مستوى سطح الارض.

طبيعة التربة في العراق

تتميز التربة في العراق بالانواع التالية ادناه وتختلف من حيث تركيبها الكيماوي ونسيجها وشكلها درجة تسكيبها مع سطح الارض تتبع المناطق العراق ابتداء من جنوبه وصولاً الى شماله وكالاتي :

- أ- التربة ذات الطبيعة الرسوبيّة المحليّة : وتكون على هيئة ذرات صغيرة قليلة التماس مع بعضها ومع سطح الارض وتكون هذه الترب مميزة للأرض الجنوبيّة وغرب ونکاد عرضة للاحارة والتتصاعد الى الجو في حالة تعرضها الى اية ظروف مناخية وانوائية مثيرة للغبار باشكاله المعروفة.
- ب- التربة ذات الطبقة الرملية والتي تشكل الصحراء الغربية في منطقة غرب الفرات والجزيرة وبعض مناطق الوسط العراق وتكون هذه الترب ذات طبيعة رملية قليلة التماس مع سطح الارض ويسهل اثارتها وانتقالها الى منطقة اخرى مسببة العواصف الرملية وتجمع الكثبان الرملية في مناطق معينة في تلك المناطق مثل بيجي الرطب ومسببة ظاهرة التصحر ذات التأثيرات البيئية الخطيرة.

ت- التربة ذات الطبيعة الصخرية والتي تشمل المناطق الشمالية والمناطق الجبلية وتكون التربة ذات طبقة صخرية متماسكة مع بعضها ولا يسهل اثارتها ولذلك تعتبر ظاهرة الغبار في هذه المناطق قليلة.

الاسباب الانوائية

تشكل هذه الاسباب العوامل الرئيسية في اثارة الغبار وحدوث العواصف الترابية والرملية في العراق وهي :

أ- فترات الجفاف التي تقع بين فترات هطول الامطار المتباينة وهذا يظهر واضح في علمي 1999 و 2000 على سبيل المثال.

ب- المنخفض الجوي الهندي (الموسوم) الذي يتراكم فوق الخليج العربي والجزيرة العربية ويتجه نحو العراق ويبيّن تأثير معظم ايام الصيف والذي يسبب هبوب رياح شمالية غربية سائدة وبعض الاحيان رياح جنوبية شرقية وتصاحب تلك الرياح ارتفاع في درجات الحرارة وجفاف شديد.

ت- رساخ الخمسين التي يكون مصدرها الصحراء الكبرى في شمال افريقيا وبالأخص من السودان والتي تصل فترة تعاقبها الى ما يقارب الخمسين يوماً ابتدأ من شهر نيسان الى اواسط شهر مايس من كل عام وتكون هذه الرياح مرافقاً للمنخفض الجوي السوداني حيث تصل تأثيرات هذا المنخفض الى العراق مسببة تصاعد الغبار والعواصف الترابية والممطرة.

ث- الجبهات الهوائية وهي :-

1. تحدث ظاهرة الغبار والعواصف عند مرور جبهة باردة في موقع فيه جبهة حارة ذات رياح جنوبية الى الجنوبية الشرقية وتسمى بالقطاع الحار (Warm sector) المنطقه المحصوره بين الجبهتين مما يؤدي الى اثارة الغبار وحدوث عواصف ترابية.

2. عند عبور اخدود الضغط الجوي الواطي والعميق (Sharp trough) في الطبقة HPA (500) مع الرياح جنوبية الى جنوبية شرقية.

محمد حسن كاظم و وائق محسن الدليمي

3. قلة الامطار لمعدلات القياسات بعلاقة الامطار وظاهرة الغبار، بأنها علاقة عكسية، فيزياوية الامطار تقل من نشاط الغبار وقلة هطول الامطار تقل من تماسك التربة مع بعضها وتشييدها نحو اثارة الغبار وان عامي 1999 و 2000 خير دليل على هذه العلاقة.
4. طول ساعات فتره النهار صيفاً والذي يؤدي الى تسخين الهواء الملائم لسطح الارض ثم الى الاعلى مكونة حالة عدم الاستقرارية للهواء وتؤدي هذه التغيرات الهوائية (الحمل) الى رفع درجة الحرارة التربة وقلة الرطوبة وزيادة في سرعة الرياح التي تسبب اثارة الغبار وعواصف ترابية.

المحددات الانوائية لأشكال الغبار

يمكن تحديد او تقسيم الغبار الى ثلاثة اشكال حسب كثافة الارض المحمولة وتردي مدى الرؤية (Visibility) وسرعة الرياح المسيبة للغبار وفقاً للجدول الآتي :

الجانب العملي

- أ- تم تحديد 28 محطة انوائية تابعة لجنة الانواء الجوية العراقية والتي تشكل معظم مناطق العراق في طبيعة المناخية المختلفة.
- ب- عمل جداول احصائية لأشكال الغبار الثلاثة لعام 2000 والمرفقة نموذجاً لمناطق منتخبة.
- ت- اخذت المعلومات الانوائية من سجلات المحطات لسنة 2000 من قسم المناخ في الهيئة.
- ث- تم تحديد مناطق العراق 28 الى :
- المنطقة الوسطى : بغداد، بدرة، خانقين، كربلاء، سامراء، بيجي، تكريت، العزيزية.
 - المنطقة الغربية : القائم، الرطبة، الرمادي، هيت، النخيب، الكيلو 160، حلة، النجف.
 - المنطقة الجنوبية: البصرة (حي الحسين)، الناصرية، الديوانية، السماوة، السلمان، العمارية، علي الغربي.
 - المنطقة الشمالية: ربيعة، الموصل، سنجار، كركوك، البعاج.

حيث تم حساب حالات التكرارات لأشكال الغبار الثلاثة لكل منطقة من المناطق اعلاه لأغراض احصائية وعديدة لغرض تحديد زيادة ظاهرة الغبار من منطقة الى اخرى.

- هـ. تم عمل جدول احصائي لعام 2000 لاظهار المنخفضات الجوية المؤثرة على العراق ومواقعها.
- وـ. اجراء مقارنة احصائية (منحنيات) لكل شكل من اشكال الغبار الثلاثة لكل منطقة اعلاه.
- زـ. تم عمل جداول خاصة باتجاه الرياح وسرعتها لكافة المحطات ونرافق نموذجاً لمناطق منتخبة.
- حـ. استخدام الحاسوب الالكتروني موديل بانتيوم 2 في كتابة ورسم المنحنيات المتعلقة بالدراسة وحفظ هذا العمل في قرص مرن خاص.

الاستنتاجات

من خلال دراسة الجدول والمنحنيات يمكن ان نستنتج الآتي :

- أـ. عدد تكرارات حالات الغبار الثلاثة للمناطق (Region) يتوضح الجدول التالي : تكرارات الغبار المنطقة الشمالية، المنطقة الوسطى ، المنطقة الغربية، المنطقة الجنوبية.

678	598	1070	485	عالق
740	368	532	120	هاب
69	76	141	24	العاصفة
1487	1040	1743	629	المجموع

- بـ. وتلخيص للجدول اعلاه بعد أن اخذت المعدلات لتكرارات الغبار (7) محطات لكل من المناطق من عدا الشمالية (5) محطات تتضح الخلاصة التالية :-

المنطقة	غبار عالق	غبار هاب	عواصف
الوسطى	147	75.5	20
الجنوبية	96.8	105.9	9.8
الغربية	74.8	48.7	10.4
الشمالية	97	15.7	3.4

محمد حسن كاظم و وائل محسن الدليمي

جـ- يمكن ان نستنتج مما جاء في اعلاه بان المنطقة الوسطى قد تعرض الى ظاهرة الغبار باشكاله عالق والعواصف الترابية اكثر من مناطق العراق لعام 2000 ثم تليها المنطقة الجنوبية.

الاسباب

من اهم الاسباب التي ادت الى زيادة الغبار في المنطقة الوسطى بصورة خاصة وبقية المناطق هي :

- أـ- كثرة المنخفضات الجوية التي اثرت على القطر اهمها :
- المنخفضات الجوية القادمة من البحر المتوسط باتجاه الشرق نحو العراق مروراً بسوريا والأردن، وتؤثر هذه المنخفضات على المنطقة الوسطى بصورة مباشرة ثم يضعف تأثيراتها الى بقية المناطق.
- المنخفضات الجوية التي تتشى وساط افريقي وتمر من فوق السودان وبعض من اجزاء البحر الاحمر والجزيرة العربية، وتشتد هذه المنخفضات في نهاية الربيع على العراق وبداية الصيف، ويمتد تأثير هذه المنخفضات شرقاً باتجاه العراق وتتأثر المنطقة الوسطى والجنوبية به، ان هذه المنخفضات يكون لها اتجاهين احدهما بعيد عن جزيرة سيناء ويسير بمحاذة البحر الاحمر، والآخر بعيد عن البحر الاحمر ثم صحراء الجزيرة العربية حتى يصل تأثيره على العراق.
- المنخفضات الجوية المندمجة وهذا ما اثر على القطر الذي ينشئ من اتحاد المنخفضين الجويين السوداني مع احد منخفضات البحر المتوسط، وينشئ عنهما منخفض جوي متمركز شديد يؤثر على العراق وخاصة المنطقة الوسطى وان اهم تأثيرات هذا المنخفض المندمج هو امتداد طولياً لمسافة كبيرة واحتواءه على عدة مراكز الضغوط الواطنة تزيد في بعض الظروف الجوية الملائمة على مراكز ضغطين او اكثراً.
- في فصل الصيف يقع القطر تحت تأثير المنخفض الجوي الموسمي البندي (الموسوم) والذي يغطي امتداداته معظم المناطق الشرقية وقسم من المناطق الغربية الصحراوية عابراً الفرات، وعند ذلك تسود الرياح الشمالية الغربية، وهناك منخفض اخر يرتفع من الجزيرة العربية والخليج العربي باتجاه المناطق الجنوبية والوسطى والغربية وستشهد هذه المناطق رياح شرقية وجنوبية شرقية وان معظم الرياح المرافقة لتلك المنخفضات تكون حارة وجافة.

- بـ- شدة الجبهات الباردة وتكرارتها على المنطقة الوسطى وبالأخص في فصل الربع والخريف وعند مرورها في المنطقة الصحراوية المحيطة بالمنطقة الوسطى تلقي بجهات حرارية مسببة اثاره الغبار في هذه المناطق دون غيرها.
- تـ- المنطقة الوسطى محاطة بمنطقة خالية من العوارض الطبيعية بالإضافة الى ذلك انها محاطة بمنطقة صحراوية.
- ثـ- الارتفاع الواضح في معدلات درجات الحرارة في هذه المنطقة وخصوصاً في الاوسم (1999, 2000).
- جـ- قلة معدلات هطول الامطار في هذه المنطقة خصوصاً في عام 1999, 2000 وان امطارها كانت على شكل امطار فصلية محددة جداً وبفترات زمنية قليلة، يتبعها اشهر عديدة غير ممطرة.
- حـ- قلة الغطاء النباتي المحيط بهذه المنطقة.

أشكال الغبار

نـ	غبار عالق SUSPENDED DUST	غبار هاب RISING DUST	العاصفة ترابية DUST (SEND) STORM
1	سرعة الرياح اقل من 7 سم/ساعة	سرعة الرياح اقل من 25 كم / ساعة	سرعة الرياح تكون اكثـر بكثير من 60-37 كم / ساعة
2	مدى الرؤية الافقية اقل من 10 كم	مدى الرؤية الافقية اقل من 100 متـر	نقل مدى الرؤية الافقية الى اقل من كيلو متـر وتحصل احياناً في شـدتـها الى عشرات الامتـارات
3	تبقـى ذرات الغبار عالقة في الجو	ذرات الغبار ترتفـع فيـه الى 15 متـر واحيانـاً الى كيلـو متـر واحد فيـ الجو	ذرات الغبار ترتفـع الى اكـثر من 15 متـر وتحصل فيـ شـدتـها الى عـدة كيلـو متـرات
4	عدد تكراراته فيـ العراق اكـثر من بقـية اشكـال الغبار	عدد تكراراته اقل من العـالق	عدد تكراراته اقل من الاشكـال الـاخـرى
5	بقـائـه فيـ الجو اكـثر فـترة زـمنـية من بقـية اشكـال الغبار -لـذلك يـعتبر مـلوـث بيـئـي خطـير	بقـائـه فيـ الجو اقل من الغبار العـالق وله ايـضا مـخـاطـر بيـئـية	بقـائـه فيـ الجو وقت شـدة العاصـفة ثمـ وـله مـخـاطـر بيـئـية ايـضا

تحديد المنطقة الاكثر تعرضاً لظاهرة الغبار في العراق لعام 2000

محمد حسن كاظم و واثق محسن الذهبي

نذكر أولاً مواقع مراكز المنخفضات الجوية المؤثرة على القطر لعام 2000

النوع-العنصر		شمال العراق	جنوب العراق	شمال العراق	جنوب العراق	شرق العراق	غرب العراق	شمال العراق	جنوب العراق	شرق العراق	غرب العراق	تركيا	الجزر العربية	البحر الاحمر	شمال البحر الاحمر	الشهر
مضطهدين	مبار															
1028	1006	4	4	0	2	0	3	0	2	2	2	2	19	2	2	كما
1021	1006	2	4	2	3	3	3	0	5	5	5	5	8			شبطة
1022	1000	5	4	1	2	0	1	0	4	15	3	3	5			اذار
1013	1000	2	2	0	2	0	5	5	5	11	2	2	7			نيسان
1012	1000	10	5	1	6	2	8	5	1	5	0	0	2			ايار
1004	996	24	0	0	3	2	3	2	0	4	1	0	0			حزيران
1002	993	19	0	1	5	0	7	4	0	5	0	0	0			تموز
1000	993	21	0	0	1	0	7	1	0	3	0	0	0			آب
1008	1000	20	0	0	2	0	7	0	1	0	0	0	0			أيلول
1017	1005	8	6	5	7	6	7	2	0	2	0	0	0			تشرين
1024	1010	8	6	2	7	4	6	1	1	3	2	2	2			تشرين
1022	1009	2	4	3	6	3	2	8	0	2	1	3	1			كانون
		125	35	15	47	20	59	28	19	57	16	46				مجموع

المصادر

1. دراسة خاصة عن صاهرة الغبار في العراق، الهيئة العامة للأنواء الجوية، د. شاكر عبد العزيز، ايلول (1987).
2. ازدياد ظاهرة الغبار في العراق، بحث ، مهند محمود شفيق - محمد حسن كاظم، (2000).
3. طرق لتبيه بعض المنضومات الطقسية المؤثرة على القطر رسالة ماجستير، سلام عبد الوهاب، (1988).
4. مناخ العراق - ترجمة، د. ماجد السيد ولی ارزقي، جامعة البصرة، (1988).
5. اثر الظواهر الجوية المتطرفة على عملية الانتاج الزراعي في المنطقة الوسطى في العراق، رسالة ماجستير عبد الكاظم علي الحلو، (1999).
6. دراسة تأثير العوامل المناخية على تراكم الكثبان، د. (1992).
7. العواصف الترابية والغبار في العراق (دراسة) داود البطي.
8. دراسة درجة حرارة الهواء الصغرى الغربية من سطح الارض اميرة عباس جمسل.
9. تقديم قيم معامل الجفاف لمناطق مختلفة من العراق، د. (1996).

تثبيت طريقة إذابة لتقدير كل من العناصر (Fe, Zn,Cd,Pb,Mg) في حليب الأطفال المستورد من مناشئ مختلفة بأسستخدام مطيافية الامتصاص الذري

حنان حسين محمد^{*} ، لمى جاسم حمودي^{*} ، إخلاص حسن جواد^{*}

الخلاصة

تم في هذا البحث تثبيت طريقة إذابة ليمكن من خلالها تقدير كل من العناصر (Fe,Zn,Cd,Pb,Mg) في مساحيق حليب الأطفال المجفف المستورد من دول مختلفة باستخدام مطيافية الامتصاص الذري . إن العديد من الدراسات والبحوث تناولت موضوع تقدير العناصر آنفة الذكر وغيرها باستخدام تقنيات مختلفة إلا انه لا يوجد ما يشير الى استخدام تقنية الامتصاص الذري ضمن هذه التقنيات. عليه تم العمل على تحديد طريقة للإذابة تتناسب ومادة الحليب المجفف وقد تم تثبيت تلك الطريقة و اختيارها من بين عدة طرق أذابه تم اجراءها حيث تميزت هذه الطريقة بدقة النتائج وسرعة التنفيذ مقارنة بمثيلاتها . تلخصت الطريقة بأسخدام مزيج من الحوامض $[H_2SO_4, HNO_3]$ وبieroكسيد الهيدروجين وبنسب مختلفة حيث تم اختيار افضل زمن تسخين وكذلك اختيار افضل إضافات للحوامض اعتمادا على النتائج المستحصلة من تلك التجارب ومقارنة النتائج بنتائج إذابة الترميد وكذلك بالتراكيز المثبتة على علب الحليب إضافة الى تطابقها مع المواصفات العالمية.

المقدمة

يعتبر الحليب أساس غذاء الأطفال وبناء أجسامهم بصورة صحيحة حيث تتتوفر فيه الكثير من العناصر الأساسية والضرورية المختلفة لبناء خلايا الجسم ولكن توفر هذه العناصر يجب أن يكون ضمن حدود ونسبة معينة فالزيادة أو النقصان في التراكيز يؤثر تأثيراً مباشر على الصحة العامة للطفل وهناك العديد من الدراسات والبحوث حول تعين وتقدير تلك العناصر المهمة وعدم تجاوز الحد المسموح بها^(1,2) وبطرق مختلفة ونظرًا لكون مطيافية الامتصاص الذري توفر

تثبيت طريقة اذابة لتقدير كل من العناصر (Fe , Zn , Cd , Pb , Mg) في حليب الأطفال المستورد من منشئ مختلفة باستخدام مطيافية الامتصاص الناري
خان حسين محمد وجماعتها

نتائج تحليلية عالية الدقة والحساسية بالإضافة إلى اختصارها للجهد والوقت فقد تم التوجه لتنبيت ضروف مناسبة لاستخدامها في تحليل حليب الأطفال وتقدير بعض العناصر المهمة فيه مثل (Zn , Fe , Mg , Cd , Pb) وكذلك تحديد صلاحية الحليب المجفف للاستهلاك البشري.

الجزء العملي

1. الأجهزة والمواد المستخدمة.

1. جهاز مطياف ذري ليبي نوع شيمادزو.

(Flame Atomic Absorption Spectro Photometer 670AA)

2. منظومات زجاجية خاصة لغرض إجراء عملية هضم النماذج مغلقة.

3. حامض HNO_3 وحامض H_2SO_4 وببروكسيد الهيدروجين H_2O_2 ذات نقاوة تحليلية.

4. قناني حجميه سعة (100 ml , 50 ml).

5. ماء لأيوني لتحضير المحاليل القياسية والعينات والغسل في كل مراحل البحث.

6. ثلات أنواع من الحليب المجفف للأطفال غير مستنفذ الصلاحية.

2. العمل

1. تم انتخاب ثلات أنواع من حليب الأطفال مختلف المنشأ والاستخدام كما موضح في أدناه

أولاً : حليب ديا لاك فيتنامي الصنع من (1 - 6) شهر.

ثانياً : حليب ديا لاك فيتنامي الصنع من (6 - 12) شهر.

ثالثاً : حليب هوانغ صيني الصنع من (1 - 6) شهر.

حيث تم خلط سبع علب من كل نوع خلطاً جيداً لغرض اخذ نماذج منها لأجراء التجارب.

2. ثبيت زمن التسخين وكمية الحوامض المضافة وهذا تم على مراحلتين :

المرحلة الأولى : تم ثبيت الفترة الزمنية المثلثى للتسخين وكما موضح في الجدول رقم (1) بثبوت كمية الحوامض المضافة.

المرحلة الثانية : تمت دراسة كمية الحوامض المضافة وثبتت الكمية المضافة المثلثى بثبوت الفترة الزمنية للتسخين وكما موضح في الجدول رقم (2).

وبعد أن تم ثبيت الكمية المثلثى للحوامض المضافة وفترة التسخين المثلثى واعتماداً على النتائج التي حصلنا عليها وكما موضح في الجدول رقم (3) و (4) تم إجراء عملية الإذابة لكل نوع من أنواع الحليب وبثلاث مكررات وكما موضح في الجدول رقم (7,6,5) وقد تمت مقارنتها مع نتائج إذابة الترميد والتراكيز المثبتة على علب الحليب وكما موضح في الجدول رقم (9,8).

جدول رقم (1)

رقم التجربة	كمية الحليب	حامض HNO_3	زمن التسخين	حامض H_2SO_4	زمن التسخين	حامض HNO_3	زمن التسخين	H_2O_2	زمن التسخين
1	1 g	10 ml	90 m	2 ml	60 m	5 ml	60 m	3 ml	60 m
2	1 g	10 ml	80 m	2 ml	50 m	5 ml	50 m	3 ml	50 m
3	1 g	10 ml	70 m	2 ml	40 m	5 ml	40 m	3 ml	40 m
4	1 g	10 ml	60 m	2 ml	30 m	5 ml	30 m	3 ml	30 m
5	1 g	10 ml	50 m	2 ml	20 m	5 ml	20 m	3 ml	20 m
6	1 g	10 ml	40 m	2 ml	10 m	5 ml	10 m	3 ml	10 m

تثبيت طريقة اذابة لتقدير كل من العناصر (Fe, Zn, Cd, Pb, Mg) في حليب الاطفال المستورد من مناشئ مختلفة باستخدام مطيافية الامتصاص الناري

حنان حسين محمد وجماعتها

جدول رقم (2)

رقم التجربة	كمية الحليب	حامض HNO_3	زمن التسخين	حامض H_2SO_4	زمن التسخين	حامض HNO_3	زمن التسخين	H_2O_2	زمن التسخين
1	1 g	10.0 ml	60 m	2.0 ml	30 m	5.0 ml	30 m	3 ml	30 m
2	1 g	8.5 ml	60 m	1.75 ml	30 m	4.0 ml	30 m	3 ml	30 m
3	1 g	6.5 ml	60 m	1.5 ml	30 m	3.5 ml	30 m	2 ml	30 m
4	1 g	5.0 ml	60 m	1.0 ml	30 m	3.0 ml	30 m	2 ml	30 m
5	1 g	4.0 ml	60 m	0.75 ml	30 m	2.5 ml	30 m	1 ml	30 m
6	1 g	3.0 ml	60 m	0.5 ml	30 m	2.0 ml	30 m	1 ml	30 m

النتائج والمناقشة

جدول رقم (3)

رقم التجربة	Fe (PPm)	Zn (PPm)	Cd (PPm)	Pb (PPm)	Mg (PPm)
1	25	6.7	< 0.01	< 0.01	360
2	28	6.5	< 0.01	< 0.01	365
3	37	7.3	< 0.01	< 0.01	360
4	49	9.2	< 0.01	< 0.01	380
5	32	8.3	< 0.01	< 0.01	370
6	33	8.1	< 0.01	< 0.01	360

جدول رقم (4)

رقم التجربة	Fe	Zn	Cd	Pb	Mg
1	44	9.5	< 0.005	< 0.01	375
2	44	10.2	< 0.005	< 0.01	382
3	49	11.5	< 0.005	< 0.01	400
4	59	13.8	< 0.005	< 0.01	470
5	51	12.3	< 0.005	< 0.01	420
6	47	11.5	< 0.005	< 0.01	380

جدول رقم (5)

نوع الحليب	Fe (PPm)	Zn (PPm)	Cd (PPm)	Pb (PPm)	Mg (PPm)
١	38	11.0	<0.005	<0.01	365
٢	39	11.5	<0.005	<0.01	368
٣	39.5	11.8	<0.005	<0.01	367

جدول رقم (6)

نوع الحليب	Fe (PPm)	Zn (PPm)	Cd (PPm)	Pb (PPm)	Mg (PPm)
١	58	13.8	<0.005	<0.01	470
٢	59	13.7	<0.005	<0.01	460
٣	59	13.8	<0.005	<0.01	465

ثبت طريقة اذابة لتقدير كل من العناصر (*Fe, Zn, Cd, Pb, Mg*) في حليب الاطفال المستورد من مناشئ مختلفة باستخدام مطيافية الامتصاص الناري

جدول رقم (7)

نوع الحليب	Fe	Zn	Cd	Pb	Mg
١ ٢ ٣	1 35	11.0	<0.005	<0.01	325
	2 35	10.5	<0.005	<0.01	325
	3 36	10.0	<0.005	<0.01	323

جدول رقم (8) نتائج طريقة الترميد

نوع الحليب	Fe (PPm)	Zn (PPm)	Cd (PPm)	Pb (PPm)	Mg (PPm)
حليب دبلاك (6 - 1) شهر	38	11.0	<0.005	<0.01	365
حليب دبلاك (12 - 6) شهر	58	12.6	<0.005	<0.01	463
حليب هوانغ (6 - 1) شهر	36	10.6	<0.005	<0.01	319

جدول رقم (9) مواصفات الحليب المثبتة على العلب

نوع الحليب	Fe (PPm)	Zn (PPm)	Cd (PPm)	Pb (PPm)	Mg (PPm)
حليب ديالك (1 - 6) شهر	40	12.0	<0.005	<0.01	370
حليب ديالك (6 - 12) شهر	61	14.0	<0.005	<0.01	368
حليب هوانغ (1 - 6) شهر	37	11.0	<0.005	<0.01	330

1. من خلال النتائج التي حصلنا عليها في الجدول رقم (3) يتضح لنا إن أفضل تجربة للإذابة هي التجربة رقم (4) حيث إن نتائجها أقرب من التجارب الأخرى إذا ما قورنت مع نتائج إذابة الترميد وكذلك التراكيز المثبتة على العلب . وعليه اخترنا ظروف هذه الإذابة من حيث زمن التسخين كأفضل ظروف أي ظروف مثلى .

2. ومن خلال النتائج التي حصلنا عليها من الجدول رقم (4) يتضح لنا أيضاً إن أفضل الظروف للتجارب المسابقة التي أجريت هي ظروف التجربة رقم (4) من حيث كمية الحوامض المضافة . ولهذا اعتبرت ظروف هذه التجربة من حيث كمية الحوامض المضافة أنها الإضافات المثلثي .

3. تم اعتبار ظروف التجربة رقم (4) في الجدول رقم (3) من حيث فترة التسخين وكذلك اعتبار ظروف التجربة رقم (4) في الجدول رقم (4) من حيث كميات الحوامض المضافة هي ظروف مثلى لأذابة الحليب حيث يمكن أن نحصل على نتائج تتسم بالدقة وسهولة التنفيذ .

ثبيت طريقة اذابة لتقدير كل من العناصر (*Fe, Zn, Cd, Pb, Mg*) في حليب الاطفال المستورد من مناسن
مخالفة باستخدام مطيفية الامتصاص النري
هنان حسين محمد وجماعتها

4. وعند تطبيق هذه الظروف المثلث على كل أنواع الحليب المستخدم وبثلاث مكررات لكل منها
وجدنا أن النتائج التي تم الحصول عليها متقاربة جداً أن لم نقل متطابقة إذا ما قورنت بنتائج
طريقة الترميد وكذلك إذا ما قورنت بالتراكيز المثبتة على علب الحليب للعناصر تحت القياس.

الاستنتاج

نستنتج مما نقدم أننا استطعنا أن نحوال مادة الحليب الجاف إلى سائل يمكن أن تستخدم أجهزة
المطيف الذرية لقياس العناصر الداخلة فيها وبدقة عالية واختصار في الجهد والوقت.

المصادر

1. Dela Guradia M. Salvad A. Analyst, 1986, vol. 111, 1375 – 1377.
2. Guroshim H. Yoshikawa M. Agric Biol . Chem 1985 49 (1), 21 – 26.
3. Lvov, B,v, Talanta 1976 ,23,109.
4. Barntt N.w, Chenl .S, Kirk Bright G.F, Anal.Chim Acta , 1893 , 149.
5. Khamnas Z.A, Marshall J. Mikrochim Acta, 1985 1 (5 – 6) 333 – 355 .

تقييم فعالية المستحضر الحيوي التحدي وبعض المبيدات الكيميائية في مقاومة الفطر *Botrytis cinerea* المسبب لمرض العفن الرمادي في البازنجان

كامل سليمان جبر و *احسان شفيق دميردادغ

كلية الزراعة / جامعة بغداد

* كلية العلوم / الجامعة المستنصرية

ABSTRACT

This study was conducted in the Al-Rashidia glasshouses during the growing season 2000-2001 to evaluate the effectiveness of the Protectant and eradicant sprays of four fungicide to control the fungus *Botrytis cinerea* the causal organism of gray mold disease in Eggplants. The results showed that Teldor and Euparen Fungicides (which were used to control the disease for the first time in Iraq.) achieved superior reduction in percentage of infection in plants and fruits, and in severity of disease in plants in the protectant and eradicant sprays, followed by the bioproduct Al-tahady, while the fungicide Benomyl showed the lowest effects. The protectant spray gave the best result in the control of disease compared with eradicant spray for all treatment.

الخلاصة

اجريت هذه الدراسة في مزرعة البيوت الزجاجية في الراشدية خلال الموسم الزراعي 2000-2001 لتقويم فعالية الرش الوقائي والعلاجى للمستحضر الحيوي التحدي وبعض المبيدات الكيميائية في السيطرة على الفطر *Botrytis cinerea* المسبب لمرض العفن الرمادي على البازنجان. أظهرت النتائج تفوق المبيدات Teldor, Euparen (الذان استخدما لأول مرة في القطر ضد المرض) في خفض نسبة الاصابة في النباتات والثمار وشدة الاصابة في النباتات في الرش الوقائي والعلاجى تلامم المستحضر الحيوي التحدي في حين كان أملهم تأثير هو المبيد Benomyl واعطى الرش الوقائي نتائج افضل في السيطرة على المرض من الرش العلاجي ولجميع المعاملات.

المقدمة

بعد مرض العفن الرمادي Gray mold الذي يسببه الفطر من الامراض المهمة على محصول البازنجان تحت ظروف الزراعة المحمية في العراق ومختلف مناطق العالم (الزهرون، 1983 و Agrios، 1997 والارياني، 2001). يقاوم المرض بالتخالص من مخلفات العائل التي تعد مصدر الاصابة الاولية لاحتوائها على الاجسام الحجرية والغزل الفطر، وتقليل الرطوبة من خلال التهوية الجيدة داخل البيوت، وكذلك استخدام المبيدات الكيميائية والتي لم تتحقق الانجاحات جزئية في الزراعة المحمية، اضافة الى ظهور سلالات مقاومة لمعظم المبيدات المستخدمة كالبيونوميل والداكلوران والـ Iprodine وغيرها وتقليل ظهور السلالات المقاومة اووصي باستخدام مبيدات فطرية مختلفة وخلط المبيدات (Gangawane, 1997, Agrios, 1997). وضمن التوجهات الحديثة في العالم لأيجاد بدائل للمبيدات الكيميائية لما للأخرة من اثار سلبية على البيئة وصحة الانسان فقد بدأت المحاولات الاولى لاستخدام فطريات المقاومة الاحيانية رشا على المجموع الخضرى لمقاومة مرض العفن الرمادي على الخيار (مشي واخرون، 1993) والطماطة (Elad، 1995) والبازنجان (Harman، 2000) باستخدام الفطر *Trichoderma harziannm* وللذين حصلوا على نتائج ايجابية في مقاومة المرض. ونظراً لأهمية المرض وقلة الدراسات المتعلقة بمقاومته في العراق فقد هدفت هذه الدراسة الى تقويم فعالية المستحضر التجارى التحدي رشا على المجموع الخضرى وبعض المبيدات التي تستخدم لأول مرة في مقاومة المرض اضافة ان المبيد بيونوميل الواسع الاستخدام في القطر.

طرق العمل والمواد المستخدمة

لتقويم فعالية المستحضر الحيوي التحدي (الماد الفعال T. harziannm) والمبيدات الكيميائية Euparen50 WP., Teldor50sc (جهزت من قبل اللجنة الوطنية لفحص واعتماد المبيدات والبيونوميل. نفذت تجربتان في مزرعة البيوت الزجاجية في الراشدية. التجربة الاولى لتقويم الفعالية الوقائية. انتخب بيت زجاجي زرع بالبازنجان الصنف كالين وخصوص جناحين منه لاغراض هذه التجارب في حين خضعت المساحات المزروعة الاخرى لبرنامج الوقاية والعلاج المتبوع في المزرعة وكانت الاصابة فيها منخفضة وتم متابعته

لتحديد بداية ظهور الاصابة. وقد سجات اول اصابة في 2.5 وعندها تم تنفيذ المعاملات الانية :

1. الرش بالمبيد بينوميل بتركيز 2 غم / لتر.
2. الرش بالمبيد Euparen بتركيز 1 غم/لتر.
3. الرش بالمبيد Teldor بتركيز 1 مل/لتر.
4. الرش بالمستحضر الحيوي التحدي بتركيز 2 غم/ لتر.
5. مقارنة (رش الماء فقط).

وقد استخدمت ثلاثة سوافي طول 40م تحتوي على 120 نبات لكل ساقية زرعت على الجanim كمكررات لكل معاملة، انتخب السوافي بصورة عشوائية.نفذت الرشة الاولى في 2001. وبعدها اجريت رشتات بين الرشة والاخرى سبعة ايام وبعد سبعة ايام من اخر رشه اخذت النتائج بحساب نسبة الاصابة على النباتات والثمار. والتجربة الثانية لتقويم الفعالية العلاجية للمعاملات، نفذت في جناح اخر في نفس البيت وقد تم متابعة الاصابة وعندما بلغت نسبة الاصابة في النباتات 20% وفي الثمار 11% وشدة الاصابة 9% تم اجراء نفس المعاملات بالتجربة السابقة وبنفس عدد المكررات وقد اجريت رشتان بين الرشة والاخرى سبعة ايام وبعد سبعة ايام من اخر شة اخذت النتائج بحساب نسبة الاصابة بالنباتات والثمار وشدة الاصابة بالنباتات والتي قدرت حسب الدليل المرضي الاتي.

1. وجود تقرحات صغيرة بيضوية طولها أقل من 0.5 سم على الافرع.
2. وجود تقرحات طولها من 0.5-1 سم على الافرع والساقي.
3. تمتد التقرحات الى اكثر من سمي على الافرع والساقي وتحيط بالافرع وتؤدي الى موتها ولكن تقرحات الساق لم تكمل احاطتها للساقي.
4. تمت التقرحات لعدة سنتمرات وتحيط بالساقي عند ارتفاع 10 سم فوق سطح التربة او أعلى تغطي بنموات الفطر وتؤدي الى موت النبات. وحسبت % لشدة الاصابة وفق المعادلة:

$$100 \times \frac{\left[\begin{array}{c} \text{عدد النباتات في} \\ \text{الدرجة } 1 \times 1 \\ \dots \\ \text{الدرجة } 5 \times 5 \end{array} \right]}{\text{مجموع النباتات} \times 5} = \% \text{ لشدة الاصابة}$$

النتائج والمناقشة

اظهرت نتائج الرش الوقائى (جدول 1) الفعالية العالية للمبيدات
حيث منع اصابة النباتات والثمار بالكامل تلامن المستحضر الحيوى التحدى وكان اقلها فعالية
المبيد الكيمياوی البنوميل. كما اظهر الرش العلاجي (جدول 2) تفوق نفس المبيدات في خفض
نسبة الاصابة في النباتات والثمار بشكل معنوي مقارنة بمعاملة المقارنة وقد اوقفت الاصابات
الحدثية ومنعت تطورها لوكن النباتات التي اصابتها متقدمة ادى الى موت الفروع او النباتات
ولذلك تطورت شدة الاصابة من 9% في بداية التجربة الى 12% و 13.5% في معاملة المبيدات
على التوالي، ولكن هذه النسب تعد منخفضة عند مقارنتها بمعاملة المقارنة (37%)، وان سبب
الموت ناتج عن القراءة الانزيمية العالية لهذا الفطر والتي تؤدي الى تحليل وقتل الانسجة النباتية
بسرعة مما يؤدي الى احداث تقرحات تحيط بالافرع او الساقان ينتج عنها موت الافرع او النبات
بالكامل. وما يؤكد فعالية المبيدات هو قصائهما على معظم نموات الفطر الخضرية حيث لم
يلاحظ تجرثمه على الاجزء المصابة المعاملة بالمبيدات بينما تجرثم بغزاره في معاملة المقارنة
اذ غطت ابواغ الفطر معظم التقرحات (شكل 1) كما اظهر المستحضر الحيوى التحدى فعالية
جيدة في خفض نسبة الاصابة بالثمار والنباتات فقد كانت نسبة الاصابة 0.94% ، 29% على
التوالي مقارنة بمعاملة المقارنة 2.5% و 57% وكان تأثيره عالياً في خفض شدة الاصابة (14%)
حيث لم يختلف معنوياً عن معاملة المبيدات Teldor, Euparen و كان انخفاض شدة الاصابة
عالياً مقارنة بمعاملة المقارنة (37%). وقد لوحظ ان فعالية المستحضر الحيوى كانت عالية في
المناطق الغزيرة النمو الخضرى ذات الرطوبة العالية اذ اظهر الفحص تجرثمه بغزاره على
سطح الاوراق والتقرحات في حين انخفض اعداد ابواغ الكونيدية للفطر الممرض وانعدم في
بعض المواقع وقد جاءت هذه النتائج متنققة مع ما وجده Harman (2000) بان رش المجموع
الخضرى للبانجان بالمستحضر الحيوى Topshield (*T. harzianwm*) (المادة الفعلية) كان
فعالاً في مقاومة الفطر *B. cinerea* المسبب لمرض العفن الرمادى. كما اظهرت النتائج انخفاض
فعالية المبيد الكيمياوی Benomyl في خفض نسبة وشدة الاصابة وربما يعود سبب ذلك لتكرار
استعمال هذا المبيد منذ فترة طويلة مما ادى الى نشوء سلالات مقاومة له وهذا ما اكده العديد
من الدراسات التي اشارت الى ظهور صفة مقاومة لفعل هذا المبيد في العديد من الفطريات وعلى
محاصيل مختلفة بضميتها الفطر *B. cinerea* (الزهرون، 1983 و Glass, O. Brien 1986 ، Lease, Moorman 1989 و Katan 1992 والشيباني 2001 والارياني،

(2001). وقد لوحظ عدم انتظام تأثيره على الفطر الممرض فقد اوقف بعض الاصابات في حين لم يؤثر على اخرى وربما يعود سبب ذلك الى وجود اكثرا من سلالة لهذا الفطر وربما اتى البعض منها من موقع لم يتعرض للرش المستمر بهذا المبيد. وقد تعود الفعالية العالية للمبيدات ضد الفطر لكونهما استخدما لأول مرة في مقاومة المرض في القطر ولذلك لم تبني سلالات مقاومة للفطر ضد فعل هذين المبيدات ولذلك كانت سلالات الفطر الموجودة حساسة لهما. كما اظهرت النتائج بان الرش الوقائي كان الافضل في السيطرة على المرض حيث ان اصابة النباتات وامتداد الغزل الفطري داخل الانسجة يقلل من تأثير المعاملات عليه.

جدول (1) فعالية الرش الوقائي بالمستحضر الحيوى التحدي وبعض المبيدات الكيميائية فى مقاومة الفطر *Botrytis cinerea*

نوع المعاملة	% للاصابة في النباتات	% للاصابة في الثمار
مبيد البيونوميل	16.0	2.0
Teldor	0.0	0.0
Euparen	0.0	0.0
المستحضر الحيوى التحدي	8.0	1.0
المقارنة	25.0	4.0

جدول (2) فعالية الرش العلاجي بالمستحضر الحيوى التحدي وبعض المبيدات الكيميائية فى مقاومة الفطر *Botrytis cinerea*

نوع المعاملة	% للاصابة	
	في الثمار	في النباتات
مبيد البيونوميل	1.9	42.0
Teldor	0.87	25.0
Euparen	0.66	23.0
المستحضر الحيوى التحدي	0.94	29.0
المقارنة	2.5	57.0
L.S.D 0.05	0.17	8.55
7.5		

تقييم فعالية المستحضر الحيوى التحدى وبعض المبيدات الكيميائية فى مقاومة الفطر
Botrytis cinerea المسبب لمرض العفن الرمادى فى البازنجان

* قدرت شدة الاصابة وفق الدليل 4-1 حيث ان 1 تعنى وجود تقرحات لا يتجاوز طولها 0.5 سم على الافرع، 4 تعنى موت النبات.



شكل (1) اعراض وعلامات مرض العفن الرمادى على البازنجان
أ. فرع مصاب يظهر تجرثم الفطر عليه بغزارة
ب. ثمرة مصابة تظهر تجرثم الفطر بغزارة
ج. زهرة ميتة بسبب الاصابة

المصادر

1. الاريانى، عادل قائد على دراسة بعض العوامل المؤثرة على بدء وتطور الاصابة بالفطر *Botrytis cinerea* في البازنجان في البيوت الزجاجية. رسالة ماجستير- كلية العلوم - الجامعة المستنصرية(2001).
2. الزهرون، هناء حمد دراسات وظيفية وحياتية على الفطر *Botrytis cinerea Pers* رسالة ماجستير كلية العلوم - جامعة بغداد(1983).
3. الشيباني، رغد ضياء عبد الجليل تشخيص بعض الفطريات المصاحبة لموت شتلات البازنجان بعد النقل الى البيوت الزجاجية واختيار مقاومتها للمبيدات الفطرية. رسالة ماجستير - كلية العلوم - الجامعة المستنصرية(2001) .
4. Agrios, G.N. Plant pathology, Fourth Edition Academic Press, (1997).
5. Elad, Y.; Zimand, G.; Azqs, Y.; Zuriel, S. and Chet, I. Use of *Trichoderma harzianum* in combination or alternation with fungicides to control cucumber gremould (*Botrytis cinerea*) under commercial green house conditions. Plnt pathology. 42: 324-332, (1993).
6. Elas, Y.; Gullino, M.L.; Shtienberg, D. and Alo, C. Managing *Botrytis cinerea* on tomatoes in green houses. In the 6 Mediterranean crop protection 14: 105-109, (1995).
7. Harman, G.E. Myths and dogmas of biocontrol. Changes in Perceptions derived from research on *T. harzianum* T. 22. Plant disease. 84(4): 377-393, (2000).
8. Gangawane, L.V. Management of Fungicide resistances in plant pathogens. Indian phytopathology. 50(3): 305—315, (1997).
9. Katan, T., Elad, Y.; and Yunis, H. Resistance to diethofencarb (NPC) in benomyl-resistant field isolates of *Botrytis cinerea*. Plant pathology. 38: 86-92, (1989).
10. Johson, K.B.; Sawyer, T.L.; Powelson, M.L. Frequency of Benzimidazol and Dicarboximide-Resistant strains of *Botrytis cinerea* in western oregon small Fruit and Snap Bean Plantings, plant disease 68; 572-577, (1994).
11. Moorman, G. W.; and Lease, R.J. Residual Efficacy of Fungicides used in the Management of *B. cinerea* on Green – Grown Geraniums, Plant Disease 76(4); 374-347, (1992).
12. O'Brien, R.G. and Glass, R.J. The Appearace of dicarboximide resistance in *Botrytis cinerea* in Queensland. Australiaon plant phytopathology 15(1); 24-25, (1986).

- 13.Raposo, R.; Colgan, R.; Declan, J.; and Melgarejo, P. Application of an Automated Quantitative method to determine fungicide resistance in *Botrytis cinerea*. Plant disease. 79; 294-296, (1995).
- 14.Yarden, Q. and Katan, T. Mutation leading to substitutions at Amino acids 198 and 200 of Bata-Tubulin that correlate with benomyl – resistance phenotype of field strains of *Botrytris cinerea*. Phytopathology 83; 1448-1483, (1993).

تقييم المستحضرات الصيدلانية المعلمة بالتكنيشيوم 99 م لخطيط الكية

إقبال فضل علوان ، حسين علي محمد

ABSTRACT

A number of 99m Tc – Radiopharmaceutical preparation require As renal agent, is the most common used are 99m Tc-DTPA, 99m Tc DMSA and, 99m Tc GH in Nuclear Medicine. Chromatographic techniques have been employed in the assessment of 99m Tc – radio pharmaceuticals like gel chromatography, thin layer, paper chromatography and ITLC chromatography. The quest in this work was to determine the best mobile phase for developing different 99m Tc-fraction on different supporting media. The organ distribution in animals experminate showing that more than 90% of injection dose of kidney pharmaceutical were accumulated in the kidneys, which proved high Renal Labeling at optimal preparation. The invitro plasma protein binding studies reevaluated by GCS method showed that about 5-10% of 99m Tc – DTPA, 75% of 99m Tc GH and 90% 99m Tc DMSA were bind which was proved that did not influence the invivo kinetics.

الخلاصة

هناك العديد من المستحضرات الصيدلانية المعلمة تستخدم لخطيط الكية ولكن اكثراها شبيعاً في الطب النووي هي الذي تي بي أي، الدم أم أس أي والكلوكوهيبيونات. لذا تم استخدام العديد من الطرق التحليلية المستعملة في تحديد وقياس النقاوة الراديو كيميائية للمستحضرات الصيدلانية المعلمة بالتكنيشيوم منها طريقة الترشيح بالهلام (gel filtration) الكروماتوغرافيا وطريقة الفصل السريع لکرومتوغرافيا الطبقة الرقيقة (Thin layer chromatography) وکرومتوغرافيا الطبقة الرقيقة (Paper chromatography) ولكل من هذه الطرق طور ثابت للفصل وطور متحرك مناسب لغرض التحليل الراديوكيميائي للمستحضرات الصيدلانية والهدف منها هو فصل جميع حالات التكنيشيوم للمعهد المعلم، يتعلم معقد الذي تي بي أي خلال فترة وجيزة بعد اضافة مستحلب التكنيشيوم 99 م مقارنة بمعدل تعليم البطيء لمعقد الذي ام اس أي والكلوكوهيبيونات. أوضحت نتائج التوزيع الباليولوجي للمستحضرات الصيدلانية المشعة في اعضاء الحيوانات المختبرية بان اكثرا من 28% من الجرعة المعطاة تتركز في الكلية مما يؤك

أقبال فاضل علوان و حسين على محمد

بان تعليم هذه المركبات ملائمة للاستخدام الطبي في معرفة وظيفة وشكل الكلية. ان نتائج دراسة ارتباط المعقادات المعلمة ببروتينات بلازما والتي اجريت خارج الجسم، حيث اوضحت ان 10% من معقد الدي تي بي اي المعلم و 75% من معقد الكلوكهيبتونيت يرتبط ببروتينات بلازما الدم وكذلك 90% من مستحضر الدي ام اس اي المعلم وقد تبين با ان هذا الارتباط ليس له تأثير على التوزيع البيولوجي للمعقادات.

المقدمة

عام 1962 تم ادخال نظير التكنيشيوم -99m من قبل العالم Harper في مجال الطب النووي، لما يتمتع به هذا النظير المشع (Radionuclide) من خواص وصفات بيولوجية جيدة بعد ارتباطه بالمعقادات لتصوير اعطاء الجسم المختلفة وكذلك لصفاته الفيزيائية الملائمة لكواشف التألق ويعطي اشعة كاما فقط. قام العالمان Lathrop & Harper بتطوير معقد (iron ascorbate) مع التكنيشيوم 99m وبع杰 زرقة تركز هذا المعقد في الكلية حيث اعطى تخفيط جيد لها، وكذلك معقادات الهيدروكسي كاربوكسليت (Hydroxy carboxylate) مع نظير التكنيشيوم 99m مما شجع الباحثين بالطب النووي لاستخدامها في تصوير الكلية والدماغ⁽¹⁾.

معقد السيرات (citrate) هو اول معقد يعلم بنظير التكنيشيوم 99m وقام بدراساته Yehankiss⁽²⁾ كعامل لتصوير الكليتين وبصيغ اخرى مختلفة كعامل لتصوير الاورام والمعقد الاكثر حداثة هو معقد الكلوكهيبتونات (Glucoheptonate) مع نظير التكنيشيوم -99m وكذلك الكلوكونيت (Gluconate) الذي انجز من قبل Alder & Camin⁽³⁾ وكلا المعددين اثبتنا سريرياً كعوامل قوية لتصوير الكليتين⁽³⁾ ويعتبران المعددين الاكثر اهمية ولهم قيمة تجارية كعدد مجففة بالتجفيف⁽⁴⁾.

واكثر المعقادات المستخدمة في تخفيط الكلية هي

(5) ^{99m}Tc - Sn - Gh, ^{99m}Tc -Sn - DMSA, ^{99m}Tc -Sn - DTPA

ان جميع مستحضرات تشخيص الكلية المعلمة بنظير التكنيشيوم 99m تذهب منها كميات محدودة الى الكبد لذا هدف هذه الدراسة تطوير هذه المستحضرات للحصول على درجة عالية من الافراز الانبيبي.

المواد وطرق العمل

تم استخدام العدد الجافة والجاهزة لكل من والدي تي بي أي، دي ام اس أي والكلوكوبهيتونات، وهذه العدد تم انتاجها في قسم المستحضرات الصيدلانية / منظمة الطاقة الذرية العراقية، اما مستحلب التكينيشيوم - 99 م كلوريد الصوديوم تم استخدامه من شركة (أمر شام).

مستحضر $^{99m}\text{Tc-DTPA}$ - يتم تحضيره باضافة (4-3 ملتر) من مستحلب التكينيشيوم ذات نشاط اشعاعي (10-6 ميليكوري) واما مستحضر $^{99m}\text{Tc-DMSA}$ فيكون باضافة (4 مل) من مستحلب التكينيشيوم 99- م بينما اضافة (4 مل) من مستحلب التكينيشيوم الى عده $^{99m}\text{Tc-GH}$ الجافة، وبعد مرور (15 دقيقة) يكون معقد $^{99m}\text{Tc-DTPA}$ مهيأ للاستعمال، بينما كل من مستحضر $^{99m}\text{Tc-GH}$ ، $^{99m}\text{Tc-DMSA}$ بعد مرور (20 دقيقة) على عملية التعليم بنظير التكينيشيوم 99- م.

طرق التحليل الكيميائي

1. طريقة الترشيح بالعمود الهلامي GCS

تم استخدام سيفايدكس G-25 من شركة (Pharmacia fine chemicals) لتقدير قدرة كل من المعقد $^{99m}\text{Tc-DMSA}$ ومعقد $^{99m}\text{Tc-DTPA}$ بعد موازنة العمود بواسطة (20 مل) من محلول كلوريد الصوديوم بدرجة حموضة (pH=3.2)، بينما يتم استخدام سيفايدكس (G-50) لمعقد $^{99m}\text{Tc-GH}$. يوضع نموذج بحدود (0.1-0.3 مل) على قمة العمود (1.5×33 سم) ثم يغسل بواسطة (15 مل) من محلول كلوريد الصوديوم تركيز 0.9% لكل من معقدي $^{99m}\text{Tc-DTPAQ}$ ومعقد $^{99m}\text{Tc-DMSA}$ اما معقد $^{99m}\text{Tc-DMSA}$ فيتم استخدام (20 مل) من محلول كلوريد الصوديوم 0.09% بدرجة حموضة (pH=3.2)، بعدها يغلق العمود وترسم اجزاء التحليل بواسطة عداد كاما الذي يحتوي على بلورة الصوديوم ايدات (NaI) ويكون التركيز لكل 1 سم، معقد $^{99m}\text{Tc-DMSA}$ المعلم يكون على قمة العمود ومسافة (5-3 سم) للنظير الغير مخترل، بينما كل من معقد $^{99m}\text{Tc-DTPA}$ و $^{99m}\text{Tc-GH}$ يقعان على مسافة (11-9 سم) من قمة العمود ومسافة (3-1 سم) فتكون للمادة الغير مرتبطة (Tc-HR) ومسافة (9-4 سم) ف تكون للنظير الغير مخترل.

أقبال فاضل علوان و حسين على محمد

2. طريقة فصل كرومتوغرافي الطبقة الورقية (P.C.)

- حيث يتم استخدام نوع الورق (1) Whatman No. (1) على شكل شرائح (1.5×33 سم) ويوضع النموذج على بعد 5 سم من أحد طرفي الشريحة ثم تجفف بالبواه، يستخدم كرومتوغرافي النزع الصاعد والذي يعمل في اسطوانة مغلقة ومشبعة 95% اسيتون ويستغرق العمل بحدود ساعة لفصل المعقادات الثلاثة والتي تبقى في نقطة البداية أي ($Rf=0$) اما النظير الغير مختزل فيكون $Rf=1$.

3. طريقة فصل كرومتوغرافي الطبقة الرقيقة (TLC)

تم استخدام نوع (TLC Silica gel) على شكل شرائح (20×2 سم)، ويوضع النموذج على بعد 2 سم من احد طرفي الشريحة ثم يجفف بالبواه ويوضع في اسطوانة مغلقة ومشبعة بمحلول كحول مثيلي لكل من معقد ($^{99m}\text{Tc}-\text{GH}$) و ($^{99m}\text{Tc}-\text{DMSA}$) وتستغرق عملية الفصل بحدود ساعتين وتكون $Rf=0$ للمعقدين و $Rf=1$ لنظير الغير مختزل، ولكن معقد $^{99m}\text{Tc}-\text{DMSA}$ فيستخدم محلول ينكون من بيتونول، وحامض الخليك والماء بالنسبة التالية (1:1:4) فيكون $Rf=0.9$ للنظير الغير مختزل ، $Rf=0.6$ ($^{99m}\text{Tc}=\text{HR}$) و $Rf=0$ (المعقد المعلم).

دراسة الحركة الحيوية داخل الجسم

تم دراسة التوزيع الحيوي للمعقادات الثلاثية من خلال حقن الحيوانات المختبرية (الفئران، الأرانب) ذات الأوزان (30-25 غم)، (1.5-1 كغم) على التوالي عن طريق الوريد الذيلي والاذني وبحدود (200 ملليكرومي) وبعدها تقتل الحيوانات خلال فترات زمنية مختلفة (20 او 30 دقيقة) لكل من معقد $^{99m}\text{Tc}-\text{DTPA}$ و $^{99m}\text{Tc}-\text{DMSA}$ على التوالي، بواسطة الإيثر ونأخذ الأعضاء التي لها علاقة بخطيط الكلبين وكذلك يتم سحب دم الحيوان الذي يعادل 67% من وزن الجسم ويوضع الدم في أنبوب خاص ويقرأ مع بقية أعضاء الجسم بواسطة عداد كاما.

دراسة الارتباط الخارجي لبلازما بروتين

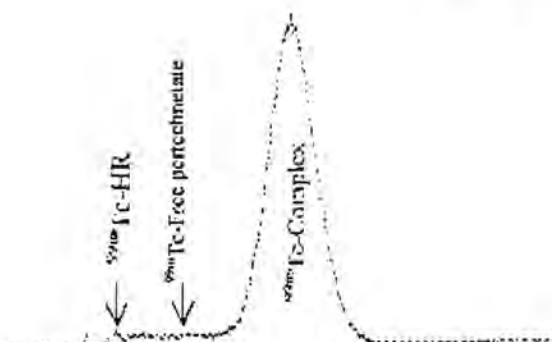
للغرض معرفة درجة ارتباط المعقادات بواسطة البروتين البلازمي، يأخذ نموذج من الدم في سرنجة تحتوي على البيبارين ويعمل له فصل بواسطة جهاز الطرد المركزي بسرعة

(4000rpm) لمدة 15 دقيقة ثم يؤخذ (2 مل) من الدم ويضاف إلى المعقد المعلم ويترك لمدة 20 دقيقة بدرجة حرارة الغرفة يوضع نموذج على عمود السيفادكس (G-25) ويمرر (15 مل) من محلول كلوريد الصوديوم 0.9% ويجب تهيئة العمود لغرض احتساب المعقد المعلم.

النتائج والمناقشة

الدراسة التحليلية للنقاوة الكيميائية

إن النقاوة الراديوكيميائية للمعقدات المعلمة بنظير التكنيشيوم - 99 م، وكذلك استقرارية المعقدات المعلمة تحت ظروف التعليم الكيميائي المختلفة، تم تقييمها بواسطة طرق التحليل الراديوكيميائي المعروفة⁽⁷⁾، وتعتبر طريقة الترشيح البلازمي GCS هي الطريقة المميزة لدراسة استقرارية الحالة الكيميائية لنظير التكنيشيوم 99 م المختزل المستخدم لتعليم معقدات لخطيط الكلية شكل رقم (1) يوضح ذلك:



شكل رقم (1) يبين اجزاء المعقدات المعلمة بنظير التكنيشيوم باستخدام عمود البلازم

وهذه الطريقة تعطي تفاصيل لجميع الحالات الناكدية للمعقد المعلم وكذلك للنظير المشع الغير مختزل والمادة الكيميائية الغير مرتبطة في المستحضرات الصيدلانية المعلمة بنظير التكنيشيوم 99 م وفي هذه الطريقة تستخدم مادة السيفادكس وهي من المركبات التي تحتوي على مجموعة هيدروكسيل لتقيم المعقدات المعلم بنظير التكنيشيوم 99m.

اقبال قاضل علوان و حسین علی محمد

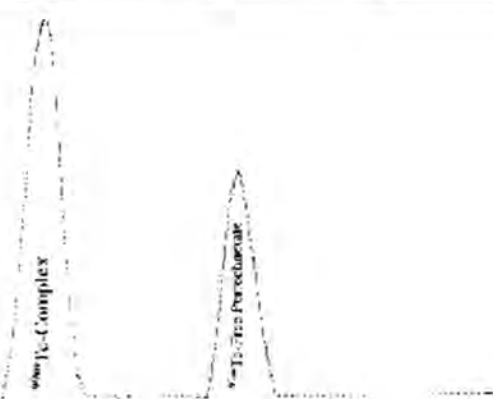
**جدول رقم (١) يبين نسبة أجزاء التكثيسيوم 99m في المعدات المعلمة تخطيط الكلية المعلمة
بطريقة الترشيح الهلامي GCS**

نسبة النشاط الاشعاعي للمعدنات			
Prep.	المعدن غير مرتبط %	نظير غير مختزل %	المعدن المعلم %
^{99m}Tc -DTPA	0.2	0.8	99
^{99m}Tc -GH	2	3	95
^{99m}Tc -DMSA	-	2.2	97.8

تم استخدام طريق فصل الطبقة الورقية لمعقدات الكلية وكانت النتيجة لفصل الحالتين تأكديمة فقط مما يوضح المعلم بنظير التكثيسيوم ونظير الغير مختزل وجدول رقم (2) يوضح وكذلك شكل رقم (2) على التوالي.

جدول رقم (2) يبين اجزاء التكشيهوم 99م لمعقدات تخطيط الكية المعلمة بطريقه الكرومانيغرافي الطبقه الورقية

نسبة النشاط الشعاعي للمعقدات		
Prep.	نظير غير مخترل %	المعقد المعلم %
$^{99m}\text{Tc-DTPA}$	1	99
$^{99m}\text{Tc-OH}$	4.8	95.2
$^{99m}\text{Tc-DMSA}$	2	98



شكل رقم (2) يوضح فصل المعدات المعلمة بطريقة P.C.

وتم فصل اجزاء معقد ^{99m}Tc -DMSA بطريقة الطبقة الرقيقة TLC وهذه لاول مرة يستخدم فيها محلول الطور المتحرك لفصل اجزاء معقد التكنيشيوم وجدول رقم (3) يوضح نتائج التحاليل الراديو كيمياوي للمعقدات⁽⁸⁾.

جدول رقم (3) يبين نسبة أجزاء التكنيشيوم 99m لمعققدات تخطيط الكلية بطريقة الطبقة الرقيقة TLC

نسبة النشاط الاشعاعي للمعقدات			
Prep.	نظير غير مخترل %	النظير الغير مخترل %	المعقد المعلم %
^{99m}Tc -DTPA	--	0.7	99.3
^{99m}Tc -GH	--	5	95
^{99m}Tc -DMSA	1	2	97

دراسة التوزيع الحيوي داخل الجسم

جدول رقم (4) يوضح التوزيع الحيوي للمعققدات المعتمدة في الفئران والارانب

جدول رقم (4) يبين نتائج التوزيع الحيوي لمعققدات تخطيط الكلية في الحيوانات المختبرية

الاعضاء	% نسبة الجرعة / العضو		
	^{99m}Tc -DTPA	^{99m}Tc -GH	^{99m}Tc -DMSA
	5min	60min	2h
الدم	10.4±0.6	3.7±0.6	7.2±0.3
الכבד	3.0±0.2	1.1±0.3	1.9±0.1
المعدة	0.4±0.04	X	X
الامعاء	4.1±0.4	X	X
الكلية اليمنى	3.9±0.4	5.7±0.7	20.6±0.6
الكلية اليسرى	3.1±0.4	5.5±0.6	20.5±0.3
الكلية / الدم	0.7	3.0	5.7
الكلية / الكبد	2.4	10.2	21.6

Tc^* -DTPA in mouse, ^{xx}Tc -GH in Rabbit and ^{xxx}Tc -DMSA in Rabbit.

أقبال فاضل علوان و حسين على محمد

ويلاحظ في الجدول ان نسبة المادة المشعة المتبقية في الدم لمعقد ^{99m}Tc -DTPA اكثراً مما هي لمعقدي Tc-GH , Tc-DMSA ويعود ذلك الى طبيعة المعقد المعلم حيث يستخدم لتصوير شكل الكلية ووظيفتها⁽²⁾.

ان نسبة تجمع المادة المشعة في الكليتين يكون اكثراً من بقية اعضاء الجسم مما يدل على حرية تجمع واستقرارية المعقادات مطابقة الى طريقة تشخيص عمل ووظيفة الكلية وكذلك وجد بأن نسبة تجمع المادة في الكلية / الكبد هي 21, 6, 10, 2, 2, 4 لكل من المعقادات Tc-DMSA , Tc-GH , Tc-DTPA على التوالي اما نسبة تجمع المادة في الكلية / الدم، 3, 5, 7, 0.7 هي لكل من المعقادات Tc-DMSA , Tc-GH , Tc-DTPA على التوالي.

الدراسة الحركية للبلازما خارج الجسم

يوضح جدول رقم (5) نتائج الدراسة الحركية للبلازما خارج الجسم حيث يتضح بان 5-10% يكون ارتباط معقد ^{99m}Tc -DTPA مع بلازما الدم اما معقد $^{99m}\text{Tc-GH}$ فيكون بحدود 75% خلال 6 ساعات الاولى، وظير معقد ^{99m}Tc -DMSA بحدود 75% وازداد خلال 24 ساعة الى 90%， اما المركب الغير مرتبط فقد نفي من الدم بسرعة اعلى من معدل الترشيح حيث تبلغ النسبة 10% وهذا يدل على التأثير قليل على معدل طرح الكلى والارتباط خارج الجسم مع نموذج الدم الذي يتم سحبه في جسم الارنب⁽¹⁰⁾.

جدول رقم (5) يبين ارتباط المعقادات لبلازما الدم

	نسبة الارتباط البروتيني		
المعقد المعلم مع ^{99m}Tc	10 دقيقة	30 دقيقة	60 دقيقة
^{99m}Tc -DTPA	1.5	2.0	4.0
$^{99m}\text{Tc-GH}$	11.1	23.1	68.5
$^{99m}\text{Tc-DMSA}$	95.9	96.3	93.9

معدل عدد التجارب 6 لكل معقد.

الاستنتاج

تم التوصل الى تقييم اجزاء معقد DMSA المعلم بنظير التكتينشيوم 99m لأول مرة بواسطة طريقة كروماتوغرافي الطبقة الرقيقة باستخدام محلول يتكون من 1:1:4 بيوتانول و اسيتون و ماء. وكذلك ثبتت طريقة الـ GCS (الترشيح البيلامي) هي الطريقة المثلثى لفصل جميع مراحل المعقدات المعلمة بالتكينشيوم 99m لغرض تحطيط الكلية و ان الارتباط الخارجي ليس له تأثير على خصائص المعقدات.

المصادر

1. Russell, C.D. and Speiser, A.G.; J. Nucl. Med. 21, 1086, (1980).
2. Yehs, W and Kriss, J.P.; J. Nucl. Med. 21, 1086, (1980).
3. Haynie T.P., Konikowski, T. and Glennh., J;J. Nucl. Med. 18, 915, (1977).
4. Al-Hillia-M., Al-Jumaili, I.F. and Al-Azzawi, H.M. IEAC, 6340, PO3-85.
5. Russell, C.D. and Dobov sky Ev.; J. Nucl. Med. 36: 603-606, (1995).
6. Eckelman, W.C.. and Volkgrt, WA; Int. J. apple. Radiat. Isot. Val 33: (445-950), (1982).
7. Russell, C.D., and et al J. – Nucl. Med. 27: 560-562, (1986).
8. I.F. Alwan and H.A. Mohamad. IEAC, 6340, po2, (1990).
9. Arnold, Richard W. et. al; J. Nucl. Med. 22, 1054. 1058, (1981).
10. Davi, R., Vera, Anne and Robert F.; J-Nucl Med 42: 951-959, (2001).

تقييم كفاءة المرشحات في محطة تصفية المياه الثقيلة في الرستمية

زينب حسين علي ، كوثير عبد الرزاق سلمان ، خولة احمد عبد اللطيف ، شيماء سعدي
 اطلال ناجي ، نجوان كنعان ، فوزية خليفة
 * قسم السيطرة النوعية - منظمة الطاقة الذرية العراقي

الخلاصة

تم في هذه الدراسة توضيح الواقع الحالي لمشروع التصفية في الرستمية (التوسيع الثالث) حيث اخذت عينات من احواض الترسيب الاولية، والمعالجة البيولوجية واحواض الترسيب الثانوية ومياه المصب لنهر ديالى وعدها موقع بعد المصب وموقع واحد قبل المصب ودرست ادلة التلوث البكتيري التي تشير كفاءة التصفية كما درست بعض العوامل الكيميائية والبيولوجية مثل المتطلب الكيميائي للأوكسجين COD والمتطلب البيولوجي للأوكسجين BOD، والماء العالقة والنترات، ومن خلال تقييم النتائج ظهر بأنها أعلى من المحددات المسموح بها للمياه الثقيلة والتي يفترض أن يتم تقليل الملوثات كفاية بصد مرورها بمراحل التصفية كافة إلا أنها اضافت مواد ملوثة وبأعداد كبيرة وكثبيات تفوق المحددات العراقية لنهر ديالى ودجلة وهذا واضح من خلال الاطلاع على النتائج ومناقشتها في المتن.

المقدمة

توجد في محافظة بغداد مختطين لمعاملة المياه الثقيلة اولياً في جانب الرصافة (الrstمية) بم المشروع القديم والجديد (التوسيع الثالث) وقد بلغت طاقتها التصميمية $480 \text{ m}^3 / \text{ يومياً}$ يدخل اليهما اكثر من $950 \text{ الف m}^3 / \text{ يومياً}$ ، المحطة الأخرى في جهة الكرخ ذات طاقة تصميمية $410 \text{ الف m}^3 / \text{ يومياً}$. ان المياه الداخلة بمحطة الرستمية تتسم بذاتها بخصائص مائية اضافية الى نقص في كفاءتها بسبب العطلات الكثيرة بها وبالتالي فإنه هناك ملوثات عديدة تطرح مع المياه من تلك المحطتين الى نهر ديالى وتشمل الملوثات البكتيرية وزيادة واضحة في المتطلب

زینب حسین علی وجماعتها

الحيوي للأوكسجين BOD والمتطلب الكيميائي للأوكسجين COD ، اضافة الى زيادة الفوسفات والنترات فقد تجاوزت المحددات البيئية العراقية⁽¹⁾.

المواد وطرائق العمل

تم جمع عينات مياه ثقيلة من محطة الرستمية (الواسع الثالث) ولمدة ثلاثة اشهر من مراحل مختلفة من التصفية هي احواض المعالجة الاولية، مرحلة المعالجة البيولوجية، احواض المعالجة الثانية (الترسيب الثاني)، الماء النهائي المطروح في نهر ديالى، من موقع قبل منطقة المصب للمياه الثقيلة على بعد 100م، وعلى بعد 2.5م من بعد المصب، 150م ، 400م بعد المصب وقد تم قياس نسبة البكتيريا القوقونية، القولونية البرازية، العدد الكلي للبكتيري Total Plate Count، المتطلب الحيوي للأوكسجين BOD والمتطلب الكيميائي للأوكسجين COD ، المواد العالقة، النترات وحسب الطرق المنتجة في APHA, Mara.

النتائج والمناقشة

المعروف لجمع الباحثين والمتخصصين في هذا المجال ان معاملة المياه الثقيلة هدفها الاساس هو تحسين المياه المطروحة للنهر للحفاظ عليه من التلوث ضمن المحددات العراقية والدولية فنلاحظ من الجدول رقم (1) ان هناك ثلاثة مراحل لمعاملة المياه الثقيلة هي مرحلة الترسيب الاولى والمعالجة البيولوجية ومرحلة الترسيب النهائي وهناك في بعض الدراسة المعاملة الثلاثية Tertiary Treatment تهدف الى ازالة المغذيات مثل النترات والفوسفات التي لها دور في ادامة نمو الاحياء المجهرية والفطريات فيووضح الجدول ان هناك انخفاض قليل جداً من كثافة الاحياء المجهرية الناجمة من مراحل المعالجة الثلاثة وبالتالي تطرح مياه ملوثة جداً الى نهر ديالى وهذا بطبيعة الحال يجعله غير صالح للاستخدامات العديدة، كما ان الجدول رقم (2) يوضح ايضاً ان هناك ادلة اخرى لكشف الملوثات هي المواد الصلبة فقد وصلت الى 650 ملغم / لتر والمتطلب الكيميائي والبيولوجي للأوكسجين الذين يوضحان دقة وكفاءة المعاملة في المحطة حيث يعتبر تلك العاملان عن المواد العضوية الذائبة والتي تحتاج الى اوكسجين بكمية كبيرة لتكسيرها وتفككها من قبل الاحياء المجهرية كافة، فنلاحظ ان BOD_5 و COD وصلوا الى 430، 650 ملغم / لتر على التالى في حين ان القيم المسموح بها في مياه المطروحة من المحطة للنهر هي

7 و 15 ملغم/لتر على التالى لكليهما والحال نفسه بالنسبة للنترات التي وصلت الى 45 ملغم/لتر مما يبيى وسط ملائم لتكاثر فطريات المجاري والطحالب واحياء مجهرية اخرى وهذا يتافق مع المحددات العراقية⁽¹⁾ ولو رجعنا للجدول رقم (3) لظهر التلوث الى تسببه محطة الرستمية لنهر دىالى فعند قياس ادلة التلوث البكتيري على مسافات متعددة قبل المصب وبعده وجد ان نهر دىالى على بعد 100 م قبل المصب يعتبر نظيف وخالي نوعاً من التلوث Ali⁽⁴⁾. وعند فحص مياه النهر في منطقة المصب ترتفع تلك الكثافة الى $10^6 \times 8$ خلية / 100 سم³ وعند استمرار تدفق المياه المطروحة وخلطها بمياه النهر يحدث تخفيف بسيط للاحياء المجهرية فقد وصل على بعد 2.5 م الى $10^6 \times 24$ خلية / 100 سم³ وعلى بعد 150 م و 400 م حدث انخفاض حيث تم تسجيل $10^6 \times 12$ و $10^6 \times 9$ خلية / 100 سم³ على التالى وهذا يدل على حدوث حالة تخفيف ونقصان في كثافة البكتيريا عند اختلاطها مع ماء النهر وكلما بعذت المسافة على موقع مصب المياه التقيلة Ali⁽⁵⁾، عند دراسة بعض العوامل الكيميائية للمياه التقيلة المطروحة للنهر مجد ان المواد العالقة Solid والمتطلب الكيميائي والبيولوجي للأوكسجين والنترات عالية فقد سجلت 45, 675, 430, 650 ملغم/لتر على التالى لكل العوامل المذكورة سابقاً وهذا يتاسب مع المحددات العراقية⁽¹⁾ وبينس الوقت يتفق مع دراسة سابقة⁽⁶⁾ انجزها مركز الدراسات البيئية واوصى بحاله التلوث الغير مسموح بها من مياه الترشيح والتي تسبب تلوثاً واضحاً لمياه المسطحات المائية دىالى ونهر دجلة ويجب الانتباه لهذه الحالة واتخاذ الاجراءات الملائمة والسرعة لوقف هذا التدهور.

جدول رقم (1) : يوضح التوزيع البكتيري في مراحل المعالجة المحطة الرستمية التوسع الثالث

Location	Coliform	Faecal Coliform	Total Plate Count
الترسيب الاولى	46×10^7	24×10^5	3×10^6
مرحلة المعالجة البيولوجية	15×10^7	15×10^5	22×10^5
مرحلة الترسيب النهائي	43×10^6	93×10^5	38×10^5

زينب حسين على وجماعتها

جدول رقم (2) : معدلات بعض العناصر للمياه المتدفقة من محطة الرستمية

Location	S.S	BODs	COD	NO ₃
Final effunt	650	430	675	45

جدول رقم (3) : يوضح التوزيع البكتيري قبل وبعد مصب الرستمية (التوسيع الثالث)

Location	Coliform	Fecel Coliform	Total Plate Cout
100m Before effluent	4×10^2	4×10^2	5×10^3
Effluent	43×10^6	24×10^5	4×10^9
2.5m after the effluent	24×10^6	11×10^6	23×10^8
150m.A	12×10^6	34×10^4	72×10^5
400m.A	9×10^6	46×10^4	10×10^5

المصادر

- القانون رقم 25 لسنة 1967، محددات المياه والانهار، وزارة الصحة.
- American Public Health Association, American water work association and water pollution Control Deferation. Standard methods for examination of water and waste water, 14ed. New York. American Public Health Association, Inc. (1975).
- Mara, D.D. bacteriology for saitary Engineers 229. Pp. (1974).
- Ali, Z.H and Sabri, A.W. Bioactive Filter using Ciliates to control bacterial population in sewage water. Diala. Journal Vol. 2(2): 520-527, (2000).
- Ali, Z.H. and Sabri, A.W, The effect of Gulf war on the surface water accepted in Environmental conference of Environmental establishment. Nov. (1999).
- انمار وهبي، ثامر عبد الرزاق، خالد عباس رشيد، عدنان عفج، زينب حسين، دراسة الاثثار البيئية لتصريف المياه الثقيلة الى المبازل. مركز الدراسات البيئية تموز، دراسة محدودة التداول، (1993).

توزيع الهايمات الحيوانية في القاطع الشمالي لنهر صدام

زيتب حسين علي*، انتار وهبي صبرى، امل ياسين على وعنى حسون حمادى **

*قسم السيطرة النوعية - منظمة الطاقة الذرية العراقية

**قسم تكنولوجيا المياه - منظمة الطاقة الذرية العراقية

ABSTRACT

The zooplankton in northern stretch of Saddam river was studied for three successive years starting 1993. Five stations were selected for sampling near the drainage of Abu Greeb (St.1), Al-Mahmoudia (St.2), Al-Xenderia (St.3), Al-Souaira (St.4) and Al-Nuamania (St.5) channels. The numbers of cladoceran species were declined from 23 during 1993 to 17 and 1994 and 1995, respectively. Rotifers showed similar trend and the recorded species number were 25, 18 and 12 during 1993, 1994 and 1995, respectively. The population densities showed similar pattern. It seems that the state of pollution that reached its peak during 1995 was the main reason for the decline in species number and population densities of the studied fauna (Cladocera, Rotifera and Copepoda). The seasonal and spatial variations of the zooplanktons were discussed.

الخلاصة

تمت دراسة الهايمات الحيوانية في القاطع الشمالي من نهر صدام لمدة ثلاثة سنوات متتالية اعتبارا من عام 1993، حيث انتُخبت خمس محطات موزعة قرب مجازل أبي غريب (St. 1) والمحمودية (St.2) الاسكندرية(St.3) الصويرية (St.4) والنعمنية (St. 5). لوحظ انخفاض عدد انواع متفرعة اللوامس من 23 الى 17 و 13 نوع خلال الاعوام 1993 و 1994 و 1995 على التالى. اما بالنسبة للدولابيات فقد اظهرت نتائج مماثلة لما هو عليه في متفرعة اللوامس ، اذ تم تسجيل 25 و 18 و 12 نوع خلال الاعوام الثلاثة على التالى. فيما يتعلق بالكتافة السكانية للهايمات المدروسة فانها سلكت نفس المسار المشار اليه في اعلاه. يبدو ان لحالة التلوث تأثيرا رئيسا على الهايمات المدروسة (متفرعة اللوامس والدولابيات ومجذافيه الاقدام)، اذ ان التلوث قد بلغ ذروته عام 1995 مما ادى الى انخفاض ملحوظ في

زینب حسین علی و جماعتہا

عدد الانواع وكثافتها. نوقش في متن البحث التغيرات الفصلية والمکانیة في عدد الانواع والکثافات.

المقدمة

بالنظر لانتشار الكبير للاملاح في الارض الزراعية الواقعة بين نهري دجلة والفرات في منطقة السهل الرسوبي فقد اصبح من الضروري انشاء شبكة رئيسية للبزل ، لذا فقد تم اجراء عدد من الدراسات اكدت الاخيره منها على ضرورة ربط جميع المبازل بمبنى رئيسی كبير يتوسط النهرين يمتد من شمال بغداد وينتهي في خور الزبير عند الطرف الشمالي للخليج العربي بدلأ من ان ينتهي في الاهوار او في شط العرب . ولحاجة القطر الى اراضي زراعية فقد بوشو بتنفيذ مشروع كبير في 25/5/1992 وانجز في 7/12/1992 واطلق عليه مشروع نهر صدام بدلاً من التسمة القديمة (المصب العام) (الكبيسي ، 1996) .

انجز الميداوي وجماعته (1993) دراسة اولية ولفترة قصيرة عن المحتوى الملحي والآيوني لمياه مبازل الجزء الشمالي من نهر صدام وتأثيره على الاسماك والاحياء المائية وهنالك دراسة انجزت من قبل شكري (1994) تضمنت محاولة لتقدير مياه نهر صدام وصلاحية مياهه للزراعة ، اما سليمان وكامل (1996) فقد نشرتا بحثاً عن الطحالب في الجزء الشمالي من . تعد دراسة الكبيسي (1996) هي من الدراسات الشاملة لنهر صدام حيث تناول الواقع البيئي لنهر صدام بقاطعه الثلاثة .

وفيما يتعلق بالهايئات الحيوانية فلا توجد اية دراسة كاملة باستثناء دراسة الكبيسي 1996 الذي اشار بشكل اولي الى الهايئات الحيوانية تناولت الدراسة الحالية وبالتفصيل توزيع الهايئات الحيوانية في القاطع الشمالي من النهر واثر الملوثات المختلفة على نمط توزيعها الزمانی والمکانی وذلك لكثره المبازل والمنشاءات الصناعية التي تطرح مخلفاتها فيه وقد استمرت هذه الدراسة 3 سنوات .

وصف المنطقة

يبلغ طول نهر صدام 565 كم يبدأ من مبنى الصقلاوية شمال بغداد ويستمر حتى منطقة المصب جنوب غرب مدينة البصرة ، قسم النهر الى ثلاثة قواطع هي القاطع الشمالي ، القاطع

الوسطي والقاطع الجنوبي أشاء عمليات التنفيذ . تم في هذا البحث دراسة القاطع الشمالي فقط وذك لكثره المبازل والمنشاءات الصناعية التي تطرح مخلفاتها به . يبدأ هذا القاطع من شمال بغداد وينتهي في هور الدلمج حيث يبلغ طوله 168 كم وتصب فيه مبازل أبي غريب والرضوانية واليوسفية وهو رجب واللطيفية والاسكندرية والمسيب وبازل الحلة - الهاشمية وبازل كصيبة - شحيمية ، تم اتخاذ خمسة محطات للنموذج موضحة على الشكل (1) وهذه المحطات قريبة من مصبات المبازل التالية (1) أبي غريب ، (2) المحمودية ، (3) الاسكندرية ، (4) الصويرية ، (5) النعمانية .

المواد وطرائق العمل

تم اخذ عينات الدراسة الحالية شهرياً من الموقع الخمسة باستخدام جردن بولنثي نظيف مدرج لغاية 10 لتر ، حيث تم ترشيح 60 لتر من المياه من (صفتي النهر ووسطه) وذلك بامرارها عبر شبكة هائمات قطر فوتها 30 سم وقطر فتحاتها 55 مايكرون بعد انتهاء الترشيح افرغت محتويات الشبكة من الهائمات المتجمعة في الحاوية الموجودة في نهاية الشبكة الى قناني تحتوي على حوالي 10-5 سم³ من 5% فورمالين ، عند العودة الى المختبر تم ترشيح العينة مرتاحى وغسلت القنينة جيداً بالماء المقطر لضمان ترشيح وجمع الهائمات في العينة ومن العينة يتم الحصول على عينة مرشحة مركزة تمثل 60 لتر من المياه . تم حساب كثافة الهائمات الحيوانية وذلك بوضع حجم من العينة المرشحة المركزة بواسطة قطارة في شريحة زجاجية ذي حفرة مفتوحة تسع 1 سم³ وفحصها تحت مجهر مركب نوع Olympus ياباني الصنع شركة Olympus Optical Co.LTD كررت العملية لحين عدم جمعي الهائمات الحيوانية في العينة المركزة باكمالها وعبر عن النتائج بفرد/م³ .

شخصت الهائمات الحيوانية وصنفت الى مستوى الجنس او النوع بالنسبة للمجموعتين متفرعة اللوامس والدولابيات فقط في حين تم عد البرقات والبالغات كل على حدة وذلك فيما يتعلق بمجاديفية الاقدام دون تشخيصها الى مستوى الجنس او النوع للصعوبة في ذلك . اعتمدت المصادر والمفاتيح التشخيصية التالية في عملية التشخيص والتصنيف

(Pontan, 1978; Edmondson, 1959)

النتائج

1. متفرعة اللوامس *Cldocera*

يبين من الشكل (2) أن الكثافة السكانية لهذه المجموعة قد وصلت أعلى قيم لها خلال عامي 1993 و 1994 مقارنة بالعام 1995 حيث ان أعلى كثافة سجلت خلال الأعوام الثلاثة في محطة محمودية (محطة رقم 2) وصلت إلى $650 \text{ فرد}/\text{م}^3$ في عام 1994 ، بينما سجلت أقل كثافة $12 \text{ فرد}/\text{م}^3$ في محطة الإسكندرية عام 1995 ، أما أعداد الأنواع التي ظهرت خلال الدراسة فقد كانت $23, 17, 13, 11$ نوعاً خلال عام 1993 و 1994 و 1995 على التالى (جدول 1) . وهذه الأعداد قليلة مقارنة مع الأنواع التي سجلت في الدراسات السابقة (Sabri, et al, 1989; 1993) حيث سجل 57 نوع من الدولبيات و 25 نوع من متفرعة اللوامس في نهر دجلة وكذلك سجلت (Ali, 1992) 60 نوع من الدولبيات و 30 نوع من متفرعة اللوامس في نهر دجلة ديلي . وقد يرجع انخفاض أعداد الأنواع في نهر صدام اما لقصر فترة شبيده عن اجراء الدراسة او لطبيعة النهر الملوثة ، سجل الكبسي (1996) 27 نوع من الدولبيات و 10 انواع من متفرعة اللوامس في مياه نهر صدام من شهر كانون الثاني عام 1994 ولغاية شهر اب 1995 .

لقد كان ظهور هذه الأنواع متبايناً ومتشتاً (جدول 2) فالنوع *Chydorus Sphaericus* كان سائداً في جميع المحطات خلال شتاء 1993- 1995 في حين ان ظهوره في ربيع اعوام الدراسة اظهر تذبذباً واضحاً وانعدم ظهوره تقريباً في الخريف حيث ظهر مرتين في محطة أبي غريب والمحمودية عام 1995 ، واختفى تماماً في صيف وخريف اعوام الدراسة في كافة المحطات الأخرى . كذلك سلك النوعين *Alona costata*, *Alona gutata* في توزيعها نفس مسار *C. cphaericus* حيث ظهر بشكل واضح في شتاء وربيع الدراسة واختفي تماماً في اشهر الصيف والخريف ما عدا *Alona costata* الذي سجل في محطة محمودية (محطة 2) عام 1993 وبكثافة $17 \text{ فرد}/\text{م}^3$.

2. الدولبيات *Rotifera*

يبين (الشكل 3) بأن الكثافة السكانية لهذه المجموعة قد وصلت أعلى قيم لها خلال عام 1993 . لقد وصلت أعلى كثافة في المحطة أبي غريب 2689 $\text{فرد}/\text{م}^3$ وأقل كثافة ظهرت في محطة الصويره 208 $\text{فرد}/\text{م}^3$ لنفس العام بينما بدأت الكثافة بالانخفاض خلال العامين 1994 و

1995 . في جميع المحطات وسجلت اقل كثافة لها في محطة الاسكندرية 34 فرد/ m^3 عام 1995

تم تسجيل 25,18,12 نوعاً خلال اعوام الدراسة 1993-1995 على التالى (جدول 3) .
وكان ظهور هذه الانواع متغيراً ومترذباً خلال تلك الفترة وسلكت الانواع في توزيعها نفس سلوك او مسار متفرعة اللوامس *Cladocera* فقد كان *Keratella quadrata*, *Notholca acuminata*, *Brachionus plicatilis* اكثر انواع الدولابيات ظهوراً مقارنة بالانواع الاخرى التي ظهرت بشكل متفرق.

لقد سجلت كثافات واسطة للانواع في فصل الشتاء لاعوام الدراسة واظهرت اعلى قيم لها في فصل الربيع عام 1993 حيث وصلت كثافة *N. acuminata*, *B. plicatilis* 1600 و 917 فرد/ m^3 في محطة ابي غريب على التالى (جدول 4) . كما هو الحال الذي ابتدأه متفرعاته اللوامس بدأت اعداد الدولابيات بالانخفاض خلال صيف وخريف الدراسة حيث عدم ظهور *Keratella quadrata* و *Notholca acuminata* في الخريف لكافة المحطات تقريباً .

3. مجذافية الارجل ويرقاتها Copepoda & Nauplia

يبين (الشكلين 4 و 5) ان الكثافة السكانية المسجلة خلال عامي 1993 و 1994 اعلى مما هي عليه خلال عام 1995 ، حيث بلغت اعلى كثافة لمجذافية الارجل 475 و 442 فرد/ m^3 لمحيطى محمودية والاسكندرية خلال عام 1993 ثم بدأت الكثافة بالانخفاض باتجاه اسفل النهر حتى وصلت اقل كثافة لها في محطة الصويره وبلغت 50 فرد/ m^3 . انخفضت الاعداد بشكل حاد عام 1995 حيث سجلت اقل كثافة 10 و 12 فرد/ m^3 في محطة محمودية والنعمانية . اما المراحل اليرقية Nauplia stages فقد سجلت اعلى كثافة لها في محطة محمودية 433 فرد/ m^3 خلال العام 1993 وانخفضت الى 60 فرد/ m^3 لنفس المحطة عام 1995 . كما سجلت اقل الكثافات في محطة الصويره خلال اعوام الدراسة وانعدم ظهورها في محطة النعمانية عام 1995 .

المناقشة

ان الظروف البيئية السائدة مثل التلوث بكافة انواعه سواء كان بكتيرياً او كيميائياً ، توفر الغذاء ، درجة الحرارة الملائمة ، توفير الاوكسجين في المياه ووجود الملوثات الاخرى لها تأثير

زینب حسین علی و جماعتہا

مباشر علی ظہور و اختفاء انواع معینہ وبالتألی التأثير علی کثافتھا (Hynes, 1970; Elliot, 1977).

أظهرت النتائج ان محطة ابی غریب قد سجلت اقل کثافة سکانیة لجمیع مجامیع اليهائمات (Nauplii stages) مقارنة مع متفرعه اللوامس ، الدولابیات ، مجدافیة الارجل و اطوارها الیرفیة (Nauplii stages) مقارنة مع محطة المحمودیة . ان ذلك قد یرجع سببھ الى طبیعة میاه المحطة ، حيث ان معمل الابان یصرف میاه ملوثة اليها بما لا یقل عن 200م / الساعة للمبزل الذي یصب مباشرة في هذه المحطة من النهر ، علماً ان معمل الابان لا یحوي وحدات معالجة (عبد الرزاق وجماعته 1994) . أشارت النتائج لم محطة المحمودیة أظهرت اکثر کثافة سکانیة بالمقارنة مع کافة المحطات في تلك الفترة وخاصة في عامي 1993 و 1994 حيث كانت اقل تلوثاً (علی و جماعته 1995) مقارنة مع محطة ابی غریب التي أظهرت تلوثاً بكثیراً عالیاً مما قد یكون السبب في الانخفاض الواضح لجمیع مجامیع اليهائمات .

ان اعداد اليهائمات ظهرت قلیلة في محطات الاسکندریة والصویرة والنعمانیة وخلال اعوام الدراسة قد یرجع السبب في ذلك الى ارتفاع الملوحة . حيث سجل (المهداوي و جماعته 1993) في مبارز اللطیفیة ، الاسکندریة والصویرة والتي یصب في میاه نهر صدام قیماً 6.70 ، 6.58 ، 5.88 % على التالی لقد اوضح صبری و جماعته (1993) ان للملوحة تأثير كبير على التوزع والکثافة للیهائمات الحیوانیة . سجل التغایر الفصلی Seasonal variation للأنواع السائدة خلال فترة الدراسة ، حيث وجدت اعلى القيم خلال الشتاء والربيع لمترفعه اللوامس ومنها Keratella Chydorus sphaericus, Alona costata, Alona guttata: quadrata, Notholca acuminata, Brachionus plicatilis وانعدم هذه الانواع تقریباً خلال اشهر الصیف والخريف . حيث تميل هذه الانواع وغيرها وخاصة في فترة ارتفاع درجة الحرارة الى النزول في اعماق المیاه تجنباً من تأثيرها كذلك للتخلص من الافتراس والتغافیل الغذائي (Sabri et al, 1990) .

ان انواع القشريات والدولابیات التي سجلت خلال الدراسة اخذت بالانخفاض حيث وصلت اعداد انواع القشريات 23 ، 27 ، 13 نوعاً واعداد انواع الدولابیات 25 ، 18 ، 12 نوعاً خلال فترة 1993-1995 وارتفاع الملوحة مما یؤکد النتائج التي اشار اليها صبری و جماعته في ان للملوحة تأثيراً كبيراً على توزع اليهائمات وهذه الاعداد قلیلة بالمقارنة مع الانواع التي سجلت في الدراسات السابقة (Sabri et al, 1989,1993) حيث سجل 57 نوع من الدولابیات و 25 نوعاً

من متفرعة اللوامس في نهر دجلة وكذلك سجلت (Ali, 1992) 60 نوعاً من الدولابيات و 30 نوعاً من متفرعة اللوامس في مياه نهر ديالى و دجلة. قد يرجع انخفاض اعداد الانواع في نهر صدام اما لقصر فترة تشييده عند اجراء الدراسة او لطبيعة النهر الملوثة.

جدول (1): انواع متفرعة اللوامس المشخصة في مياه القاطع الشمالي من نهر صدام خلال الفترة (1995-1993).

Cladocera species	1993	1994	1995
1. <i>Alona costata sars</i>			
2. <i>A. gutata Sars</i>			
3. <i>A. rectangula Sars</i>			
4. <i>A. renuicocudies</i>			
5. <i>A. quadrangularis</i>			
6. <i>Bosmina coregoni</i> Baird			
7. <i>B. longirostris</i> O. F. M.			
8. <i>Ceriodaphnia reitculata</i> Jurine			
9. <i>C. rigudi</i>			
10. <i>Ceriodaphnia</i> sp.			
11. <i>Chydorus sphaericus</i> O. F. M.			
12. <i>C. ovalis</i>			
13. <i>C. latus</i>			
14. <i>Diaphanosoma brachyrum</i> Lieven			
15. <i>D. leachtenbeglarium</i>			
16. <i>Ephemeropterus barroisi</i> Kichard			
17. <i>Comptocerccus rectirostris</i> Scholder			
18. <i>Chydorus</i> sp.			
19. <i>Ilyocryptus sordidus</i> Lieren			
20. <i>I. acutifrons</i>			
21. <i>Macrothrix laricornis</i> Jurine			
22. <i>Pleuroxus trigonellus</i> O. F. M.			
23. <i>Pleuroxus</i> sp.			
24. <i>Simocephalus exispenosus</i> O. F. M.			
25. <i>S. vetulus</i>			

جدول رقم (2) : التغاير الفصلي للأنواع السائدة من متفرعة اللوامس
في نهر صدام (فرد / م³)

Station	Cladocera	Winter			Spring			Summer		
		93	94	95	93	94	95	93	94	95
Abu-Greeb	<i>Chydorus sphaericus</i>	17	17	204	17	200				17
	<i>Alona costata</i>	17	33	107	17	17				
	<i>A. gutata</i>	32	17	33		34				
Mahmodia	<i>Chydorus sphaericus</i>	33	433	303	33	209				7
	<i>Alona costata</i>	17	101	17	133	17				17
	<i>A. gutata</i>	17	167	17	133					
Al-Xenderia	<i>Chydorus sphaericus</i>	17	50		34	20				
	<i>Alona costata</i>	17	33	17		17				
	<i>A. gutata</i>	17		17	17					
Sauera	<i>Chydorus sphaericus</i>	17	17		150	200	400			
	<i>Alona costata</i>	34	50	17	100	33				
	<i>A. gutata</i>	34	17	17	50					
Nomania	<i>Chydorus sphaericus</i>	100	200		83	33				
	<i>Alona costata</i>	17	17		83					
	<i>A. gutata</i>	34	17	17	17					



Fig. 3a. Reuteria distribution along Saddam river



زینب حسین علی و جماعتها

جدول رقم (3) اوعي الدواليبيات Rotifera المشخصة في مياه القاطع الشمالي لنهر صدام خلال الفترة (1995-1993).

Rotifera species	1993	1994	1995
1. <i>Asphanchna priodonta</i> Gosse	+	+	+
2. <i>Brachionus angularis</i> Gosse	+	+	
3. <i>B. quadridentata</i> Hermann	+	+	+
4. <i>B. calyciflorus</i> Pallas		+	
5. <i>B. plicatellus</i> Muller	+	+	+
6. <i>Brachionus</i> sp.	+	+	
7. <i>Cephalodella</i> sp.	+		+
8. <i>Euchlanis</i> sp.	+	+	
9. <i>Euchlanis diltata</i> Ehrenberg	+		
10. <i>Filina longiseta</i> Ehrenberg	+		
11. <i>Monostylla bulla</i> Ehrenberg	+		
12. <i>M. quadridentata</i> Ehrenberg	+		+
13. <i>Hexarthra mira</i> Hudson	+		+
14. <i>Keratella cochlearis</i> Gosse	+	+	+
15. <i>K. hiemalis</i> Carlin	+	+	+
16. <i>K. quadrata</i> Muller	+	+	

Rotifera species	1993	1994	1995
17. <i>Lecane Luna</i> (L) O. F. M.	+	+	+
18. <i>Lecan</i> sp.	+	+	
19. <i>Lepadella patella</i> Muller	+	+	
20. <i>Lepadella</i> sp. O. F. M.	+	+	
21. <i>L. ovalis</i> Muller	+		+
22. <i>Notholca acuminata</i> Muller	+		+
23. <i>Polyarthra dolichoptera</i>	+		+
24. <i>Philodina</i> sp.	+	+	
25. <i>Synchaeta</i> sp.	+	+	
26. <i>Synchaeta oblonga</i> Ehrenberg	+		

جدول رقم(4): التغير الفصلي في الانواع السائدة من الدولبيات في نهر صدام(فرد/م³)

Station	Cladocera	Winter			Spring			Summer			Autumn		
		93	94	95	93	94	95	93	94	95	93	94	95
Abu - Greab	<i>Brachionus plicatus</i>	17	17	17	917	10	63	167		30			40
	<i>Notholca acuminata</i>	17	17	50	1600	67		167			25		0
	<i>K. quadrata</i>	34	34	17	1500			17					
Mahmodia	<i>Brachionus plicatus</i>	17	34	30	183	50	30	50	383		33		20
	<i>Notholca acuminata</i>	17		200	200	33	60	50					
	<i>K. quadrata</i>	17	17	9	250	33	9	17					
Al-xenderia	<i>Brachionus plicatus</i>	61			94	383	31	50			25		
	<i>Notholca acuminata</i>	7									0		
	<i>K. quadrata</i>	17	20		167	33	20	50					
Sauera	<i>Brachionus plicatus</i>	17		10	50	17		71	17	133			
	<i>Notholca acuminata</i>	17			333			33	17				
	<i>K. quadrata</i>	17	17										
Nomania	<i>Brachionus plicatus</i>	34			50								
	<i>Notholca acuminata</i>	13			417	133	35	36	250				
	<i>K. quadrata</i>	4											
	<i>Notholca acuminata</i>	17	17	700	267	17		36					
	<i>K. quadrata</i>	17	33	33	133			33					

المصادر

- 1- المهداوي، غيث جاسم ونادر عبد سلطان ومختار خميس محمد سعيد حبة وعلي عبد الزهرة زبون وسعيد عبد السادة غيطان (1993). المحتوى الملحي والاليوني لمياه مبارز الجزء الشمالي لنهر صدام وتأثيره على الاصماك والاحياء المائية. مجلة وادي الرافدين . مجلد(8) العدد(3).
- 2- شكري، حسين محمود (1994)، تقييم مياه نهر صدام وصلاحيتها لزراعة الخطة. رسالة ماجستير، كلية الزراعة، جامعة بغداد.
- 3- سليمان، نضال ادريس ورويدة فاهم كامل(1996)، دراسة نوعية للطحالب في نهر صدام القاطع الشمالي. مجلة ابن الهيثم للعلوم الصرفة والتطبيقية.
- 4- الكبيسي، عبدالحمن عبدالجبار (1996)، الواقع البيئي لنهر صدام. رسالة دكتوراه، كلية التربية ابن الهيثم، جامعة بغداد.
- 5- عبدالرزاق، ثامر وصبرى، انمار وهبى وزينب حسين علي و محمد حسن (1994)، التلوث البيئي الناتج من تصريف المياه في المنشآت الصناعية العراقية R02-6160 .
- 6- علي، زینب حسين وصبرى، انمار وهبى ويونس، محمد حسن وسلطان، حسن هندي وعلى، منتهى محسن وفهد، هيفاء محمود (1995)، انتشار البكتيريا في القاطع الشمالي في نهر صدام. دائرة البحوث البيئية/ منظمة الطاقة الذرية العراقية.
- 7- Ali, Z. H. (1992). effect of Dialya river and Tuwaitha site on Tigris river: zooplankton distribution. Environmental research center Iraq. Unpublished.
- 8- Al-Hamed, M.I.(1976). Limnological investigation of Dukan reservoir. Bull. Nat. Hist Center. 7:9-109.
- 9- Al- Saboonchi, A. A. (1986), Zooplankton of Garma marshes. Iraq. J. Biol. Sci. Res.17(1): 33-39.
- 10- Edmondson, W.T.(1959). Fresh Water biology. New York, London. John wily sons W.C.
- 11- Elliott, J.I.(1977). Seasonal changes tha abundance and distridution
- 12- Hynes H.B.N(1970). The ecology of running water. Liverpool University press SSSP.

- 13- Mangalo. H.H and Akbar, M.M.(1986). Seasonal Variation in population density of zooplankton in that reaches of Diayla River, Baghdad ,Iraq. JBCR J.Biol. Sci. Res. 17(1)99-113.
- 14- Pontin, R.M(1978). A key to British Fresh water plankton Rotifera. Fresh Water Biological Association Scientific Publication No. 38.
- 15- Sabri, A. W.(1988). Ecological studies on rotifera (Aschelminthes) in the river Tigris. Acta Hydrobiol., 30: 367-379.
- 16- Sabri, A. W. , Ali, Z. H., Thejar, L. A. , Shawkat, S. F. and Kassim, T. I.(1989). Vertical distribution impoundemnt. Iraq. Proc. 5th. Sci. Conf. Baghdad. 5(2): 7-11.
- 17- Sabri, A. W.; Ali, Z. H.; Thejar, L. A.;Shawkat, S. F. and Rasheed, K. A. (1990). Diurnal vertical migration of Zooplankton Samarra impoundment ,Iraq. J. Biological Sci. 10:1-11.
- 18- Sabri, A. W.;Ali, Z. H. Thejar, L. A. , Shawkat, S. F. and Kassim, T.(1993). Zooplankton population in river Tigris:Effect of Samarra impoundment. Regulated river. 8: 237-250.

خصائص انتقال الطاقة في منظومة ليزر TEA-CO₂ صغيرة الحجم

د. عدوية جمعة حيدر*, عدي عطا حمادي *

وحدة أبحاث الليزر - الجامعة التكنولوجية - ص.ب. 35010 - بغداد - العراق

الخلاصة

في هذا البحث، جرى دراسة خصائص انتقال الطاقة في منظومة ليزر TEA-CO₂ صغيرة الحجم والتي تعمل عند الطول الموجي $m10.6$? . تعد مثل هذه المنظومات ذات أهمية بالغة في التطبيقات وخاصة العسكرية منها. تم تشغيل المنظومة بتوظيف تقنية التأين الأولى باستخدام الأوتاد وكان مقدار الطاقة الخارجية $mJ30$ بأمد نبضة 100nsec . تم دراسة اعتماد كل من الفولتية المجهزة والطاقة الخارجية على الضغط داخل حجرة الليزر وسعة المتسعه الرئيسية. بلغت الكفاءة القصوى لمنظومة الليزر 4.4%.

ABSTRACT

In this work, the operational characteristics of a Mini-TEA CO₂ laser, having great importance in military applications, were discussed. The Mini-TEA CO₂ laser system used was operated at 10.6mm with preionization pins, output energy of 30mJ and pulse duration of 100nsec. In absence of preionization, output energy of 6mJ and pulse duration of 100nsec were obtained. Dependencies of supply voltage and output laser energy on the main capacitor and the pressure inside laser cavity were investigated. The maximum efficiency of laser system was calculated to be 4.4%.

المقدمة

تم تشغيل ليزر CO₂ ذي التبيج المستعرض عند الضغط الجوي (TEA) لأول مرة من قبل مجموعتين من الباحثين عامي 1969 و 1970 [1-2]. إذ طورت هاتسان المجموعتان تقنيتين للتفریغ التوهجي ذي المساندة الذاتية (Self-Sustained) للخلط الغازي المكون من الغازات CO₂ و N₂ و He عند الضغط الجوي. وقد توالى البحوث بعد ذلك لتطوير ليزرات

TEA CO_2 انطلاقاً من آلية تحديد التيار باستخدام مصفوفات من الأوتاد (Pins) [2] أو الحزمة الإلكترونية⁽³⁾.

إن المعامل الرئيسي الذي يحكم سلوك البلازما في التفريغ التوهجي من أجل الوصول إلى حالة الاستقرار (Steady State) هو نسبة المجال الكهربائي (E) إلى كثافة الغاز (N) والذي يختلف تبعاً لآلية التأين الأولى المستخدمة. فالتأين الأولى باستخدام الحزمة الإلكترونية (Electron Beam) يتميز بإمكانية التحكم بالنسبة (E/N) بسهولة وهذا عائد إلى التهيج الإلكتروني-الاهتزازي الكفاء، كذلك يمكن بناء منظومات كبيرة الحجم لتشغيل منظومات تعمل بضغط أضعاف الضغط الجوي. ومع ذلك، فإن التأين الأولى باستخدام الحزمة الإلكترونية يعتبر مكلفاً ومعقداً للغاية عند مقارنته بتقنية التأين الأولى بالأشعة فوق البنفسجية (Ultraviolet Ray).

إن أبرز المشكلات التي واجهت الباحثين في بناء منظومات لزير CO_2 هي الكثافة العالية للتيار المار خلال الوسط الفعال والذي يؤدي إلى إحداث حالة عدم الاستقرار لبلازما التفريغ وهذا بدوره يؤدي إلى تكوين الأقواس المصيصة (Bright Arcs) التي تستهلك طاقة التهيج وتوقف الفعل الليزري⁽⁴⁾.

يتم تجنب التحول إلى منطقة القوس الكهربائي دائماً في لزرات الغازاتجزيئية لأنّه يسبب تأين الغاز وهذا يقلّ حجم الوسط الفعال وبالتالي قدرة الخرج الليزري. كذلك، فإنّ هذا التحول قد يحدث عدم استقرارية للبلازما بسبب ارتفاع درجة حرارة التفريغ الكهربائي وخاصة عند الكاثود. وعليه يكون من الواجب تجنب عاملين أساسيين أثناء تشغيل منظومة الليزر الغازي وهما ارتفاع درجة حرارة الوسط الفعال وزيادة تيار التفريغ الكهربائي.

يتطلب تشغيل لزرات CO_2 النبضية والتي تعمل عند ضغط فوق الضغط الجوي أو قريباً منه أن يكون التفريغ الكهربائي متجانس فضائياً وذلك من أجل المحافظة على درجة حرارة الغاز عند درجة حرارة الغرفة تقريباً (300 K) وطاقة الإلكترون ما بين ($1-3\text{ eV}$). من أجل تقليل احتمالية التحول إلى منطقة القوس الكهربائي في لزرات CO_2 -TEA يجب أن يؤخذ ما يلي بنظر الاعتبار عند التصميم:

1. توفير تهيج نبضي وسريع وقيمة عالية بالنسبة E/N.

2. استخدام التأين الأولي لتوفير الإلكترونات إضافية قبل التفريغ الرئيسي، لذا يمكن العمل عند قيمة واطئة للنسبة E/N.

يشترط أن يكون الزمن اللازم للحصول على استقرارية التفريغ التوهجي أقصر من زمن التحول من منطقة التفريغ التوهجي إلى القوس وهو يتراوح عادة ما بين $(10^{-3} - 10^{-4}) \text{ sec}^4$ ⁽⁵⁾. فيما يمكن تحديد القيمة التشغيلية المثلثة للنسبة E/N واللازمة للحصول على تفريغ توهجي ذي مساندة ذاتية كثافة تيار التفريغ الكهربائي لخلطات غازية مختلفة عندما يتحقق شرط الاتزان ما بين كل من معدل خسارة (Loss) وتوليد (Production) للإلكترونات في التفريغ الكهربائي^(6,5). أن شرط الاتزان هذا يتحقق عندما تكون قيمة E/N أقل من قيمتها عند بدء التفريغ الكهربائي وعند ذلك لا يعتمد العامل N على كثافة تيار التفريغ والمسافة الفاصلة ما بين الأقطاب وإنما على خليط الغازات.

الجائب العملي

الشكل (1) يبين التركيب الميكانيكي لمنظومة ليزر CO₂-TEA صغيرة الحجم المستخدمة في هذا البحث [7]. تم تصميم وتصنيع أقطاب التفريغ الرئيسي وهي من نوع (Ernst profile) باستخدام برنامج حاسوب مصمم لهذا الغرض^(9,8). وجرى استخدام 20 وتد مسنن من الفولاذ مقاوم للصدأ طول الواحد منها mm27 وطول المسنن mm13. تم عمل 20 وتد على شكل إبرى و20 وتد آخر ذي نهاية مدببة وتم اختبار كلا النوعين لأجل اختيار الأفضل. تم تثبيت الأوتاد على شكل صفين متقابلين، علوي وسفلي، يحتوي كل منها 10 أوتاد.

استخدم مجيز قدرة ذي فولتية سالبة يجيز فولتية قصوى kV32 بتيار أقصى mA5000 لشحن المتعدة الرئيسية والتي هي عبارة عن ثلاثة متعددات سيراميكيه مربوطة على التوازي قيمة كل منها (nF2.4). وقد تم ربط مقاومة مقدارها (4.7) k مع متعددة الخزن الرئيسية لغرض تحديد زمن التفريغ (RC)، فيما كانت قيمة كل من متعددات التأين الأولى السيراميكيه (pF20) ويتم تجهيزها بالفولتية من مجيز القدرة المستخدم نفسه. والشكل (2) يبين دائرة مجيز القدرة المستخدم في هذا البحث.

د. عدوية جمعة حيدر و عدي عطا حمادي

استخدمت خلطة غازية من الغازات CO₂:N₂:He بالنسبة 82:2:8 على التوالي. تألف المرنان البصري من مرتين قطر كل منها (mm50). المرأة الخلفية مصنوعة من النحاس المطلية بالذهب أما الأمامية فكانت مستوية من الجermanium بانعكاسية (%60). كانت المسافة الفاصلية بين المرأتين (mm140).

النتائج والمناقشة

بيان تأثير التأين الأولى على أداء منظومة ليزر CO₂-TEA، فقد جرى تشغيل المنظومة في حالتي استخدام وعدم استخدام أقطاب التأين الأولى (الأوتاد) وكان مقدار الطاقة الخارجية mJ30 و mJ6 على التوالي. والشكل (3) يبين تأثير التأين الأولى على طاقة الخروج الليزري كدالة للفولتية المسلطة.

يوضح الشكل (4) تغير طاقة الخروج الليزري مع الضغط الكلي للغاز داخل حجرة التفريغ وكما مبين فإن العلاقة تكون لا خطية إذ تزداد طاقة الخروج الليزري مع زيادة ضغط الغاز، ولكنها تبطئ مع استمرار الزيادة في الضغط. وقد بلغت أعظم طاقة خرج ليزري mJ30 عند ضغط 1000 mbar. يمكن تفسير البوط الحاصل في طاقة الخروج الليزري بسبب زيادة عدد جزيئات الغاز التي تمثل الوسط الفعال لإنتاج الليزر داخل حجرة التفريغ. وعليه فإن مقدار الضياع في طاقة التفريغ المنقصة من قبل هذه الجزيئات سوف يزداد وهذا المقدار يتم فقدانه على شكل انتقالات حرارية بسبب التصادمات الحاصلة ما بين جزيئات الغاز.

الشكل (5) يبين تغير طاقة الخروج الليزري مع الضغط الكلي للغاز لقيم مختلفة من الفولتية المجهزة إذ يلاحظ أنه لكل قيمة من الفولتية المجهزة هناك قيمة مثلى للضغط يتم عندها الحصول على أعظم قيمة لطاقة الخروج الليزري. إن زيادة الضغط الكلي للغاز يعني تقليل معدل المسار الحر للجزيئات داخل حجرة التفريغ وبالتالي الحاجة إلى فولتية أكبر لإحداث التفريغ الكهربائي إذ أن فولتية التفريغ تتناسب عكسياً مع معدل المسار الحر لجزيئات الغاز.

تزداد طاقة الخروج الليزري مع زيادة الطاقة الداخلة أو المنقولة إلى الوسط الفعال إلى حد أن يبدأ التفريغ التوهجي بالتحول إلى منطقة القوس الكهربائي، والشكل (6) يوضح سلوك طاقة الخروج الليزري مع القدرة الداخلة. يمكن حساب الكفاءة القصوى (()) لمنظومة الليزر

من الشكل (5) وحسب العلاقة أدناه وكانت بحدود (4.4%) عند طاقة خرج ليزري (mJ30) وفولتية مجهزة ($V_o = 15kV$) وكالآتي:

$$\frac{?}{E_{out}/E_{in}} = 2E_{out}/CV_o^2$$

حيث C قيمة متعددة الخزن الرئيسية.

يوضح الشكل (7) تغير طاقة الخرج الليزري مع الفولتية المسلطة لقيم مختلفة من متعددة الخزن الرئيسية (nF10, 6, 4) ومنه يلاحظ أن الحصول على أعظم طاقة خرج ليزري يتطلب العمل عند القيمة المثلثى لمتعددة الخزن الرئيسية التي تحدد مقدار الطاقة المنقولة إلى الوسط الفعال. فيما بين الشكل (8) تغير كل من طاقة الخرج الليزري والفولتية المسلطة مع تغير قيمة متعددة الخزن الرئيسية. من الشكلين (7) و (8) يلاحظ أن زيادة قيمة متعددة الخزن الرئيسية يؤدي إلى تقليل الفولتية المثلثى للاشتغال وهذا بدوره يقلل طاقة الخرج الليزري. إن القيمة المثلثى لمتعددة الخزن هي (nF6) عند فولتية تشغيل مقدارها (kV15).

الاستنتاجات

من النتائج المقدمة في هذا البحث، يمكن استنتاج أن للتأين الأولى تأثير بالغ الأهمية على أداء ليزر TEA-CO_2 صغيرة الحجم. كما دلت النتائج على أن الفولتية المسلطة تزداد خطياً مع زيادة الضغط الكلي للغاز، كما أن طاقة الخرج الليزري تزداد مع زيادة الضغط إلى حد قيمة مثلثى تبدأ بعدها الطاقة بالبهoot. لكل فولتية تشغيل هناك قيمة مثلثى لضغط الغاز يتم الحصول عندها على أعظم طاقة خرج ليزري وهذه القيمة من الضغط تسمى "ضغط التشغيل". أدت زيادة سعة متعددة الخزن الرئيسية إلى تقليل الفولتية المثلثى للتشغيل وهذا أدى وبالتالي إلى تقليل طاقة الخرج الليزري. بلغت الكفاءة القصوى للمنظومة عند أعظم طاقة خرج ليزري (mJ30) وطاقة داخلة بحدود (J0.675) حوالي (4.4%). تعد هذه القيمة للكفاءة جيدة مقارنة بالبحوث السابقة التي تراوحت فيها الكفاءة القصوى ما بين (0.88-13%).

عناوين الأشكال المرافقية

شكل (1): التركيب الميكانيكي لمنظومة ليزر TEA-CO_2 صغيرة الحجم

شكل (2): دائرة مجهزة القدرة المستخدم في هذا البحث

د. عدوية جمعة حيدر و عدي عطا حمادي

شكل (3): تأثير التأين الأولى على طاقة الخرج الليزري كدالة للفولتية المجهزة

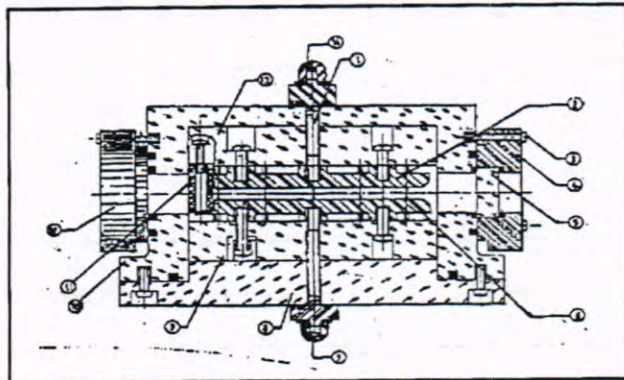
شكل (4): تغير طاقة الخرج الليزري كدالة للضغط الكلي للغاز لقيم مختلفة من الفولتية المجهزة

شكل (5): تغير الفولتية المجهزة اللازمة لإحداث التفريغ كدالة للضغط الكلي للغاز

شكل (6): تغير طاقة الخرج الليزري مع الطاقة الداخلة كدالة للضغط الكلي للغاز

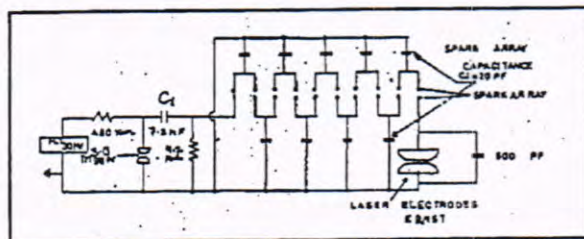
شكل (7): تأثير قيمة سعة متعددة الخزن الرئيسية على طاقة الخرج الليزري كدالة للفولتية المجهزة

شكل (8): تغير طاقة الخرج الليزري مع تغيير الفولتية المجهزة لقيم مختلفة من متعددة الخزن الرئيسية

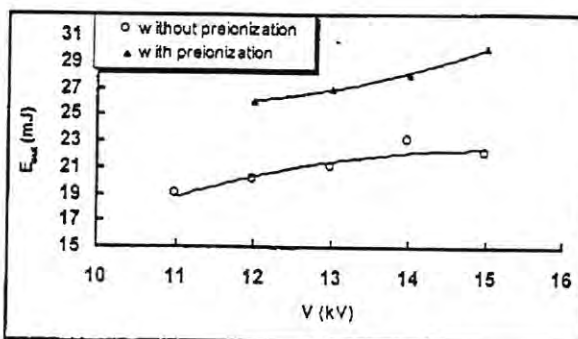


شكل (١)

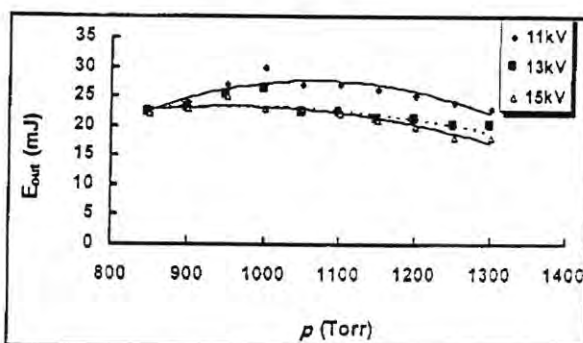
- | | |
|----------------------------------|-----------------------------------|
| ١١. وتد من التيرستين | ٤. فرايز من التيرستين |
| ١٢. سطح قرآن | ٥. قطب ثالث الأوزان |
| ١٣. مسكن قطب الأوزان | ٦. مسخونة التوصيل بال الأرض |
| ١٤. بكرة تحريك سطح القطب الرئيسي | ٧. قطاع العودة |
| H.V. | ٨. بكرة تحريك سطح القراء بالمحيرة |
| | ٩. مسكن قطب الكثافة |
| | ١٠. القراءة |
| | ١١. سطح القراء الأساسية |



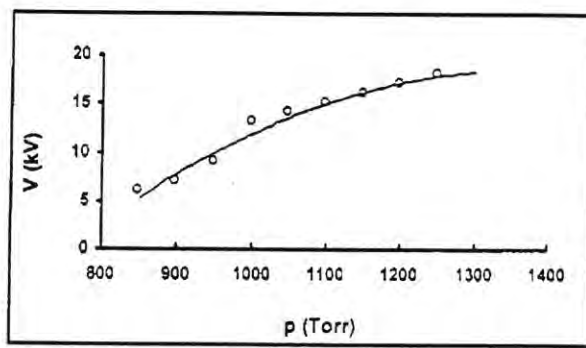
شكل (٢)



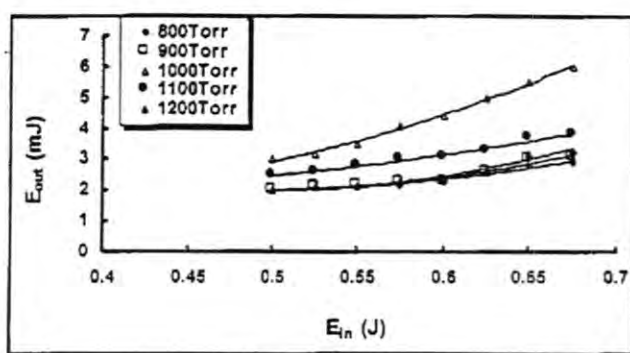
شكل (٣)



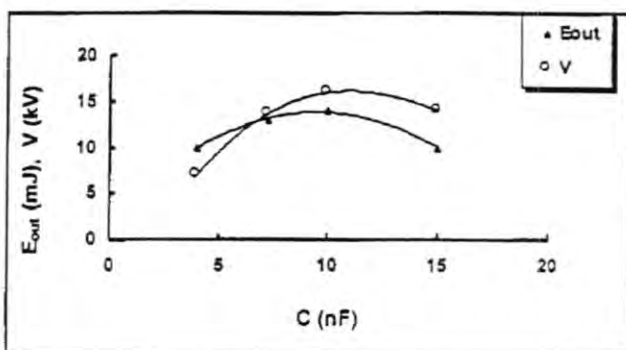
شكل (٤)



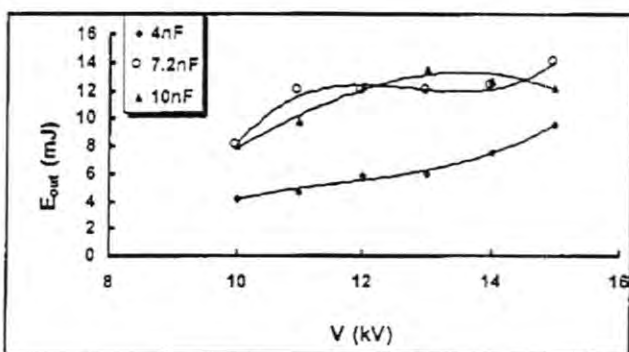
شكل (٥)



شكل (٦)



شكل (٧)



شكل (٨)

المصادر

- [1] Dumanchin, R. and Rocca-Serra, J., 1969 ,*C. R. Acad. Sci ., Vol.269*, p.916.
- [2] Beaulieu, A., 1970 ,*Appl. Phys. Lett ., Vol.16*, pp.504-505.
- [3] Fenstremacher, C. A. et al., 1972 ,*Appl. Phys. Lett ., Vol.20*, p.56.
- [4] Pan, Y ..Bernhardt,A. and Simpson, J., 1972 ,*Rev. Sci. Instrum., Vol.43, No.4*, p.662.
- [5] Verdheyen,J" ,*Laser Electronics*", Prentice Hall Inc. (New Jersey), 1981, p.333, 339.
- [6] Lowke, J., Phelps, A. and Irwin, B., 1973 ,*J. Appl. Phys .,Vol.44*, p.157.
- [7] Hamza,F. H. and Haider, A. J., 2000 ,*Eng. J. Qatar Univ .,submitted to publication.*
- [8] Ernst, G., 1983 ,*Opt. Commun .,Vol.47*, p.47.
,Vol.49, p.27 ,*Opt. Commun .,Ernst, G., 1984*

دراسة تأثير درجة الحرارة وشدة الاضاءة على تحركية وتركيز الحاملات في أغشية CdS الرقيقة

رعد سعدون صبرى ، سعد عبد الباري توفيق

الخلاصة

تمت دراسة تأثير كل من شدة الاضاءة ودرجة الحرارة على تركيز الحاملات وتحركيتها في أغشية كبريتيد الكادميوم الرقيقة والمحضرة بطريقة الرش الكيميائي الحراري، وقد حضرت الأغشية بسمك $200+10\text{nm}$ وبدرجة حرارة قاعدة 673°K ، وأن تركيب أغشية CdS المحضرة كل من نوع المتعددة النبلور، وإنها ذات تركيز حاملات عالي وتحركية ظلام واطئه يزداد تركيز الحاملات مع زيادة شدة الاضاءة والحرارة بشكل بطيء في بداي الامر ثم تكون الزيادة ملحوظ كما وان التحركية تزداد بشكل كبير في البداية ثم تتباطيء وتبدأ بالانخفاض مع زيادة شدة الاضاءة والحرارة وان قيمة حاجز الجهد في أغشية CdS في حالة الظلام تبلغ $(Q_B = 0.18\text{eV})$.

المقدمة

ان أغشية كبريتيد الكادميوم هي من الأغشية ضمن المجاميع II-VI في الجدول الدوري، وقد دخلت في بحوث عديدة وفعالة في العقود الأربع المنصرمة، وقد بين كل من Stanly⁽¹⁾ و Babe⁽²⁾ تطبيقات أغشية CdS في مجالات الخلايا الضوئية والموصلات الضوئية ومضخمات الضوء واجهزه الاستساخ وكواوف الاشعاع وترانزستورات الأغشية الرقيقة وتوليد البير ونماط التشغيل. وكذلك درست في العقود الثلاث المنصرمة أغشية CdS باهتمام بالغ في التطبيقات الفولطائية وقد اكتشف الباحثان Reynolds & Lesies⁽³⁾ عام 1954 أغشية CdS/Cu_xS ذات تقويم جيد وأوضحا امكانية تحضير خلايا فولطائية من أغشية CdS متعدد النبلور. وقد حضرت هذه الخلية بتغطيس غشاء كبريتيد الكادميوم من أغشية CdS متعدد النبلور. وقد حضرت هذه الخلية بتغطيس غشاء كبريتيد الكادميوم بمحلول ايونات النحاس^(4,5) وقد وجد أن

ترتيب أغشية رقيقة جداً من كبريتيد النحاس على قواعد من كبريتيد الكادميوم تكون خلايا حساسة الضوء⁽⁶⁾، وبهذا أوجبت دراسة هذه الأغشية بدقة من ناحية ميكانيكية انتقال الإلكترونات ومدى تأثيرها بالضوء والحرارة. في هذا البحث تمت دراسة الخواص الإلكترونية لأغشية كبريتيد الكادميوم الرقيقة المرسية على قواعد زجاجية باستخدام تقنية الرش الكيميائي الحراري وذلك لبساطة التحضير ورخص الكلفة وأمكانية تحضير أغشية بمساحات كبيرة⁽⁷⁾ وقد درس تأثير كل من الحرارة والضوء على هذه الأغشية.

الجانب العملي

رسبت أغشية كبريتيد الكادميوم الرقيقة على قواعد زجاجية (منظفة جيداً بالماء المقطuo والكحول)، بواسطة طريقة الرش الكيميائي الحراري وان تفاصيل عملية الرش موضحة في دراسات سابقة^(8,9).

وقد حضرت الأغشية باستخدام محلول نترات الكادميوم $\text{Cd}(\text{NO}_3)_2$ بتركيز مولاري (0.05M) ومحلول الثالبيوريا بتركيز مولاري (0.05M) حيث يمزج محلولان ويرشان بواسطة جهاز رش خاص بهذا الغرض على القواعد الزجاجية المسخنة إلى درجة حرارة 673K وبزمن رش مقداره 15sec وتوقف 3min وان المسافة بين القواعد وجهاز الرش تبلغ $30 \pm 1\text{cm}$ وأستخدم البواء المضغوط لرش السائل وبعد اكمال عملية الرش تبرد القواعد الحاوية على الأغشية بشكل سريع نسبياً حيث ان التبريد طويل المدى يؤدي إلى حدوث مقاومة عالية في الغشاء وذلك لاحتمال تأكسد الأغشية بواسطة الاوكسجين الموجود في الهواء أثناء فترة التبريد الطويل^(10,11)، ومن ثم يتم ترميم اقطاب من الالمنيوم عالي النقاوة على الأغشية وبسمك 300nm باستخدام قناع معدني خاص لهذا الغرض وباستخدام تقنية التبخير الحراري في الفارغ بواسطة منظومة من نوع (Edward) وتحت ضغط $T_{\text{off}} = 10^{-5}$ ، وقد حسب سمك الأغشية بالطريقة الوزنية بحساب كثافة CdS ومساحته⁽¹²⁾ وان سمك الأغشية كان بحدود $200 \pm 10\text{nm}$. وجريت كذلك قياسات تأثير هول تحت ظروف مختلفة لمعرفة تركيز الحاملات وتحركتها وكما يلى :-

1. اذا تغيرات درجة الحرارة للغشاء في الظلام ضمن المدى 278-344K حيث تم استخدام مزدوج حراري من نوع NiCr-Ni مع عداد لقراءة درجات الحرارة.

ii. تغير شدة الاضاءة ضمن المدى ($dak-110\text{mw/cm}^2$) باستخدام مصباح تكتن نوع ذو قدرة (120W) (Philips) مربوط مع مجزء جيد، وقد غيرت شدة الاضاءة للمصباح مسبقاً بواسطة مقياس قدرة (Powermeter) سيليكوني.

النتائج والمناقشة

من خلال دراسة تأثير هول (Hall effect) ورسم العلاقة البيانية بين فولتيه هول (V_H) والتيار (I) واخذ ميل هذه العلاقة تم حساب معامل هول (R_H) ومنه تم حساب تركيز الحاملات (n) وحسب العلاقة التالية⁽¹³⁾ :

$$n = -\frac{1}{R_{Hq}} \quad \dots\dots(1)$$

حيث ان q هي شحنة الالكترون وتم حساب التحركية (μ) بعد حساب التوصيلية (σ) وحسب العلاقة التالية⁽¹³⁾ :

$$\mu = \sigma |R_H| \quad \dots\dots(2)$$

يوضح الشكلان (1) و (2) تغير تركيز الحاملات (n) مع كل من شدة الاضاءة ودرجة الحرارة على التوالي حيث يلاحظ من الشكل (1) ان تركيز الحاملات يزداد من المرتبة 10^{16} الى 10^{18} اي ان تركيز الحاملات ازداد مرتبتين مع زيادة شدة الاضاءة الى (110 mw) وان ذلك ناتج بسبب ان حرکية الفجوات في مركبات (II-VI) بشكل عام أقل مما هي للاكترونس وبالتالي فأنها تقتصر بشكل اسرع من قبل مراكز العيوب او الشوائب من اقتاص الالكترونات⁽¹⁴⁾، وان هذه الزيادة ناتجة عن ان الضوء الممتص يولد الكترونس تنتقل الى حزمة التوصيل مما يزيد من تركيز الحاملات (n) وفي نفس الوقت فأن عدد مساوياً من الفجوات سوف يقتصر من قبل الحدود الحبيبية (Grain boundaries) مما يؤدي الى زيادة التحركية (μ)⁽¹⁵⁾ وهو ما وجد عملياً (كما سيأتي ذكره) ويلاحظ كذلك من هذه الاشكال بان قيمة (n) تزداد بشكل بطيء مع زيادة شدة الاضاءة والحرارة ثم تزداد بشكل اكبر بعد ذلك ويمكن ان يعزى ذلك ان

مراکز القنص واعادة الاتحاد تكون فعالية عند الطاقات الواطئة وعليه فان (n) تزداد بشكل بطيء وعند الطاقات العالية فان تأثير مراکز القنص واعادة الاتحاد تكون أقل فعالية فتزداد قيمة (n) بشكل اكبر⁽⁹⁾.

وان الشكلين (3) و (4) يوضحان تغير التحرکية (μ) مع شدة الاضاءة والحرارة حيث يتضح بان التحرکية تزداد مع زيادة شدة الاضاءة والحرارة الى حد معين ثم تبدأ بالانخفاض ويمكن ان يعزى هذا الانخفاض الى الاستطارة الناتجة عن العيوب او حواجز الجهد⁽¹⁶⁾. ونتيجة لزيادة تركيز الحاملات والتحرکية يمكن ملاحظة ان التوصيلية (5) سوف تزداد مع زيادة شدة الاضاءة والحرارة وكما موضح بالشكلين (5) و (6) وحسب العلاقة التالية⁽³⁾ :

$$\sigma = n \mu q \quad \dots\dots(3)$$

ومن خلال رسم العلاقة بين $\ln \mu$ و $1000/T$ وكما هو موضح بالشكل (7) وحساب الميل تم حساب ارتفاع خواجز الجهد Q_B لاغشية CdS متعددة التبلور وكانت قيمها (0.18eV) وحسب العلاقة⁽³⁾ :

$$\mu = \mu_0 \exp^{-Q_B/FT}$$

حيث ان μ_0 ثابت أسي.

وتم رسم مخطط كما هو موضح بالشكل (8) لتوضيح تغير مستوى فيرمي في حالة الظلام (E_i) مع مستواه بشدة اضاءة مختلفة (E_F) وحسب العلاقة التالية⁽³⁾ :

$$E_F = E_i kT \ln^{n_{ph}/n_d} \quad \dots\dots(5)$$

حيث k : ثابت بولتزمان.

n_{ph} : تركيز الحاملات في حالة الاضاءة.

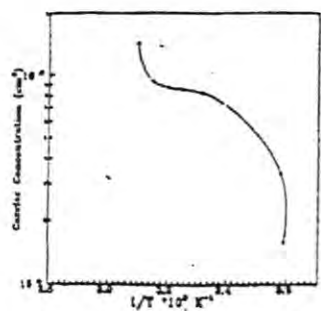
n_d : تركيز الحاملات في حالة الظلام.

ونلاحظ من خلال الشكل (8) ان (E_F) يقترب من حزمة التوصيل مع زيادة شدة الاضاءة كنتيجة لزيادة تركيز الحاملات (n) مع الاضاءة وبالاعتماد على طاقة التشغيل لأشباه CdS والتي تبلغ (0.49eV) وفجوة الطاقة الممنوعة والتي تبلغ (2.4eV)⁽⁹⁾ وتم رسم المخطط التوضيحي.

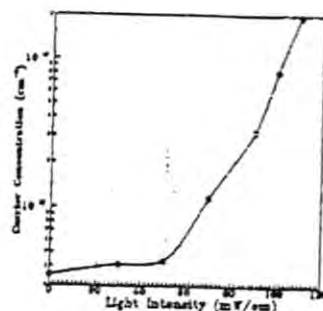
الاستنتاجات

1. ان اشباه CdS الرقيقة تمتلك تركيز حاملات وتحركة قليلة في حالة الظلام ودرجات الحرارة المنخفضة وكلما زادت مع شدة الاضاءة ودرجة الحرارة.
2. يزداد تركيز الحاملات بشكل بطيء مع الشدة الواطنة نسبياً والحرارة القليلة ويزداد بشكل كبير عند الشدة والحرارة العاليتين.
3. ان قيمة حاجز الجيد هي ($Q_B = 0.18\text{eV}$) وانها يمكن ان تقل او تزيد حسب ظروف التحضير وهو موضوع قيد الدراسة.
4. زيادة التوصيلية بزيادة كل من درجة الحرارة وشدة الاضاءة وهذه الزيادة في التوصيلية يرافقها ارتفاع مستوى فرمي نحو حزمة التوصيل.

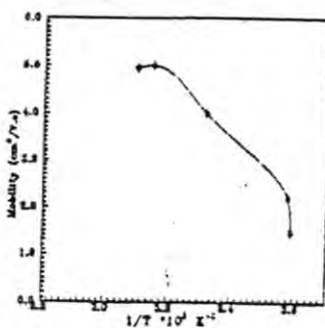
دراسة تأثير درجة الحرارة وشدة الإضاءة على تحركية وتركيز الحاملات في أغشية *CdS* الرقيقة
رعد سعدون صبرى وسعد عبد الباري توفيق



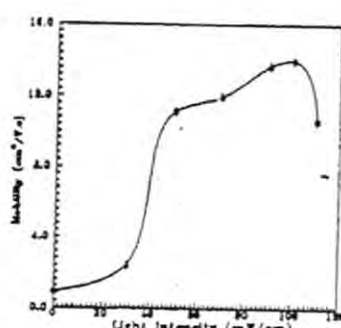
شكل 2: تغير تركيز الحاملات مع درجة الحرارة.



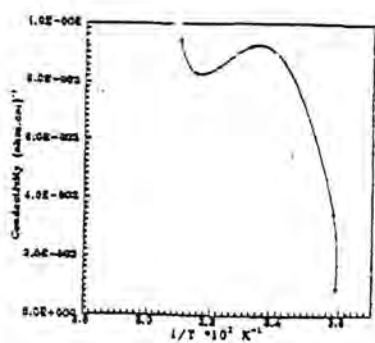
شكل 1: تغير تركيز الحاملات مع شدة الإضاءة



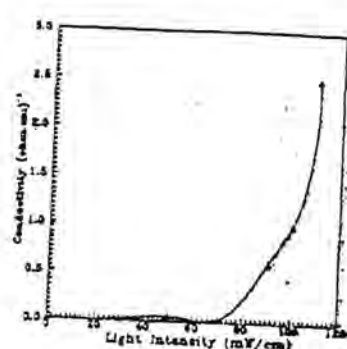
شكل 4: تغير التركيز مع درجة حرارة



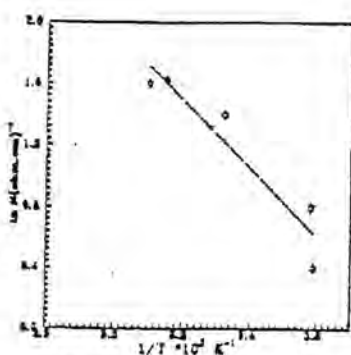
شكل 5: تغير المركبة مع شدة الإضاءة



شكل ٥: تغير التوصيلية مع درجة الحرارة.

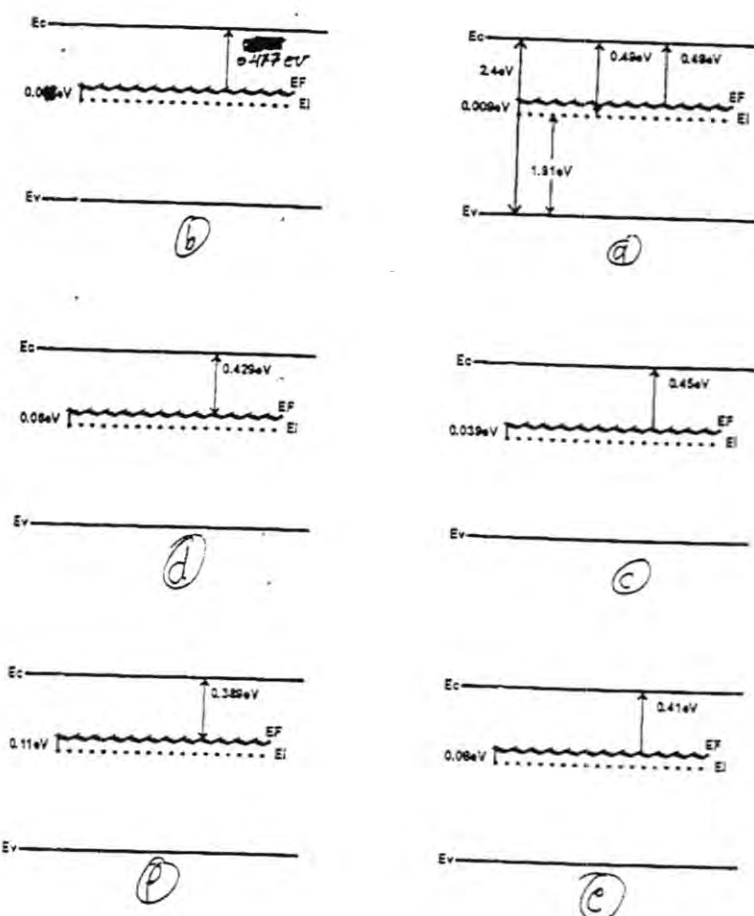


شكل ٦: تغير التوصيلية مع شدة الاضاءة



شكل ٧: تغير درجة حرارة

دراسة تأثير درجة الحرارة وشدة الإضاءة على تحركية وتركيز الحاملات في أغشية CdS الرقيقة
رعد سعدون صبرى وسعد عبد البارى توفيق



الشكل 8: مخطط يوضح تغير مستوى فيرمي (E_F) مع شدة الإضاءة بوحدات لumen/cm²

90 (d) 70 (c) 50 (b) Dark (a)

110 (f) 100 (g)

المصادر

1. Stonly A.G. "Applied solidstate sciences" Vol. Sod. Wolfe (New York : Academic), (1973).
2. R.H. Bube " Photoconductivity of solids" (Nw York Wiley), (1960).
3. P.K. Naiv and M.T.S., Solarcells" Vol. 22, pp. 104-112 (1987).
4. H.I.J. owock W>C.Siu "J. Phys., Vol 11, p 669, (1978).
5. H.L. Roowk "Ni. Phys. : D1 Appls. Phys". Vole. 13, pp. 1991-23 (1980).
6. Mohammed Dachruqui "Solr cells" Vol. 15, pp. 319-127 (1985).
7. Chananberlin and J.S. Skarman, "Solid state electron" Vol9, P. 819, (1966).
8. Raff Saddon Physics ddepartment collgeeg of Science Al-Mustansirayah Universty (M.S.c)
9. A.m Omar .. Physical department,college of education, Al-Mustansiriyah University (M.Sc. Thesis) (2001).
10. Shailaya Kolhe, S.K. Kul, "Solar energy materials" Vol. 15, pp. 189-208, (1981).
11. M.S. Uplane and S.H. Pawar "Solidstate communications" Vol. 46, No. 12, pp. 847-85, (1983).
12. M.S. Uplane and C.D. Lokhande, P.S. Patil, C.H. Bhosde "Tr. J. of phycsic" Vol. 20, pp. 1093-1097, (1996).
13. S.M. Sze "Semiconductors devices physics and technology" translated to Arabic by F.G. Hayaty and H.A. Ahmed, Baghdad (1990).
14. Brain Ray "II-VI compound" 1st edition. University of st-Andrews (1969).
15. J.W. Orton, B.J. Gold Smith, "J. Appl. Phys." Vol. 53, No. 3, pp. 1602-6614 (1982).
16. Shmilaia Nohline, S.K. Rulrarni, M.G. Takwale and V.G. Bhide "Solar energy materials" Vol. 13, pp. 203-211, (1986).

دراسة خصائص انتشار الكروم في السليكون القابل

عدي عطا حمادي * ، ايفان طارق سالم **

* ص.ب. 55159 - بغداد 12001 - العراق

** وحدة بحث الليزر - الجامعة التكنولوجية - بغداد - العراق

ABSTRACT

In this work, the interaction between Chromium atoms and acceptor impurities in p-type Silicon of (111) orientation. A thin film of Chromium was deposited on the Silicon substrate using evaporation system. In order to determine the diffusion coefficient of Cr atoms, the deep level transient Spectroscopy (DLTS) technique was employed to do so for a range of temperatures.

الخلاصة

في هذا البحث تم دراسة آلية التفاعل بين ذرات معدن الكروم وذرات الشوائب القابلة في شرائح سلوكنية من النوع القابل مشابه بمادة البوروون وباتجاهية بلورية (111). بعد أن جرى ترسيب المعدن باستخدام منظومة التبخير الحراري، وقد تم استخدام تقنية التحليل الطيفي العابر للمستوي العميق (DLTS) لغرض تحديد قيمة معامل الانتشار لذرات الكروم ولمدى معين من درجات الحرارة.

المقدمة

تعتبر المعادن الانتقالية (Transition metal) إحدى أهم العناصر شائعة الاستخدام في تصنيع النباتات شبه الموصلة الالكترونية، إلا أن أهم المشاكل التي ترافق استخدام مثل هذه العناصر هو اعتبارها مصدراً للعيوب التي تحدث ضرراً بالمنطقة الفعالة لمثل هذه النباتات إذ تضاف تلك العيوب إلى العيوب البلورية في المادة شبه الموصلة أثناء عملية الإنماء البلوري، وتعد معادن الفولاذ مقاوم للصدأ والكروم والحديد أكثر هذه المعادن شيوعاً في الاستخدام والتي تسبب مثل تلك العيوب.

عدي عطا حمادي و ايفان طارق سالم

تعد عملية الانتشار من العمليات الرئيسية للسيطرة على كثيارات المواد المطعمة لأشباه الموصلات وتستخدم لتطعيم ارضية شبه الموصل بصورة انتقامية للحصول على منطقه نوع N او نوع p، او قد تعمد هذه الطريقة للحصول على خصائص معدنية على سطح شبه الموصل نفسه⁽¹⁾. حتى بداية عام 1970 كان التطعيم الانقائي ينجز بصورة رئيسية بواسطة الانتشار عند درجات حرارة مرتفعة^(3,2)، في هذه الطريقة تتوضع ذرات المادة المطعمة على او بالقرب من سطح شريحة الموصل عن طريق ترسيب المادة في اغلب الاحيان باعتماد احدى طرق الترسيب المعروفة، ويتناقص التركيز التطعيمي تدريجياً من السطح ويتحدد شكل التوزيع للمادة المطعمة بصورة اساسية بدرجة الحرارة و زمن الانتشار⁽⁴⁾.

ان العيوب الناتجة عن انتشار المادة قيد الاختيار يمكن ان يتم التغلب عليها من خلال عمليات المعالجة الحرارية مثل التأمين الحراري التقليدي (CTA) والتأمين الحراري السريع (RTA)⁽⁵⁾. الا ان ذلك يجعل من الصعب السيطرة على اعادة توزيع ذرات المعدن في شبه الموصل المكون للنبيطة. لذلك يكون من المهم التعرف على الخواص الفيزيائية لهذه المعادن بشكل دقيق ودراسة سلوكياتها الانتشار في السليكون وهذا يحكمه التغير في قيمة معامل الانتشار وحد الاشابة مع تغير درجة الحرارة⁽⁶⁾.

يؤدي احتلال ذرة الكروم موقعاً بينياً في شبكة السليكون الى رفع مستوى الشوائب المانحة (Donor Level) والذي يقع على ارتفاع (0.22eV) اسفل حزمة التوصيل⁽⁷⁾. في حالة السليكون المشاب بالبورون تشن ذرة الكروم بشحنة سالبة وهذا يؤدي الى تكون مزدوج من الشابتين يكون اكثر استقراراً.

ان وجود المزدوجات (Cr-B) في السليكون يرفع مستوى الاشابة المانحة الى حد (0.28eV) فوق حزمة التكافؤ. لذلك يمكن دراسة خواص الاشابة باستخدام التحليل الطيفي الانتقالي للمستوى العميق (Deep-level Transition Spectroscopy)^(8,7).

في هذا البحث، تم دراسة آلية التفاعل بين ذرات المعدن (الكروم) وذرات الشوائب المقابلة (البورون) في السليكون باستخدام هذه التقنية لغرض تحديد قيمة معامل الانتشار للكروم لمدى معين من درجات الحرارة.

الجاتب العملي

- تحضير العينات : تتضمن عملية تحضير العينات ما يأتي :
- تقطيع رقائق السليكون أحادية البلاوره وبأتجاهية (111) من النوع القابل وبنقاومه سطحية ($2.62?/\text{cm}^2$) الى قطع متساوية وبأبعاد ($1 \times 1 \text{ سم}^2$).
- استعمال مادة الكحول النقي مع جهاز الذبذبات فوق الصوتية وفترة زمنية مقدارها خمسة عشر دقيقة لغرض أزالة المواد العالقة بسطح العينات.
- استخدام محلول التنقیش الكیمیاوى نوع (CP-4) المكون من حامض النتریک (HNO_3) وحامض الخلیک (CH_3COOH) او حامض الـھدروفلوریک (HF) وبالنسبة الحجمیة (3:5:5) لمدة ثلاثة دقائق من أجل ازالة طبقات الاوكسید المتكونة على سطح العینات.
- استخدام الماء المقطر مع جهاز الذذبذبات فوق الصوتية ولفترة زمنية مقدارها خمسة عشر دقيقة لازالة المواد العالقة ومخلفات الحامض.

ربت اخشية رقيقة من مادة الكروم النقي (99.99)% على شرائح السليكون باستخدام منظومة التخمير الحراري نوع (Blazer BAEPVA 063H) تحت ضغط واطيء بحدود (10^6 تور $^{(10)}$) وتم تحديد سمك الغشاء المرسب ($600\mu\text{m}$) باستخدام بلورة الكوارتز (Quartz crystal thickness Monitor) تم تسخين العينات في فرن حراري ذي قدرة تلدين بحدود (7KW) ومن ثم تبريد العينات باستخدام مبرد صغير وبمعدل تبريد بحدود (150 C/sec) الى درجة حرارة الغرفة، تم قياس درجة حرارة العينة باستخدام المزدوج (Thermocouple). اجريت عملية التلدين الحراري (Annealing) للعينات عند درجة حرارة (950C) لمدة (30min)، ولمدى من درجات الحرارة (850-1050) لمدة عشر ثواني ومن ثم اجريت عملية الصقل الميكانيكي لازانة طبقة بسمك ($60\mu\text{m}$) تقريباً من الكروم وترسيب اتصالات الالمنيوم لاجراء القياسات المطلوبة. اما قيمة معامل الانتشار للكروم فقد تم تحديده من خلال اجراء الملائمة الرياضية (Fitting) للبيانات المستحصلة لنمط الانتشار. كذلك اجريت عملية تلدين للعينات عند درجة حرارة (600C) لمدة (10 min) وذلك لمنع تكوين المركب (CrSi_2) بنسبة كبيرة حيث يحد من عملية انتشار الكروم. وعليه فإن تركيز ذرات الكروم عند السطح يكون

عدي عطا حمادي و ايقان طارق سالم

مساوية لحد الاشابة الصلبة للكروم وفي حالة اتزان مع نسبة (CrSi_2). لاجل قياس تركيز المزدوجات (Cr-B) على عمق معين ومن سطح العينة فقد تمت عملية ازالة العينة بزاوية قليلة (درجة واحدة)، إذ ان هذه الطريقة تجعل من الممكن قياس تركيز ذرات الكروم على عمق (200 μm) تقريباً من سطح العينة وقد تم ذلك باستخدام تقنية (DLTS) من خلال قياس تركيز المزدوجات (Cr-B) بعد عدة ساعات من عملية التبريد السريع.

النتائج والمناقشة

يكون تركيز الشوائب القابلة اكبر بكثير من حد الاشابة الصلبة للكروم عند درجة الحرارة (950°C) والذي يكون بحدود ($2.4 \times 10^{13} \text{ cm}^{-3}$) وعليه فان نمط توزيع المزدوجات (Cr-B) يعكس نمط توزيع ذرات الكروم بعد فترة زمنية معينة من عملية التبريد السريع (Quenching). يمكن حساب التركيز الجزيئي لذرات الكروم في المزدوجات (Cr-B) المستقرة كهروستاتيكياً في حالة الاززان الحراري باستخدام العلاقة الآتية⁽⁹⁾ :

$$\frac{[Cr - B]}{[Cr]} = \frac{[B]}{Ni} \exp\left(\frac{Eb}{KT}\right) \quad \dots\dots(1)$$

حيث E_b هي طاقة الارتباط للمزدوج (Cr-B), K، ثابت بولتزمان ، T درجة حرارة العينة و Ni عدد المواقع البنائية الموجودة في المادة.

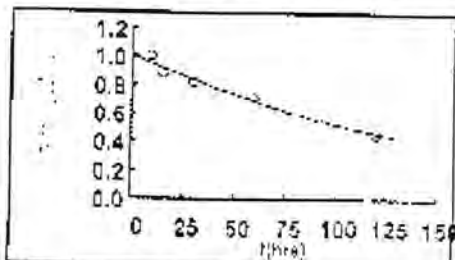
يمكن حساب طاقة الارتباط للمزدوج باستخدام قانون كولوم للتجاذب ما بين كترين نقطتين وهي بحدود (0.5 eV) ، لذلك يمكن ان تتفكك جميع المزدوجات المتركتونة عند درجة حرارة الغرفة من خلال اجراء عملية التتدين (Annealing) عند درجة حرارة واطئة نسبياً ($T \leq 400^\circ\text{C}$). جرى قياس تركيز المزدوجات (Cr-B) اثناء فترة التتدين من اجل تحديد قوة الارتباط بين ذرتى الكروم والببورون حيث يوضح الشكل (1) العلاقة بين نسبة تركيز المزدوجات (Cr-B) المتركتونة مع الزمن عند درجة حرارة (60°C)، اجريت الملائمة التربيعية (Least-Square Fitting) للبيانات المستحصلة لحساب ثابت زمن الارتباط لمدى درجات الحرارة (20-100°C). فيما يبين الشكل (2) تغير ثابت زمن الارتباط مع درجة الحرارة، اذ تعتبر قيمة طاقة التنشيط (0.85eV) هي نفسها طاقة التزوح (Migration energy) لذرات الكروم للمدى الحراري السابق وقد تم حساب قيمة معامل انتشار ذرات الكروم للمدى (850-1050°C) باستخدام نمط الانتشار المستحصل بعد عملية التتدين الحراري لفترة زمنية قصيرة.

الشكل (3) يمثل علاقة تركيز ذرات الكروم بعد الانتشار عند درجة حرارة (950C) ومن (45Sec). جرى حساب قيمة حد الاشابة للكروم باستخدام طريقة الاستكمال الرياضي (Interpolation) لبيانات نمط الانتشار باتجاه السطح وكانت بحدود ($3.9 \times 10^{13} \text{ cm}^{-3}$) وقد تم الحصول على العلاقة الآتية بالاعتماد على الشكل (4) الذي يمثل تغير قيمة الانتشارية مع درجة الحرارة للمدى (1000-850 C) وهذه العلاقة كالتالي :

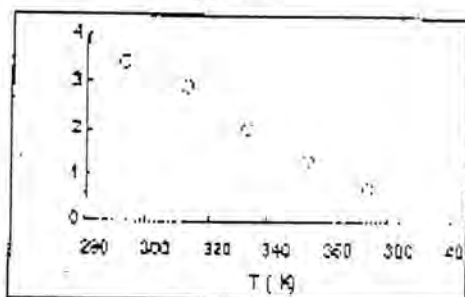
$$N = 0.03 \exp\left(\frac{-1.1eV}{KT}\right) \quad \dots\dots(2)$$

الاستنتاجات

يمكن استنتاج نتائج قياس الانتشارية المقدمة في هذا البحث لحساب طاقة النزوح لذرات الكروم في قواعد السليكون القابل، إذ أن هذه النتائج تتفق جداً مع ما تم تقديمها من قبل باحثين سابقين رغم استخدامها عملية مختلفة. ظهر فرق واضح ما بين قيمة طاقة النزوح المحسوبة في كلاً مديات درجات الحرارة العالية والواطنة في عملية تكوين المزدوجات (Cr-B). بلغ مقدار حاجز الطاقة لذرة الكروم للانتقال من وقع بيئي إلى آخر في شبكة السليكون حوالي (0.85eV).

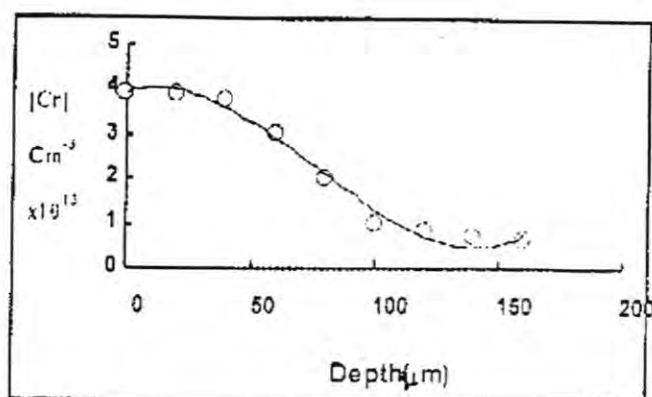


شكل (1)

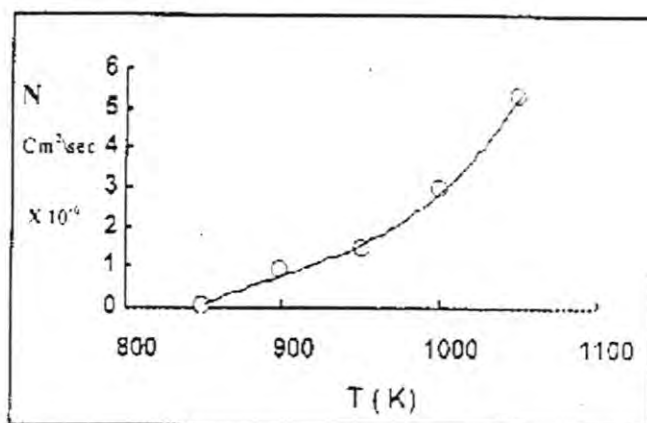


شكل (2)

عدي عطا حمادي و ايفان طارق سالم



شكل (3)



شكل (4)

المصادر

1. الدكتور يحيى نوري الجمال "فيزياء الحالة الصلبة" جامعة الموصل، 181-174، (1990).
2. Ivor Brodie & Julims J. Muray, "The Physics of microfabrication" Plenum press., Ch5, (1982).
3. Brain Tuck " Introduction to diffusion in Semiconductors" peter pereginus. LTD. Ch8, (1974).
4. ترجمة د. فهد غالب حياني، د. حسين على احمد "بيانط اثناء الموصلات فيزياء وتقنيه" مطبع دار الحكمة، الفصل العاشر، (1990).
5. Salah D.Darwish, Msc. Phys. "Thermal annealing studied of Fe & Ti Implanted in GaAs & InP" Berlin, p:17, (1990).
6. E.R. Weber, Appl. Phys. A, 30, pp. 1-22, (1983).
7. H. Conzelman, Kgraaff & E. R. Weber, Appl. Phys. A, 80, pp. 196-175, (1983).
8. Donald A. Neamen, "Semiconductor Phys. & Devic" Richared Irwin, Inc. p: 192, (1992).
9. N.T. Bendik, V.S. Gamyk & L.S. Milevskii, Sov. Phys. Solid state, 12(1), pp. 150 (1970).
10. Missel & Glano "hand book of thin technology" Mc Graw, New Yourk, (1970).

دراسة ظروف تحضير سائل مقاطيسي للمغنتيت Fe_3O_4

هشة ناصح احمد * ، احمد عبد الحماز شنليل * ، محمود العيسى

عامر حسن عبد الله ، ساهره حسان كريم

* منظمة الطاقة الذرية - بغداد - نویة - ص.ب. 567

جامعة بغداد - كلية تربية البنات - جادريه - قسم الكيمياء

الخلاصة

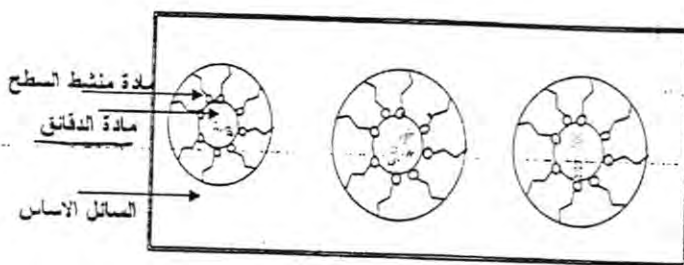
السائل المغناطيسي للمغنتيت عبارة عن دقائق صغيرة جداً من مادة المغنتيت عالقة في محلول غروي للكبروسين بوجود مادة منشطة للسطح من حامض الاوليك تعمل على نشر الدقائق في محلول. وقد تم تثبيت طريقة لتحضير مادة المغنتيت تعتمد على عملية الترسسي المشتركة لابيونات $\text{Fe}^{2+}/\text{Fe}^{3+}$ باستخدام قاعدة، وذلك بتفاعل كبريتات الحديدوز اللامائية FeSO_4 مع محلول كلوريد الحديديك FeCl_3 ومن ثم ترسيب هذا الخليط بكمية كافية من هيدروكسيد الامونيوم للحصول على راسب اسود من دقائق المغنتيت، بعدها تم استخدام هذه الدقائق المغناطيسية في محلول غروي عالق من الكبروسين وحامض الاوليك للحصول على سائل مغناطيسي، وتم دراسة الظروف التحضيرية للحصول على اعلى اشباع مغناطيسي Magnetic saturation لهذا السائل على مستويين، اولهما مستوي تحضير مادة المغنتيت ثانهما مستوي مزيرج السائل المغناطيسي.

الدُّرْجَاتُ

السوائل المغناطيسية عبارة عن سوائل لها استجابة نحو المجال المغناطيسي وتكون من سوائل غروية ذات استقرارية عالية تحتوي على دقائق صغيرة ومغناطيسية. إن هذه الدقائق قد تكون فلزية كالحديد والنيكل والكوبالت أو قد تكون من المغنتيت Fe_3O_4 وفراليته $X.Fe_2O_4$ (حيث يمثل X أي عنصر انتقالى ثانوى التكافؤ مثل Ni, Mg, Mn وغيرها)، ويتم نشر هذه الدقائق في سائل أساس Base Liquid من الماء أو المواد الهدى وكاريونية أو الزئبق بواسطة مادة ناشرة

تدعى بمادة منشط السطح Surfactant حيث تعمل هذه المادة على تغليف الدقائق مما ينتج عنه تقليل الجذب الحاصل بينهما.

تكون مادة منشط السطح على الالغلب من جزيئات عضوية كبيرة كالاحماض الدهنية او بعض السترات ومشتقاتها. وبين شكل (1) مخطط المكونات السائل المغناطيسيي الرئيسية والذي تعمل ايضا صفات اخرى على توازنة منها الحركة البروائية للدقائق وقوى فان در فالز⁽¹⁾.



شكل -1- المكونات الرئيسية للسائل المغناطيسي ويتمثل صورة لحقيقة مغناطيسيية ذات قطبين شمال N وجنوبي S مغففة بمادة منشطة للسطح، وعالية في سائل اساس.

للتواجد السوائل المغناطيسيية بشكل طبيعي وانما يتم تحضيرها مختبريا وكان اول تحضير لها من قبل Bitter عام 1932 والذي قام بطحن مغناطيسين الى دقات صغيرة ووضعه في محيط مائي يحوي على الصابون. وقد تطور العمل بصورة كبيرة في هذا المجال في فترة الشمائليات من القرن المنصرم وظهرت مئات البحوث تدرس هذا السائل وصفاته نتيجة احتواء السائل المغناطيسي على خاصيتين اولهما كونه سائل والثانية كونه مغناطيسي سببها اضافة قوى جديدة (القوى المغناطيسيه). الى مفهوم ميكانيكية السوائل.
ان هذه القوى تسبب في ظهور سلوكيات غير متعارف عنها داخل السائل المغناطيسي مما سمح بظهور عشرات التطبيقات الصناعية والطبية خلال السنتين الماضية بحيث بلغت براءات الاختراع في هذا المجال اكثر من 2000 براءة خلال القرن المنصرم⁽²⁾.

يهدف بحثنا الى تحضير سائل مغناطيسي من مواد اولية يمكن توفيرها في القطر والحصول على اعلى درجة اشباع مغناطيسي (Ms) له حيث تعتبر هذه الصفة معيار لنجاح تحضير السائل المغناطيسي. في هذا البحث سيتم الاعتماد على تحضير مادة المغنت من املاح الحديد الثنائي والثلاثية وترسيبها باحد القواعد ومن ثم تحضير سائل مغناطيسي منها بخلطها مع الكبروسين وحامض الاوليك وستكون نتائجها مقرونة بقياس اشباع المغناطيسي للسائل المحضر.

المواد وطرق العمل

تم استخدام جميع المواد الكيميائية الخاصة بتحضير السائل الكيميائي بصورة نقية من شركة فلوكا و BDH.

تحضير المواد

من اجل دراسة الظروف المتعلقة بالدراسة كان لابد من تثبيت الطرق المختارة التالية :

تحضير المغنت (3) : تم تحضير هذه المادة على شكل دفائق صغيرة لايتعذر حجمها 250°A بطريقة الترسيب المشترك لאיونات الحديديك والهيدروكسيد الامونيوم وكما يلي : تم اضافة 26 غ من كبريتات الحديدوز اللامائة مع 46 مل من محلول كلوريد الحديديك المائي ويتركيز 46%. وقد تمت المحافظة على درجة حرارة الخليط بحدود ($20-0^{\circ}\text{C}$), بعدها تم اضافة هيدروكسيد الامونيوم للحصول على راسب اسود اللون من المغنت والذي تم ترشيحه وغسله بالاسيتون.

تحضير السائل المغناطيسي (4) : تم خلط اوزان متساوية من مادة المغنت المحضره انفا مع حامض الاوليك كمادة منشطة للسطح ثم خلطت هذه الكمييات مع الكبروسين على اعتبار كونه السائل الاساس لتكون نسبة (المغنت) : (اوليك) : (كبروسين بحدود 4:1:1). وبعد نصف ساعة من الخلط الجيد يترك محلول جانباً، بعدها يتم تعريضه لمجال مغناطيسي مختبري للتخلص من الدفائق الكبيرة التي قد تترسب وتعيق الحصول على سائل مغناطيسي مستقر.

هيثم ناجي احمد وجماعته

قياس الاشباع المغناطيسي (5) : تعتمد هذه الطريقة على تثبيت منحنى H-B حيث تم قياس الاشباع المغناطيسي للسوائل المغناطيسية بمنظومة تعتمد على تسلیط مجال كهربائي مغناطيسي H على قطبین مغناطيسيین يمكن التحكم بشدتها باستخدام مجهز قدره Power supply. ويتم قياس قيمة H عن طريق وضع متحسس Probe قرب هذين القطبین مربوطاً بجهاز قياس المغناطيسي Magnetometer. ولأجل قياس الاشباع المغناطيسي للسائل، تقوم بوضعه في حاوية بلاستيكية مربوطة بعدد محسوب من لفات سلك خاص متحسس للفيض المغناطيسي Magnetic [B] flux) الذي يتولد داخل السائل المغناطيسي نتيجة تأثير المجال المغناطيسي (H) المسلط عليه من قبل الاقطاب. ويرتبط السلك المتحسس للفيض المغناطيسي بجهاز اخر يدعى مقياس الفيض flux meter.

يبدأ قياس الاشباع المغناطيسي للسائل عن طريق الزيادة التدريجية للمجال المغناطيسي H وايجاد مقدار الفيض المغناطيسي B المتولد لذلك والى حين الوصول الى حالة استقرار لقيمة H حيث تدعى هذه القيمة B_s او فيض الاشباع والتي يمكن من خلالها معرفة قيمة الاشباع المغناطيسي $M_s = B_s - H_s$ وحسب المعادلة هي قيمة المجال المغناطيسي H التي يبدأ بها منحنى H-B بالثبوت والحصول على قيم ثابتة الى B. جمیع الاجهزة المغناطیسیة المستخدمة في هذا البحث من شركة RFL Bell.

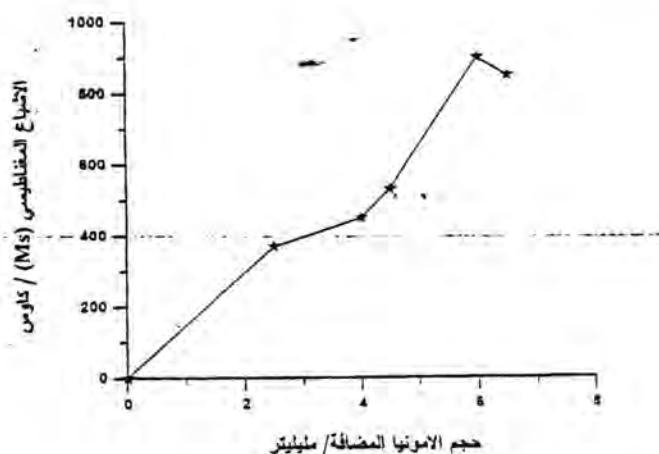
النتائج

في هذا الجزء من العمل تمت دراسة الظروف المتعلقة بتحضير مادة المغنتيت واثرها في الاشباع المغناطيسي M_s للسائل المغناطيسي المحضر منها، حيث تم تحديد الظروف المؤثرة على تحضير المغنتيت بدلالة قيم M_s ومنها حجم القاعدة المضافة لترسيب ايونات الحديد، وعملية الاكسدة التي تحصل اثناء عملية ترشيح المغنتيت وتاثير عملية غسل الراسب وهي ظروف مهمة في تحديد قيم الاشباع المغناطيسي للمادة (6).

تأثير حجم القاعدة

اعتماد على ما جاء في الجزء العملي من تثبيت طريقة لتحضير الفرايت، تم دراسة حجم القاعدة المضافة لترسيب ايونات Fe^{2+}/Fe^{3+} وذلك باستخدام الحجوم التالية من القاعدة 7,6,5,4,3 مل) ومقابلة كل حجم منها مع مادة كبريتات الحديدوز ومادة $FeCl_3$ ، بعد ما تم

تحضير سائل مغناطيسي لهذه المادة وفق ما جاء ايضاً في الطريقة المختارة المذكورة في الجزء العملي وبينت النتائج (شكل 2) ان السائل المحضر باضافة 6 مل من القاعدة المرسبة (الامونيا) له اشباع مغناطيسي مقداره 884 كاوز ويمثل اعلى قيمة يمكن الوصول اليها بين التراكيز الاخرى المستخدمة ويعزى السبب على ان مادة المغنتة الناتجة قد تتحوي على تراكيز عالية من المواد الاولية (املاح الحديد الثانية والثالثة) والتي لا تحمل أي صفات مغناطيسية، بسبب عدم كفاية القاعدة المستخدمة في الترسيب.



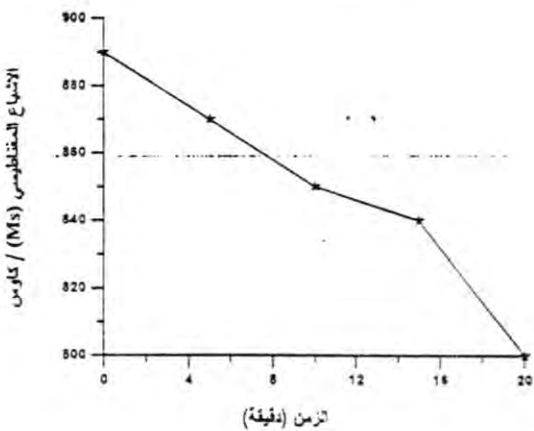
شكل رقم 2 تأثير حجم الامونيا المستخدمة في ترسيب المغنت على قيمة الاشباع المغناطيسي للسائل المحضر منها

اكسدة المغنت بالهواء الجوي

في تجربة لدراسة زمن اكسدة المغنت في حاوية التفاعل نتيجة لعرضه للهواء وتأثير هذه العملية على قيمة الاشباع المغناطيسي للسائل المحضر منه، فقد تم تحضير المغنت بالطريقة المختارة (كما هو مذكور في فقرة المواد وطرق العمل) مع ترك الناتج بدون ترشيح لفترات زمنية مختلفة تتراوح بين (20, 15, 10, 5) دقيقة لدراسة تعرض هذه المحاليل الحاوية على المغنت للاوكسجين الجوي مسبباً اكسدتها، بعدها تم ترشيحها وتحضير سوائل مغناطيسية منها وقياس مقدار الاشباع المغناطيسي لهم، حيث بينت النتائج (شكل 3) ان افضل اشباع مغناطيسي

هيثم ناجي احمد وجماعته

للسائل يكون عندما تعتمد على مادة المغنتيت التي تم ترشيحها مباشرة. وان زيادة فترة تعرض مادة المغنتيت للهواء يزيد من اكسدة المغنتيت وتحول لونه من اللون الاسود الى اللون البني الخاص بمادة ($\gamma-Fe_2O_3$) وبذلك تقل قيمة الاشباع المغناطيسي لكون مادة Fe_3O_4 ذات صفات فيزرمغناطيسية اضعف مما لمادة المغنتيت Fe_3O_4 , حيث سنأتي بالتفصيل لهذه المسألة لاحقاً.

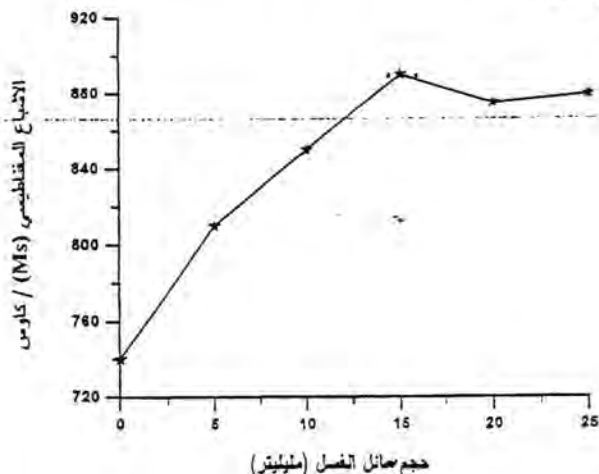


شكل (3) : تأثير فترة تعرض محلول ترسيب المغنتيت للهواء الجوي على قيمة الاشباع المغناطيسي للسائل المحضر منه.

ان عملية الاكسدة الحاصلة للمغنتيت تسبب في هبوط قيمة الاشباع المغناطيسي بشدة، وان من الواجب الحذر لعدم اكسدة المغنتيز خلال عمليات التحضير حيث بینت تجاربنا ان عملية الاكسدة تتم ايضا خلال عملية الترشيح البطئ للمادة والذي يعطي نتائج مشابهة لما ورد سابقاً، ان تأثير تغير تقدمة الترشيح لمحلول المغنتيت المحضر بعد ترسبيه بالقاعدة، من استخدام ترشيح تحت ضغط متخلخل لا يتجاوز فترته نصف دقيقة وبعد ترشيح المادة تحت الضغط الاعتيادي (يستغرق فترة زمينة بحدود 25 دقيقة)، يسبب في هبوط قيمة الاشباع المغناطيسي بشدة من 884 كاولز للاولي الى 489 كاولز للثانية مع تأكيد مادة Fe_3O_4 وتغير لون محلول الى اللون البني.

تأثير محلول غسل الراسب

اظهرت التجارب ان محلول غسل مادة المغنتيت بعد تحضيرها مباشرة عن طريق الترسيب دورا هاما في قيمة الاشباع المغناطيسي للسائل المحضر منه حيث لاحظ في الشكل (4) ان غسل مادة المغنتيت بكميات متزايدة من الماء (25,20,15,10,5) مل بالإضافة الى تجربة لم يتم غسلها باي كمية منه تؤثر بصورة مباشرة على قيمة الاشباع المغناطيسي للسائل المغناطيسي المحضر منها.



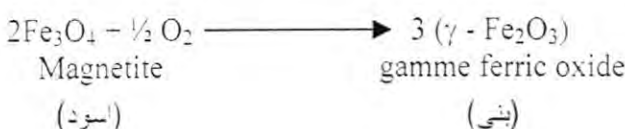
شكل (4) : كمية محلول الغسل لمادة المغنتيت واثرها في قيمة Ms

نلاحظ ان اعلى قيمة الى Ms كانت بحدود 884 كاوز عندما يتم غسل الراسح بكمية 15 مل من الماء او اكثر في حين كانت قيمة Ms للسائل الاخرى المحضرة من مادة المغنتيت والتي تم غسل راسحها بكمية من الماء اقل من ذلك، واصنفة بحيث تصل الى قيمة بحدود 740 كاوز في حالة عدم غسل الراسح.

ان تفسير هذه النتيجة متأتية حتما من ان زيادة غسل الراسح سيقوم بذابة معظم الاملاح المختلطة مع مادة المغنتيت والمتأتية من التواجع الثانوية لتفاعل التحضير مثل NH_4Cl و $(NH_4)_2SO_4$ وبذلك تزداد نقاوة المغنتيت وبالتالي زيادة قيمة Ms للسائل المحضرة منها.

المناقشة

ان عملية تحضير السائل المغناطيسي وبناءً على ما لاحظناه من تجربة سابقة قد تعترضه مشاكل كثيرة ليس على نطاق تحضير مادة المغنتيت واكسيدتها وهي مشكلة تسبب في خسارة السائل قيد التحضير لخواصه المغناطيسية المطلوبة وانما هناك مشاكل اخرى لها علاقة بحجم الدقائق المحضرة واستقرارية السائل المغناطيسي امام الجاذبية الارضية وقوى فان در فالز نوع لدن التي تميل الى تكثيل الدقائق وترسبها بعد فترة، تشير الاندیفات الى ان تحضير السائل المغناطيسي المعتمد على دقائق من المغنتيت قد يكون غير مستقر اتجاه تفاعل الاكسدة⁽⁷⁾ والتي تحدث حسب المعادلة التالية :



حيث يتحول المغنتيت الى اوكسيد الحديد نوع كاما، وهذا التحول يبدو واضحًا عند تغيير اللون الاسود لمادة Fe_3O_4 الى اللون البني الخاص لمادة $\gamma - Fe_2O_3$ و يحدث هذا التفاعل بصورة تلقائية كون طاقة كبس الحرارة لتفاعل الاكسدة ΔG Oxidation لها قيمة يساوي -97.2 kJ وارتباطها السالبة هنا تمثل تلقائية التفاعل، ان مادة $\gamma - Fe_2O_3$ قد تكون ايضاً مادة يمكن الاعتماد عليها لتحضير سوائل مغناطيسية من نوع اخر الا ان احتوائها على خصائص مغناطيسية ضعيفة مقارنة لما هو موجود للمغنتيت لا يشجع على ذلك.

ان تركيب مادة المغنتيت هو (FeO , Fe_2O_3) وعليه فانها تحوي على ايونات الحديد بنوعيه الثنائي والثلاثي (Fe^{2+} , Fe^{3+}) وبنسبة (1:2) وفي هذه الحالة لابد ان تكون هذه النسبة المولية متوفرة في املاح التحضير.

الا ان هذه النسبة قد تختلف نتيجة تحول ايونات Fe^{2+} الى Fe^{3+} بسبب عملية الاكسدة اثناء تعرضها للهواء اضافة الى وجود الماء الذي يعمل كعامل مساعد لزيادة سرعة تفاعل الاكسدة، لذا يفضل تحضير مادة المغنتيت في جو خامل.

حال من الاوكسجين وباستخدام نفس النسبة المولية المذكورة، اما طريقة تحضير المادة في حاويات مفتوحة⁽⁸⁾ فقد تم استخدامها بتغيير النسبة المولية قيمة (Fe^{+2} , Fe^{+3}) بحيث تكون

(1:1.4) او (1:1.6) ، مراugin عملية تحول Fe^{+2} الى Fe^{+3} اثناء التحضير ولوصول في نهاية التفاعل الى النسبة المولية (1:2).

اضافة الى هذا لابد من تقليل زمن التحضير الى اقل فتره زمنية ممكنة لتجنب تفاعلات الاكسدة الجانبية وهذا ما لاحظناه بالفعل في سلسلة النتائج التي حصلنا عليها.

ان البحث عن سوائل مغناطيسية مستقرة يقودنا بالتأكيد الى دراسة سوائل مغناطيسية دقائق اكثر استقرار امام تفاعلات الالكسدة مثل ذلك دقائق المواد الفراتينية او الفلزية كالكوبالت والنikel التي يكن يؤدي تعريضها الى تفاعل الالكسدة التلقائية الى توليد طبقة من اوكسيد المعادن حول الطبقة تحمي الدقيقة من التاكسد. اما بالنسبة للحديد فت تكون طبقة الاوكسيد ايضا ولكن هذه الطبقة تتعدد بوجود الاء كسبحين وعامل مساعد هو الماء.

ان فقدان الصفة المغناطيسية لمادة نتيجة عملية الاكسدة في جميع هذه الحالات تأتي من كون هذه العملية تساهم في تقليل عدد الالكترونات المنفردة لمادة الدقائق الموجودة في الاغلفة الخارجية للذرة والتي يعول عليها في اظهار الصفة المغناطيسية للمادة⁽⁹⁾.

الاستنتاج

يعتمد تحضير السوائل المغناطيسية على عدة عوامل تؤثر على استقراريته وخصائصه المغناطيسية والفيزيائية ومنها، ان انتخاب مادة الدقائق يجب ان تكون ملائمة لنوعية السائل المغناطيسي الذي يحضر منها عليه لابد وان تراعى في تثبيت طريقة تحضير مادة الدقائق من المغنتيت الامور التالية :

- اتمام تفاعل التحضير.
 - وجود كميات محسوبة من الاملاح الثنائية والثلاثية للحديد.
 - حساب تركيز القاعدة المرسبة لها.
 - تقاويم مادة الدفائق.
 - توفير ظروف للحلولة دون حدوث تفاعل اكسدة مادة المغنتيت الى اوكسيد الحديد
 - نوع كماذ ذو الخواص المغناطيسية القليلة.

دراسة ظروف تحضير سائل مغناطيسي للمغنتيت Fe_3O_4 الجزء الاول : تحضير المغنتيت
هيثم ناجي احمد وجماعته

المصادر

1. R.E. Rosenweif, "Chem. Eng. Comm." 67, 1 , (1988).
2. W.Charles and R.E. Rosensweig, "J.M. M. M, 39, 190, (1983).
3. G.G. Hawley " The condensed chemical dictionary" 8th ed. Vannott and Reinhold Co. N. Y. (1971).
4. R.Kelley, U.S. Patent, 4, 994, (1977).
5. M.H. Noyfeh and M.R. Brussel "Electricity and magnetism", John Wiley and Sons. Inc., N.Y. (1985).
6. S. Khalafalla and G.W. Reimers", Ieee" 16, 178, (1980).
7. P.C. Sholten "Chem Eng. Comm." 67, 331 (1988).
8. A. Neel, U.S. Patent 4, 018, 691, (1977).
9. Z.R. Reitz and F.J. Milford in "Foundations of Electromagnetic theory", Addison-Wesly Publishing Co. Amsterdam (1967).

دراسة في الاستخلاص بالمنذيب للانتيمون الثلاثي باستخدام 2-مركبوبنزوثيازول

* سهيلة كاظم صيهود^{*} ، رافع قدوري الكبيسي^{*} ، عبد المحسن الحيدري^{**}

* منظمة الطاقة الذرية العراقية-بغداد-توثيق-ص.ب. 765

** كلية التربية ابن الهيثم-جامعة بغداد

الخلاصة

تم توظيف المركب 2-مركبوبنزوثيازول في استخلاص الانتيمون ودراسة تأثير العوامل المختلفة المؤثرة في الاستخلاص كالدالة الحامضية وزمن التوازن ونوع المنذيب وتركيز الانتيمون والليكائد عامل التملح وجود بعض الايونات الموجبة والسلبية. تم حساب القيم الترموديناميكية للاستخلاص وبينت النتائج ان التفاعل ماص للحرارة وان افضل وسط PH=4 للاستخلاص هو الوسط المائي بدالة حامضية وان الاستخلاص بوجبات قد حسن من قيمة نسبة التوزيع (D). تم عزل المعقد المستخلص واخضاعه لجملة فحوصات منها قياس درجة الانصهار ومطيافية الاشعة المرئية الفوق بنفسجية لاغراض التشخيص. وجد بان تكافؤية المعقد (1:3) (ليكائد:انتيمون) وهذه النتيجة عضدت من خلال طريقة تحليل الميل.

ABSTRACT

2-HMBT is employed for the extraction of Sb(III), ion. The effect of various parameters affecting the ease of extraction namely PH, time of equilibration type of organic solvent, concentration of sb (III) and 2-HMBT, salting out agents and the presence of some cations and anions are investigated. Results indicated that the reaction is endothermic and best medium for the extraction is at aqueous meotium PH=4. Batch extraction improved the distribution ratio (D). The complex is isolated, purified and subjected for melting point determination and UV-visible spectro photometry for identification. The stoichiometry which is found to be 1:3 (M:L), is supported by slope analysis.

INTRODUCTION

The extraction of antimony as halide complexes with neutral extractants is effective, and there have been many reports on this subject.

The extraction of both antimony (III) and (V) in hydrofluoric acid into diethylether is very poor⁽¹⁾. Extraction of antimony trichloride with hexane, carbon tetrachloride and aromatic solvents was studied. The extraction has been made by using various solvents such as ethers⁽²⁾, Ketones^(3,4) and esters⁽⁵⁾.

It is to be noted that the extraction behavior of antimony (V): from 6M hydrochloric acid solution is different from that of antimony (V), from 6M hydrochloric acid only a few percent of antimony (V) is extracted. The extraction of latter improves when the acidity becomes higher; in the case of from 6.5 to 8M hydrochloric acid into isopropylether, it is 99.5%. The extraction of antimony (III) from hydrochloric acid with TBP is complete⁽⁶⁾.

Amines have been employed for the extraction of antimony from varios aqueous solutions. The extraction of antimony (III) is good from hydrochloric with 10% Amberlite LA-1 in xylene⁽⁷⁾ 2-Methoxine was found to extract antimony to some extent⁽⁸⁾. The extraction of antimony with B-diketoses is poor, for example, the extraction of antimony (III) in dilute hydrochloric acid into pure acetylactone is poorer than 0.05%⁽⁹⁾.

Another chelating extractant reported to extract antimony is N-benzoyl-N-Phenyl hydroxylamine. It Precipitates antimony (III) at pH 1 and antimony (V) in 3M acid and the precipitates were reported to be soluble in chlor form^(10,11).

EXPERIMENTAL

Instruments

The following instrument are empolyed:

- 1- Shimadzu – 160 double beam UV-visible spectrophotometer
- 2- PW-941 Philips pH meter.

Chemicals and Reagents

2-HMBT of BDH was used without further purification. All chemicals and reagents used were of A.R grade from BDH, merk Fluke, and Aldrich companies. Antimony solution is prepared by dissolving potassium antimony tartarate by (1:1) Hydrochloric acid.

Extraction Procedure

Ten ml of aqueous phase containing 200mg of Sb (III) (1.6×10^{-4} M) is taken is a separatory funnel the pH of solution is adjusted with

ammonium hydroxide to 4 and equilibrated at room temperature (28°C) with 10 ml of 0.5% solution of 2-HMBT in Chloroform for three minutes. An aliquot of a aqueous phase is submitted for Antimony determination and Dvalue is calculated.

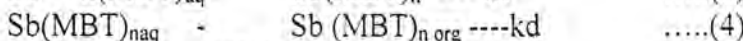
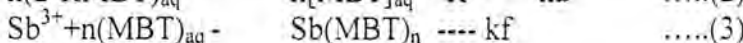
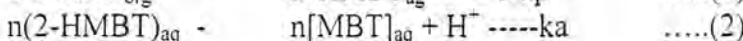
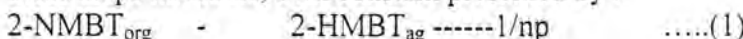
Antimony estimation

Antimony is estimated in the aqueous phase by Iodine method⁽¹²⁾. The calibration is obtained by this method, and the measurement of the observance is made at $\lambda_{\text{max}} = 425\text{nm}$.

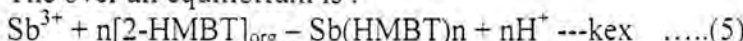
The molar absorbitivity of Sb (III) Complex with Iodide is (0.8×10^4 L.mol. cm^{-1}). The reproducibility of absorbance indicates good stability of the complex. The linearity is obtained for the concentration range of (5.7×10^{-5} M, 0.4×10^{-5} M – 0.4×10^{-5} M). The relative standard deviation is calculated for six readings belong to reported extraction and found to be 1.65%.

RESULTS AND DISCUSSION

2-HMBT distributes dissociates , Combine and distributes. Each of these steps haves its own constant presented by :



The overall equilibrium is:



$$K_{\text{ex}} = \frac{[Sb(MBT)_n]_{\text{org}} [H^+]^n}{[Sb^{+3}]_{\text{aq}} [2 - HMBT]_{\text{org}}^n} \quad \dots \dots (6)$$

$$\text{Log D} = \text{Log k}_{\text{ex}} + n \text{ Log [2-HMBT]} + npH \quad \dots(7)$$

2-HMBT present in totoumeric structures – thion and thiol



The effect of pH on Dvalue indicated that pH 4 gave best extraction, although % extraction is more than 50% (table 1) at pH range 1-9.

Table (1): Effect of pH on Dvalue of Sb (III) extraction with 2-HMBT

Ph	Dab	%E
1	3.20	76.1
2	5.29	84.1
3	7.30	87.9
4	8.11	89.0
5	7.14	87.7
6	6.90	87.4
7	5.33	84.2
8	5.10	83.6
9	4.21	80.8

Increasing of Sb (III) Concentration increases D value till the concentration of 3.20×10^{-4} M, after which it decreases.

This can be attributed to weak solubility of complex in most of the organic solvents.

Table (2): Effect of Sb (III) concentration on Dvalue of Sb

Sb[M]	Dab
0.4×10^{-4}	3.2
0.82×10^{-4}	4.5
1.60×10^{-4}	8.0
2.40×10^{-4}	11.5
3.20×10^{-4}	14.3
4.90×10^{-4}	9.0
6.50×10^{-4}	6.2

Increasing of 2 HMBT concentration also increases D value of Sb (Table 3), the result, which is in accordance with derived equation 7.

Table (3): Effect of 2-HMBT concentration on D_{sb}

[2-HMBT] × 10 ⁻² M	D _{sb}
5.90	3.52
11.9	5.91
23.9	9.24
29.9	14.98
41.8	3.62

Table (4)
Effect of equilibration time on D_{sb}

Eq. T (Minutes)	D _{sb}
1	6.2
2	9.5
3	14.2
5	14.3
10	15.1
15	9.5

Ten minutes is found to be time required for obtaining the highest D value, Table 4. Of the organic solvents investigated, the following order is obtained for increasing D value of the extraction chloroform > Ethylacetate carbontetrachloride > Dichoro ethane = toluene > Dichloromethane > P-xylene > Benzene > Nitrobezene > Diethyl ether. The dielectroe constant indicate no linear relation with logd (Table 5).

Table (5): Effect of dielectric constant of the organic solvent on D value

Solvent	Dielectric constant	D _{sb}
Nitrobenzene	35.75	2.9
Dichloromethane	10.65	6.4
Dichloroethane	9.10	7.4
Ethylacetate	6.02	11.4
Chloroform	4.80	13.3
Diethyl ether	4.30	2.4
Toluene	2.40	7.4
Benzene	2.28	3.8
p-xylene	2.27	6.0
Carbontetrachloride	2.20	11.1

Of the anions $\text{Cr}_2\text{O}_7^{2-}$ found to be interfering, CrO_4^{2-} , PO_4^{3-} , Cl^- , I^- and SO_4^{2-} Decreases the D value. Among the cations 200mg of Bi^{+3} , Sn^{+2} , In^{+3} , Ag^{+1} , Ni^{+2} , Cu^{+2} and Pb^{+2} decreases D value of Sb (III).

Thermodynamic study is carried (Figure-3) shows the relation between $\log D$ and $1/T$, it reveals an increasing D value with the increase in temperature, indicating an endothermic reaction ΔH is found to be 10.44 kJ/mole . ΔG_{ex} is negative and $\Delta S_{\text{ex}} = 0.056 \text{ Kj/mole}$.

Slope analysis (table 6) suggest a M:L ratio of 3:1 Melting point of isolated complex is determined and found to be $(66-68)^\circ\text{C}$ compared with $(177-180)^\circ\text{C}$ for the reagent.

Table (6): Slope analysis

	Sb[M]	2-HMBT [M]	D _{sb}	Slope
A	0.41×10^{-4}	2.98×10^{-4}	3.35	0.84
	0.8×10^{-4}	2.98×10^{-4}	5.9	
	1.6×10^{-4}	2.98×10^{-4}	10.43	
	2.4×10^{-4}	2.98×10^{-4}	15.0	
B	$0.82 \times 10^{-4} \text{M}$	0.597×10^{-2}	3.2	0.31
	$0.82 \times 10^{-4} \text{M}$	1.195×10^{-2}	4.1	
	$0.82 \times 10^{-4} \text{M}$	1.793×10^{-2}	4.9	
	$0.82 \times 10^{-4} \text{M}$	2.983×10^{-2}	5.4	
	$0.82 \times 10^{-4} \text{M}$	4.185×10^{-2}	6.1	
	$0.82 \times 10^{-2} \text{M}$	5.979×10^{-2}	7.5	

REFERENCES

1. Yn. A. Zolotov and V.I. Golovanov, Dokl. Akad. Nank. USSR, 191, 92, (1970).
2. I. Stronski, z.Ph. Chem., 231, 329, (1966).
3. R.W. Lower, S.H. prest Wood, R.R. Ri chard and E.I. Wyatl, Anal, Chem., 33, 874, (1961).
4. C.E. White and H.J. Rose, Anal. Chem. 1953, (1967).
5. T.Ishimori, et al., "Data of Inorganic solvent Extraction, Res., Rept. Japan At. Energy Res. Inst. , JAFERI 1047, (1966).
6. A.P. Grmianis and I. Hadzitelios, Anal. Chim. Acta, 41, 15, (1968).
7. H. Jaskiska and Minczewski, Chem. Anal. (warsaw, 6, 149), (1961).
8. N.H. Furman, W.B. Mason, and J.S. Pekola Anal Chem., 21, 1325, (1949).
9. R.J. Hxnek and L.J. Wrangell. Anal. Chem., 28, 1520, (1956).
- 10.S.J. Lyle and A>D. Shendrikar, Anal. Chim. Acta, 36, 286, (1966).
- 11.B.M. Teiam and B.C. Haldar, Radiochem, Radioanol. Lett., 9, 189, (1979).
- 12.Zygmunt, Marczenko "spectrophotometric determination elements" John Wiley and sons, Ins.. p 169, (1986).

دور انتقال الايونات عبر الغشاء المبطن للجيوب في التهاب الجيوب الانفية

ابناء عبد المنعم الليلة ، باسمة احمد عبد الله

قسم علوم الحياة (أحياء مجهرية) / كلية العلوم / جامعة الموصل

ABSTRACT

The current study were able to find the relationship between conductivity and Acute, Subacute, chronic sinusitis in both sexes, and different age group between (3-70) years. The study also deals with epidemiology and frequency of sinusitis. The results showed that chronic sinusitis was dominated in males (11-15) years old and in female (16-20) years old and the highest incidence of disease in February. We also noted that the conductivity values increased in the primary stage of infection and decreased as the infection progresses.

الخلاصة

تضمنت الدراسة الحالية ايجاد العلاقة بين التوصيلية والتهاب الجيوب الانفية الحاد، تحت الحاد والمزمن من كلا الجنسين وباعمار مختلفة تراوحت بين (3-70) سنة. كذلك اهتمت الدراسة بوبائية المرض وتكرار حدوثه الموسمي. اظهرت النتائج سبادة الاصابة المزمنة في الفئة العمرية للذكور من (11-15) سنة وللإناث من (16-20) سنة. كما لوحظ ان اوطأ قيمة للتوصيلية كانت اقل فترة لالتهاب الجيوب وفي الطور الحاد للمرض واعلى قيمة لها عند انتهاء نفس الطور وتقدم الاصابة.

المقدمة

بعد التهاب الجيوب الانفية من الامراض الشائعة في كافة انحاء العالم، اذ تصيب كافة الاعمار وخاصة الشباب اكثر تعرضا للظروف البيئية المختلفة (Wald, 1998 a,b).
الجيوب الانفية عبارة عن فراغات هوائية داخل عظام الجمجمة مبطنة بغشاء مكون من نسيج طلاني عمودي طبقي كاذبي ذو اهداب تتناثر فيه خلايا كأسية وتفتح على الاهداف بطبقية رقيقة

ليناس عيم المنعم و باسمة احمد عبد الله

من السائل المحيط بالاهداب وطبقة من مادة مخاطية مكون طبقة رقيقة متوجهة المسار تدعى (Leeson & Lesson, 1976; Scott-Brown, 1971) Blanket.

اقترح ان هذه الطبقة (السائل المحيط بالاهداب) ربما تنتج بوساطة النقل الايوني الفعال عبر النسيج الطلائي الذي يكون كنتيجة للحركة الازموزية الثانوية للماء، وكذلك هنالك موازنة بين دخول وخروج الايونات عبر هذا الغشاء وعند حدوث أي التهاب يحدث خلل في هذا التوازن اذ يزداد افراز وتثخن المادة المخاطية من الخلايا الكأسية مع زيادة خروج الايونات وبالتالي تزداد قيمة التوصيلية الكهربائية لهذه الافرازات.

(Takeuchi et al., 1991; Harper, 1975; Bell et al., 1959) أن من اهم استخدامات التوصيل الكهربائي هي استعماله كقياس تقريري لتركيز الاملاح الذائبة في الماء بوحدة ملغم / لتر.

يعرف التوصيل الكهربائي للمحلول بأنه قيمة عددية تشير الى قابلية المحلول على حمل التيار الكهربائي، وتعتمد هذه القيمة على تركيز وتكتاف الايونات الذائبة في المحلول، ودرجة حرارته اثناء القياس لتأثيرها المباشر على حركة واتجاه الايونات المختلفة ويقاس التوصيل الكهربائي بوحدة المايكروموز / سنتمر، ومن الجدير بالذكر ان ميكانيكيّة تكوين التجمعات المخاطية في الجيوب لم تدرس بصورة كاملة لحد الان (Takeuchi et al., 1991).

تهدف الدراسة الى قياس الخواص التوصيلية لايجاد العلاقة بين زيادة التوصيلية وزيادة لزوجة المادة المخاطية الناتجة اثناء التهاب الجيوب، كذلك حاولت الدراسة ايجاد العلاقة بين التوصيل الكهربائي للافرازات المخاطية للمرضى وتطور المرض من الحاد الى المزمن كما تم دراسة الوبائية وعلاقة الاصابة مع عمر و الجنس المرضى.

المواد وطرق العمل

جمع العينات

جمعت (64) عينة غسل جيوب من مرضى مصابين بالتهاب الجيوب الانفية الحاد والمزمن من مستشفيات صدام العام، الزهراوي الاهلي، والعيادة الخاصة على مدى ثمانية شهور / من شهر آب (1999) ولغاية شهر نisan (2000)، جمعت العينات بوساطة الى خاصة لغسل الجيوب (Hadly, 1997) Tilley-Lichwitz-trocars and Cannula.

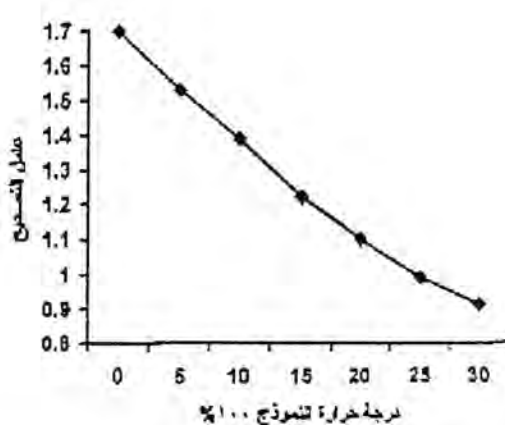
معمق إلى داخل الجيوب ثم سحب الافرازات من قبل الطبيب بعد التخدير العام للمريض، ونقلت العينات إلى المختبر لإجراء الاختبارات اللاحقة عليها.

الأشخاص

أخذت العينات من كلا الجنسين وباعمر مختلفة تراوحت ما بين (30-70) سنة.

قياس التوصيلية

قيسَت التوصيلية للعينات الماخوذة من غسل الجيوب وذلك باستخدام جهاز خاص لقياس التوصيلية Conductivity meter من شركة Ogawa seiki اليابانية، الذي يرتبط بخلية أو قطب حساس للتوصيل الكهربائي، سجلت القراءات ثم عدلَت القيم المستحصلة عند درجة (25)م باعتبارها الدرجة القياسية للتوصيل الكهربائي (عباوي وحسن، 1990)، تم قياس التوصيلية وذلك بغسل القطب أو الخلية بالماء المقطر ثم جفف، قيسَت درجة حرارة العينة والتوصيل الكهربائي لها ثم عدلَت قيم العينات التي كانت درجة حرارتها غير مساوية للدرجة القياسية (25)م للحصول على قيمة التوصيل الكهربائي المكافئة لقيمة عند هذه الدرجة وذلك باستخدام المخطط البياني الآتي :



المخطط (1) : معامل التوصيل الكهربائي للتصحيح إلى قيمة التوصيل المكافئة عند (25)^o (عباوي وحسن، 1990)

اذا سقطت درجة حرارة العينة على المنحني في الرسم البياني ولوحظت قيمة المعامل المشار اليه، ثم ضربت هذه القيمة بقيمة التوصيل الكهربائي التي سجلها للحصول على قيمة التوصيل الكهربائي للعينة.

دراسة الوبائية ونسبة الاصابة بالتهاب الجيوب الحاد، تحت الحاد للمرضى قيد الدراسة درس تكرار حدوث المرض في غضون (8) أشهر من شهر آب (1999) الى شهر اذار (2000)، كما درس نسبة الاصابة بالتهاب الجيوب الحاد، تحت الحاد والمزمن في المرضى قيد الدراسة.

التحليل الاحصائي

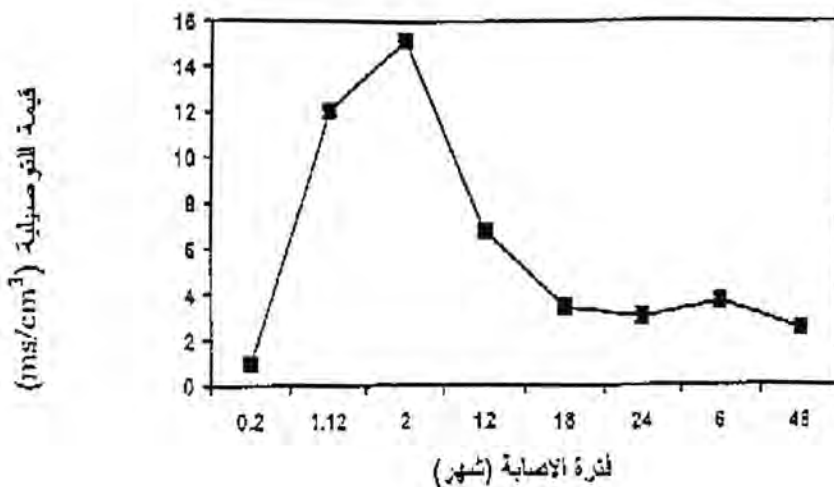
اجريت التحليلات الاحصائية باستخدام معاملي الانحدار والارتباط لتحليل النتائج عند مستوى احتمال (0.05) فقط (الراوي، 1979).

النتائج

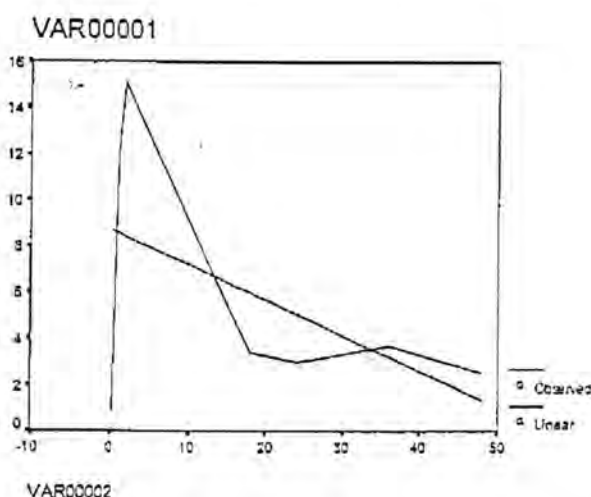
تم قياس التوصيلية لافرازات الجيوب الانفية للمرضى قيد الدراسة ومن كلا الجنسين اذ يوضح الشكل (1) ان اوسط قيمة للتوصيلية كانت عند اقل فترة لالتهاب الجيوب (الطور الحاد)، واعلى قيمة لها عند انتهاء الطور الحاد للاصابة تقربيا وبدأت بالانخفاض مع ارتفاع فترة الطور المزمن لالتهاب الجيوب ولدى كافة المرضى قيد الدراسة. دل التحليل الاحصائي باستخدام معامل الانحدار من الدرجة الاولى (Linear) والثانية (Quadratic) والثالثة (Cubic) كما موضح في الاشكال (2، 3 و 4) على ان المعادلة الثالثية للانحدار (Cubic) هي الاكثر ملاءمة لتحليل بيانات قيم التوصيلية، كما ملاحظ في الشكل (4) والمعادلة هي :

$$Y_i = 8.9636 - 0.0285 X_i - 0.032X_i^2 + 0.0002X_i^3$$

نستنتج من المعادلة السابقة ان كل زيادة بوحدة واحدة من X^2 (فتره الاصابة) تقل قيمة Y (قيمة التوصيلية) بمقدار 0.0285 مع ثبات باقي معاملات الانحدار.

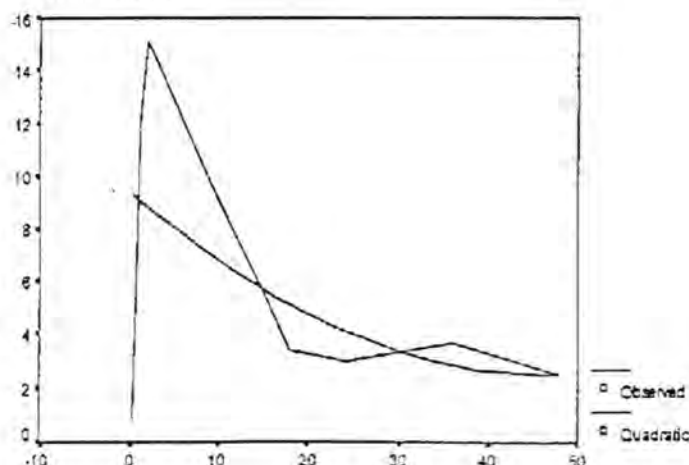


الشكل (1) العلاقة بين قيمة التوصيلية (ملي موز ، سم³) وفتره الالئاب لدى مرضى التهاب
الجيوب الانفية قيد الدراسة



شكل (2) معادلة الانحدار من الدرجة الاولى لايجد العلاقة بين فتره الاصابة وقيمة التوصيلية

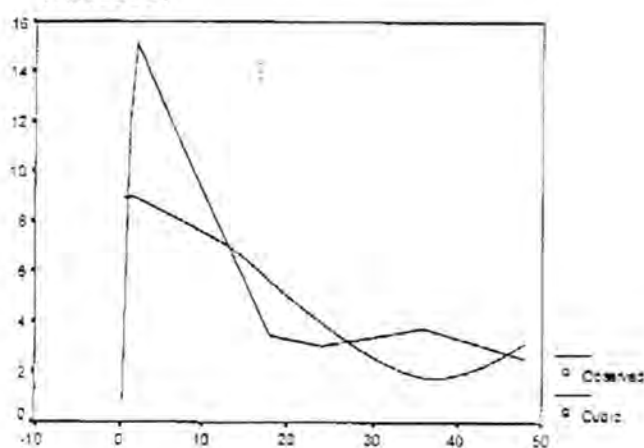
VAR00001



VAR00002

شكل (3) معادلة الانحدار من الدرجة الثانية لايجاد العلاقة بين فترة الاصابة وقيمة التوصيلية

VAR00001



VAR00002

شكل (4) معادلة الانحدار من الدرجة الثالثة لايجاد العلاقة بين فترة الاصابة وقيمة التوصيلية

يبين الشكل (5) الزيادة الموسمية لتكرار حدوث المرض اذ ان اعلى تكرار لها كان في شهر شباط، وبلغ عدد المرضى (14) مريضاً بينما اقل تكرار كان في شهر كانون الثاني، وبلغ عدد المرضى مريض واحد فقط وكان هذا غير متوقع.

يوضح الشكل (6) توزيع النسب المئوية لانواع الاصابة الحادة، تحت الحادة والمزمنة بين المصابين لفئات عمرية مختلفة للمرضى قيد الدراسة، اذ يوضح الشكل ان نسبة الاصابة المزمنة كانت هي السائدة في المرضى قيد الدراسة للفئات العمرية جميعها وهي نسبة عالية مقارنة بالاصابة الحادة وتحت الحادة وكانت اعلى نسبة للاصابة في الفئة العمرية من (23-17) واقل نسبة للاصابة كانت عند الفئة العمرية من (72-59) سنة.

المناقشة

يعرف التهاب الجيوب الانفية بأنه التهاب يصيب الطبقة المخاطية المبطنة للجيوب الانفية لذلك فإن أي التهاب يحدث في الانف يمتد إلى الجيوب (Wald, 1998a; Weir and Golding-Wood, 1997).

ينتج عن التهاب الجيوب الانفية زيادة افراز المادة المخاطية من الخلايا الكأسية مع زيادة التثخن وزيادة خروج الايونات منها لذلك اهتمت الدراسة الحالية بقياس قيمة التوصيلية للافرازات المرضى ودراسة وبائية هذا المرض ونسبة الاصابة الحادة، تحت الحادة والمزمنة في المرضى قيد الدراسة.

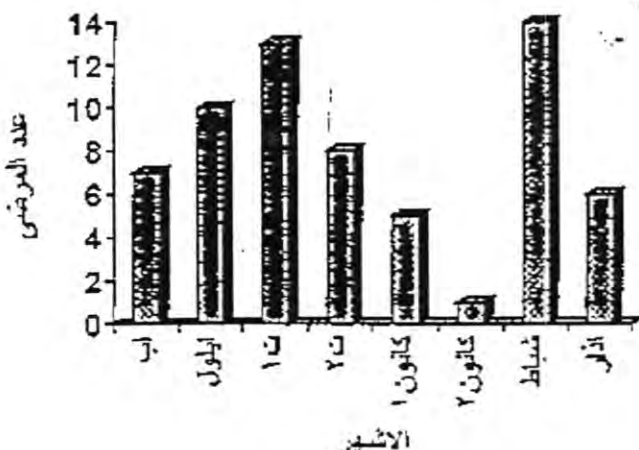
يوضح الشكل (1) العلاقة بين قيمة التوصيلية وفتره التهاب الجيوب الانفية لدى المرضى اذ يبين الشكل ارتفاع قيمة التوصيلية في بداية المرض (الطور الحاد) وتقل قيمة التوصيلية في الطور المزمن من المرض وهذا ما اكده الباحثون Takenchi واخرون سنة (1991). حيث انه في بداية الطور الحاد يزداد نصوح الافرازات المائية ويزداد خروج الايونات من الخلايا ولذلك تزداد قيمة التوصيلية، وعند تطور المرض الى الطور المزمن يزداد سمك الافرازات المائية ويقل خروج الايونات من الخلايا وبذلك تقل التوصيلية وهذا ما اكده Bell واخرون سنة (1959).

دللت نتائج الشكل (5) على أن اعلى تكرار لحدوث الاصابة الموسمية كان في شهر شباط وكما هو متوقع اذ ان تكرار حدوث المرض يوازي تكرار حدوث الاصابة الحادة في فصل الشتاء، وهذا ما اكده Hoeprich سنة (1977)، والباحث Randall سنة (1999) اذ ان المسبب

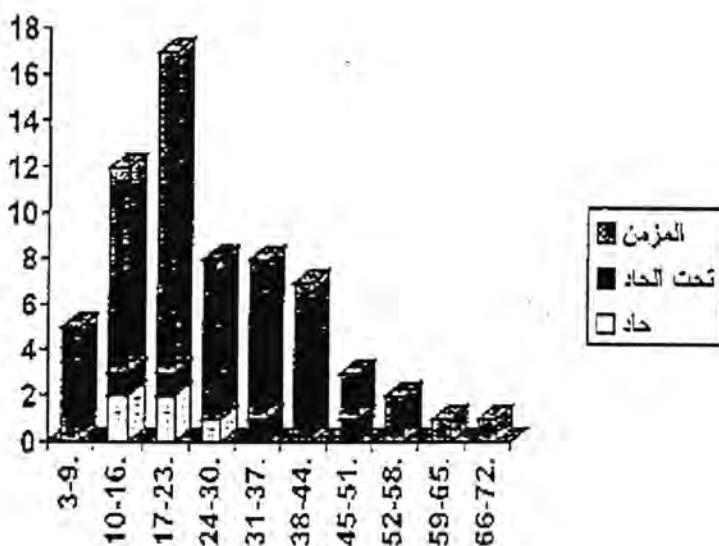
ليناس عميم المنعم وباسمة احمد عبد الله

الرئيسي للالتهاب الجيوب هو فايروسي، بالإضافة إلى الاصابة الجرثومية الثانوية، وبما ان الفايروسات تحتاج إلى جو بارد ورطب لتكاثر فأن الاصابة تزداد زيادة موسمية في فصل الشتاء، ومن غير المتوقع فقد كانت أقل تكراراً لحدوث المرض شهر كانون الثاني.

يشير الشكل (6) إلى توزيع النسب المئوية لأنواع الاصابة الحادة، تحت الحادة والمزمنة بين المصابين لفئات عمرية مختلفة، نلاحظ من الشكل أن الاصابة المزمنة احتلت أعلى نسبة في المرضى قيد الدراسة، إذ تعرف الاصابة المزمنة بانها الالتهاب الطويل الامد للجيوب الانفية (Murray, 1988) وقد يعود السبب في كون معظم الاصابات مزمنة إلى ان معظم المرضى قيد الدراسة كانوا من يعانون من التهاب الجيوب لمدة تزيد عن السنة، وهذا يؤدي بدوره إلى تطور الاصابة إلى الحالة المزمنة. كذلك يلاحظ من الشكل أن أعلى نسبة للاصابة كانت عند الفئة العمرية (17-23) واقل نسبة للاصابة كانت عند الفئة العمرية (59-65) و (72-76) وقد يعود ذلك إلى ان الشباب في هذه المرحلة من العمر يكونون في اوج نشاطهم وأكثر عرضة للظروف الجوية المتغيرة لهذا يكونون أكثر عرضة للاصابة من كبار السن (الشيوخ). أما بالنسبة للأطفال فهم أيضاً معرضون للاصابة لكنها أقل وطأة بسبب صغر حجم الجيوب وكبر فتحاتها وكبر فتحاتها ونادراً ما تغلق الفتحات إلا في حالة الالتهاب الشديد.



شكل (5) تكرار حدوث الاصابة الموسمية للمرضى المصابين بالتهاب الجيوب الانفية قيد الدراسة



شكل (6) النسبة المئوية لالتهاب الجيوب الانفية الحاد، تحت الحاد، المزمن لدى المرضى قيد الدراسة

المصادر

- الدجاج، عبد المجيد محمد وعفراوي، بنان احمد. الحركيات والكيمياء الكهربائية. وزارة التعليم العالي والبحث العلمي، جامعة الموصل (1992).
- الراوي، خاشع محمود. المدخل الى الاحصاء. وزارة التعليم العالي والبحث العلمي، جامعة الموصل (1979).
- عباوي، سعاد عبد وحسن، محمد سليم. الدراسة العملية للبيئة فحوصات الماء. وزارة التعليم العالي والبحث العلمي، جامعة الموصل (1990).
- Bell, G.H., Davidson, J.N. and Scarborough, H. "Physiology and Biochemistry". 4th ed. E&S Livingstone Ltd., Edinburgh and London. (1959).

5. Hadley, J.M. "Lavage of Sinuses" Edited by Bleach, N., Milfort, Ch., and Hasselt, A.V. in "Operative Otorhinolaryngology". Black Well Science Ltd., London (1997).
6. Harper, H.A. "Review of Physiological Chemistry". 15th ed. Lange Medical Publications, California, (1975).
7. Hoeprich, P.D. "Infectious Diseases". 2nd ed. Harper and Row Publishers. Hangerstone, England, (1977).
8. Leeson, C.R., and Lesson, Th. S. "Histology". 3rd ed. W.B. Saunders Company, London, (1976).
9. Murray, J.A.M. "The Nose". Edited by Maran, A.G.D. in "Logan Turner's Diseases of the Nose Throat and Ear". 10th ed. Butter & Tanner Ltd., London, (1988).
10. Randall, D.A. "The Nose and Sinuses". Edited by Lee, K.J. in "Essential Otolaryngology Head. neck Surgery". 7th ed. Simon & Schuster Company, USA, (1999).

عزل وتشخيص جرثومة *Streptococcus pyogenes* و اختيار اكفاء العزلات في
انتاج ذيفان O Streptolysin

سعاد عبد علي عطية * ، رشيد محجوب المصلح ** ، سعود رشيد العاتي *

• منظمة الطاقة الذرية العراقية - ص.ب. 765 بغداد العراق

جامعة بغداد - كلية العلوم - قسم علوم الحياة

الخلاصة

جمعـت 98 عـيـنة من مـسـحـات الـحـلق وعـزلـت 16 عـزلـة لـجـرـثـومـة *Streptococcus* *pyogenes* شخصـت بـالـاعـتمـاد عـلـى صـفـاتـها المـظـهـرـية وـالمـجـهـرـية وـالـبـاـيـوـكـيمـيـائـية وـالـمـصـلـيـة. اخـتـيرـت العـزلـة المـحلـية LS5 لـكونـها ذات كـفـاءـة عـالـية فـي انتـاج ذـيفـان O Streptolysin O بـالـاعـتمـاد عـلـى طـرـيقـة الغـرـبـلـة شـبـهـ الكـمـيـة وـالـكـمـيـة.

المقدمة

يعود جنس *Streptococcus* الى مجموعة المكورات الايجابية لمون غرام وتضم هذه المجموعة اجناسا مختلفة وضعت هذه الاجناس ضمن مجموعة واحدة لكونها خلايا كروية الشكل وكونها ايجابية لمون غرام، ومن مميزات خلايا جنس *Streptococcus* هي خلايا غير متحركة وغير مكونة للباغ وتنطلب في تغذيتها اوساطاً غنية واحيانا تتطلب 5% ثاني اوكسيد الكاربون وسائلة لاختيار الكاتاليلز وعموماً تسبب حل كريات الدم الحمر⁽¹⁾.

تعد جرثونة *Strptococcus pyogens* من الجراثيم الممرضة الشائعة والمميتة للانسان في كل انحاء العالم⁽²⁾ وعادة تسبب هذه الجرثومة العديد من الاصماج منها التهاب اللوزتين او الحلق وكذلك تحتاج الجرثومة الجلد لتسبب اخماجاً موقعية وافات واحياناً كنتيجة لاخماج جرثومة *S. pyogenes* تتولد استجابات مناعية غير طبيعية مؤدية الى امراض مثل الحمى الرئوية Acute Rheumatic fever والتهاب الكلوة الكبيسي الحاد glomerulonephritis⁽³⁾.

عزل وتشخيص جرثومة Streptococcus pyogenes واختبار اكفا العزلات في انتاج ذيفان O سعاد عبد على عطية وجامعة

بعد الانسان المضيقي الطبيعي الوحيد المعروف لجرثومة *S. pyogenes*⁽⁴⁾ لكن جرثومة *S. pyogenes* نادراً ما توجد كنبيت طبيعي في الانسان اذ توجد بنسبة اقل من 1% كنبيت طبيعي في الانسان⁽³⁾.

المواد وطرق العمل

اعتمدت الطريقة الواردة في (5) لغرض الحصول على مسحات الحلق. وعزلت العزلات الجرثومية وتم تشخيصها بالاعتماد على الصفات المقترحة من لدن^(6,1). حضرت الكواشف والاواسط الزرعية للعزل والتشخيص بالاعتماد على⁽⁶⁾. استخدام قياس قطر منطقة حل الدم حول المستعمرات الجرثومية. كاساس لغربلة العزلات الجرثومية واختيار اكفا العزلات انتاجاً لذيفان Streptolysin O تم تغير الفعالية كمياً لذيفان Streptolysin O طبقاً لما ورد في (7) لاختبار العزلة الاكفا في انتاج الذيفان.

النتائج والمناقشة

عزل وتشخيص العزلات الجرثومية

شخصت مسحات الحلق لـ 98 شخصاً مصاباً بالتهاب اللوزتين لمختلف الاعمار تتراوح اعمارهم بين 3-60 سنة ومن كلا الجنسين، اذ عزلت 16 عزلة جرثومية نامية في وسط اغار الدم Blood agar التي تتميز بكونها مستعمرات محاطة بمنطقة حل كامل للدم، صغير، مستديرة، محدبة، مرتفعة قليلاً عن الوسط الزرعي ثم نمت هذه العزلات المختارة في وسط اغار الدم وصبغة البنفسج البلوري ووسط اغار الدم وازيد الصوديوم كوسطين انقاثيين لنمو جرثومة *S. pyogenes* ومن هذين الوسطين نقلت مستعمرات منفردة لكل عزلة الى وسط اغار الدم ووسط مرق نقيع الدم والقلب للتأكد من نقاوتها وفحصت مجهرياً لكلا الوسطين اذ ظهرت الخلايا بشكل مكزرات ومرتبة بشكل سلاسل ايجابية لملون غرام وبعدها اجريت الفحوصات التشخيصية لجميع العزلات ولعزلة السيطرة واعطت جميع العزلات وعزلة السيطرة النتائج المبينة في الجدول (1) وهذه النتائج متطابقة مع تشخيص (6,1).

اختيار العزلة الاكفأ في انتاج ذيفان O الطريقة شبه الكمية

يتضح من الجدول (2) ان جميع العزلات الجرثومية حالة للدم في ظروف الحضن البوائي واللاهوائي وفي كلا النوعين من وسط الغربلة وسط دم الانسان ووسط دم الأغنام ولكن هناك تبايناً في فعاليتها الحالة للدم على اساس اختلاف قياس قطر منطقة حل الدم حول المستعمرات النامية باختلاف ظروف الحضن وباختلاف نوع الدم المستخدم في تحضير وسط الغربلة شبه الكمية وتعد هذه النتيجة مؤشراً أولياً على كفاءة العزلات الجرثومية في انتاج ذيفان Streptolysin O وافرازه خارج الخلية والذي يقوم بحل كريات الدم الحمر التي يستفاد كمصدر غذائي خارج الخلية والذي يقوى بحل كريات الدم الحمر التي يستفاد منها كمصدر غذائي لغرض النمو كما يلاحظ من الجدول ان العزلات (S₅, LS₁₂, LS₁₁, LS₁₀, LS₅) اظهرت زيادة في فعاليتها الحالة للدم في ظروف الحضن اللاهوائي اكثر مما في الظروف

البوائية.

اذ لوحظ ان العزلة S₅ اظهرت زيادة في فعاليتها الحالة للدم عند حضنها لا هوائية اكثراً مما في الظروف البوائية ولكن النوعين من الدم وكذلك العزلة LS₁₀ ، LS₁₃ اظهرت زيادة في فعاليتها عند الحضن اللاهوائي باستخدام وسط دم الانسان.

اما العزلة LS₁₃, LS₆, LS₅ فقد اظهرت فعالية قليلة جداً عند الحضن البوائي لكنها ازدادت عند الحضن اللاهوائي باستخدام وسط دم الأغنام وتعود فعالية حل الدم لجرثومة *S. pyogenes* في اغار الدم الى فعل الذيفاني Streptolysin S الذي يكون ثابتاً بوجود الاوكسجين وذيفان Streptolysin O الذي يكون حساساً الاوكسجين وتظهر فعاليته الحالة للدم فقط عند النمو اللاهوائي لذلك فان الفعالية الحالة للدم لجرثومة عند النمو البوائي تعود لفعل ذيفان Streptolysin O.

استخدم الباحثان تاك وفوكلر⁽⁸⁾ طريقة قياس منطقة حل الدم حول المستعمرات النامية تحت ظروف هوائية ولا هوائية كمؤشر لفعالية ذيفان O Streptolysin في حالة للدم.

الغربلة الكمية لاختيار العزلة الاكفأ

اظهرت نتائج الغربلة الكمية المبنية في جدول (3) تباين العزلات الجرثومية في انتاجها لذيفان O فعند استخدام عائق كريات الدم الحمر للأغنام في مقاييس الفعالية الحالة

عزل وتشخيص جرثومة Streptococcus pyogenes واختيار اكفاء العزلات في انتاج ذيفان O
سعاد عبد على عطية وجماعتها

للم ظهرت اعلى انتاجية لذيفان O Streptolysin في طافي العزلة LS₅ اذ بلغت الفعالية 1.96
وحدة / ملتر.

اما العزلات الجرثومية S₁₆, LS₁₅, LS₁₁, LS₁₀, LS₆ فظهرت ذات انتاجية اعلى من
البقية اذ تراوحت فعاليتها بين 1.21-1.73 وحدة / ملتر. اما البقية فتراوحت الفعالية الحالة للم
ذيفان O Streptolysin بين 0.40-0.96 وحدة / ملتر.

اما في حالة استعمال عالى كريات الدم الحمر للانسان في مقايسة الفعالية الحالة للم
ظهورت اعلى انتاجية لذيفان O Streptolysin في طافي العزلة LS₅ اذ بلغت الفعالية 2.30
وحدة / ملتر. اما العزلات الجرثومية LS₁₁, LS₁₀, LS₆ فقد ظهرت ذات انتاجية اعلى من بقية
العزلات فتراوحت الفعالية الحالة للمذيفان 1.92-1.94 وحدة / ملتر. اما بقية العزلات
فترة وتحتها الحالة للم بين 0.59-0.88 وحدة / ملتر.

قد يعزى التباين الحاصل في انتاجية الذيفان الى التباين الوراثي بين العزلات الجرثومية
الم المنتجة للذيفان.

اذ ذكر الباحثان⁽⁹⁾ ان اختيار العزلة المنتجة للذيفان مهم جداً كما في ظروف الزرع
للحصول على انتاج عال اذ ان عدد السلالات لا ي نوع جرثومي المستخدمة لاستخلاص الذيفان
محدود جداً. وقد تعود كفاءة العزلة في انتاج الذيفان الى زيادة معدل نمو خلاياها. اختبرت العزلة
LS₅ لاظهار اعلى فعالية حالة للمذيفان O Streptolysin من بقية العزلات وفي كلتا
الطرقتين، الطريقة شبه الكمية والطريقة الكمية ولكن نوعي دم الانسان ودم الاغنام.

الجدول (1) نتائج الاختبارات التشخيصية لـ 16. عزلة وعزلة السيطرة لجرثومة *S. pyogenes*

رقم الاختبار	الاختبارات التشخيصية	النتائج
1	النمو هوئياً	+
2	النمو بوجود $\text{CO}_2 \ 5\%$	+
3	النمو لا هوائياً	+
4	النمو بدرجة حرارة 10°C	-
5	النمو بدرجة حرارة 45°C	-
6	النمو بوجود 6.5% كلوريد الصوديوم	-
7	انتاج الحامض من	-
	الانبيولين	-
	لاكتوز	+
	ماتنول	-
	سالسين	+
8	حل الدم بيتا	+
9	انتاج انزيم الكاتاليز	-
10	فحص الحساسية للباستراسين	+
11	مجموعة لاتسفيلد A المصابة	+

عزل وتشخيص جرثومة Streptococcus pyogenes واختبار اكفاء العزلات في انتاج ذيفان O
سعاد عبد على عطية وجماعيها

جدول (2) الطريقة شبه الكمية لاختيار العزلة الأكفاء في انتاج ذيفان O لـ 16
S. pyogenes عزلة وعزلة السيطرة لجرثومة

الفعالية الحالة للدم				ارقام العزلات
وسط اغار دم الاغنام		وسط اغار دم الانسان		
السو لاهويا	السو هوالي	السو لاهويا	السو هوالي	
++	--	++	--	LS ₁
++	+	++	--	LS ₂
+	-	+	-	LS ₃
+	-	+	-	LS ₄
+++	--	+++	--	LS ₅
++	-	++	--	LS ₆
+	-	+	-	LS ₇
++	--	++	--	LS ₈
++	--	++	--	LS ₉
++	--	+++	--	LS ₁₀
++	--	+++	--	LS ₁₁
+++	---	--	--	LS ₁₂
++	-	--	--	LS ₁₃
+	-	+	-	LS ₁₄
++	--	--	--	LS ₁₅
++	--	--	--	LS ₁₆
++	--	--	--	SS

جدول (3) اختبار العزلة الاكفاء بطريقة مقايسة الفعالية الحالة للدم (الطريقة الكمية) لذيفان

S.pyogenes لـ 16 عزلة وعزلة السيطرة لجرشومه Streptolysin O

الفعالية الحالة للدم (وحدة/ ملتر)	٪ حل الدم	الفعالية الحالة للدم (وحدة / ملتر)	٪ حل للدم	ارقام العزلات
عالق كريات الدم الحمر للاغنام	عالق كريات الدم الحمر للانسان			
0.59	29.41	1.88	94.11	LS ₁
0.61	30.39	1.10	54.90	LS ₂
0.40	20.00	0.70	35.00	LS ₃
0.51	25.50	0.61	30.4	LS ₄
1.96	98.03	2.30	115.00	LS ₅
1.65	82.35	1.94	97.05	LS ₆
0.40	20.00	0.59	29.5	LS ₇
0.58	29.21	1.35	67.64	LS ₈
0.69	34.31	1.76	88.23	LS ₉
1.73	86.27	1.92	96.07	LS ₁₀
1.64	82.53	1.92	97.05	LS ₁₁
0.92	46.07	1.86	93.13	LS ₁₂
0.59	29.32	1.35	67.64	LS ₁₃
0.59	29.50	0.70	35.00	LS ₁₄
1.60	79.91	1.86	93.13	LS ₁₅
1.21	60.27	1.55	77.45	LS ₁₆
0.96	48.03	1.69	84.31	SS

المصادر

1. Holt, J.C.; Krieh, N.R.; Sneath, P.H.A; Staley, J.T. and Williams, S.T. Bergy's Manual of Determinative Bacteriology, W.R. Hesyl (ed) Williams and wilkins, USA (1994).
2. Johnson, D.R; Kaplan, E.L.; Sramek, J; Bicova, R.; Havlicek. J.; Motlova, J. and Kriz P. Laboratory Diagnosis of Group A Streptococcal Infections, World Health Organization. Geneva (1996).
3. Todat, K. Bacteria of Medical Importance University of Winconsin-Madison, (1999).
4. Bessen, D.E; Izzo, M.W.; Fiorentino, T.R.; Caringal, R.M.; Hollingshead, S.K. and Beal, B. Genetic linkage of exotoxin alleles and emm gene marker for tissue tropism in group A streptococci. *J. Infect. Dis.* 179(3): 627-636, (1999).
5. Collee, J.G.; Duguid, J.P; Fraser, A.G.; Marmion, B.P. and Simmons, A. Laboratory strategy in the diagnosis of infective syndrome. In : J.G. Collee, A.G. Fraser, B.P Marmion and A. Simmons (eds.). Practical Medial microbiology Churchill, Livingstone, New York, (1996).
6. Facklam, R and Wilkinson. H.W. The family *Streptoccaceae* (Medical aspects). In : M.P. Starr . H. Stolp, H.G. Truper. A. Balows and H.G. Schlegel (eds). The Prokaryotes a Handbook on Habitats, Isolation and Identification of Bacteria Springer – Verlag Berlin, Heidelberg. New York (1981).
7. Oberley, T.D. and Duncan, J.L. Characteristics of Streptolysin O action. *Infect. Immun.* 4(6): 683-687, (1971).
8. Tagg, J.R. and Vuglar, L.G. Enhancement of the hemolytic activity of group B streptococci and Streptolysin S deficient group A Streptococci on blood agar medium containing staphylociccal beta lysin *J. Microbiol. methods.* 5:215:220, (1986).
9. Smyth, C.J. and Duncan, J.L. Thiol – activated cytolysin. In: J. Jeljaszwics and T. Wedstrom (eds.) *Bacterial Toxins and cell Membrane.* Ch. 5 Academic Press., Inc. London. (1978).
10. مجلس وزراء الصحة العرب، اتحاد الاطباء العرب، منظمة الصحة العالمية، المنظمة العربية للتربية والثقافة والعلوم، المعجم الطبي الموحد، قاموس انكليزي - عربي - فرنسي، الطبعة الثالثة، سويسرا (1983).

نهاية فترة الجفاف

علي كريم كاظم

الهيئة العامة للاتواء الجوية و الرصد الزلزالي

ص.ب المنصور - 6078

مقدمة

تأثير القطر بفترة جفاف شديدة امتدت منذ الموسم المطري 1997/96 في المنطقة الشمالية (مثلة بمحطة الموصل) و منذ موسم 1999/98 المطري في المنطقة الوسطى (مثلة بمحطة بغداد)⁽¹⁾.

ان الغاية من هذه الدراسة تحديد معايير لقياس الجفاف و استكشاف البعد الزمني لهذه الظاهرة من خلال السجل المناخي و اجراء توقعات للموسم المطري القادم.

يعرف الجفاف انوائيا بأنه فتره من الطقس الجاف تدوم لفترة اطول من المعتاد للتبسب في نقص كميات المطر عن المتوقع⁽²⁾. اما الجفاف البيدروولوجي فهو النقص الممتد في تدفق المياه السطحية دون المستويات المعتادة ، في حين يحدث الجفاف من وجية النظر الزراعية عندما ينطافر نقص كميات المطر و اختلال توزيعها مع مذخرات رطوبة التربة مع مفقودات التبخر لينتاج نقصا في الحاصلات الزراعية او الحيوانية .

ان النتيجة الحتمية للجفاف هي نقص مياه الشرب او نقص الانتاج الزراعي و الحيواني و الصناعي و كذلك انتاج الطاقة الكهرومائية . اما النتائج على المدى البعيد فهي ظهور مخاطر التصحر مع ما يرافق كل ذلك من نتائج اجتماعية و اقتصادية⁽³⁾.

المظاهر المناخية

طوال العام فان سلسلة من الاخاذيد (Troughs) في طبقة التربوبوسفير الوسطى و العليا تعبر منطقة حوض نهر دجلة و الفرات و الاراضي الديميمية في العراق . ولكن عددا قليلا منها في العادة يكون مصحوبا بمنخفضات جوية ممطرة و هي التي تحرر القسم الاكبر من السينطول يرافق هذه الاخاذيد في المنطقة الشمالية تأثير الجبال (Orographik Influence) الذي ينتج الضوضاء الخلفية للنظام المطري (Back-Ground Noise) التي تعطي الجزء الاكثر ثباتا من

على كريم كاظم

البطول السنوي و بالطبع فان هذا التأثير يتلاشى بالاتجاه نحو جنوب و غرب القطر . و في المعدل تؤثر 24 عاصفة مطوية في الموسم المطري يقدر ان اكثر من نصفها يولدة 25% من الامطار ، فإذا اخافت واحدة او اثنين من هذه العواصف في التشكيل في احد الاعوام فان الجفاف محتمل الحدوث في حين ان عاصفة مطوية و احدة اضافية قد تولد اكثر من 10% من المجموع السنوي و قد تزيد فتحول الموسم المطري من الجفاف الى المعدل الاعتيادي . ان تروع المنظومات الجوية المولدة لامطار و ضالة المساحة المعنية بالامطار يوضح لماذا تكون الامطار اقل وثوقا و يعقد مسالة التبيؤ الموسمي بها (5.4).

تحديد معيار الجفاف

بالنظر لعدم توفر البيانات هيدرولوجية او اقتصادية لتحديد حالات الجفاف و بالنظر للتغير الواسع لكتبات البطول الموسمي مما يجعل المعدل الموسمي الحسابي قليل الفائدة فقد اعتمد معدل الانحراف (Mean Deviation) كمؤشر لتحديد سنوات الجفاف ، وقد حسب وفقا للمعادلة :

$$MD = \frac{\sum |X - \bar{X}|}{n}$$

حيث :

MD : معدل الانحراف

X : كمية البطول الموسمي

\bar{X} : المعدل الموسمي للبطول

N: عدد سنوات السجل المناخي للمحطة التي اعتمدت في الحساب .

لقد كان معدل الانحراف لمحطة الموصل 89 مليمتر أي ما نسبته 23% من المعدل السنوي البالغ 380 مليمتر و بناء عليه فقد اعتبرنا السنة المائية جافة اذا نقصت امطارها عن 290 مليمتر و غزيرة المطر اذا زادت امطارها عن 469 مليمتر اما ما بين هاتين القيمتين في سنتات اعتيادية و بناء عليه فان 18% من سنوات السجل المناخي تعتبر جافة و ما يقاربها (17%) تعتبر غزيرة المطر و الباقي (65%) سنوات اعتيادية ، اما محطة بغداد و التي يقرب معدتها الموسمي من

142 ملimetرا فكما كان متوقعا فقد زاد معدل الانحراف عن 50 ملimetرا وبنسبة تقارب من 35% من معدلها السنوي و عليه فقد اعتبرت السنة المائية جافة اذا نقصت امطارها عن 90 ملimetرا وغزيرة المطر اذا زادت امطارها عن 190 ملimetra . وقد كانت نسبة الموسام الجافة 625% في حين بلغت نسبة الموسام غزيرة المطر 22% في حين كانت النسبة المتبقية و التي تقارب من 53% مواسم اعتيادية .

المقاييس الاحصائية

ان مواسم الجفاف يجب اعتبارها كجزء من الاحداث الاعتيادية في أي وضعية مناخية . وخصوصا في المناطق الهماسية في الكفاية المطالية اذا كان التوقع الدائم هو هطول امطار تقارب من المعدل الحسابي او حتى اعلى منه ان تحدث مارا . اننا يمكن ان نحدد المعدل الاعتيادي على انه المعدل الاعتيادي الذي يضم ما لا يقل عن 50% من جميع الترددات . ان وقوع معظم اراضي العراق في مناطق انحدارات هطول مناخية شديدة (الخارطة (1)) ينبع عنه ان أي ازاحة صغيرة في مسار الاعاصير المطالية (Rain Storms) تنتاج بدورها عن تغير بسيط في الدوران العام تكون قادرة على التسبب في تغيرات واسعة في كميات الهطول .

قياس مركبة الاتجاه (Trend)

اظهر فحص مركبة الاتجاه للسلسلة الزمنية للامطار لمحطة الموصى و بغداد الملاحظات التالية :

1-في محطة الموصى

2-يشير خط الانحدار (Regression Line) الى مركبة اتجاه موجبة في السلسلة الزمنية للامطار (الشكل -1) و تشير المعادلة المحسوبة بطريقة المرربعات الصغرى الى ان :

$$Y = 370 + 0.234 X$$

ومع ان هذه القيم توحى بزيادة في كمية الهطول فانها يمكن ان تعزى بشكل افضل الى تغير في موقع المحطة من منطقة منبسطة الى موقع طوبوغرافي اكثر ملائمة حيث ترتفع الارض مباشرة شرق المحطة .

2-في محطة بغداد :

علي كريم كاظم

للمواسم المطيرية الـ (32) الاولى في السجل المناخي المتوفّر :

أ- لقد حسب معدل السنوات الممتدة من الموسم المطيري 1938/37 و حتى الموسم المطيري 1969/68 فكان 152 ملimetرا .

ب- اما معدل السنوات الثلاثين الاخيرة في السجل المناخي و الممتدة من موسم 1971/70 المطيري حتى الموسم الاخير 2000/2001 فكان 143 ملimetra .

ان الفرق بين المعدلين (152-134=18 ملimetra) . و الواقع ان خط الانحدار للسنوات الثلاثين الاخيرة يظهر ميلا سالبا واضحا :

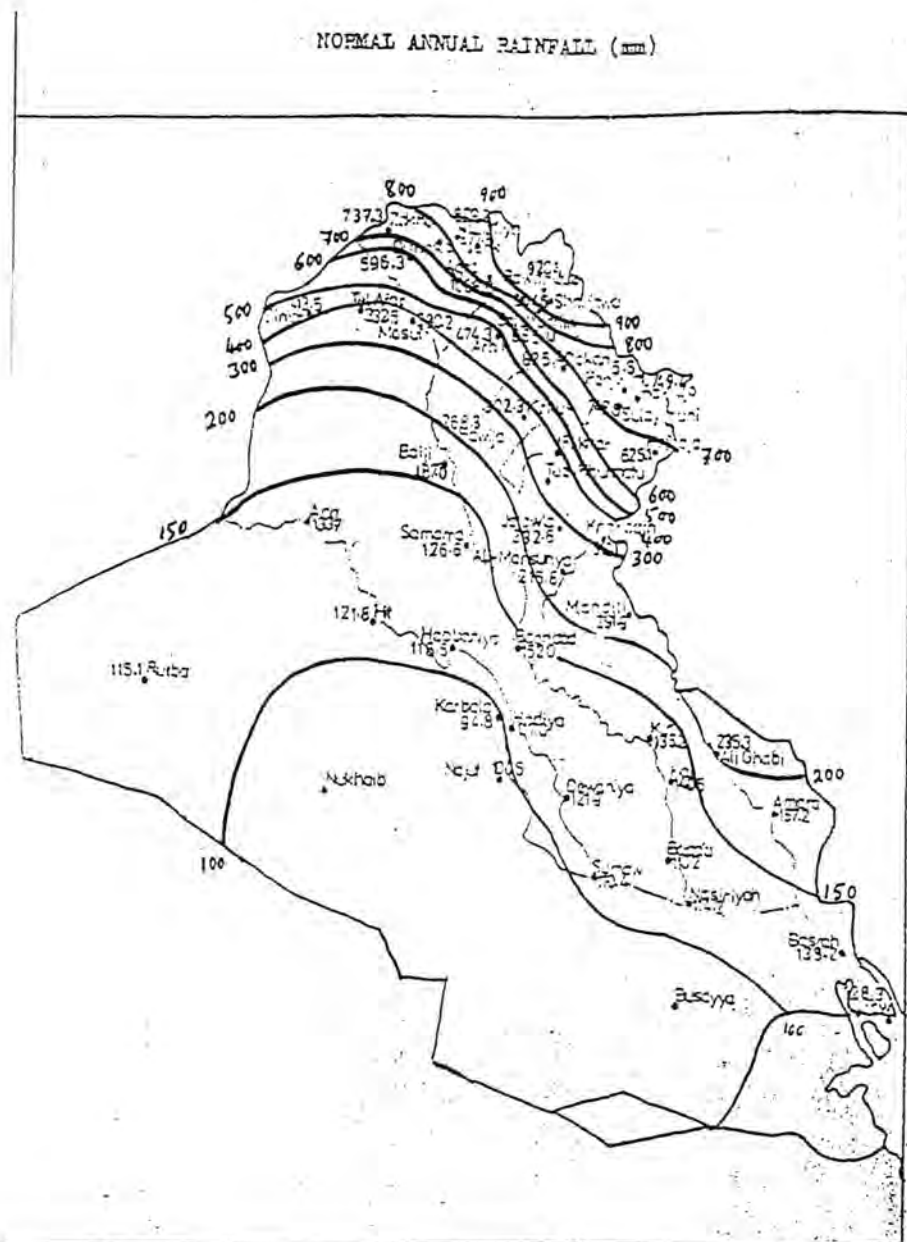
$$Y = 101 - 2.0668X$$

ان مرکبة الاتجاه السالبة يمكن ان تعزى الى تغير موقع المحطة الى الغرب حيث تتجه الامطار الى النقصان كما يمكن ان تعزى الى اتجاه مناخي واضح نحو الجفاف اضافة الى تغيرات محتملة في نوعية الاجيزة و طرق القياس .

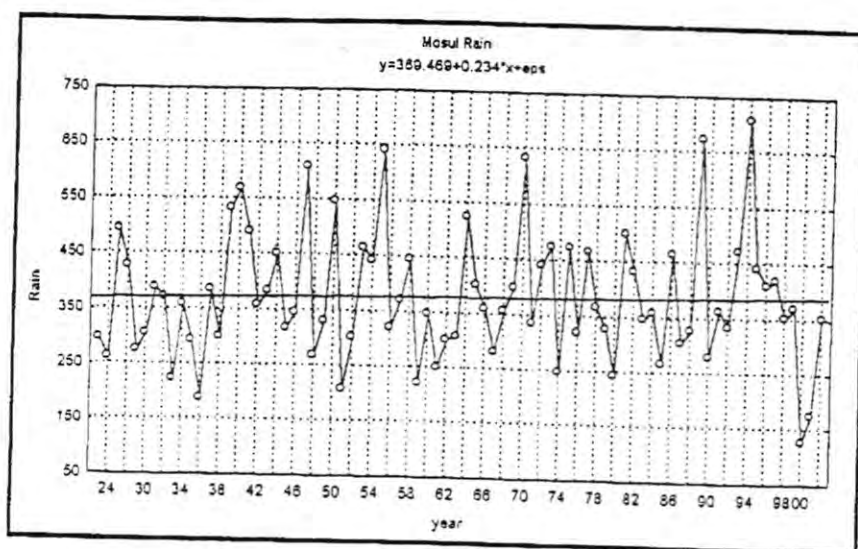
الامتداد الزمني لظاهرة الجفاف

ان المعايير التي استخدمت لتحديد سنوات الجفاف تشير بوضوح الى ان فترة الجفاف قد انتهت و ان كان بشكل هامشي و غير حاسم حيث سجلت امطار بلغت 107 ملimetra في بغداد و 353 ملimetra في الموصل .

الا ان هذا الاتجاه قد يتغير في الموسم الحالي 2001/2002 حيث تشير التوقعات و التي حسبت بطريقة التعدد الخطى للسلسلة الزمنية Linear extrapolation الى هطول يقارب من 80 ملimetra في بغداد و 360 ملimetra في الموصل ملimetra⁽⁶⁾.



(١ - ٦٢)



شكل (1)

المصادر

- 1- الهيئة العامة للأنواء الجوية - السجلات المناخية .
- 2- جون . ف. كريتش - 1976- المناخ التطبيقي - الطبعة الثانية .
- 3- النشرات الفنية للمنظمة العالمية للأنواء الجوية .
- 4- هـ . رايل . مقدمة للغلاف الجوي .
- 5- علي كريم كاظم - الموقف السيابوبتيكس في عمليات بذار الغيوم دراسة غير منشورة 2000/
- 6- ج.بانوفسكي و ج.أ. تركانوف - المركز الاقليمي لتدريب الانواء الجوية - نشرة فنية - 1980 .

Pyrimidine Compounds As Inhibitors For Glutamate Oxaloacetate Transaminase (GOT) In Serum of Some Leukemia Patients

* Redha I. AL. Bayati

Dept. of Chem., College of Science, Al-Mustansiriya Univ.
Baghdad, Iraq

** Hala M. AL-Zahawi

Dept. of Chem., College of Engineering, Al-Technology Univ.
Baghdad, Iraq

الخلاصة

تضمن البحث دراسة تأثير مركبات اشباه البايرميدين ومشتقاته على الانزيم الناقل لمجموعة الامين (GOT) لنماذج من مصل الدم البشري الطبيعي ونماذج من مصل دم المصابين بسرطان الدم. وذلك مقارنة بين فعالية الانزيم دون استخدام هذه المثبطات وبوجود هذه المثبطات لكلا النوعين من الدم تحت نفس الظروف وحساب نسب التثبيط ومعرفة أي من المثبطات لها أعلى نسبة تثبيط وثم معرفة نوع التثبيط.

ABSTRACT

Effect of pyrimidine derivatives on enzyme (GOT) for sample of normal human and leukemia patients is investigated. A comparison between the activity of (GOT) in the presence or without presence of inhibitors for two-type serum under the same conditions is studied. The percentage of inhibition and type of inhibition is also included in this study.

INTRODUCTION

Glutamate Oxaloacetate Transaminase, GOT (EC. 2. 6. 1. 1) is present in high concentrations in the heart, liver, skeletal, muscle, kidney and erythrocytes, causes of raised plasma GOT levels, malignant infiltration "may be normal, but may rise to twice the upper reference limit", Skeletal muscle disease, after trauma or surgery and severe hemolytic anemia⁽¹⁾ Miekl concluded that there is an increase in GOT enzyme in the case of Acute lymphatic and this is because the enzyme is liberated from carcinogenic cell as result of their destroy⁽²⁾. Inhibitors are different in their

chemical nature and its biological activity the response of the enzyme type differ in their activity toward inhibitors, many organic compound were used as inhibitors for GOT enzyme for example (Glutaric acid, Maleic acid, Acetate and Benzoate)^(3,4).

In present work pyrimidine compounds are used to estimate their effects on GOT enzyme.

MATERIALS AND APPARATUS

Aspartic acid, Na_2HPO_4 , KH_2PO_4 , NaCl were purchased from BDH CO. α -Ketoglutarate and 2,4- dinitrophenyl hydrazine were purchased from Hopkins and Williams CO.. All chemicals used were of analytical Grad.

Pyrimidine compounds were prepared according of the literature⁽⁵⁾ (Table.1) Activity measurments of GOT were performed by (UV-Visible spectrophotometer, Varian Techtron Moder 635 series).

Blood sample were obtained from Saddam City Hospital for untreated Leukemia sample. The samples were obtained by Veni puncture and kept to clott for 2 hours at room temperature, then the serum was separated by centrifugation at 3000 round per minutes for 15 min.

Methods

The activity was determined colorimetrically by Retiman and Grankel method⁽⁶⁾.

The effect of the pyrimidine derivatives for the activity of GOT enzyme in the presence of buffer with conc. (0.1)M at pH 7.4 was investigated. Concentration of intended inhibitors were (0, 0.1, 0.05, 0.025, 0.005)M, while the concentrations of substrate aspartic acid were (10, 15, 18, 36, 55.5,) $\times 10^{-3}$ M This procedure was also repeated with various concentrations of substrate α -ketoglutarate (0.3, 0.66, 1.02, 1.33, 1.66)X 10 M.

For the measurement of the activity, the method was followed with the exception that the inhibitor was added to the substrate buffer and kept at pH 7.4.

The inhibition percentage was calculated by comparing the activity with and without using the inhibitor and under same condition, the inhibition percentage was measured in normal human and in the patient according the aquation;

$$\% \text{ Inhibition} = (1 - \frac{\text{The activity with using (I)}}{\text{The activity with out using}}) \times 100$$

The type of inhibition were determined according to Lineweaver-Burk method by a plot of $1/V$ & $1/(S)^{(7)}$ and the Dixon method by a plot of $1/V$ & $(I)^{(8)}$.

RESULTS AND DISCUSSION

Table (2) showed the values of activity of GOT on serum of patient with Leukemia of various types, values of protein conc. And specific activity.

Table (2) shows that some GOT activity values for normal human are surprisingly high than that reported⁽⁹⁾. One reason for the recorded high values of GOT may be accounted for health factors.

It is observed the increase of enzyme activity in 6 cases upon 11 cases of Acute Lymphatic Leukemia (ALL) and it is 71 I.U/L, the other type of cancer it was observed light increase in the activity in Chronic Lymphatic Leukemia (CLL) and this agree with Micheal result in the case of Acute Myelocytic Leukemia (AML).

The inhibitory effect of the compounds at (0.1)M conc. On the GOT activity is shown in table (3).

The inhibitory effect was found to increase as the concentration of the intended compound increased.

- 1- Compounds; (1), (2) and (4) was found to have higher inhibition effect on serum GOT in normal than patients.
- 2- Compounds; (5) and (6) was found to have higher inhibition effect on serum GOT in patients than normal.
- 3- Compound; (3) showed same inhibition effect on serum GOT in normal and patients.
- 4- Compounds; (6) was found to have higher inhibition effect on serum GOT in patients, while compound (1) was found to have higher inhibition effect on serum GOT in normal.

The K_i values of the compounds in this study with (0.1 M) concentration for (Aspartic and α -ketoglutarate) and the type of inhibition summarized in table-4.

Figures; (1), (2), (3) and (4) illustrates the types of the inhibitory effect of the compounds (1), (3), (4) and (6) individually.

The inhibitores used (1), (2), (3), (4) and (5) in aspartic causes non-competitive inhibition while compound (6) causes un-competitive inhibition.

The inhibitors used (2), (3) and (6) in α -ketoglutarate causes non competitive inhibition while compound (1), (4) and (5) causes un-competitive inhibition.

CONCLUSION

In this research it was established that the data on GOT inhibition confirmed that the pyrimidine analogue showed that inhibition was significantly higher in the sera of patient with Leukemia.

Table -1- The compound used as inhibitor on the GOT enzyme activity in serum with stok solution (0.1)M. concentration

NO. Of Comp.	Structure of the compound	Name of the Compound	M. Wt
1		2-Chloromethyl-4H-pyrido(1,2-a)pyrimidin-4-one.	194.5
2		2-Methyl-3-chloro-7-nitro-4H-pyrido(1,2-a)pyrimidin-4-one	239.5
3		7-Chloromethyl-5H-pyrimido(2,1-b)thiazol-5-one.	200.5
4		7-(P-methoxy phenoxy)methyl-5H-pyrimido(1,2-b)thiazol-5-one.	313.
5		(2-Methyl-3-chloro-4H-pyrimido(2,1-b)benzothiazol-4-one.	250.5
6		2-Methyl-3-(P-methoxy phenoxy)-4H-pyrimido(2,1-b)benzothiazol-4-one.	322

Table -2- /GOT activity in sera of different types of Leukemia

Type of Leukemia	No. of cases	Age	GOT activity range	Average activity	Protein Conc.	Specific activity
			Year	I.U/L	I.U/L	Mg/ml
Acutlymphatic ALL	11	10-69	70-72	71	80.5	0.856
Acutmyelosytic AML	4	11-40	37-50	43.5	51	0.85
Acut myl-Omonocytic AMOL	2	12-39	31-39	35	49	0.71
Acute pro- Myelocytic APL	3	14-35	25-37	31	46	0.871
Chronic myeloid CM	4	15-48	10-38	24	60	0.38
CLL	4	13-46	37-40	38.5	61	0.62

Table -3- The degree of inhibition of total GOT enzyme from sera of leukem

The results are the average of 3 samples

Inhibitor	Degree of inhibition in normal	Degree of inhibition in patient
1	74%	65%
2	60%	41%
3	52%	54%
4	34%	26%
5	32%	53%
6	55%	80%

Table -4- K_i (Aspartic and α - ketoglutarate) for total GOT enzyme in sera of acute Leukemi patient.

K_i values were determined separately in presence of 0.1 M of compounds. The type of inhibition and the inhibitor constants were determined by a plot of Dexon, linweaver Burk

Inhibitor	Ki(mM)			Ki(mM)		
	Aspartic		Type of inhibition	Ketoglutarate		Type of Inhibition
	1/v vs. 1/(s)	1/v vs. (I)		1/v vs. 1/(s)	1/v vs. (I)	
1	0.012	0.014	Non. Comp.	0.28	0.27	Un. Comp.
2	0.058	0.055	Non. Comp.	0.079	0.08	Non. Comp.
3	0.0041	0.0039	Un. Comp.	0.047	0.05	Non Comp.
4	0.29	0.31	Non. Comp.	0.19	0.21	Un. Comp.
5	0.42	0.46	Non. Comp.	0.23	0.2	Un. Comp.
6	0.0028	0.0026	Non. Comp.	0.056	0.057	Non. Comp.

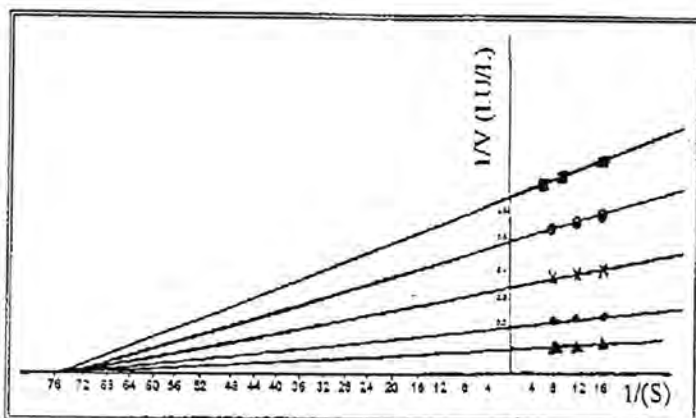


Fig. 1

Inhibition of GOT enzyme by compound (1) (0.1—0.005M in presence of (1.02)mM α -Ketoglutarat and (18.92)mM aspartic acid in a patient with acut leukemia.

- ▲ ▲ ▲ In the absence of compound (1)
- ● ● In the presence of 0.005M compound (1)
- × × × In the presence of 0.025M compound (1)
- ○ ○ In the presence of 0.05M compound (1)
- ■ ■ In the presence of 0.1M compound (1).

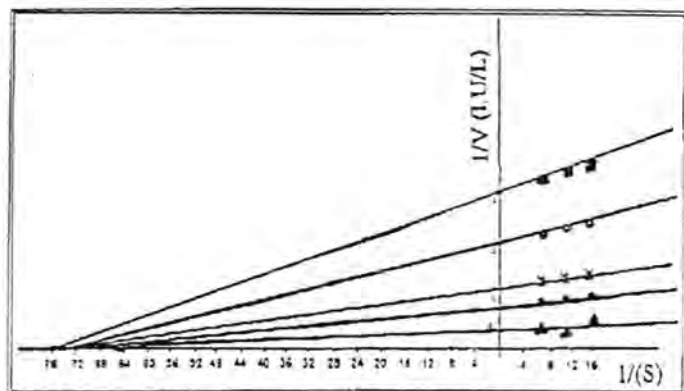


Fig. 2

Inhibition of GOT enzyme by compound (3) (0.1—0.005M) in presence of (10)mM α-Ketoglutarat and (18.92)mM aspartic acid in a patient with acute leukemia.

- ▲ ▲ ▲ In the absence of compound (3)
- ● ● In the presence of 0.005M compound (3)
- × × × In the presence of 0.025M compound (3)
- ○ ○ In the presence of 0.05M compound (3)
- ■ ■ In the presence of 0.1M compound (3)

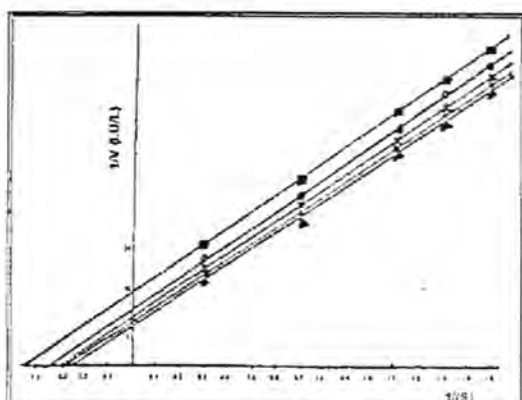


Fig. 3

Inhibition of GOT enzyme by compound (4) (0.1—0.005M) in presence of (0.275- 1.0)mM α- Ketoglutarat and (55.5)mM aspartic acid in a patient with acute leukemia.

- ▲ ▲ ▲ In the absence of compound (4)
- ● ● In the presence of 0.005M compound (4)
- × × × In the presence of 0.025M compound (4)
- ○ ○ In the presence of 0.05M compound (4)
- ■ ■ In the presence of 0.1M compound (4)

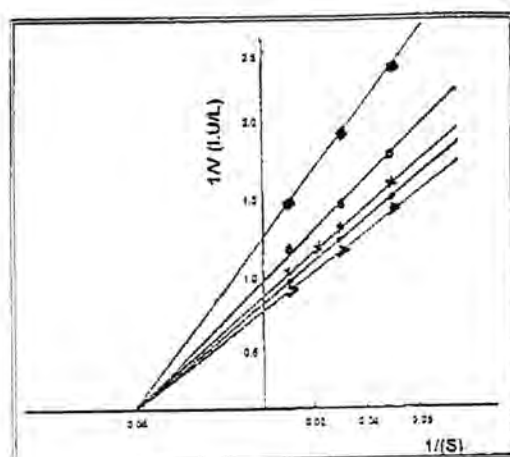


Fig. 4

Inhibition of GOT enzyme by compound (6) (0.1—0.005M in presence of (0.275+1.0)mM α - Ketoglutarat and (55.5) μ M aspartic acid in a patient with acut leukemia.

- ▲ ▲ ▲ In the absence of compound (6)
- ● ● In the presence of 0.005M compound (6)
- × × × In the presence of 0.025M compound (6)
- ○ ○ In the presence of 0.05M compound (6)
- ■ ■ In the presence of 0.1M compound (6)

REFERENCES

1. Joan F. Zilva, Peter R. Pannall and Philip D. Mayne "Clinical Chemistry in Diagnosis and Treatment" Great Britain -5th ed. P-310, 311 (1988).
2. Magill, G.B., Worblewski, F. and Ladue, J.S. Blood, 870, (1959).
3. Rassam, M.B. MSC. Thesis, College of Science University of Baghdad (1976).
4. Scandurra, R. and Caneila, C. Eur. J. Biochem. 26, 196, (1972).
5. R.I.H. Al-Bayati, M.J. Al-Habib and I.K. Abdullah. Iraq. J. of Chem, 24, 188 (1998).
6. Reitman, S. and Frankel, S. Amer. J. Clin Pathol. 28, 569 (1957).
7. Lineweaver, H. and Burk, D. J. Amer. Chem. Soc. 56, 658 (1934).
8. Dixon, M. Biochem. J. 137, 143 (1953).
9. Harper's Biochemistry Twenty-Second Edition Copy Right P. 685 (1993).